

دراسات جيومورفولوجية

في مناطق مختارة من الأراضي المصرية والسعودية

تأليف

عزة أحمد عبد الله

استاذ الجيومورفولوجيا المساعد
كلية آداب بنها - جامعة الزقازيق

٢٠٠٤

الناشر // **مكتبة** **ف** بالاسكندرية
جلال حنفي وشركاه

الناشر : منشأة المعارف ، جلال حذى وشركاه

٤٤ شارع سعد زغلول - محطة الرمل - الاسكندرية - ت/ف ٤٨٧٣٣٠٣/٤٨٥٣٠٥٥ الإسكندرية
٣٢ شارع دكتور مصطفى مشرفة - سوتير - الاسكندرية ت/٤٨٤٣٦٦٢/٤٨٥٤٣٣٨ الإسكندرية
الادارة: ٢٤ شارع ابراهيم سيد احمد - محرم بك - الاسكندرية ت/ف ٣٩٢٢١٦٤ الإسكندرية
حقوق الطبع محفوظة للمؤلف : غير مسموح بطبع أى جزء من أجزاء الكتاب أو تخزينه فى أى نظام لحزن
المعلومات واسترجاعها ، أو نقله على أية وسيلة سواء أكانت إلكترونية أو شرائط ممغنطة أو ميكانيكية ،
أو استنساخاً ، أو تسجيلاً أو غيرها إلا بإذن كتابى من المؤلف .

اسم الكتاب : دراسات جيومورفولوجية فى مناطق مختارة من الأراضى المصرية والسعودية

اسم المؤلف : د. عزة احمد عبد الله

رقم الايداع : ٢٠٠٤/١٦٣٩٥

الترقيم الدولى : 3 - 1334 - 03 - 977

التجهيزات الفنية:

ت: ٥٤٤٩٣٠٥

ت: ٥٤٤٩٣٠٥

كتابة كمبيوتر : مكتب سلطان للكمبيوتر

تصميم غلاف : مكتب سلطان للكمبيوتر

طباعة : مطبعة سامسى

بِسْمِ اللَّهِ الرَّحْمَنِ الرَّحِيمِ

﴿وَقُلْ رَبِّ زِدْنِي عِلْمًا﴾

سورة طه: الآية (١١٤).

تقديم:

يضم هذا الكتاب سبعة بحوث جيومورفولوجية تهتم بدراسة بعض الظواهر الجيومورفولوجية الأكثر إنتشاراً فى النطاق الجاف الحالى، فى كل من جمهورية مصر العربية، والمملكة العربية السعودية، وهى دراسات جيومورفولوجية تحليلية لهذه الظواهر من حيث نشأتها، وتطورها، والأهمية التطبيقية للظاهرة، والأخطار الجيومورفولوجية التى قد تنشأ عن بعض التغيرات المورفولوجية للظاهرة أو عن تطورها، وينقسم هذا الكتاب إلى جزئين هما:

الجزء الأول بعنوان دراسات جيومورفولوجية فى الأراضى المصرية ويضم أربعة بحوث، البحث الأول بعنوان مروحة وادي الحى دراسة جيومورفولوجية، ويتضمن هذا البحث دراسة الخصائص الطبيعية للمروحة، الخصائص العامة لرواسب المروحة، وشملت التحليل الحجمى للرواسب وتحليل الشكل، وأنماط الترسيب، والبنية الداخلية للمروحة، ثم دراسة لمورفولوجية سطح المروحة، كما شملت هذه الدراسة عرض عن أهمية الدراسة الجيومورفولوجية للمروحة، وأهم الأخطار الجيومورفولوجية التى قد تحدث على سطح المروحة.

البحث الثانى بعنوان الكهوف فى هضبة المقطم، وتشمل دراسة السمات الطبيعية لهضبة المقطم، العوامل المسؤولة عن نشأة الكهوف فى الهضبة وتطورها، ثم دراسة للخصائص المورفولوجية للكهوف بالهضبة، وتختتم هذه الدراسة بعرض لأهم الأخطار الطبيعية الناجمة عن نشأة وتطور الكهوف وأهم الحلول المقترحة لمواجهة هذه الأخطار.

البحث الثالث بعنوان بعض التغيرات المورفولوجية فى دلتا النيل، ويضم هذا البحث موقع ونشأة الدلتا، العوامل المسؤولة عن حدوث تغيرات مورفولوجية فى دلتا النيل، ثم عرض لبعض هذه التغيرات، وتنتهى هذه الدراسة بعرض لأهم الأخطار الجيومورفولوجية فى دلتا النيل، وأهم التوصيات والحلول المقترحة لمواجهة الأخطار الجيومورفولوجية التى تتعرض لها الدلتا فى الوقت الحالى.

البحث الرابع بعنوان الأشكال الرملية شرق بحيرة البردويل وتضم هذه الدراسة أهم السمات الطبيعية للمنطقة موضوع البحث، والخصائص المورفولوجية للأشكال الرملية، عوامل تكوين الأشكال الرملية شرق بحيرة البردويل، وأخيراً عرض للأهمية الاقتصادية للرمال في المنطقة.

الجزء الثاني بعنوان دراسات جيومورفولوجية في القسم الغربي من المملكة العربية السعودية. ويضم ثلاثة بحوث البحث الخامس بعنوان تحليل الخريطة الجيومورفولوجية لمنطقة السهل الساحلي من خور أبهر إلى خور السود، وتضم الدراسة خطوات إعداد الخريطة الجيومورفولوجية، عرض لأهم الظواهرات الجيومورفولوجية الناتجة عن عمليات النحت والإرساب البحري والنهرى والريحي.

البحث السادس بعنوان سبخات السهل الساحلي لمدينة جدة خصائصها الجيومورفولوجية وكيفية الاستفادة منها، وتضم الدراسة التوزيع الجغرافي للسبخات، الخصائص العامة للسبخات، عرض لنتائج التحليل الميكانيكي لرواسب السبخات، ودراسة للتتابع الطباقى لرواسب السبخات، أشكال السطح الدقيقة على سطح السبخات، وعوامل نشأتها، وأخيراً الاستخدام الإقتصادى الأمثل لأراضى السبخات.

البحث السابع بعنوان أنماط المجارى المائية فى حوض وادى فاطمة، ويضم البحث دراسة للخصائص الطبيعية للوادي، ثم دراسة تحليلية لأنماط الأودية وتشمل النمط المستقيم، المتعرج، المنعطف، وأسباب نشأة المنعطفات.

والواقع أن هذا الكتاب محاولة من المؤلفة لجمع بعض الأبحاث التى قامت بكتابتها بهدف أن تكون فى متناول أيدي الباحثين فى مجال الدراسات الجيومورفولوجية.

والله ولي التوفيق

المؤلفة

د/ عزة أحمد عبد الله



الفهرس

الموضوع	الصفحة
مقدمة	٧
فهرست المحتويات	١١
الجزء الأول	
دراسات جيومورفولوجية في الأراضي المصرية	
البحث الأول: مروحة وادي الحي دراسة جيومورفولوجية	٢٣
البحث الثاني: الكهوف في هضبة المقطم والأخطار الناتجة عنها	٥٧
البحث الثالث: بعض التغيرات المورفولوجية في دلتا النيل	٩٥
البحث الرابع: الأشكال الرملية شرق بحيرة البردويل	١٣٥
الجزء الثاني	
دراسات جيومورفولوجية في القسم الغربي من المملكة العربية السعودية	
البحث الخامس: تحليل الخريطة الجيومورفولوجية لمنطقة السهل الساحلي	
من خور أبهر إلى خور السودة	١٨٥
البحث السادس: سبخات السهل الساحلي لمدينة جدة	٢٢٧
البحث السابع: أنماط المجاري المائية في حوض وادي فاطمة	٢٧٣

فهرس الخرائط والأشكال

الرقم	الشكل	الصفحة
١	موقع وادى الحى	٢٥
٢	نتائج التحليل الحجمى لرواسب مروحة وادى الحى	٢٩
٣	توزيع التكواري لمعامل الاستدارة لرواسب مروحة وادى الحى	٣٧
٤	النسبة الداخلى لرواسب مروحة وادى الحى	٣٧
٥	قطاعات سفوح مروحة وادى الحى	٤٣
٦	توزيع زوايا الانحدار على سطح مروحة وادى الحى	٤٣
٧	قيم تقوس مروحة وادى الحى	٤٥
٨	مورفولوجية مروحة وادى الحى	٤٧
٩	خريصة جيولوجية لمنطقة جبل المقطم	٦٢
١٠	خط الساحل فى نهاية عصر الميوسين	٦٤
١١	خط الساحل فى البلايوسين	٦٥
١٢	خريطة جيومورفولوجية لجبل المقطم	٦٧
١٣	زحزحة نطاقات المطر خلال الفترات المطيرة	٧١
١٤	توزيع أمطار البلايوسين بالنطاق الشمالى لمصر طبقاً ليوتزر	٧١
١٥	صورة جوية للمضيق الصاعد الشمالى والجرف الجنوبى الغربى	٧٧
١٦	نهضة الوسطى شديدة الانحدار	٧٧
١٧	تطور دلتاوات النيل	٩٨
١٨	الكثل البنيوية للحوض الشمالى للنيل ونطاقات الكسور الرئيسية فى مصر	١٠٠
١٩	بنية منطقة شرق الدلتا	١٠١
٢٠	خطوط الكنتور لمستوى القاعدة فى نهاية عصر الميوسين	١٠٤

الرقم	الشكل	الصفحة
٢٠	الحدود التقريبية للخليج البحرى شمال الدلتا أثناء عصر البلايوسين .	١٠٤
٢١	سكك إرسابات البلايستوسين الأوسط	١٠٦
٢٢	التغير فى منسوب البحر بالنسبة لأراضى مصر من البلايوسين إلى الوقت الحالى	١٠٦
٢٣	قطاع طولى من بنى سويف إلى القاهرة شمالاً إلى البحر المتوسط يوضح مناسيب البحر المتوسط مطابقاً لمدرجات نهر النيل المختلفة منذ نهاية البلايوسين وحتى الوقت الحالى	١٠٨
٢٤	زحزحة نطاقات المطر خلال الفترات المطيرة	١١٠
٢٥	توزيع أمطار البلاستوسين بالنطاق الشمالى لمصر طبقاً لبورتز	١١٠
٢٦	الأفرع الدلتاوى القديمة	١١٥
٢٧	التغيرات المورفولوجية لمجرى فرع رشيد بين قناطر الدلتا وعزبة شريف باشا	١١٩
٢٨	تغير الجزر النهرية فى مجرى فرع رشيد بين أبو عوالى وجزى	١١٩
٢٩	مورفولوجية بعض الجزر التى إلتحمت بالسهل الفيضى الدلتاوى بعد بناء السد العالى	١٢١
٣٠	تغيرات مصب فرع رشيد	١٢٣
٣١	تغير نطاق أمام الشاطئ	١٢٤
٣٢	تغيرات خط الساحل لمصبى دمياط ورشيد	١٢٥
٣٣	جيولوجية منطقة شرق البردويل	١٣٨
٣٤	التضرس النسبى فى منطقة شرق البردويل	١٤١
٣٥	درجات الانحدار فى منطقة شرق البردويل	١٤١
٣٦	خصائص الحرارة والمطر والرياح فى العريش	١٤٣

الرقم	الشكل	الصفحة
٣٧	مورفولوجية منطقة شرق البردويل	١٤٦
٣٨	الكثبان القديمة جنوب شرق منطقة الدراسة	١٥١
٣٩	العلاقات الإحصائية بين أبعاد الكثبان الطولية	١٥٦
٤٠	كثيب طولى مركب مفتوح فى اتجاه مقتبل الرياح	١٥٨
٤١	كثيب طولى مركب مفتوح فى اتجاه مقتبل ومنصرف الرياح	١٥٨
٤٢	العلاقات الإحصائية بين أبعاد الكثبان الطولية المركبة	١٦٠
٤٣	القطاعات العرضية للكثبان الرملية شرق البردويل	١٦٢
٤٤	توزيع زوايا الانحدار على سطح الكثبان الرملية شرق البردويل	١٦٤
٤٥	قيم تقوس سطح الكثبان الرملية شرق البردويل	١٦٤
٤٦	موقع منطقة السهل الساحلى الممتدة من خور أبهر إلى خور السود	١٨٦
٤٧	الخريطة الجيولوجية للمنطقة الممتدة من خور أبهر إلى خور السود	١٩٠
٤٨	الخريطة الجيومورفولوجية للمنطقة الممتدة من خور أبهر إلى خور السود	١٩٥
٤٩	قطاعات سفوح التلال فى المنطقة الممتدة من خور أبهر إلى خور السود	١٩٦
٥٠	توزيع زوايا الإنحدار على سفوح عينة التلال المختارة فى المنطقة الممتدة من خور أبهر إلى خور السود	١٩٨
٥١	قيم تقوس سفوح التلال	٢٠٠
٥٢	الجزر المنتشرة أمام مدينة جدة	٢١٢
٥٣	موقع وأنماط السبخات فى السهل الساحلى لمدينة جدة	٢٢٩
٥٤	الخريطة الجيولوجية للسهل الساحلى لمدينة جدة	٢٣٤

الرقم	الشكل	الصفحة
٥٥	نتائج التحليل الحجمى لرواسب السبخات فى السهل الساحلى	
٢٤٠	لمدينة جدة.....	
٥٦	التكرار المتجمع الصاعد لرواسب السبخات فى السهل الساحلى	
٢٤٦	لمدينة جدة.....	
٥٧	قيم معامل الاستدارة لرواسب السبخات فى السهل الساحلى لمدينة	
٢٤٨	جدة.....	
٥٨	العلاقة بين مقياس الإلتواء ومتوسط حجم رواسب السبخات.....	٢٥١
٥٩	التتابع الإستراتيجى لرواسب السبخات.....	٢٥١
٦٠	موقع حوض وادى فاطمة.....	٢٧٧
٦١	التكوينات الجيولوجية فى وادى فاطمة.....	٢٧٩
٦٢	أنماط المجارى المائية فى وادى فاطمة.....	٢٨٦
٦٣	النمط المنعطف فى وادى فاطمة.....	٢٩٣

فهرس الصور الفوتوغرافية

الرقم	الصور	الصفحة
١	تداخل طبقات الحجر الجيري مع المارل فى هضبة المقطم.....	٦٨
٢	مدخل كهف ٧، وكهف ٨ فى طريق المقطم الصاعد الشمالى....	٦٨
٣	تجمع مياه الأمطار على السطح فى الهضبة الوسطى.....	٧٤
٤	صرف المياه إلى باطن الهضبة الوسطى.....	٧٥
٥	مدخل كهف شبه مستدير على طريق المقطم الصاعد الشمالى.....	٨٠
٦	مدخل كهف مستطيل على جانب الطريق الرئيسى فى الهضبة الوسطى.....	٨٠
٧	بروزات فى جدارن الكهف رقم (٥).....	٨٢
٨	رواسب ملحية فى أرضية الكهف رقم (٢).....	٨٢
٩	سفح مستقيم فى القسم الجنوبى للهضبة الوسطى.....	٨٤
١٠	كتل صخرية ضخمة عند مدخل الكهف رقم (٦).....	٨٤
١١	سيخة أبو سمارة جنوب طريق العريش.....	١٤٧
١٢	كتبان طولية متعرجة شرق المزار جنوب طريق العريش ٧ كم.....	١٥٣
١٣	وجه أنزلاق يمثل ٣/١ الارتفاع الكلى لكثيب طولى شرق المزار ٨ كم.....	١٥٣
١٤	كثيب مركب مفتوح فى اتجاه منصرف الرياح شمال شرق المزار على بعد ٦ كم.....	١٥٧
١٥	نباك على سطح وقاعدة كثيب رملى شرق المزار ١٠ كم.....	١٦٥
١٦	تموجات رملية على سطح كثيب رملى تتكون قمم التموجات من رمال خشنة مستقرة على رمال ناعمة.....	١٦٧

الرقم	الصور	الصفحة
١٧	ارتفاع معدلات النحت البحرى فى القسم الشمالى من الساحل الممتد من خور أبجر أمام منتزه النخيل	٢٠٣
١٨	وضع الصخور الصلبة لتخفيف معدلات النحت بالساحل الشمالى لمدينة جدة	٢٠٣
١٩	تكسر الأمواج عند مدخل خليج منقابة	٢٠٦
٢٠	نشأة السبخات نتيجة لإنخفاض منسوب المياه فى خور رقم (٢)	٢٠٦
٢١	نمو نباتات ملحية فى سبخة ساحلية شرق بحيرة الشعبية	٢١٤
٢٢	ظهور طبقة من الأملاح على سطح سبخة داخلية فى مصب وادى فاطمة	٢١٤
٢٣	استواء سطح السبخات فى السبخة ك جنوب المنطقة الصناعية	٢٥٦
٢٤	المضلعات الملحية على سطح السبخات فى السبخة (م) فى مصب وادى فاطمة	٢٥٦
٢٥	التشوهات على سطح السبخات فى السبخة (ص) حى المحمدية شمال جدة	٢٥٦
٢٦	الخنادق الطولية على سطح السبخة (ن) شرق غوب أبو كلاب	٢٦١
٢٧	نباك على سطح السبخة (م) مروحة وادى فاطمة	٢٦١
٢٨	ظهور قشرة ملحية على سطح السبخة (أ) أبجر الشمالية	٢٦١
٢٩	تكوين منطقة المضيق فى منابع وادى فاطمة	٢٨٠
٣٠	تكوين حرة النهامية ويرجع إلى عصر الأوليجوسين	٢٨٠
٣١	صدع فاج	٢٨١
٣٢	نظم الفواصل فى السفح الشمالى لوادى فاطمة	٢٨١

الرقم	الصور	الصفحة
٣٣	البرك فى مجرى وادى فاطمة فى القطاع الأوسط من مجرى الوادى.....	٢٩٠
٣٤	ثنية نهريه فى منطقة الروضة الشمالية.....	٢٩٠

الجزء الأول

دراسات جيومورفولوجية

في الأراضي المصرية

البحث الأول

مروحة واحد الحى
دراسة جيومورفولوجية

مجلة كلية الآداب - جامعة الزقازيق - فرع بنها

العدد الثالث ٩٢ / ١٩٩٤

مروحة وادى العى دراسة جيومورفولوجية

تمثل المرواح الفيضية أكثر الظواهرات الجيومورفولوجية إنتشاراً فى الأقاليم الجافة وشبه الجافة. والمرواح الفيضية هى أحد الأشكال الناتجة عن إرساب المياه الجارية، فهى تتكون عند أقلام السفوح من المواد المختلفة التى تحملها مجارى الأنهار التى تقطع سفوح التلال أو الجبال المجاورة. (إمبلي، ١٩٧٣، ص ٧٠). وهى هوك (Hooke, 1978) أن المرواح الفيضية هى نقطة نهاية نظام نحى إرسابى (Bull, 1977. p.226) بينما يرى دينى (Denny, 1965. p.2) أن المروحة قسم رسوبى Depositional Segment يدمون، فهو يرى أن اليلدمونت والمرواح تتكون أثناء عمليات الإرساب ونقل كميات من الأتربة والمقتات إلى الحوض المجاور.

يرجح تكون المرواح الفيضية للعوامل التالية:

- ١- تناقص الإنطار عند المرور بقمة المروحة Apex.
- ٢- تناقص العمق Depth وسرعة التدفق والذى ينتج عنه زيادة فى المرض الذى يتسرقه التدفق فى المروحة.
- ٣- حدوث تسرب من الماء للتدفق يؤدى إلى تناقص كمية التدفق وينتج عن ذلك الإرساب (Bull, 1963. p.245).

الهدف من الدراسة :

تعتبر المرواح الفيضية من أكثر الظواهرات الجيومورفولوجية إنتشاراً فى جمهورية مصر العربية، وكما سبق أن أوضحنا فهى تمثل إحدى الظواهرات الناتجة عن إرساب المياه الجارية التى تحملها مياه الأنهار وترسيبها عند أقلام السفوح. وبالتالي فهى تتكون من رواسب خشنة من الحصى والحصىاء، ورواسب ناعمة من الرمال والطين والصلصال. وعادة ما يتميز سطح المرواح بالإنحطارات الخفيفة. ومن ثم فهى تصلح للتوسع الزراعى

والممراتى على الأقل فى الأجزاء الدنيا من المروحة ولهذا تهدف هذه الدراسة إلى ما يلى:

- ١- تحديد المناطق الصالحة للزراعة.
- ٢- تحديد المناطق التى تصلح للتوسع العمرانى.
- ٣- تحديد مدى الاستفادة من المياه الجوفية التى يمكن الاستفادة منها فى العديد من الأغراض.
- ٤- تحديد مدى إمكانية استخدام رواسب المروحة كمواد للبناء.

موقع وادى الحى وملامحه العامة:

يقع وادى الحى إلى الشرق من وادى النيل وإلى الجنوب من مدينة حلوان بنحو ١١ كم وينبع وادى الحى من جبل الحى ويصب إلى الشمال من منطقة الصف عند السهل الفيضى لنهر النيل. ويبلغ أقصى ارتفاع لحوض الوادى ٥٠٥ م فوق منسوب سطح البحر، بينما يبلغ أدنى ارتفاع للحوض ٤٤ متر فوق مستوى سطح البحر عند إلتقاء مروحة الوادى بالسهل الفيضى لنهر النيل.

يقع حوض وادى الحى بين دائرتى عرض ٢٩° ٣٠' و ٢٩° ٤٠'، وبين خطى طول ٣١° ٢٠' و ٣١° ٤٠'، ويحد الوادى شمالاً خط تقسيم المياه الذى يفصل بينه وبين وادى الهيرة، ويحده جنوباً خط تقسيم المياه الذى يفصل بينه وبين وادى الورد. ويتصل بالوادى العديد من الروافد نذكر منها وادى رزوم، وادى الصخرية، وادى أم رمث، هذا بالإضافة إلى عدد آخر من الروافد الثانوية. شكل (١).

يبلغ أقصى طول للمجرى الرئيسى لوادى الحى ٤٠ كم وأقصى عرض ١٠ كم وتبلغ مساحة حوض الوادى ٢٠٢ كم^٢، بينما تبلغ مساحة مروحته موضوع الدراسة ٤٩ كم^٢. والانحدار العام للوادى من الشرق إلى الغرب، ويبلغ معدل إنحدار الحوض ١١٦/١ بزاوية إنحدار قدرها ٠,٥°.



شكل (١)
موقع وادى الحى

التكوين الجيولوجي:

يتراوح عمر التكوينات الجيولوجية في وادي الحى بين الأيوسين الأوسط والحديث، وأهم التكوينات الجيولوجية هي: (Said, 1962, p.217).

(١) تكوينات الأيوسين الأوسط Middle Eocene

تتكون صخور الأيوسين الأوسط من حجر جيرى طباشيرى أبيض مع وجود طبقات مارلية أحياناً بالقرب من القمة، والحجر الجيري صخري صلب بلورى، ونظراً لتعرضه لمعاملات التجوية فترة زمنية طويلة أدى ذلك إلى تحول لونه إلى اللون البنى أو الرمادى الغامق أو اللون الأسود وتشكل تكوينات الأيوسين الأوسط منابع وبعض الأجزاء الوسطى من مجرى وادي الحى.

(٢) تكوينات الأيوسين الأعلى Upper Eocene

وهي تختلف عن إرسابات الأيوسين الأوسط في أنها أكثر رملية وطفلية وتميل إلى اللون الداكن وهي تتشكل الأجزاء الوسطى من مجرى وادي الحى وروافده الجنوبية.

(٣) البليستوسين Pliocene

وهي تكوينات على شكل تتابع من الحصى يغطي طبقة رقيقة من الحجر الجيري الأبيض إلى الرمادى، الصلب، (Pliocene & Holocene Ibid. p.224).

(٤) البليستوسين والحديث Pliocene & Holocene

وهي تشكل الأجزاء الدنيا من مجرى وادي الحى ومروخته وهي رواسب خشنة تتكون من الرمال بمختلف أحجامها والحصى والحصى والجلاميد والصلصال.

الظروف المناخية العالية:

تم الاعتماد في هذه الدراسة على بيانات محطة أرصاد حلوان نظراً لأنها أقرب المحطات لمنطقة وادي الحى (Climatological Normals, 1975, pp.150-153).

الحرارة :

توضح تسجيلات درجات الحرارة لمحطة حلوان أن متوسط درجة الحرارة اليومية ٢١,٢ م، وكانت درجة الحرارة العظمى ٢٨ م والحرارة الصغرى ١٥,٦ م، وكانت أدنى حرارة سجلت صفر مئوى فى ١٩٥٠/٦، وكانت أعلى درجة حرارة ٤٧,٥ م فى ١٩٣٣/١٣.

الأمطار :

تشير تسجيلات المطر فى محطة حلوان أن متوسط كمية المنصر السنوى ٢٣,٣ م، وأن الفصل الرئيسى للأمطار هو فصل الشتاء، وقد سجلت أقصى كمية للأمطار فى يوم واحد ٢٧,٥ م فى ١٩٤٥/٢٣. وهذا يدل على زيادة كمية أمطار السيول على قدرة التربة على التسرب مما ينتج عنه حدوث جريان سطحى فى مجرى وادى الحى ومروخته عقب سقوط السيول الغزيرة، وقد يترتب على ذلك العديد من الأخطار الجيومورفولوجية الواضحة فى مجرى الوادى ومروخته.

الرياح :

يمثل إتجاه الشمال والشمال الغربى الإتجاهات الرئيسية للرياح فى محطة حلوان حيث تمثل ٢١,٤ ٪ و ١٧ ٪ على التوالى من المجموع الكلى لإتجاهات الرياح فى محطة حلوان وتمثل سرعة الرياح ٧,٨ عقدة.

الرطوبة النسبية :

يبلغ المعدل السنوى للرطوبة النسبية ٥٧ ٪ بينما يتراوح المتوسط الشهرى لها ما بين ٣٦ / ٥٧ ٪.

التبخر :

قدر المعدل السنوى للتبخر ١١,١ م، وترتفع معدلات التبخر خلال شهور الصيف لتصل إلى ١٤ م وتنخفض شتاءً إلى ٦ م.

خصائص الرواسب السطحية للمروحة:

تكون الرواسب السطحية للمروحة من رواسب ناعمة من الرمال والطين والصلصال مع رواسب خشنة من الجلاميد والحصى والحصى، وتعتبر دراسة هذه الرواسب السطحية من الدراسات الهامة عند دراسة المراحل القليلة حيث إنها تشير إلى الخصائص العامة لهذه الرواسب من حيث الحجم، والشكل والتكوين البيولوجي وأنماط الترسب التي كانت سائدة أثناء تكوين المروحة وكيفية ترسيب هذه الرواسب.

أولاً: الخصائص العامة لرواسب مروحة وادي الحى:

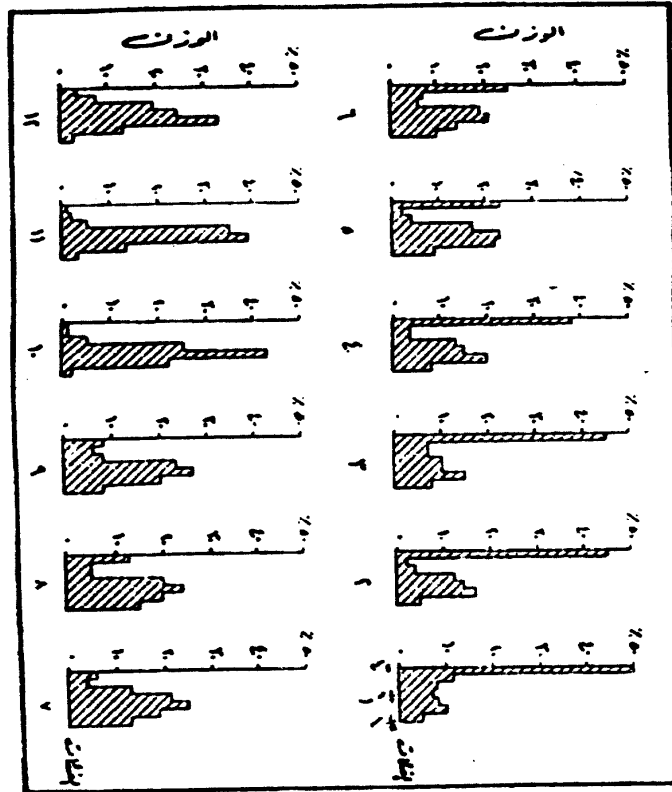
تهدف هذه الدراسة إلى إجراء تحليل وصفي كمي دقيق للرواسب المروحة من حيث الحجم والتصنيف والشكل والإستدارة والتكوين البيولوجي، كما أنها تهدف إلى التعرف على الخصائص الهيدروλογيه للمروحة أثناء مراحل تكوينها، وفي الوقت الحالي، ولتحقيق هذا الهدف تم جمع ١٢ عينة من الرواسب السطحية من مناطق مختلفة من المروحة شكل (٨) وتم تحليلها معملياً حيث تبين النتائج التالية:

(١) التحليل الحجمي لرواسب المروحة :

عرف كرومبين (Krumhein, 1963. p.96) التحليل الحجمي للرواسب بأنه تصنيف الرواسب إلى فئات تبعاً لحجم الحبيبات وقد إستعمل في هذا التحليل طريقة التحليل بالمناخل Sieve analysis كما تم الإعتماد على مقياس حجم الرواسب الذي وضعه وتورت Wentworth Index ومن الشكل رقم (٢) يلاحظ مايلي:

١- إن العينات التي أخذت من قمة المروحة ترتفع فيها نسبة المواد الخشنة من الحصى (٤٤) حيث تراوحت نسبة المواد الخشنة من بين ٢٢٢.٩ إلى ٢٥٠.١ في العينات رقم (١، ٢، ٣، ٤) جدول رقم (١).

ويرى بيتي (Beaty, 1963. p.534) أن لرواسب مفتتات كبيرة الحجم على سطح المروحة يشير إلى دور محدود لإرساب المياه الجارية، وأن تلحق المقصات يحدث في البداية نتيجة لحدوث أمطار غزيرة في فترة قصيرة في الجبال، ويكون الإنسياب السطحي محدداً



شكل (٢)
نتائج التحليل الحجمي لرواسب مروحة وادي الحى

- في مجار رئيسية بينما تتبع المياه والمفتتات أى مسار أسفل سطح المروحة.
- ٢- تنخفض نسبة الحصى في عينات وسط المروحة لتمثل ما يتراوح بين ٦٪ إلى ١١,٥٪ من إجمالي وزن العينات.
- ٣- تنخفض نسبة الحصى إنخفاضاً واضحاً في عينات هامش المروحة لتتراوح بين ٠,٠٢ إلى ٢٧,٥٦٪ في عينات (٩، ١٠، ١١، ١٢) مما يشير إلى تناقص حجم الرواسب الخشنة بصفة عامة من قمة المروحة نحو أطرافها.
- ٤- يمثل الرمل الناعم (فئة ٢/١ مم) القمة الثانية في معظم العينات وخاصة في عينات وسط ونهاية المروحة (عينات رقم ٧ إلى رقم ١٢) بينما يمثل الرمل الناعم جداً فئة (٨/١ مم) القمة الثانية في عينات قمة المروحة (عينات من ١ إلى ٤).
- ٥- تراوح متوسط حجم حبيبات رواسب المروحة ما بين ٠,٠٦٣ مم إلى ٣,٦٣ مم وكان المتوسط العام لجميع العينات ١,٨٢ مم. وبصفة عامة يقل متوسط حجم العينات بالتدرج من قمة المروحة نحو أطرافها.
- ٦- من حساب قيمة الخطأ المحتمل لمتوسط حجم رواسب عينات المروحة بتطبيق المعادلة التالية: (Krumbein, 1934. pp. 199-204).
- الخطأ المحتمل = ثابت كرومبين ٦٧٤٥ × الانحراف المعياري Probable Error.
- يتضح أنه = ٠,٦٨ وبالتالي يمكن القول بأن هذه العينات تمثل رواسب المروحة وتمثل النسبة المثوية لمتوسط حجم الرواسب ٠,٣٧٤^(١).
- ٧- يشير التدرج في حجم الرواسب من قمة المروحة نحو أطرافها على تغير طبيعة الجريان المائي الذي يكون جريان مركز عند قمة المروحة ثم يتحول إلى جريان غير مركز في وسط المروحة وأطرافها، مع تناقص الانحدار العام.

$$\frac{\text{الخطأ المحتمل}}{\text{المتوسط الحسابي}} = \text{(١) النسبة المثوية لمتوسط حجم الرواسب}$$

(٢) تصنيف الرواسب :

تم حساب معامل تصنيف الرواسب Sorting Coefficient باستخدام معادلة تراسك (Trask, 1930. p.581).

$$\text{معامل التصنيف} = \sqrt{\frac{\text{الرياح الأعلى}}{\text{الرياح الأدنى}}}$$

ووفقاً لقيمة معامل التصنيف الذى وضعه تراسك للإرسابات تبين أن قيم معاملات التصنيف للعينات موضوع الدراسة تراوحت بين ١,٥٠ و ١,٧١ ويمكن تصنيفها على النحو التالى:

- أ- العينات رقم (١ و ١٠) ذات تصنيف جيد Well Sorted.
 - ب- العينات رقم ٣ و ٨ و ٩ و ١٢ ذات تصنيف متوسط Moderately.
 - ج- باقى العينات الأخرى ذات تصنيف سيء Poorly Sorted.
- وبذلك يتضح أن السمة الغالبة على عينات رواسب مروحة وادى الحى أنها ذات تصنيف سيء وهذا يدل على مايلى:
- أ- عدم حدوث إرساب بواسطة المياه الجارية الذى يؤدي إلى تصنيف متدرج للإرساب (Beaty, 1963. p533) مما يشير إلى أنها ناتجة عن إرساب التدفق السيلى Mudflow Deposits وهى تحدث عندما يكون السطح مكوناً من رواسب مفككة. وتكون السفوح ذات درجة انحدار تسمح بالنحت السريع للمواد (Bull, 1977, p.236).
 - ب- حدوث جريان مضطرب تختلف فيه السرعات مما يؤدي إلى اضطراب تصنيف الرواسب.
 - ج- أن المواد المترسبة تنهال بسرعة كبيرة ولا تترك مجالاً للتيارات لتعمل على تصنيفها (الحمدان، ١٩٧٥، ص ٦١).

د- أن طبيعة الجريان في مجرى وادى الحى غير منتظمة، وأن الإرساب يتم عقب حدوث السيول مما يؤدي إلى وجود إرسابات ذات أحجام متنوعة (Ibrahim, 1968. p.87).

(٣) مقياس الالتواء Skewness Index

تم حساب مقياس الالتواء باستخدام معادلة تراسك:

$$\text{مقياس الالتواء} = \frac{\text{الربيع الأدنى} \times \text{الربيع الأعلى}}{\text{مربع الوسيط}}$$

ولقد تبين أن جميع منحنيات الرواسب غير متماثلة حيث أنها تتكون من رواسب خشنة بنسب تراوحت بين ١,٠٦٪ إلى ٥٠,١٪ مع وجود ذيل للمنحنيات نحو الأحجام الدقيقة والتي تراوحت نسبتها بين ٢,٢٨٪ إلى ١٥,٥٥٪ من إجمالي وزن العينات.

(٤) شكل الرواسب Shape Analysis

تهدف دراسة شكل الحبيبات إلى:

أ- معرفة أصل شكل الحبيبة بعد النقل ومعرفة الخصائص الطبيعية لحبيبات الرواسب.

ب- معرفة اتجاه حركة نقل الحبيبات.

ج- التعرف على البيئة المناخية بعد عملية الإرساب (David, 1977. p.111).

وسوف يتم فيما يلي دراسة شكل الحبيبات من خلال دراسة الإستدارة، التكور، التفرطح، الإستطالة، وتعتمد هذه الدراسة على قياس محاور الحبيبات ونصف القطر (Blenck, 1960) Radius of Curvature.

الإستدارة:

تمت دراسة للحبيبات الخشنة باستخدام مقياس باورز للإستدارة وهو مقياس مرئى

Visual Comparison ويتراوح فيه المدى بين الفئات من ٠,١٢ إلى ١ (Ibid. p.117 ومن الشكل رقم (٣) يلاحظ ما يلي:

١- تراوح متوسط الاستدارة للرواسب الخشنة فى مروحة وادى الحى بين فئة حاد جداً (٠,١٢-٠,١٧) وفئة مستدير (٠,٤٩-٠,٧٠).

٢- ترتفع نسبة الحصى الحاد جداً وشبه الحاد فى عينات رأس المروحة حيث بلغت النسبة فى العينة رقم (١٠) ١٥,٢ ٪ و ٢٠,٣ ٪ و ٢٥,٣ ٪ على التوالى.

٣- ترتفع نسبة الحصى المستدير وشبه المستدير فى عينات نهاية المروحة ارتفاعاً ملحوظاً حيث بلغت النسبة فى العينة رقم (١٢) ٤٥,٣ ٪ و ٤٢,٧ ٪ على التوالى.

٤- مما سبق يتضح أن نسبة استدارة الحصى تزيد فى اتجاه أطراف المروحة.

٥- من دراسة العلاقة بين معامل الاستدارة ومتوسط حجم العينات تبين وجود علاقة فيما بينهما حيث تراوحت قيمة معامل الارتباط بين ٠,٧٧ و ٠,٩٢ وهى فى هذا تتفق مع دراسة (Goudie and Watson, 1981) وتختلف عن دراسة إمبابى وعاشور، ١٩٨٥ ص ٣٢) و(دسوقي، ١٩٠، ص ١١).

٦- من حساب قيمة معامل الاختلاف Coefficient of Variation لتقدير قيمة تجانس قيم الاستدارة لعينات مروحة وادى الحى، تم تطبيق معادلة Lutting وهى:

$$\text{معامل الاختلاف} = \frac{\text{الانحراف المعياري}}{\text{المتوسط}} \times 100$$

ووفقاً للتصنيف الذى وضعه Lutting تكون قيمة استدارة رواسب مروحة وادى الحى أقل تجانساً Heterogeneous حيث كان قيمة معامل الاختلاف ٥٠,٦١ (Butzer, 1965. P.162).

التكوير :

هو النسبة بين مساحة سطح الحبيبة والشكل المتكوير (David, 1977 p.111) ولقد تم دراسة تكوير حبيبات مروحة وادى الحى وفقاً لتصنيف زنج Zingg's Classification على أساس قياس الأبعاد الثلاثة للحبيبة وحساب العلاقة بين نسبة العرض/الطول ونسبة السمك/العرض (Ibrahim., 1968.p89)

جدول رقم (١)

نسبة أشكال الحصى في مروحة وادى الحى

الموقع	الشكل	قرص	كروى	ورقى	قضيبي
رأس المروحة		٪١٦.٧	٪١٢.٢	٪٥.٨	٪٦٥.٦
هامش المروحة		٪٢٥.٨	٪١٠.٢	٪٨.١	٪٥٥.٩

ومن الجدول السابق يتضح أن الشكل القضيبى يسود على أشكال الرواسب الخشنة فى عينات رأس المروحة وهامشها حيث تراوحت نسبته بين ٪٥٥.٩ و ٪٦٥.٦ من إجمالي حجم العينات. يليه الشكل القرصى حيث تراوحت نسبته بين ٪١٦.٧ و ٪٢٥.٨ ثم الشكل الكروى وتراوحت نسبته بين ٪١٠.٢ و ٪١٢.٢ وأخيراً الورقى وكانت نسبته ٪٥.٨ و ٪٨.١ من إجمالي حجم العينات.

ومن دراسة العلاقة بين متوسط التكوير ومتوسط حجم الرواسب تبين وجود علاقة ارتباط فيما بينهما حيث كانت قيمة معامل الارتباط ٠.٦٣.

التفرطح:

التفرطح هو العلاقة بين سمك الحبيبة والطول والعرض، وتهدف هذه الدراسة إلى تحديد الحركة الشائعة لانتقال حصى المروحة، ولتحقيق هذا الهدف تم الاستعانة بالجدول الذى وضعه بوتز لهذا الغرض (Butzer, 1965. p).

جدول رقم (٢)
حركة الحبيبات طبقاً لمعامل التفرطح

نوع الحركة السائدة	$\frac{ج}{ب}$	$\frac{ج}{ا}$
الإنزلاق	أقل من ٠,٦٥	أقل من ٠,٥٠
الإنزلاق والتدحرج	٠,٦٥ - ٠,٧٥	٠,٥٠ - ٠,٦٠
التدحرج	أكثر من ٠,٧٥	أكثر من ٠,٦٠

من مقارنة قيمة معامل التفرطح الذى تراوحت فيه قيمة السمك/الطول بين ٠,٤٦، ٠,٨٠ وقيمة السمك/العرض بين ٠,٩٥، ١,٢٥ مع جدول بوتزر السابق الإشارة إليه يتضح أن الحركة السائدة لحصى مروحة وادى الحى هى التدحرج Rolling motion.

ثانياً: أنماط الترسيب

تعكس الخصائص العامة لرواسب مروحة وادى الحى أنها ترسبت على شكل شبكة من قنوات متشعبة Braided Distributary Channels مع وجود إرسابات مصنفة Sieve deposits تم تشكيلها لتكون الرواسب السطحية للمروحة من رواسب خشنة ومسامية (Bull, 1977. p.234).

ويرى بيتى (Beaty, 1963. p.533) أن وجود حقول من الكتل الخشنة مع قليل من المواد الناعمة يرجع إلى حدوث سيل فى فترة قصيرة إستطاع غسل المواد الناعمة بعيداً عن السطح.

ويمكن تقسيم عمليات الإرساب على سطح المروحة على النحو التالى:

(١) إرسابات غطائية Sheet of sediments وهى رواسب تم ترسيبها بواسطة أمواج من الماء إنتشرت من نهاية المجرى على سطح المروحة مما أدى إلى إمتلاء القنوات الضحلة على سطح المروحة سريعاً بالرواسب. ويتميز هذا النوع من الإرسابات بأنه متنوع وربما يكون طباقياً.

(٢) إرسابات مصنفة Sieve deposits ويرى هوك (Hook, 1967) إنها تكونت نتيجة لمرور الماء خلال أكثر من قناة حيث تعمل هذه القنوات كمصافى للماء حيث تنقل الرواسب الناعمة وترسب المواد الخشنة.

(٣) رواسب ناتجة عن تدفق المفتتات Debris flow deposits وتنتج هذه الرواسب عن النقص في سرعة وعمق الجريان، ويمتاز هذا النوع من الرواسب بأنه مصنف ويرسب على شكل جسور طبيعية Levees مجاورة لقنوات المجارى التى تقطع سطح المروحة، ويسود هذا النوع من الرواسب بالقرب من قمم المروحة.

هذا ويشير وجود جلاميد مغطاة بالطمي ذات سطح أملس إلى حدوث تدفق حديث بالمروحة والذي حدث فى عام ١٩٦٢، وكان آخر سيل بالمروحة عام ١٩٩٠ (Bull, 1977, pp.234-236).

البنية الداخلية لمروحة وادي الحى، Stratigraphy of the Fan:

يعتبر العالم دريو (Drew, 1873) هو أول من إهتم بدراسة استراتيجية المراوح الفيضية. ثم تبعه بعد ذلك العديد من الباحثين مثل جلبرت (Gilbert 1890) ثم تيرا وبيترسون (Terra and Peterson 1939) ثم لوتيج (Lustig. 1956) وبان وبولار (Pain and Pullar, 1968).

ولقد تم دراسة البنية الداخلية لرواسب مروحة وادي الحى من خلال قطاعين رأسيين شكل (٤).

قطاع رقم (١)

الموقع	مراحل الإرساب	سمك الرواسب (سم)	خصائص الرواسب
رأس المروحة	(٥)	٣٥	رواسب من الرمال والحصى ، يتراوح حجم الحصى بين ٤مم و ٦٤مم.
	(٤)	١٥	رمل ناعم تنخفض فيه نسبة الحصى مع صلصال وطيني ويتراوح حجم الحصى ما بين ٤مم ، ١٢٨مم.
	(٣)	٩٥	رواسب من رمال وحصى و جلاميد يتراوح حجم الجلاميد بين ٢٥٦مم و ٤٠٠مم.
	(٢)	١٥	رمال ناعمة وصلصال وطيني رواسب حصوية صغيرة يتراوح حجم الحصى بين ٤ إلى ٨مم
	(١)	٦٠	رواسب من الرمال والزلط الخشن الكبير الحجم يتراوح حجمه بين ٦٤ إلى ١٢٨مم.

يتضح من القطاع رقم (١) ما يلي:

- ١- يتكون هذا القطاع من طبقات متتابعة تتكون من:
أ- مواد ناعمة من الرمال والطيني والصلصال.
ب- مواد خشنة من الجلاميد والزلط والحصى.
- ٢- يشير تباین أحجام الرواسب بين الطبقات إلى حدوث مجموعة من دورات الإرساب تختلف في نوع ما تحمله من رواسب من حيث النوع والحجم مما يشير إلى اختلاف قوة كل مرحلة من مراحل الإرساب، فإذا قسمنا الطبقات السابق

الإشارة إليها إلى مراحل إرساب تبدأ من أسفل إلى أعلى يلاحظ أن المرحلة الثالثة كانت أقوى المراحل وأطولها حيث تم فيها نقل وترسيب جلاميد كبيرة الحجم يزيد حجمها عن ٢.٥٦ م. كما بلغ سمك هذه الطبقة ٩٥ سم وهو أكبر سمك في القطاع يليها في ذلك المرحلة الأولى ثم الرابعة والخامسة.

قطاع رقم (٢)

الموقع	مراحل الإرساب	سمك الرواسب (سم)	خصائص الرواسب
نهاية المروحة	(٣)	٦٠ سم	رمال ناعمة وصلصال وطمي مع نسبة صغيرة من الحصى، والحصباء والتي يتراوح حجمها بين ٤-٣٢ مم.
	(٢)	١٠٠ سم	رمال ناعمة وصلصال وطمي مع نسبة ضئيلة جداً من الحصى يتراوح حجمه بين ٢-٤ مم.
	(١)	١٥٠ سم	رمال ناعمة وصلصال وطمي

من القطاع رقم (٢) يتضح ما يلي:

(١) يتكون هذا القطاع من ثلاث طبقات تتكون من نسبة كبيرة جداً من المواد الناعمة، من الرمال والطيني والصلصال مع نسبة ضئيلة جداً من الحصى والحصباء. مما يشير أيضاً إلى تتابع مراحل الترسيب كما سبق الإشارة في القطاع السابق.

(٢) من مقارنة القطاع رقم (١) مع القطاع رقم (٢) يتضح:

أ- أن حجم الرواسب في القطاع رقم (٢) أقل من القطاع رقم (١) ويرتبط هذا بطبيعة الإرساب من قمة المروحة إلى نهاية المروحة حيث يبدأ عادة

بالرواسب الخشنة عند القمة وتقل أحجام الرواسب كلما إتجهنا نحو أطراف المروحة.

ب- إن سمك الطبقات المكونة من المواد الناعمة يزداد فى نهاية المروحة حيث إزداد سمك الطبقات من ١٥ ، ٣٥ ، ٦٠ سم فى قمة المروحة إلى ١٠٠ ، ١٥٠ سم فى نهاية المروحة.

مورفولوجية مروحة وادي الحي:

تشمل دراسة مورفولوجية مروحة وادي الحي مايلى:

أولاً: مساحة المروحة وعلاقتها بمساحة حوض التصريف.

ثانياً: خصائص سطح المروحة من حيث:

١- تحليل درجات الإنحدار على سطح المروحة.

٢- درجة تقوس المروحة.

ثالثاً: أهم الظاهرات الجيومورفولوجية على سطح المروحة وتشمل:

١- الأودية المتشعبة.

٢- الجزر.

أولاً: مساحة المروحة وعلاقتها بمساحة حوض التصريف:

يرى بل (Bull, 1965. p.127) أن المراوح الفيضية والمجارى المرتبطة بها وأحواض التصريف تمثل نظاماً هيدرولوجياً مفتوحاً Open Hydrologic system ويتحكم فى مساحة وخصائص المروحة عدد من العوامل هى:

١- المساحة.

٢- ليثولوجية منطقة التصريف المرتبطة بها.

٣- الغطاء النباتى.

٤- إنحدار وكمية تصريف المجرى النهري.

٥- المناخ والعمليات التكتونية بالمنطقة.

٦- هندسية المراوح وحوض الإرساب.

ومن دراسة العلاقة بين مساحة المروحة موضوع الدراسة ومساحة حوض التصريف، تبين أن مساحة المروحة = ٤٩ كم^٢، وإن إجمالي مساحة حوض التصريف = ٢٠٢ كم^٢، وبذلك فإن مساحة المروحة ٢٤,٣٪ من إجمالي مساحة حوض التصريف وهذا يختلف عن ما توصل إليه ديني (Denny, 1965. p38) في دراسته عن المراوح الفيضانية في Death Valley حيث وجد أن مساحة المروحة يتراوح بين نصف إلى ثلث مساحة حوض التصريف ويختلف أيضاً عن دراسات هوك Hook. (Bull, 1977, P. 247) وهو يرى أن حجم المروحة في تكوينات الحجر الطيني والطفل يعادل ٦/١ حجم منطقة المنبع Source.

ولقد وضعت موريساوا (Morisawa) المعادلة التالية لتحديد العلاقة بين مساحة المروحة وحوض التصريف:

$$م.م = ت \times (م.ح) \times ن$$

$$\text{حيث أن: } م.م = \text{مساحة المروحة}$$

ت = رقم تقديري يتراوح قيمته بين ١٥,٠ و ٢,١ وتكون القيمة كبيرة عندما يكون حوض التصريف كبير ومع إنخفاض درجة الانحدار.

$$م.ح = \text{مساحة حوض التصريف}$$

$$ن = \text{رقم ثابت قيمته } ٠,٩$$

ومن تطبيق المعادلة السابقة على مروحة وادي الحي كان ناتج المعادلة ٤٥,٤٥ كم^٢ وهو رقم قريب من مساحة المروحة الذي تم قياسه من الخرائط الطبوغرافية والصور الجوية وهو يشير إلى وجود علاقة بين مساحة المروحة ومساحة حوض التصريف.

ثانياً، خصائص سطح المروحة:

(١) درجات الإنحدار :

من دراسة درجات الإنحدار علي سطح المروحة يلاحظ ما يلي:

- ١- تتراوح زوايا الإنحدار علي سطح المروحة بين صفر و ٢٥°، تشكل الإنحدارات الخفيفة (صفر-٩٠) ٨٣,٣ ٪ من إجمالي أطوال المسافات الأرضية والإنحدارات المتوسطة (١٠-٢٤)، ١٦,٧ ٪ من جملة أطوال المسافات الأرضية، وبهذا يتميز سطح المروحة بالإنحدارات الخفيفة شكل (٥).
- ٢- تسود الإنحدارات الخفيفة عند هامش المروحة حيث تتراوح زوايا الإنحدار عند الهامش في قطاع رقم ٤ و ٥ (صفر و ٥°).
- ٣- تتمثل الإنحدارات المتوسطة في القطاعات رقم ١، ٢، ٣ من إجمالي أطوال المسافات الأرضية في القطاعات الثلاثة علي التوالي.
- ٤- تعد الزاوية ٥° هي الزاوية المميزة في جميع القطاعات علي سطح المروحة حيث تمثل ١٧,٤ ٪ من جملة الأطوال، وتمثل ٣٣,٣ ٪ القطاع رقم (٣) عند رأس المروحة و ٣٧,٧ ٪ في قطاع رقم (٤).
- ٥- تعتبر الزاوية الحدية الدنيا لمجموعة الإنحدارات الخفيفة هي صفر°، والزاوية الحدية العليا ٢° بينما تعتبر الزاوية الحدية الدنيا لمجموعة الإنحدارات المتوسطة للزاوية المميزة هي ١٠° الحدية الدنيا ١٤° والحدية العليا ١٢° شكل (٦).

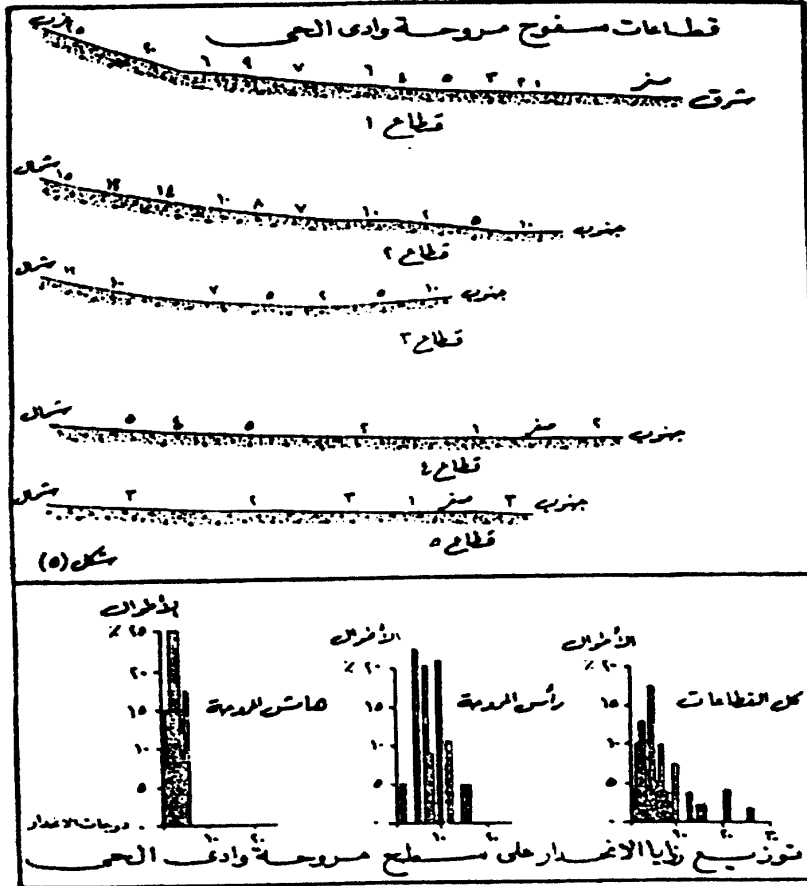
(٢) درجة تقوس سطح المروحة:

من تحليل قيم التقوس تبين:

- (١) وجود ثلاث مجموعات رئيسية لقيم التقوس علي سطح مروحة وادي الحى وهي:
 - أ- المجموعة الأولى تشير إلى الأجزاء المستقيمة التي لا يتغير فيها الإنحدار وهي تشغل ٧,٣ ٪ من جملة الأطوال في جميع القطاعات، وتمثل ٦,٢٥ ٪ في

شكل (٥)

قطاعات سفوح مروحة وادى الحى



شكل (٦)

توزيع زوايا الانحدار على سطح مروحة وادى الحى

رأس المروحة و٧,٧٪ في هامش المروحة.

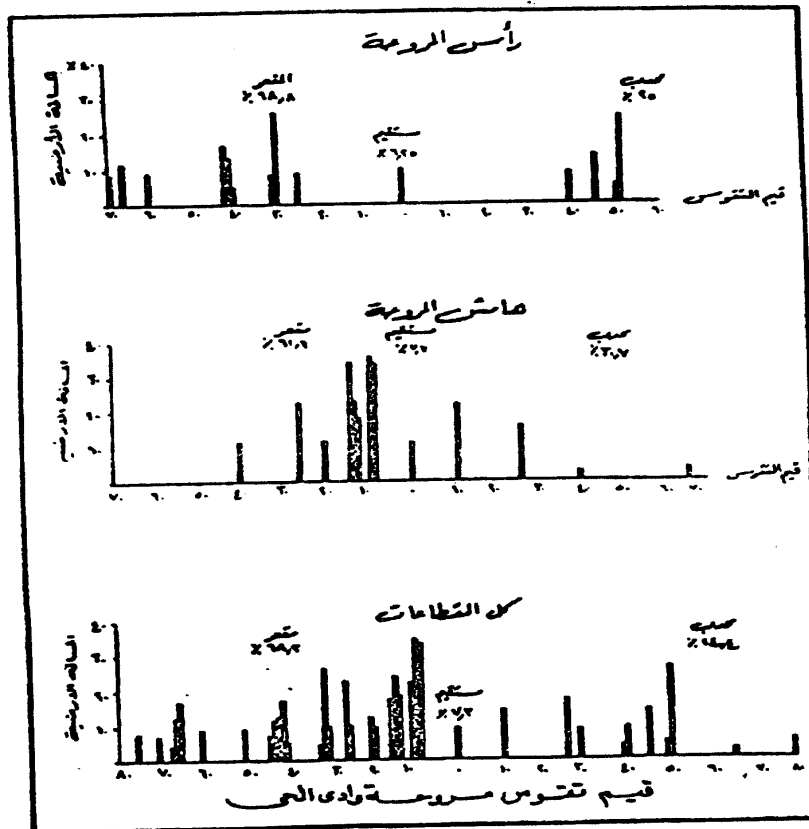
ب- المجموعة الثانية وهي مجموعة سالبة تضم العناصر المقعرة وتتراوح قيمها ما بين ٧ درجات و٧٦ درجة وتمثل ٦٨,٣٪ من جملة الأطوال في كل القطاعات و٦٨,٨٪ في رأس المروحة و٦١,٦٪ في هامش المروحة.

ج- المجموعة الثالثة وهي مجموعة موجية وتضم العناصر المحدبة وتتراوح ما بين ٨ درجات و٨٠ درجة وهي تمثل ٢٤,٤٪ من جملة الأطوال في كل القطاعات و٢٥٪ في رأس المروحة و٣٠,٧٪ في هامش المروحة.

(٢) تنقسم مجموعة العناصر المقعرة إلى أربع مجموعات فرعية حيث تمثل التقوسات الحفيفة (١-٩ درجة) ٩,٩٪ من جملة أطوال العناصر المقعرة والتقوسات المتوسطة (١٠-٢٤ درجة) ٤٣٪ والتقوسات الشديدة (٢٥-٣٩ درجة) ١٤,٦٪ والتقوسات الشديدة جداً (٤٠-٩٠ درجة) ٣٢,٤٪ من جملة الأطوال.

(٣) تنقسم مجموعة العناصر المحدبة إلى أربع مجموعات فرعية: تقوسات متوسطة من (١٠-٢٤ درجة) ١٥,٦٪ من جملة أطوال العناصر المحدبة والتقوسات الشديدة من (٢٥-٣٩ درجة) ١٨,٨٪ والتقوسات الشديدة جداً (٤٠-٩٠ درجة) ٦٥,٦٪ من جملة أطوال العناصر المحدبة شكل (٧).

(٤) يري كل من دورنكامب وكنج (Doornkamp & King, 1971. p.138) أنه يمكن تحديد الشكل العام للسطح وذلك من خلال قسمة جملة أطوال العناصر المحدبة على جملة أطوال العناصر المقعرة، وإذا كان ناتج القسمة أكبر من (١) يكون الشكل العام للسطح محدباً، وإذا كان ناتج القسمة أقل من (١) يكون الشكل العام للسطح مقعراً، أما إذا كان الناتج يساوي (١)، يكون الشكل العام للسطح محدباً مقعراً، ومن تطبيق هذه المعادلة تبين أن سطح المروحة يتخذ شكلاً مقعراً حيث كانت نسبة التحدب إلى التقعر = ٠,٤٥.



شكل (٧)

قيم تقوس مروحة وادي الحى

ثالثاً: أهم الظواهرات الجيومورفولوجية على سطح المروحة:

(أ) الأودية المتشعبة :

يقطع سطح مروحة: وادي الحى عدد من الأودية المتشعبة شكل (٨) والمجرى المتشعب هو المجرى الذى ينقسم إلى عدد من المجارى تفصل فيما بينها الجزر أو الحواجز الرملية أو الحصوية (Ibrahim, 1975. p.139).

ويرجع وجود هذه الأودية المتشعبة على سطح المروحة للأسباب التالية:

١- التغير فى الإنحدار، حيث تلتقى المجارى المنحدرة فى مناطق شديدة الإنحدار بسطح قليل الإنحدار تلتقى رواسبها على شكل حواجز Bars تفصل بين المجارى وتبدأ معها عملية التشعب.

٢- كمية الرواسب ونوعيتها، فعندما تكون مواد القاع Bed load شديدة الخشونة، ومع إنخفاض طاق النهر لا تنقل هذه الحمولة وترسب المواد الخشنة، وبذلك تنشأ الحواجز التى تؤدى إلى حدوث عملية التشعب.

٣- كمية التصريف، مع زيادة تصريف النهر الذى يجرى فى تكوينات سهلة النحت يؤدى إلى زيادة حمولة القاع من الرواسب التى تم نحتها، ومع إنخفاض سرعة النهر عقب قمة الجريان تبدأ عملية لإرساب الحواجز التى تؤدى إلى حدوث التشعب (Morisawa, 1968. pp. 147-148).

٤- وجود الحواجز الرملية والحواجز الحصوية أو الجزر. (Leopold et.al 1964. p.284).

وتتميز القطاعات العرضية لهذه الأودية بأنها واسعة وضحلة، فأعماق هذه الأودية تتراوح بين ١، ٢م، ويتراوح عرضها بين ١٠ و٣٥متر، وبما ينبغى الإشارة إليه أن هذه الأودية المتشعبة قد تغير مجاريها عقب سقوط السيول.

(ب) الجزر الحصوية :

تنتشر على سطح مروحة وادي الحى عدد من الجزر الحصوية شكل (٨) وتتكون

هذه الجزر من رواسب حصوية خشنة كبيرة الحجم يتراوح حجمها بين أكبر من ٢٥٦ م إلى ١٢٨ م. تختلط بها رواسب ناعمة من الرمال المختلفة الأحجام، وتتراوح زوايا إنحدارها بين ٣ و ١٢ على الجانبين والسطح شبه مستوى حيث تراوحت زوايا انحدار السطح بين صفر و ٢.

وتتخذ الجزر الحصوية أشكالاً مختلفة بعضها يقترب من الشكل المستدير وبعضها شبه المستدير وبعضها يغلب عليه الشكل الطولي، حيث تبين أن نسبة ٦٥٪ من الجزر الحصوية المنتشرة بسطح المروحة ذات شكل طولي، ومن تطبيق المعادلة التالية: (دسوقي، ١٩٩٠، ص ٢٣).

$$\text{شكل الجزيرة} = \frac{\text{أقصى عرض للجزيرة}}{\text{أقصى طول للجزيرة}}$$

تبين أن ناتج هذه المعادلة تراوح بين ٠,٤٦ و ٠,٢٥، بينما باقى عدد الجزر يقترب من الشكل المستدير وشبه المستدير ويتراوح ناتج قسمة أقصى عرض علي أقصى طول بين ٠,٥٥ و ٠,٦٥.

أهمية الدراسة الجيومورفولوجية لمروحة وادى الحى،

تهدف هذه الدراسة إلي تحديد العلاقة بين الخصائص الجيومورفولوجية لمروحة وادى الحى وإمكانيات إستخدامات البيئة بها، وبما لا شك فيه أن تحديد موقع الظاهرة وخصائصها والأنماط المكانية هامة وضرورية فى مشروعات التخطيط وغيرها من مشروعات استغلال البيئة، كما أنها تمكن من تحديد أفضل الطرق الإقتصادية للإستخدام الأمثل للمنطقة، ولهذا تعد الدراسات الجيومورفولوجية هى الخطوة الأولى والهامية نحو التعامل مع مشاكل البيئة المتعددة من خلال تحديد شكل السطح والعمليات الجيومورفولوجية التى تؤثر فيه ومدى الإستفادة منه.

(Cook & Doornkamp, 1977. p.352)

وتتمثل أهمية الدراسة الجيومورفولوجية للمراوح الفيضية فيما يلي:

- ١- تمثل المياه المتسربة من سطح المراوح الفيضية مصدراً متجدداً للخزانات الجوفية.
- ٢- تفيد دراسة بنية المروحة في جانب الدراسات الهندسية مثل نظم نقل المياه.
- ٣- الغمر الذى يحدث بفعل المجارى التى تقطع سطح المروحة قد يهدد المزارعين أو مراكز العمران المقامة على سطح المروحة.

ويمكن الاستفادة من الدراسة الحالية من خلال الجوانب التالية:

(١) المجال الزراعى :

تتمثل مناطق الإرسابات الرملية في المراوح الفيضية وخاصة في الانحدارات السفلية أفضل أنواع التربة الزراعية، حيث إن هذه التربة عادة ما توجد أعلى لإرسابات الرمال وحصى المروحة المشبعة بالمياه اللازمة للزراعة. ومن الدراسة السابقة يلاحظ أن مروحة وادي الحى بها مساحات كبيرة جداً صالحة للزراعة وذلك نتيجة لتوافر التربة الصالحة للزراعة حيث إتضح من الدراسة السابقة سيادة نسبة الرواسب الناعمة في العينات التى تم تحليلها معملياً، هذا إلى جانب توافر المياه السطحية والباطنية بالمنطقة حيث يمر عند الهامش الغربى للمروحة ترعة الحاجر، ويمكن عن طريق شق ترعة فرعية منها يتم توصيل المياه إلى المنطقة موضوع الدراسة. هذا إلى جانب توافر المياه الجوفية بالمروحة، حيث إتضح من الدراسة الميدانية وجود عدد من الآبار بالمنطقة والتى يتراوح عمقها بين ٧ إلى ٩ متراً وبعضها يتراوح عمقها بين ٤٥ متراً و٧٠ متراً. وتستخدم مياه بعض هذه الآبار كميّاه للشرب، أما مياه الآبار التى ترتفع فيها نسبة الملوحة يتم خلطها بمياه من النيل لرى الأراضى الزراعية بالمنطقة.

ولقد تم بالفعل زراعة بعض أجزاء من سطح المروحة معتمدين فيها على المياه الجوفية وتستخدم طريقة الري بالتنقيط ومن أهم المحاصيل الزراعية بها البرتقال والزيتون والعنب والمango والخضروات.

(٢) المجال العمراني :

كما سبقت الإشارة فإن سطح المروحة خفيف الانحدار وبالتالي فهو يصلح للتوسع العمراني، كما يمكن توفير الخدمات اللازمة لمناطق العمران من كهرباء ومياه وغيرها، أما في الوقت الحالي فإن مراكز العمران تنتشر عند هامش المروحة فقط.

(٣) توفير مواد البناء :

يمكن إستخدام إرسابات المروحة كمواد بناء مثل الرمال والحصى والجلاميد وفي الوقت الحالي يتم بناء المساكن بالمنطقة من الطوب اللبن وبعضها من الطوب الأحمر، وإن كانت الغالبية العظمى من المساكن تبنى من الطوب اللبن.

الأخطار التي قد تحدث في المروحة وكيفية تجنبها :

١- قد تتعرض مناطق المراوح الفيضية لحدوث الإنهيارات الأرضية

Subsidence land (Bull, p.261)

ويمكن تحديد المواقع التي تتعرض لحدوث مثل هذه الإنهيارات لتحديد مناطق بناء المساكن بعيداً عنها بالإضافة إلى تجنب مد الطرق بالقرب منها، وعادة ما تحدث هذه الإنهيارات عند مناطق رأس المروحة.

٢- قد يتعرض سطح المروحة لحدوث الفيضانات التي تحدث عقب السيول وهي تهدد الأراضي الزراعية والطرق، ويرى Bull. (Ibid, p.261) أنه يجب أن تكون الطرق على نفس مستوى سطح المروحة، وذلك لأن الطرق التي توجد على منسوب أقل من منسوب سطح المروحة قد تتعرض للإطماء، أما التي توجد على منسوب أعلى فقد يدمرها الفيضان.

ويمكن تجنب حدوث أخطار الفيضانات عن طريق حفر مجرى لتجميع مياه السيول وإلقائها في النيل ويقترح أن يبدأ المجرى من رأس المروحة وينتهي عند ترعة الحاجر على الهامش العربي للمروحة.

رقم العينة	الوزن	وزن حجوم الحبيبات %								الترسب الحاصل	Q ₁	Q ₃	معدل التصنيف	مقياس الإرتواء
		حصى	رمل خشن جداً	رمل خشن	رمل متوسط	رمل ناعم	رمل خشن جداً	رمل ناعم	خشن					
١	١٠٠٠	٥٠.٠٠	١١.٢١	٨.٢٤	٣.٤	٧.٨٧	١.٤٨	١٠.٠٠	٤.٧١	١١.٢١	٢٩	٣٠.٧٥	١.٨١	٠.٠٠٠٢
٢	١٠٠٠	٤٥.٢٣	٢.٩١	٢.٣	١٠.٠٠	١٧.٥٢	١٠.٠٠	١٤.٠٢	٥.٢٣	٢٩.٦	٧٤	٢.٣٥	١.٧٣	٠.٠٠٠٣
٣	١٠٠٠	٤٥.٢١	٥.٩٩	٤.٩	١٠.٠٠	١٠.٠٠	١٠.٠٠	١٤.٠٢	٨.٥٥	٢٩.٦٢	١٧٨	٣.٢٤	٤.٣٣	٠.٠٠٠٠١
٤	١٠٠٠	٣٧.٦٥	٢.٨٧	١٠.٠٠	١٠.٠٠	١٤.٠٢	١٠.٠٠	١٤.٠٢	٨.٠٦	٤٤.٠٣	١٩٩	٣.٠٠٨	٣.٨٨	٠.٠٠٠٠٢
٥	١٠٠٠	٢٢.٩	٢.٩٣	١٠.٠٠	١٠.٠٠	٢٣.٥٨	١٠.٠٠	٢٣.٥٨	٩.٠٣	٤٥.٤٣	١٨٢	١.٨١	٤.٨٨	٠.٠٠٠٠٢
٦	١٠٠٠	٢٤.٤٧	١.٩٢	١٠.٠٠	١٠.٠٠	٢٣.٥٨	١٠.٠٠	٢٣.٥٨	٩.٨٣	٢١.٩	٧٤	٤.٤٠	٧.٧١	٠.٠٠٠٠٧
٧	١٠٠٠	٦	٣.٠٧٤	١٠.٠٠	١٠.٠٠	٢٣.٥٨	١٠.٠٠	٢٣.٥٨	١٣.٣٩	١٦.١٥	٩٩	١.٣٤	٤.٤٧	٠.٠٠٠٠٣
٨	١٠٠٠	١١.٠٠	٤.٥٧	١٠.٠٠	١٠.٠٠	٢٣.٥٨	١٠.٠٠	٢٣.٥٨	٢.٠٣٧	١٧.٨٢	٠.٠٠	١.٣٤	٢.٧٨	٠.٠٠٠٠١
٩	١٠٠٠	٧.٥٦	٥.٩٢	١٠.٠٠	١٠.٠٠	٢٣.٥٨	١٠.٠٠	٢٣.٥٨	٢.٠٣٧	١٤.٣١	٠.٠٠	١.٣٤	٢.٨١	٠.٠٠٠٠٢
١٠	١٠٠٠	١.٠٠	١.١٦	١٠.٠٠	١٠.٠٠	٢٣.٥٨	١٠.٠٠	٢٣.٥٨	٢.٠٣٧	١٨.٥٦	٠.٠٠	١.٣٤	١.٥٠	٠.٠٠٠٠١
١١	١٠٠٠	٠.٠٠	٢.٦٤	١٠.٠٠	١٠.٠٠	٢٣.٥٨	١٠.٠٠	٢٣.٥٨	٢.٦٤	٢٦.١	٠.٠٠	١.٣٤	١.٢٣	٠.٠٠٠٠١
١٢	١٠٠٠	٢.٥٤	١.٥٧	١٠.٠٠	١٠.٠٠	٢٣.٥٨	١٠.٠٠	٢٣.٥٨	٢.٢٦	١٥.٦٢	٠.٠٠	١.٣٤	٣.٠٠٧	٠.٠٠٠٠٢

المراجع

أولاً: المراجع العربية:

- ١- امبايى، نبيل سيد، (١٩٧٢):
«اشكال السفوح» مجلة الجمعية الجغرافية العربية، المجلد الخامس، القاهرة.
 - ٢- امبايى، نبيل سيد، وعاشور، محمود (١٩٨٥):
«الكتبان الرملية فى شبه جزيرة قطر» الجزء الثانى، مركز الوثائق والبحوث الإنشائية،
جامعة قطر، الدوحة.
 - ٣- جودة، جودة حسنين، (١٩٧٠):
«طرق بحث بتروجرافية للدراسة الجيومورفولوجية» مجلة الجمعية الجغرافية المصرية
العدد الثالث، القاهرة.
 - ٤- حمدان، عبد الله العقيل، (١٩٧٥):
«الصخور الرسوبية»، الرياض.
 - ٥- دسوقي، صابر أمين سيد، (١٩٩٠):
«مورفولوجية مروحة وادى الرشراش بالصحراء الشرقية» نشرة دورية محكمة يصدرها
قسم الجغرافية، كلية الآداب، جامعة المنيا، المجلد الرابع، العدد الثامن.
- ثانياً: المراجع الأجنبية:

1- Beaty, C.B., (1963):

"Origin of Alluvial Fans, with Mountains, California, And Nevada," Anns, Assoc. Amer Geog. Vol. 53.

2- Bull, W.B., (1963):

"Alluvial Fan Deposits in Western Fresno Country, California",
Jour. Geolog. 71, The Univ. of Chicago. PP. 243-251.

3- (1977):

" The Alluvial Fan Environment." In "Progress In physical
Geography," By Edward Arnold. Vol.1.No.2.

4- Butzer, K.W., (1965):

"Environment and Archeology: An Introduction to pleistocene
Geography" Methuen and Co. Limited. London.

5- Favid, B., (1977):

"Sediments: Sources and Methods In Geography" First Pub.
London.

6- Doorn Kamp, J.C., & king, C.A., (1970):

"Numerical Analysis. In Geomorphology" Butier & Tanner, Ltd.,
London.

7- Goudie, A., and Watson, A., (1981):

"The shapes of Desert and Dune Grains", Journal of Arid
Environment, 4.pp. 195-190.

8- Ibrahim, S.H., (1968):

"Aspects of the Geomorphological Evaluation of the Nile Valley In
the Qena Bend Area" Ph. D. Thesis Univ. of New Castle. Tyne, U.K.
(Unpub).

9- Krumbein, W.C., (1934):

"The Probable Error of Sampling. Sediments of Mechanical Analysis, Amer". Jour. Soc. Vol. 27. pp. 204-214.

10-, (1963):

"Measurement And Geological Significance of Shape And Roundness of Sedimentary Particles". Jour. Sedimentary, Pet. Vol. 11. pp. 64-72

11- Ministry Of Military Production, Metreorological Department (1975):

"Climatological Normals for United Arab Republic", Cairo.

12- Morisawa, M.E., (1985):

"Rivers: Forms And Process", Clayton, London New York.

13- Said, R., (1962):

"Geology of Egypt", New Amesterdam.

14-, (1981):

"The Geological Evolution of the River Nile", New Yourk.

15- Trask, M.R., (1930):

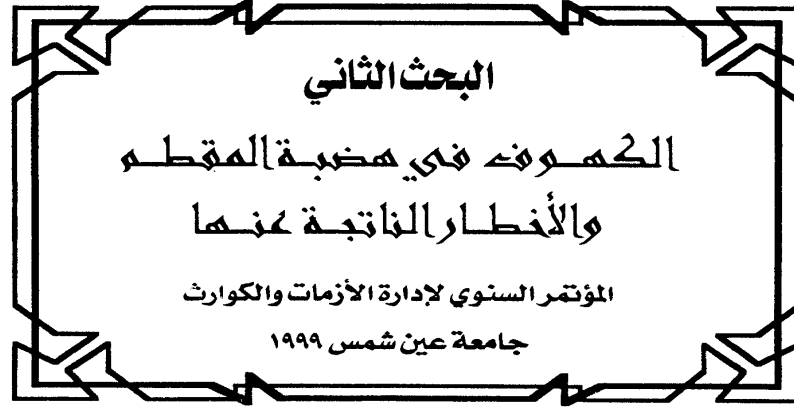
"Mechanical Analysis. of Sediments By Centrifuge" Jour. Geol. Vol. 25.

16- Wadell, H., (1933):

"Sphericity And Roundnes, of Rock Particles", Jour Geol. Vol., 41. pp. 310-337.

17- Young, A., (1972):

Slopes, "Longman".



الكهوف فى هضبة المقطم والأخطار الناتجة عنها

مقدمة:

إهتمت الدراسات فى الأونة الأخيرة بالكوارث الطبيعية لما نتج عنها من أخطار تهدد حياة الإنسان فى كل مكان، فى محاولة للتعرف على أسباب حدوث هذه الكوارث، ومحاولة التنبؤ بها قبل حدوثها، للحد من الأخطار الناتجة عنها.

وتمثل هضبة المقطم نظراً لموقعها بالقرب من مدينة القاهرة، ولوجود مدينة المقطم أعلى هذه الهضبة، والتوسع العمرانى العشوائى بالمنطقة، أهمية خاصة للدراسة، نظراً لما قد حدث من كوارث طبيعية بالمنطقة، ومن المتوقع تكرار حدوث كوارث أخرى بها. ويرتبط حدوث هذه الكوارث بالهضبة بطبيعة التطور الجيومورفولوجى والجيولوجى بالمنطقة والمرتبطة بخصائص البنية الجيولوجية، والتوسع العمرانى العشوائى، وسوء إستخدام الإنسان للبيئة.

ولقد إهتمت أكاديمية البحث العلمى والتكنولوجيا بإجراء الدراسات التى أشارت إلى مناطق الأخطار بهضبة المقطم وذلك بناء على دراسات جيولوجية وجيوفيزيكية.

ويهتم هذا البحث بدراسة ظاهرة جيومورفولوجية بهضبة المقطم، لم يتم دراستها من قبل الدراسات السابقة، وهى ظاهرة الكهوف، لمعرفة أسباب تكوينها، ومراحل تطورها والأخطار الطبيعية الناتجة عنها.

الكهوف caves هى ممرات طبيعية تمتد تحت سطح الأرض فى جوف الصخور الجيرية العظيمة السمك على شكل فجوات أو فتحات عظمية ذات إمتداد أفقى أو رأسى. وعادة ما ينجم عن تكوين وإتساع الكهوف إضعاف للطبقات العليا من السطح، مما قد يؤدى إلى هبوطها إلى أسفل. وقد تضعف الطبقة الحاملة للمباني فى حالة تكوين كهوف أسفلها، مما يؤدى إلى تشقق المنازل وإنهيارها، وبالمثل إذا تكونت

الكهوف أسفل الطبقات السفلية للطرق الرئيسية تتشقق هذه الطرق وتنهار، وتتعرض السيارات التي تمر بهذه الطرق للخطر.

أهداف الدراسة:

تهدف دراسة الكهوف في هضبة المقطم إلى أربعة أهداف رئيسية هي:

- (١) دراسة السمات الطبيعية لهضبة المقطم، وذلك لتحديد العوامل المسؤولة عن نشأة الكهوف وتطورها.
- (٢) دراسة الخصائص المورفولوجية للكهوف بهضبة المقطم، لتوضيح التوزيع الجغرافي لها.
- (٣) تحديد درجة خطورة الكهوف التي تكونت بالفعل، ثم تحديد المناطق المعرضة للخطر نتيجة تكوين كهوف تحت السطح.
- (٤) إقترح الطرق التي يمكن من خلالها الحد من الأخطار الناجمة عن تكوين الكهوف التي تكونت فعلاً، وطرق منع نشأة الكهوف.

الدراسة الميدانية :

مرت الدراسة الميدانية لهضبة المقطم بمرحلتين أساسيتين هما:

المرحلة الأولى:

وهي مرحلة الإستطلاع، والهدف منها التعرف على السمات العامة لسطح المنطقة، تحديد موقع الكهوف التي سيتم دراستها دراسة ميدانية، محاولة التعرف على العوامل المسؤولة عن نشأة الكهوف وتطورها، ملاحظة خصائص البنية الجيولوجية للهضبة وعلاقتها بتكوين الكهوف.

المرحلة الثانية:

مرحلة الدراسة الفعلية، وتم فيها قياس أبعاد ثمانية كهوف، حيث تم قياس أطول محور للكهف (الطول)، وأصغر محور للكهف (عرض الكهف)، ثم قياس عمق الكهف. كما تم تحديد شكل مدخل كل كهف، وأشكال السطح الدقيقة داخل الكهوف.

وفى هذه المرحلة تم تسجيل المعلومات الخاصة بالبنية الجيولوجية مثل نظم الفواصل والشقوق والفوالق وتحديد إتجاهاتها، وإتساعها وعلاقتها بتكوين الكهوف. وأيضاً تم تسجيل المعلومات الخاصة بنوع التكوين الجيولوجى والتتابع الاستراتيجى للتكوينات وعلاقته بتكوين الكهوف وشكلها.

أولاً: السمات الطبيعية لهضبة المقطم

الموقع:

تمثل هضبة المقطم من الناحية البنيوية والطبوغرافية كتلة عالية تقع شرق مدينة القاهرة، ترتفع تدريجياً فوق سهل العباسية فى الشمال، لتنتهى جنوباً شرق المعادى. وتتخذ هضبة المقطم شكل رباعى الأضلاع، محوره الطولى يمتد فى الإتجاه شمالى غرب - جنوب شرقى، موازياً لإتجاه الصدوع الأساسية فى شمال غرب هضبة الحجر الجيرى الشرقية.

يحد هضبة المقطم خطى عرض 30° شمالاً من جهة الجنوب، 3° شمالاً من جهة الشمال، ويحدها خطى طول 20° - 31° شرقاً من جهة الشرق، 15° - 31° شرقاً من جهة الغرب.

من حيث الموقع الجغرافى يحد هضبة المقطم من الشمال الجبل الأحمر، ومن الغرب منطقة القاهرة الحضرية، ومن الجنوب منطقة منخفضة طبوغرافياً يشغلها أحود المعادى، ومن الشرق السهول الحصوية التى يغطيها رمال وحصى الأوليجوسين. وبذلك تمتد هضبة المقطم بين منخفضين يمتدان فى الإتجاه شرق-غرب. المنخفض الشمالى هو منخفض مدينة نصر، والجنوبى منخفض دجلة المعادى.

جيوولوجية المنطقة :

تنقسم دراسة جيولوجية هضبة المقطم إلى:

- (١) التكوين الجيولوجى: تمثل كتلة هضبة المقطم حافة إمتداد strike escarpment من الصخور الجيرية التى تمثل النهاية الشمالية للتكوينات الجيرية فى الصحراء الشرقية والتى تبرز شرق القاهرة. (Sandford & Arkell, 1939. p.4).

من الناحية الليثولوجية تتكون هضبة المقطم من تكوينات المقطم Mokattam formation فى القاعدة وتشمل تكوين الجيوشى، أحجار البناء العليا، جيهانزى، أحجار البناء السفلى، أما القمة من تكوينات المعادى . Madi formation (Strougo. 1985. p4)

وتنقسم هضبة المقطم إلى ثلاث هضاب رئيسية تعرف بالهضاب السفلى، الوسطى، العليا، وتضم كل هضبة نطاقاً أو أكثر ذو سحنات صخرية مختلفة
(٢) **التتابع الاستراتيجى:** توضح الدراسة التالية تتابع التكوينات الصحيرية لهضبة المقطم التابعة لكل عصر مرتبة من أعلى إلى أسفل

الزمن الرابع:

توجد الرواس التى تنتمى للزمن الرابع تعطى بعض مساحات من مسطحات الهضاب الثلاث، وهى مغطاة تماماً بالمساكن . ويمثلها رواسب الأودية

الزمن الثالث:

تعرف رواسب عصر الأوليجوسين بمكون الجبل الأحمر، وتتكون من طبقات رمنية زاهية اللون، تكثر بها أكاسيد الحديد، والأشجار المتحجرة، كما توجد بعض صخور الكوارتزيت الصنية، التى تستخدم فى أعمال الزخرفة، وتنتشر هذه الصخور محيطة بجبل المقطم أو مترسة على حوافه الشرقية والشمالية بمنطقة مقابر الجبل الأحمر، ومدينة نصر، وبادى المقاولون العرب.

وتنقسم تكوينات عصر الأيوسين إلى:

١- تكوينات الأيوسين الأعلى، وتعرف بتكوينات المقطم العلوى upper Moqattam وتنقسم إلى:

(أ) تكوين المعادى Madi formation: وتغطى سطح الهضبة العليا، والجزء الأكبر من جرف الهضبة، كما تغطى مساحة كبيرة بالقرب من مدينة نصر

قريش، وتمتد شرقاً حتى جبل العنقبة. ويتكون مكون المعادى من تتابعات فتاتية من الطفل والغرين والرمل، تتبادل مع طبقات من الحجر الجيري الدولوماتية (Ibid. p.6).

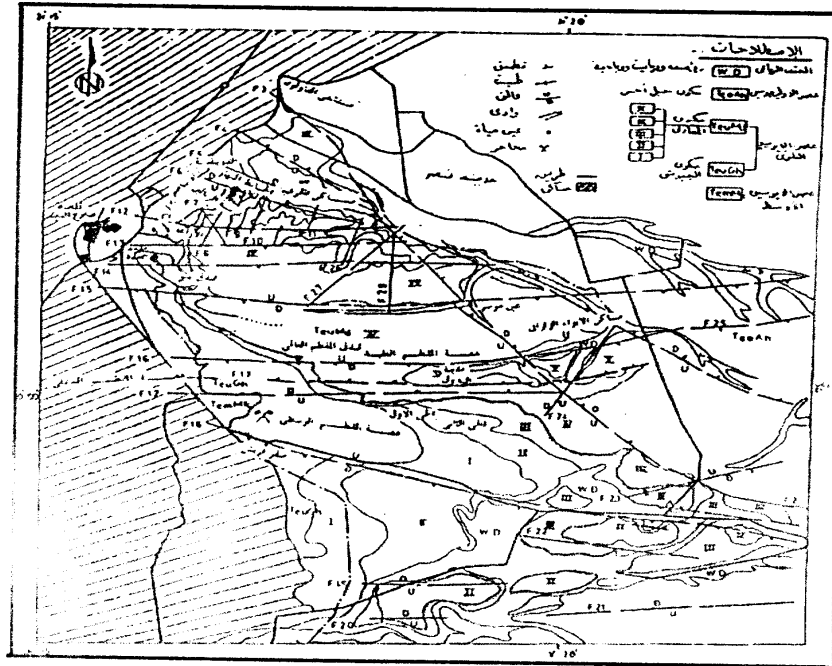
وتكثر بصخور هذا التكوين الشقوق والفواصل، وراقات الملح، كما أنه يعتبر بخصائصه الجيولوجية من أكثر تكوينات الهضبة التي تحتوى على فجوات وكهوف.

(ب) تكوين الجيوشى Guishi formation: تغطى صخور هذا المكون السطح العلوى من جرف الهضبة الوسطى، بالإضافة إلى سطحها، كذلك يكون الجزء السفلى من جرف الهضبة العليا بما لا يتجاوز خمسة أمتار. ويتكون من صخور جيرية بيضاء غنية بالأحافير التي يتخللها راقات رقيقة من المارل المائل إلى اللون الأصفر. (شكل ٩).

٢- تكوين الأيوسين الأوسط: ويعرف بتكوين المقطم السفلى Lower Moqattam، وتغطى صخوره معظم جرف الهضبة الوسطى، وكل الهضبة السفلى. (أكاديمية البحث العلمى والتكنولوجيا، ١٩٩٧، ص ٥٤-٦١).

٣- البنية الجيولوجية: يقطع تكوينات الأيوسين الأوسط والأعلى فى هضبة المقطم صدوع عادية normal fault، واتجاهاتها الرئيسية شرق-غرب، غرب شمال غرب-شرق جنوب شرق. (Moustafa, Yahia, Abdel Tawap, 1985. p.40).

تتراوح رمية هذه الصدوع بين أقل من ٢٠ متر ١١٠ متر، كما تتراوح زوايا ميل أسطحها من ٦٠ إلى ٧١ درجة. ويلاحظ أن هذه الصدوع تمتد فى شكل متوازي بعضها ذات حركات رأسية تتراوح بين ١٥ و ٣٥ متر، والأخير ذات حركات أفقية. وتمثل هذه الصدوع مناطق ضعف شديدة تتسرب من خلالها المياه، وتساهم فى تكوين الفجوات والكهوف موضوع الدراسة.



المصدر: أكاديمية البحث العلمي والتكنولوجيا (١٩٩٧)
شكل (٩) خريطة جيولوجية لمنطقة جبل المقطم

يوجد فى هضبة المقطم طيتين أحاديتى الميل Monoclines ، وإتجاههما شمال غرب. جنوب شرق إلى غرب شمال غرب- شرق جنوب شرق.

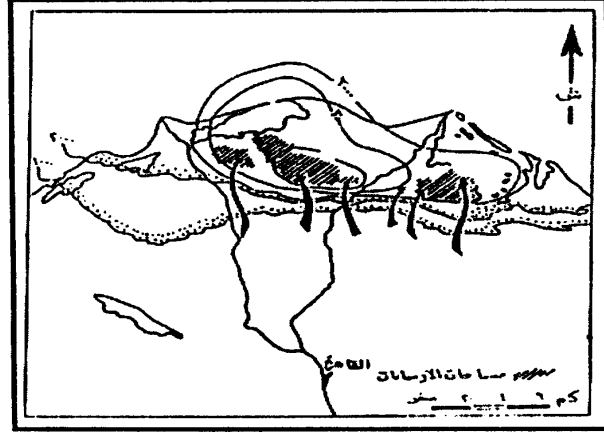
وكذلك يؤثر فى هضبة المقطم عدد كبير من الفواصل ، وتوجد فى الصخور الجيرية الصلبة التى تتبع الأيوسين الأوسط والأعلى. فى تكوينات الأيوسين الأوسط توجد الفواصل فى مجموعتين متزاوجتين إتجاههما شمال غرب- جنوب شرق وأغلبها مائلة بزاوية تتراوح بين ٤٥-٦٠ درجة ناحية الشمال الشرقى أو الجنوب الغربى. أما الفواصل التى تقطع صخور الأيوسين الأعلى فكلها رأسية تقريباً. (أكاديمية البحث العلمى والتكنولوجيا، ١٩٩٧، ص ص ١٥٩-١٦٧).

وتكمن خطورة الفواصل فى أنها تمثل مناطق ضعف فى الصخور تساعد على سرعة تسرب المياه من خلالها، وقد يتصل عدد من الفواصل ببعضها البعض فتكون مجرى أو عدة مجارى تساعد على تجمع المياه المتسربة فى باطن الهضبة، وبذلك تتكون الفجوات والكهوف.

(٤) التاريخ الجيولوجى: بدأ تكوين هضبة المقطم فى الأيوسين الأوسط، حيث بدأ ظهور اليابس على حساب إنكماش البحر الأيوسينى، الذى كان يتراجع صوب الشمال. وترسبت فى ذلك الوقت فى البحر الأيوسينى طبقات المقطم السفلى، وهى عبارة عن حجر جيرى ناصع البياض تتخلله طبقات من المارل وشرائح الطين، وهى غنية جداً بحفريات النيوموليت. (Shukri, 1953. p.101)

فى الأيوسين الأعلى حدثت حركة ارتفاع تدريجى لقاع البحر، وتم فى هذه الفترة ارساب طبقات المقطم العلوى، وهى طبقات من الحجر الجيرى الرملى تميز بلون بنى، مما يدل على إختلاطها برواسب قارية تتألف من الصلصال والرمل. ويرى رشدى سعيد أن طبقات المقطم العلوى رسبت فى بحر يتراجع بسرعة. (Said, 1962. p.24)، وفى نهاية الأيوسين الأعلى حدث تراجع للبحر، وتعرض اليابس لحركة رفع قوية إستمرت حتى الأوليجوسين (Shurki & Akmeil, 1953. p.268)، حيث تعرضت منطقة شرق القاهرة إلى قوى شديدة أثرت عليها من الشمال والجنوب.

فى الأوليجوسين كانت الظروف المناخية السائدة فى مصر مختلفة عما هى عليه الآن، حيث شهدت المنطقة عصرًا مطيرًا، ويرجع ذلك إلى عظم مساحات المناصق الهضبية العالية فى شرق مصر. وفى هذه الفترة بدأ تكوين الكهوف فى هضبة المقطم. فى فجر الميوسين تعرض اليابس لحركة هبوط عامة، وتقدم البحر صوب الجنوب، ولم يتم ترسيب رواسب الميوسين البحرى فى جبل المقطم لأنه كان على شكل جزيرة يحيط بها المياه، شكل (١٠). (Shukri, 1953. p.102).



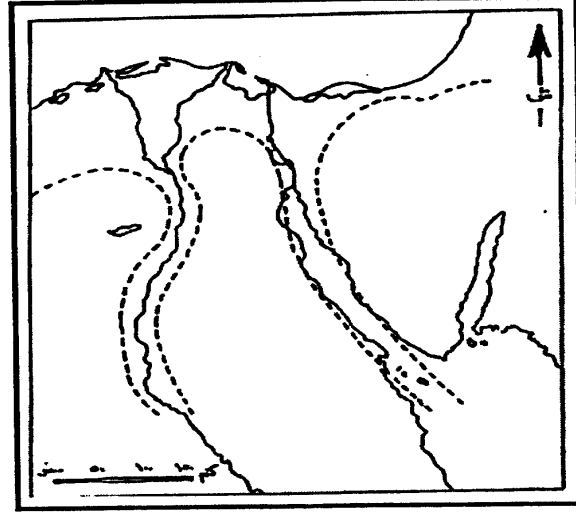
المصدر: Said (1981)

شكل (١٠)

خط الساحل فى نهاية عصر الميوسين

فى الميوسين الأعلى أدى ارتفاع اليابس إلى حدوث عصر مطير ويعرف بالعصر البنى. واستمر تكوين الكهوف من خلال عملية الإذابة فى تكوينات الحجر الجيرى بهضبة المقطم.

فى بداية البلايوسين تعرض اليابس لحركة من الهبوط، وغطى البحر منطقة تمتد إلى الشرق من هليوبوليس بنحو ٢ كيلومتر، مكوناً ما يعرف بخليج هليوبوليس وكان جبل المقطم يحد هذا الخليج من الجنوب والجنوب الغربى. (Sandford & Atkrl, 1939.p.20 شكل (١١)).



المصدر: (Fleavnumv 1968)

شكل (١١)

خط الساحل فى البلايوسين

فى بداية عصر البلايوليسثوسين إنحسرت مياه البحر عن خليج هليوبوليس. وفى بداية البلايستوسين شهدت المنطقة عصراً مطيراً، تكونت خلاله الكهوف القديمة فى هضبة المقطم، ومع بداية عصر الهولوسين سادت ظروف الجفاف الحالى. وإعتمد تكوين الكهوف فى هذه الفترة على تسرب مياه الشرب، والصرف الصحى، ومياه رى الحدائق.

جيومورفولوجية هضبة المقطم:

يصل أقصى ارتفاع لهضبة المقطم إلى ٢١٥ متراً فوق سطح البحر، ويتغير ارتفاع سطح الهضبة بين ١٨٠ إلى ٢١٠ متراً. ويقل ارتفاع سطحها في اتجاه الشمال الشرقي. سطح الهضبة متعرج، ويمتد فوقها جرف في اتجاه شرقي - غربي يقسمها إلى جزء شمالي وآخر جنوبي. وتتراوح درجات إنحدار سطح الهضبة بين ٢ - ٨. وينتهي سطح الهضبة من جهة الشمال الغربي بجروف قليلة الارتفاع نسبياً. شكل (١٢).

يقطع سطح هضبة المقطم شبكة من الوديان ذات نظام شجري، نظراً لتجانس نوع التكوينات الصخرية التي تجرى فوقها هذه الأودية، وكثافة شبكة التصريف متوسطة، لجريانها فوق تكوينات جيرية كثيرة الفواصل والشقوق. وتساهم هذه الأودية في تكوين ظاهرة الكهوف تحت السطح كما سنشير فيما بعد.

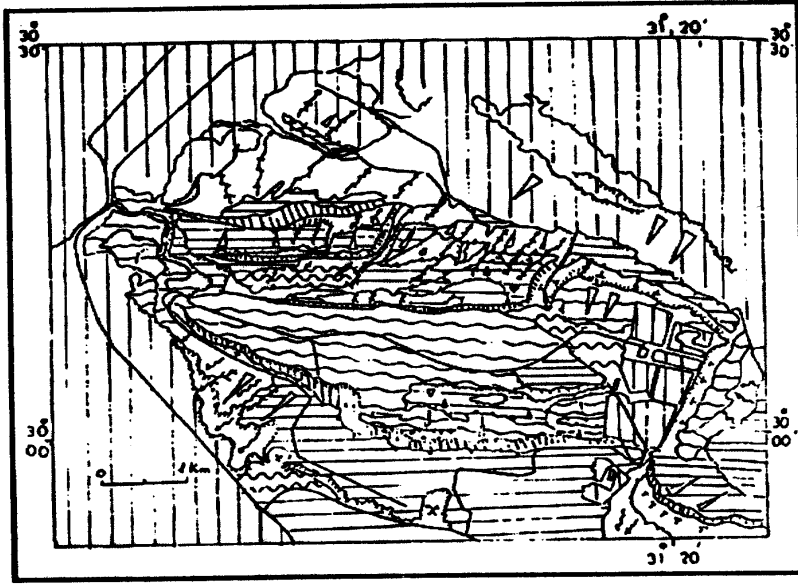
من الناحية الجيومورفولوجية تتكون هضبة المقطم من ثلاث هضاب رئيسية، يفصلها عن بعضها البعض جروف شديدة الإنحدار مختلفة الارتفاعات والميل.

(١) هضبة المقطم السفلي:

تتكون من مكون المقطم «حجر جيري»، سطح هذه الهضبة صلب شبه أفقي، يقطع سطحها صدوع ذات اتجاه شرقي - غربي. ويقام على هذه الهضبة منطقة سكنية عشوائية «عزة الزبالين». وتتسرب مياه الصرف الصحي أسفل هذه الهضبة، مما يسهم في تكوين الكهوف.

(٢) هضبة المقطم الوسطي:

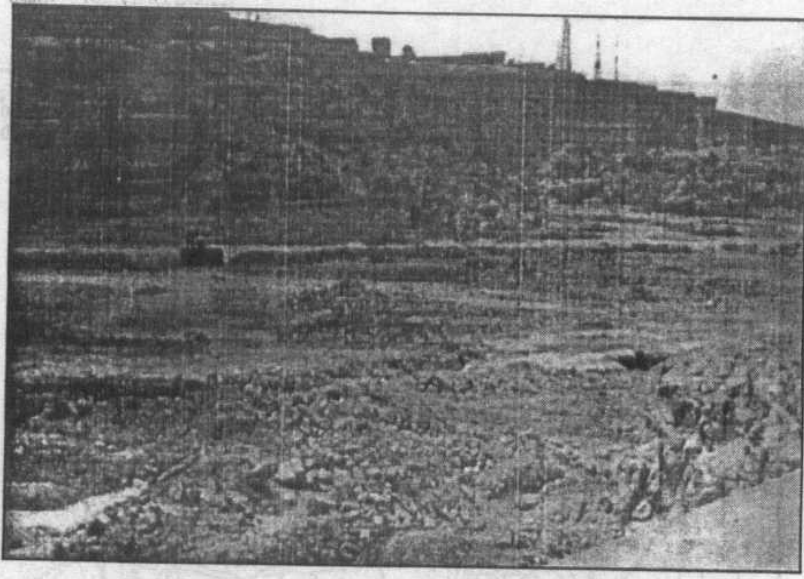
يتكون سطحها من حجر جيري صلب «مكون الجيوشي» ويقطع سطحها عدد من الأودية، وتقام المساكن على الجزء الشرقي منها، ويمتد عليها طريق القطامية - المعادي، وجزء كبير من طريق المقطم الشمالي - تنشر الكهوف القديمة على جانبيه - إلى مدينة المقطم السكنية من ناحية صلاح سالم. (صورة ٢).



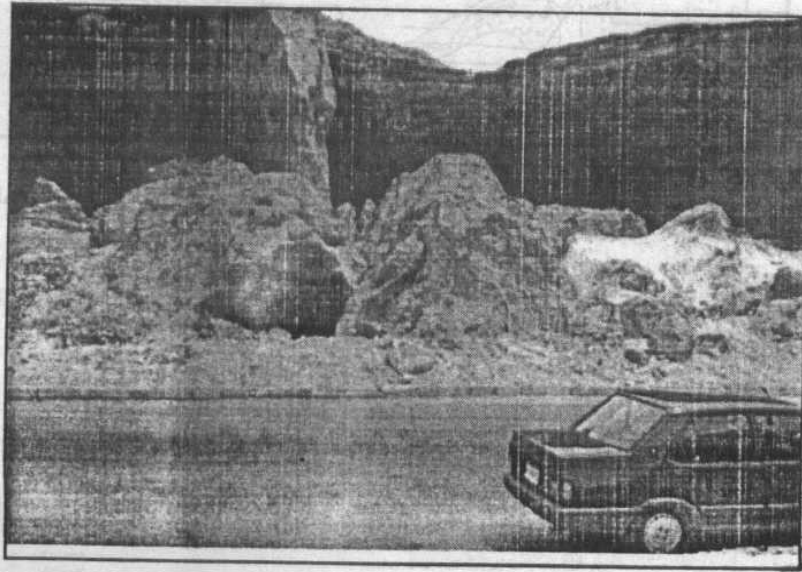
المصدر: أكاديمية البحث العلمي والتكنولوجيا (١٩٩٧)

شكل (١٢)

خريطة جيومورفولوجية لجبل المقطم تبين الوحدات المورفولوجية



(١) تداخل طبقات الحجر الجيري مع المارل في هضبة المقطم



(٢) مدخل كهف ٧ وكهف ٨ في طريق المقطم الصاعد الشمالى

(٣) هضبة المقطم العليا:

يتميز انحدار سطح هذه الهضبة بالبطء، حيث تتراوح درجات الانحدار ما بين ٢° إلى ٥°، ويقطع سطحها عدد كبير من خطوط التصريف، وتكثر بها القواصل والشقوق. وتتضافر هذه العوامل الثلاث في تكوين كهوف تحت السطح.

المناخ الحالي:

تمت دراسة المناخ الحالي لتحديد دور العناصر المناخية الحالية في تكوين وتطور الكهوف بهضبة المقطم. ولقد تم الاعتماد على بيانات المناخ لمدينة القاهرة. وتم دراسة عنصرين هما الأمطار والحرارة.

توضح تسجيلات الأمطار لمدينة القاهرة، أن المتوسط السنوي للأمطار ٢٣,٩ م، وتسقط الأمطار في الفترة الممتدة من أكتوبر إلى مايو، ويمثل شهر ديسمبر أغزر الشهور مطراً. وينعدم سقوط الأمطار تماماً في شهر يولية. وسجلت أقصى كمية أمطار سقطت في يوم واحد على مدينة القاهرة (٥٥٠ م) في يوم ٦ ديسمبر عام ١٩٥١.

وبصفة عامة تتميز الأمطار بمدينة القاهرة بنفس صفات المطر في المناطق الصحراوية، وهي الندرة، وسقوط الأمطار فجأة على شكل سيول. ومن دراسة تردد السيل في مدينة القاهرة، تبين أن الفترة التي تفصل بين كل سيل وآخر تتراوح بين خمس شهور وخمس سنوات، ومتوسط طول فترة تردد السيل ٥,٩١ شهراً.

يبلغ المتوسط السنوي لدرجات الحرارة ٢١,٤ م، والمتوسط السنوي لأعلى درجة حرارة ٢٨ م، وأدنى درجة حرارة ١٥,٦ م وأعلى درجة حرارة سجلت بمدينة القاهرة ٤٧,٨ م في ٢١ مايو ١٩٧٠، وأدنى درجة حرارة كانت ٠,٨ م في ٦ فبراير ١٩٥٠.

من دراسة المناخ الحالي يلاحظ أن دور كل من المطر والحرارة يمثل دور محدود في تكوين وتطور الكهوف بهضبة المقطم. فمتوسط كمية الأمطار ضئيل في نشأة الفجوات، وقد تساهم الأمطار في تكوين كهوف أو توسيع الكهوف الحالية تحت السطح في حالة سقوط سيول بكميات كبيرة، وعلى المناطق البطيئة الانحدار ومجاري الأودية.

أما بالنسبة لدور الحرارة فى تكوين الكهوف يقتصر دور هذا العنصر على حدوث تجوية حرارية *Insolation weathering*، للتباين بين درجات الحرارة، وينتج عنها تكسير الكتل الصخرية. مما يساعد على سرعة تسرب المياه بين التكوينات الصخرية.

المناخ القديم :

شهدت هضبة المقطم عصراً مطيراً فى عصرى الأوليجوسين وفى الميوسين الأعلى، كذلك حدثت تغيرات مناخية حادة خلال عصر البلايستوسين.

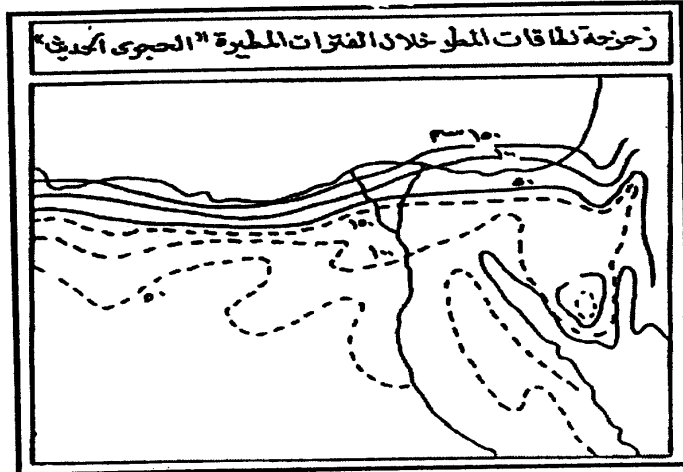
بدأت درجات الحرارة فى الانخفاض التدريجى منذ عصر الأيوسين، وحتى عصر البلايوسين، حيث إنخفضت درجات الحرارة من ٢٢ م فى الأيوسين إلى ١٠ فى البلايوسين. (Butzer, 1965. p.19).

كذلك تميز عصر البلايستوسين بإنخفاض درجات الحرارة، وتراكم الثلوج فى العروض العليا مكونة غطاءات جليدية غطت ٣٠ ٪ من مساحة اليابس. وبناء على ذلك حدثت زحزحة للأقاليم المناخية الكبرى تجاه الجنوب. وتأثرت منطقة البحر المتوسط بالتغيرات المناخية، حيث إمتازت بأحوال مناخية مشابهة لما يسود أقليم غرب أوروبا المناخى الحالى. (Zeuner, 1959. p.110).

وبرى بوتزر (Butzer, 1961. p.137) أن المناخ المطير لا يوجد فقط فى أثناء الفترات الباردة، ولكن كان يوجد أيضاً أثناء الفترات الباردة، كما أن الأمطار يمكن أن تحدث فى بداية تراجع الجليد المبكر.

ومن الدراسات التى تمت عن مناخ النطاق الشمالى لمصر فى عصر البلايستوسين، تبين أن منطقة هضبة المقطم شهدت عصراً مطيراً، حيث تراوحت كمية الأمطار فى هذا العصر ما بين ١٠٠-١٥٠ سم، شكلى (١٣، ١٤).

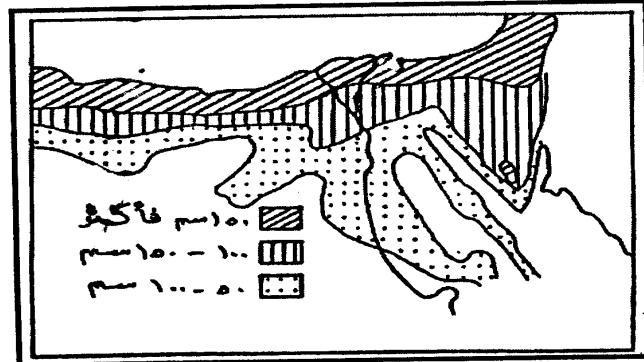
من الدراسة السابقة يتضح أن تكوين الكهوف فى هضبة المقطم بدأ منذ عصر الأوليجوسين وإستمر حتى نهاية عصر البلايستوسين. وفى عصر الهولوسين ومع سيادة المناخ الجاف إتخذت الكهوف شكلها الحالى وبدأ تكوين أشكال السطح الدقيقة داخل الكهوف.



المصدر: عبده (١٩٨٠)

شكل (١٣)

زحزحة نطاقات المطر خلال الفترات المطيرة «الحجرى الحديث»



المصدر: عبده (١٩٨٠)

شكل (١٤)

توزيع أمطار البلايستوسين بالنطاق الشمالى لمصر طبقاً لبوتزر

ثانياً: العوامل المسؤولة عن نشأة الكهوف وتطورها في هضبة المقطم

ترجع نشأة الكهوف والفجوات القديمة والحديثة بهضبة المقطم إلى تضافر مجموعة من العوامل الرئيسية هي:

(١) التكوين الجيولوجي:

تبين من دراسة التكوين الجيولوجي لهضبة المقطم أن هذه الهضبة تتكون من صخور جيرية تتبع عصر الأيوسين، ويمثل هذا الصخر المكون الأساسي للهضبة حيث وصلت نسبته في العديد من القطاعات التي تم دراستها إلى ٦١٪ من إجمالي تكوين الهضبة. ومن أهم خصائص صخور الحجر الجيري إحتوائه على نسبة عالية من مادة كربونات الكالسيوم التي تتأثر بالماء، حيث تذوب ببطء وتتحول إلى بيكربونات الكالسيوم، ويتبع ذلك تكون حفر وفجوات في الحجر الجيري، ويزيد من سرعة عملية الإذابة solution إحتواء الماء على غاز ثاني أكسيد الكربون أو أى مادة عضوية. (Holmes, 1978. p.252).

كذلك يتميز التكوين الجيولوجي لهضبة المقطم بوجود طبقة من الطفل أسفل طبقة الحجر الجيري، وتعمل هذه الطبقة على حجز المياه بالقرب من سطح طبقة الحجر الجيري السفلى، مما يساهم في تكوين الكهوف تحت السطح. كما تعمل المياه المتجمعة على إنتفاخ طبقة الطفل، وتخلخل الطبقة الصخرية الصلبة الموجودة فوقها.

(٢) البنية الجيولوجية :

تكثر الفواصل والشقوق والصدوع بهضبة المقطم، وتساعد هذه الشقوق والفواصل على سرعة تسرب المياه - مياه أمطار، شرب، صرف صحي، ري حدائق - من خلالها، كما تساعد أيضاً على تركيز المياه في أماكن محددة من هذه الفواصل، ومن ثم تتسع هذه الفواصل، وقد تتصل ببعضها على هيئة قنوات، وقد تتكون الكهوف عند تقاطع الفواصل مع بعضها البعض. وبصفة عامة تتحكم طبيعة وإتجاه الصدوع والفواصل

والشقوق، ومدى كثافتها فى تحديد المظهر الجيومورفولوجى العام للكهوف وأشكالها المختلفة.

(٣) طبوغرافية السطح :

تعرض المناطق البطيئة الانحدار إلى تجمع مياه الأمطار وري الحدائق ومياه الصرف الصحي على السطح، وتسربها مما يساهم فى تكوين كهوف أسفل السطح. ونحير مثال على ذلك الهضبة العليا، التى تتميز بانحدار خفيف يتراوح بين ٢ إلى ٥. و تتجمع المياه وتكون كهوف أسفل المناطق السكنية.

(٤) المياه:

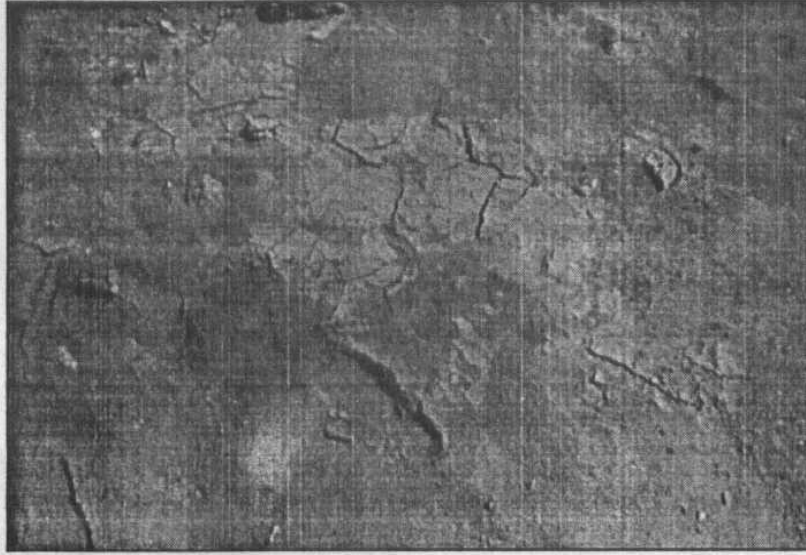
يعرف تأثير المياه على هضبة المقطم، وفقاً لتكوينها الجيولوجى إلى شقين:

أ- تأثير كيميائى: ويتمثل فى تفاعل المياه مع المركبات القاعدية للتكوين الصخرى والنتيجة إذابة هذه المكونات وإزالتها، وتكوين فجوات وكهوف. ومن المعروف أن صخور الحجر الجيري تتأثر بالمياه الحامضية بمعدل أسرع من المياه العادية. وأى زيادة فى نسبة حمضية المياه (pH) تزيد من سرعة فعل عمليات التجوية «عملية الإذابة solution». وتأتى زيادة نسبة حمضية المياه من إذابة غاز ثانى أكسيد الكربون فيها. (Holmess, 1978. p251).

ويرى Levin أن أحماض الكربون الناتج من تحلل أكسيد الكربون فى الماء هي العامل الرئيسى والمؤدى لحدوث التجوية الكيميائية «عملية الإذابة» (Levin, 1990. p.114).

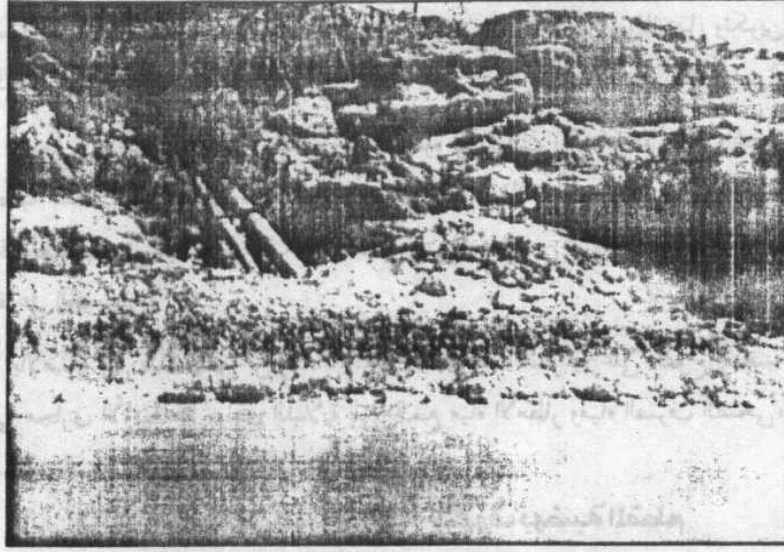
ب- تأثير ميكانيكى: حيث تتفكك بعض الترسبات عند غمرها بالماء وفقاً لنوع الترسيب، ووجد بالتجارب المعملية أن معدل تفكك الطفل والرمل الطفلى فى حدود ٥-١٠ دقائق، والمارل من ١٥-٦٠ دقيقة. ويتميز الطفل بسرعة سريانها بعد إختلاطها بالماء، وتتحرك من الضغط العالى إلى مناطق الضغط الأقل، مما ينشأ عنه تكوين فجوات وكهوف (أكاديمية البحث العلمى والتكنولوجيا، ١٩٩٧. ص ٢٣٢-٢٣٤).

من العرض السابق، يتضح أن العملية الرئيسية المسؤولة عن نشأة الكهوف وتطورها هي عملية الإذابة، ويعتمد درجة تأثير هذه العملية على نوع التكوين الجيولوجي ودرجة الحرارة، ودرجة تركيز عملية الإذابة، (Holmes, 1978. p.251) وبذلك يمكن القول أن تكوين الكهوف القديمة بهضبة المقطم يرجع إلى مياه أمطار العصور الجيولوجية كما سبقت الإشارة، أما الكهوف التي تكونت في العصر الحديث والمحتمل تكوين كهوف جديدة غيرها، فيرجع تكوينها إلى تسرب مياه الصرف الصحي التي تحتوى على أحماض عضوية وغير عضوية، ومياه رى الحدائق، وتسرب مياه الشرب من أنابيب المدينة، وتجمع مياه الأمطار وتسربها من خلال الشقوق والفواصل وتجمعها تحت السطح وإذابتها للتكوينات الجيرية. (صورة ٣).



(٣) تجمع مياه الأمطار على السطح في الهضبة الوسطى

ومن أهم العوامل المسؤولة عن نشأة الفجوات والكهوف الحديثة في هضبة المقطم إتجاه الشركة الإيطالية المسؤولة عن إنشاء المدينة السكنية بهضبة المقطم، إلى صرف المياه إلى باطن الهضبة لتوفير تكاليف إنشاء شبكة للصرف الصحي. (صورة ٤).



(٤) صرف المياه إلى باطن الهضبة الوسطى
ولقد أشارت الدراسات الجيوفيزيكية إلى وجود مياه جوفية ذات ملوحة عالية على
أعماق تصل إلى ١٨٠ متراً من السطح. (أكاديمية البحث العلمي والتكنولوجي،
١٩٩٧، ص ١٥٥)

(٤) العوامل البشرية :

يساعد التلوث الناتج عن الأنشطة الصناعية المحيطة بالهضبة مثل المسابك وحرق
القمامة الذي ينتج عنه غازات مثل ثاني أكسيد الكربون وثاني أكسيد الكبريت،
وكبريتيد الهيدروجين، التي تتحول في حالة وجود بخار الماء والرطوبة إلى أبخرة
أحماض الكربونيك والكبريتيك المعروفة بتفاعلها السريع مع الأحجار الجيرية وإذابتها
وتكوين كهوف بها. ويساعد على ذلك ارتفاع درجة الحرارة التي تتوافر من حرق
القمامة.

كذلك يؤدي رى الحدائق بالطرق التقليدية، إلى تسرب كميات كبيرة من المياه
خلال الفواصل والشقوق، كما يؤدي سوء تنفيذ شبكة مياه الشرب ومياه الصرف

الصحي إلى تسرب المياه، ومن ثم تفاعلها مع طبقات الحجر الجيري وإذابتها، وتكوين الكهوف أسفل المساكن والمنشآت.

وتعمل الأدخنة المنبعثة من مصانع حلوان وطره للأسمت والمصانع الأخرى والمحيطه بهضبة المقطم، على تكوين سحابة من الأتربة فوق جبل المقطم تتسبب فى سقوط أتربة فوق الهضبة، وتسبب حموضة مياه الأمطار، التي تعجل من سرعة حدوث عمليات التفاعل الكيميائي.

بالإضافة إلى ذلك ينتج عن إمتداد المنشآت العمرانية العشوائية على سفوح الهضبة وفى مجارى الأودية مثل وادى اللبلاية إلى تجمع مياه الأمطار ومياه الصرف الصحي، وتسربها تحت السطح وتكوين فجوات وكهوف.

ثالثاً: الخصائص المورفولوجية للكهوف بهضبة المقطم

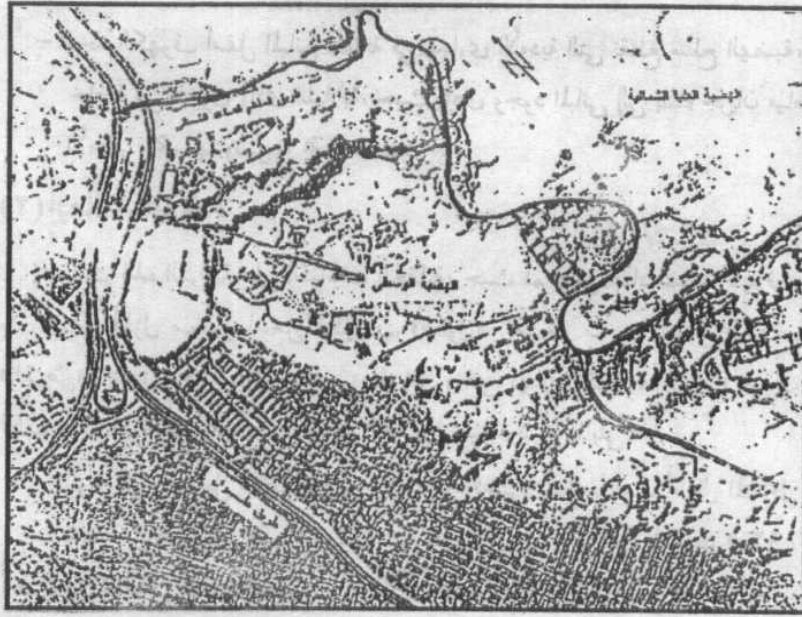
تشمل دراسة الخصائص المورفولوجية للكهوف التوزيع الجغرافى للكهوف بالهضبة، أبعاد الكهوف، أشكال الكهوف، أشكال السطح الدقيقة داخل الكهوف، والسفوح المرتبطة بالكهوف.

(١) التوزيع الجغرافى للكهوف بهضبة المقطم:

اتضح من الدراسة الميدانية والدراسات الجيولوجية والجيوفيزيكية أن الكهوف توجد بهضبة المقطم فى الأماكن التالية:

- تنتشر الكهوف الظاهرة على السطح على جانبي طريق المقطم الصاعد الشمالى المتفرع من طريق صلاح سالم على مسافات متقاربة. وقد تم إجراء دراسة ميدانية لها. شكل (١٥).

- أوضحت القياسات الردارية وجود فجوات لا تظهر على السطح فى مناطق عديدة من هضبة المقطم مثل تكوين الجيوشي بالهضبة الوسطى على عمق يتراوح بين ١٠ إلى ٢٨ متراً، كما توجد بكثرة فى وحدة حجر البناء العلوى المكونة للجزء السفلى من حافة الهضبة الوسطى.



شكل (١٥)

صورة جوية (١:١٠,٠٠٠) للطريق الممعد الشمالى والجرف الجنوبى الغربى للفيضة الوسطى شديد الانحدار

- أوضحت القياسات الجيوفيزيائية وجود مناطق تكهفات فى الجزء الأوسط والسفلى من بحر حفر فى الفيضة العليا، حيث وجدت عند عمق ١١,٥ متر، بسمك ٦ متر، وعلى عمق ١٢٤ متر وسمك ١٥ متر. (المرجع السابق، ص ١٥٧).

- تنتشر الكهوف فى مكون المعادي، حيث يتبادل الطفل والغرين والرمال مع طبقات الحجر الجيري الدولومانية متوسطة الصلابة، وتظهر الكهوف بين طبقات الطفل والحجر الجيري.

- توجد الكهوف فى الفيضة السفلى، حيث تكثر الصدوع التى تقطع سطح هذه الفيضة، إلى جانب إقامة منطقة سكنية عشوائية عليها، ويؤدى سوء صرف مياه الصرف الصحى إلى تكوين الكهوف.

- توجد الكهوف أسفل المباني المقامة فى مجارى الأودية التى تقطع سطح الهضبة، خاصة فى مجرى وادى اللبلاية. حيث يؤدى وجود المباني إلى بقاء جريان مياه الأمطار وتجمعها وتسربها تحت السطح.

(٢) أبعاد الكهوف :

إعتمدت هذه الدراسة على القياسات الحقلية، حيث تم قياس أبعاد ثمانية كهوف، وتم قياس أطول محور لمدخل الكهف «الطول»، أصغر محور لمدخل الكهف «العرض»، عمق الكهف «المسافة بين المدخل وحتى نهاية الكهف»، ارتفاع سقف الكهف. ثم تم تحليل القياسات التى تم الحصول عليها وتبين ما يلى:

- تراوح طول مدخل الكهوف بين ١٠ متر و ٤٠ متر، وبلغ متوسط أطوال المداخل ٢١,٥ متر، وتشكل عدد الكهوف التى يقل طول مدخلها عن المتوسط ٦٢,٥ ٪ من إجمالى عدد الكهوف.

- تراوح عرض مدخل الكهوف بين ٥ متر و ١٨ متر، وبلغ متوسط عرض المداخل ٩,٦٣ متر، وتشكل الكهوف التى يقل عرض مدخلها عن المتوسط ٥٠ ٪ من إجمالى عدد الكهوف.

- تراوح عمق الكهوف بين ١٠ متر و ٧٥ متر. وبلغ متوسط العمق ٢٧,٥ متر وتمثل الكهوف التى يقل عمقها عن المتوسط ٧٥ ٪ من إجمالى عدد الكهوف.

- تراوح ارتفاع أسقف الكهوف بين ثلاثة أمتار و ١٥ متر. وبلغ متوسط ارتفاع أسقف الكهوف ٨,٥ متر.

يتضح من العرض السابق وجود تباين بين أبعاد الكهوف، وإن كان ضئيل، ويرجع ذلك إلى توافق نوع التكوين الجيولوجى والبنية الجيولوجية فى المنطقة التى تكونت فيها هذه الكهوف. كذلك أوضحت التحليلات الإحصائية لأبعاد الكهوف عدم وجود علاقة ارتباط بين الأبعاد المختلفة للكهوف.

(٣) شكل الكهوف:

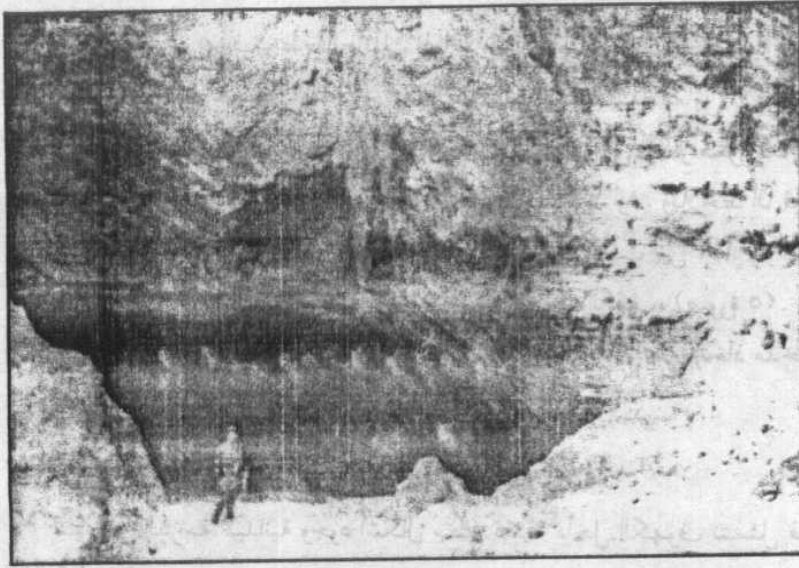
تعتمد هذه الدراسة على إجراء تحليل بيانات أبعاد الكهوف، من خلال تطبيق

معاملات رياضية، بهدف ربط نتائج تلك المعاملات بالعمليات الجيومورفولوجية التي ساعدت على تطور الكهوف. ولتحقيق هذا الهدف تم حساب قيمة معامل الاستطالة للكهوف. من خلال حساب نسبة أطول محور لمدخل الكهف إلى أصغر محور لمدخل الكهف. وإتضح أن قيم معامل الإستطالة تراوحت بين ١,٢ و ٨. ويلاحظ أن قيم معامل استطالة الكهوف من رقم (١) إلى رقم (٧) متقاربة تراوحت بين ١,٢ و ٣,٣٣ ويشير ذلك إلى تقارب قيمها من الشكل شبه المستدير لمدخل الكهف. (صورة ٥). أما الكهف رقم (٨) بلغت قيمة معامل الإستطالة (٨)، وبذلك علي إتخاذ مدخل الكهف الشكل المستطيل. (صورة ٦).

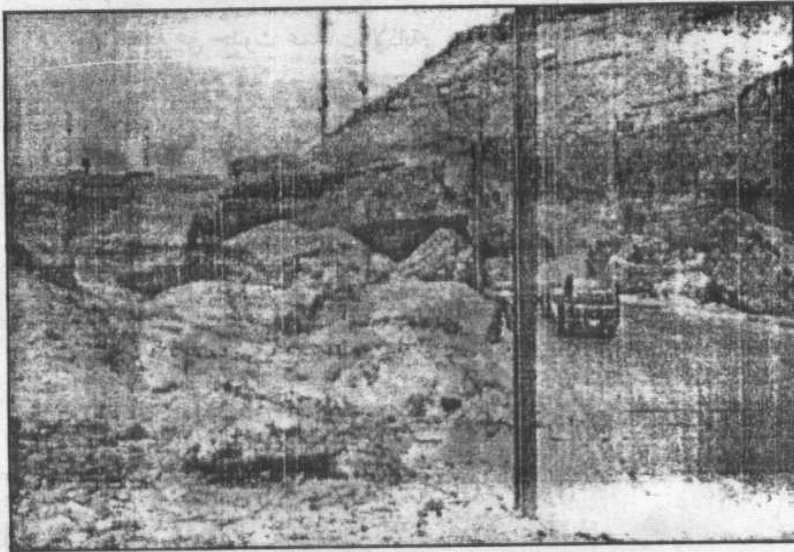
(٤) أشكال السطح الدقيقة داخل الكهوف:

تبين من الدراسة الميدانية وجود أشكال سطح دقيقة داخل الكهوف تتمثل في الأشكال التالية:

- وجود أعمدة كلسية هابطة stalcatite قصيرة تتدلى من سقف أحد الكهوف. وهي ناتجة عن حدوث عمليات الإذابة.
- بروزات واضحة في أسقف وجدران الكهوف، حيث تم ترسيب مادة كربونات الكالسيوم على شكل بروزات مختلفة الأبعاد، ويحدد أبعادها كمية مادة كربونات الكالسيوم التي تم إرسابها، وكمية المياه التي قامت بعملية الإذابة. (صورة ٧).
- عروق رفيعة من مادة كربونات الكالسيوم ذات لون أبيض ناصع في حوائط بعض الكهوف، ويرجع تكوين هذه العروق إلى ترسب مادة كربونات الكالسيوم في مواضع الشقوق الدقيقة في أسقف وجوانب الكهوف.
- رواسب ملحية cave salt، وتوجد هذه الرواسب في أرضية بعض الكهوف وجدرانها، وتتكون هذه الرواسب من مواد ملحية.
- ممرات الكهوف cave Passageways، يوجد ممرات داخل الكهوف الكبيرة مثل الكهف رقم (٣) ورقم (٥)، وتتميز ممرات هذا الكهف بأنها منخفضة نسبياً ومتسعة.



(٥) مدخل كهف شبه مستدير على طريق المقطم الصاعد الشمالى



(٦) مدخل كهف مستطول على جانب الطريق الرئيسى فى الهضبة الوسطى

- وجود بعض الفجوات فوق أرضية بعض الكهوف، وهي ناتجة عن تجمع المياه في بعض الحفر التي توجد فوق أرضية الكهف، ثم إتساعها نتيجة لتجمع المياه فيها بواسطة عملية الإذابة.

- رواسب تربة رملية جيرية موضعية فوق أرضية بعض الكهوف مثل الكهف رقم (٣).

- وجود رواسب ترافرتين ذات لون أسود غامق على أسقف وجدران الكهوف مثل الكهف رقم (٥)، ويرجع تكوينها إلى إرتفاع نسبة أكسيد المنجنيز في الرواسب المختلطة بالمياه المتسربة من أسقف الكهوف، وتبخّر المياه تاركة ما تحمله من رواسب ملتصقة بجدران الكهف وحوائطه، وتبدو سلفات المنجنيز على شكل حبيبات دقيقة ملتصقة بالحوائط والجدران.

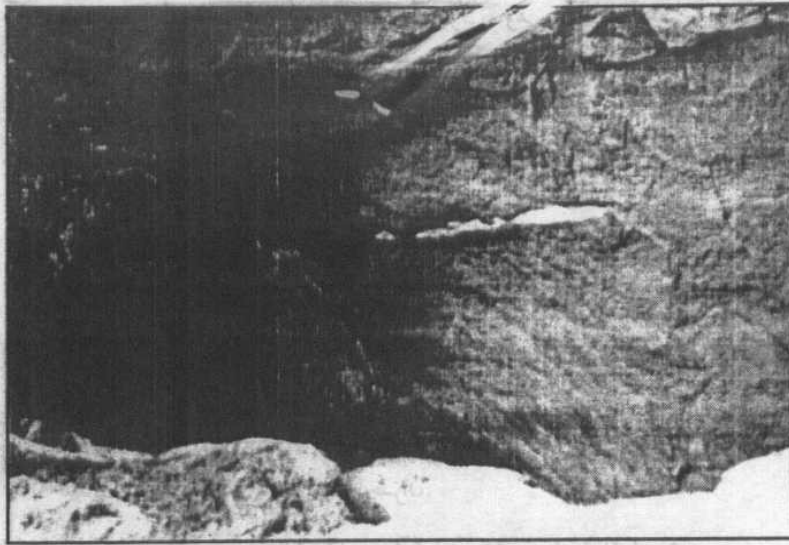
(٥) الخصائص الجيومورفولوجية لسفوح منطقة الكهوف:

يمتد جزء كبير من طريق المقطم الصاعد الشمالى موضوع الدراسة فى المساحة الجنوبية للهضبة الوسطى. ومن الدراسة الميدانية لسفوح منطقة الكهوف تبين أن الشكل العام لسفوح الهضبة هو الشكل المستقيم Rectilinear slope، ويتكون هذا الشكل من السفوح من أقسام segments، ويوجد السفح على شكل جرف شديد الإنحدار تتراوح زوايا إنحداره بين ٨٠ و ٩٠. (صورة ٩).

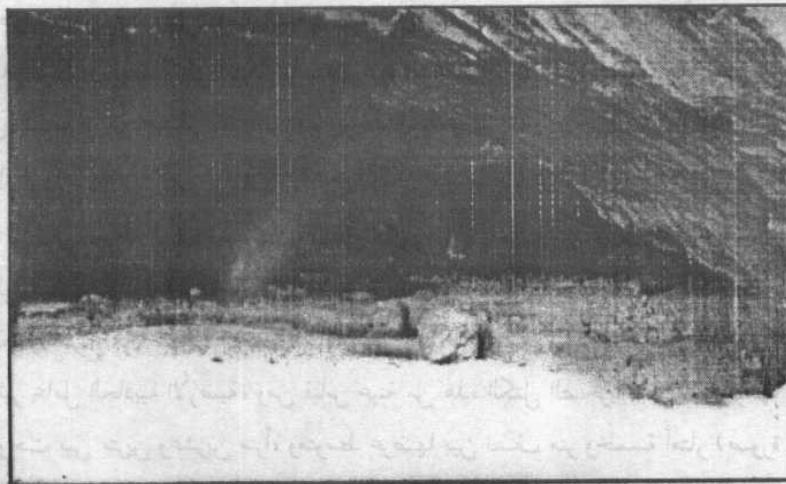
ويتشتر عند أقدام السفح وعند مداخل الكهوف كتل صخرية ضخمة إنهالت من أعلي السفح كنتيجة لنشاط عوامل التجوية والتعرية، التى تقوم بنحت طبقات الطفل بمعدل أسرع من طبقات الحجر الجيرى التى تعلوها، ويتبعها تساقط الكتل الصخرية بتأثير عامل الجاذبية الأرضية، ومن قياس عينة من هذه الكتل الصخرية تبين أن أطوالها تراوحت بين مترين وعشرين متراً، ومتوسط عرضها بين نصف متر وخمسة أمتار (صورة ١٠).

ويمكن تحديد عوامل تشكيل سفوح هضبة المقطم فى العوامل التالية:

- البنية الجيولوجية: يؤثر نوع البنية الجيولوجية والتتابع الطباقى للتكوينات والتباين



(٧) بروزات في جدران الكهف رقم ٥



(٨) رواسب ملحية في أرضية الكهف رقم ٢

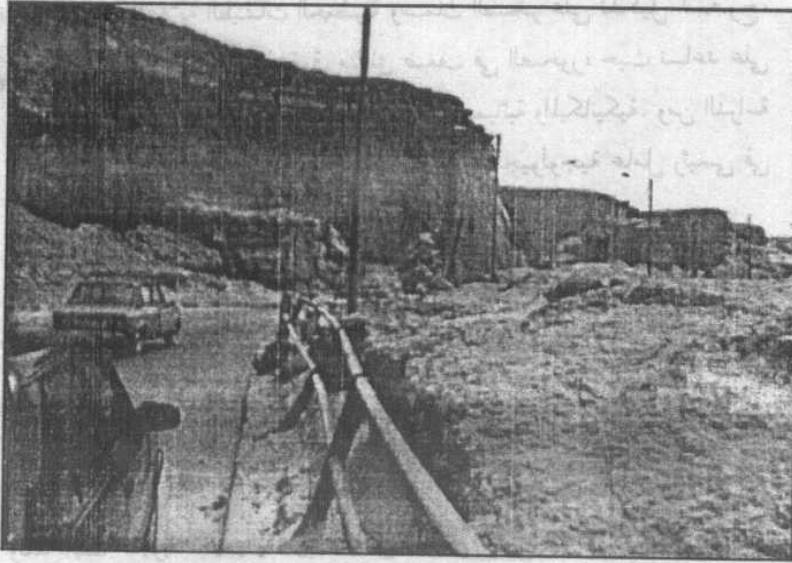
فى درجة صلابة الطبقات الحمضية وسمك الصخر على تشكيل السفوح، كذلك تمثل الفواصل والشقوق مناطق ضعف فى الصخور، حيث تساعد على تشكيل السفوح عن طريق عمليات التجوية الكيميائية والميكانيكية. ومن الدراسة السابقة لجيولوجية هضبة المقطم تبين أن البنية الجيولوجية عامل رئيسى فى تشكيل سفوح الهضبة وتكوين الفجوات والكهوف.

- التجوية : تلعب التجوية دوراً هاماً فى تشكيل السفوح، وتعتمد أشكال التجوية على درجة صلابة الصخر وكمية السيليكات به، درجة تجانس الصخر، الموقع الطبوغرافى للصخر، ومحتوى الصخر من شقوق ومسام وفواصل، وهى تعد من العوامل الهامة فى تحديد الأشكال الناتجة عن تجوية الحجر الجيري. (Said, 1954. p.95-96)

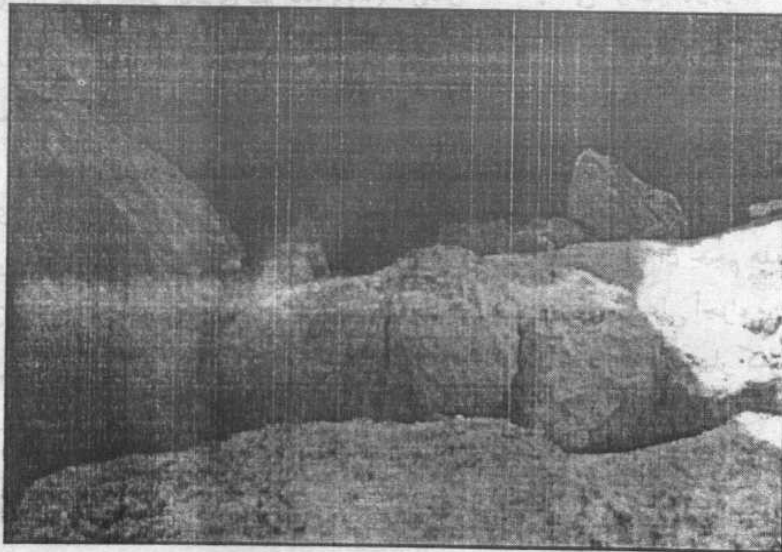
ولقد لعبت التجوية الكيميائية دوراً هاماً فى تشكيل سفوح هضبة المقطم فى العصور المطيرة السابق الإشارة إليها. ويتفق هذا مع رأى مابوت (Mabutt, 1977. p.32) الذى يرى أن تجوية الحجر الجيري تتم عادة بالإذابة، ويتفق معه سعيد فى الرأى، فهو يرى أن للرطوبة دوراً هاماً فى عملية تجوية الحجر الجيري، حيث تساعد مع العمليات الأخرى فى تفكك وتحلل الصخر.

ولقد نتج عن تأثير عمليات التجوية على سفح هضبة المقطم فى منطقة الدراسة تكوين الكهوف التى تم دراستها، كما نتج أيضاً عن عمليات التجوية وعوامل التعرية إنتشار الكتل الصخرية المفككة على بعض أجزاء السفح. ومما لا شك فيه أن حجم هذه الكتل يؤثر على درجة إنحدار السفح، إلى جانب أن وجود هذه الكتل على أجزاء من السفح يمثل خطورة كبيرة على طريق المقطم الصاعد الشمالى فى حالة إنهيار كتل صخرية على هذا الطريق. (صورة ١٠).

- المياه الجارية: لعبت أمطار العصور المطيرة الدور الرئيسى فى تشكيل سفوح هضبة المقطم، حيث تكونت الكهوف موضوع الدراسة. كما أسهمت هذه الأمطار فى تكوين عدد من الأودية التى تقطع سطح الهضبة مثل وادى اللبلاية، والتى لها دور هام الآن فى تكوين الكهوف الحديثة تحت السطح.



(٩) سفح مستقيم فى القسم الجنوبي للهضبة الوسطى



(١٠) كتل صخرية ضخمة عند مدخل الكهف رقم ٦

رابعاً: الأخطار الطبيعية الناجمة عن تكوين الكهوف

تمثل خطورة الكهوف في هضبة المقطم في محورين أساسيين هما:
(١) في حالة تكوين فجوات وكهوف أسفل الطبقة الحاملة للمنازل والمنشآت العمرانية، يؤدي إلى تشقق هذه المنازل، ثم سقوطها وإنهيارها. والمناطق المهددة بحدوث هذه الكارثة بهضبة المقطم هي الجزء السفلى من حافة الهضبة الوسطى، والجزء الجنوبي من حافة الهضبة العليا، وأسفل المناطق السكنية في الهضبة الوسطى والعليا، وأسفل مناطق السكن العشوائي في الهضبة السفلى، وفي مجارى الأودية.

(٢) في حالة وجود الكهوف القديمة الممتدة على جانبي طريق المقطم الصاعد الشمالى، تمثل الخطورة في حدوث خلل في توازن أسقف هذه الكهوف، فتتعرض للهبوط subsidence، فتتهبط الكتلة الصخرية العلوية، ويتعرض مستخدمى هذا الطريق لحوادث خطيرة نتيجة لسقوط كتل صخرية ضخمة من أعلى السفح على الطريق الرئيسى.

ولقد أوضحت الدراسة الميدانية لهضبة المقطم، وجود مشكلة خطيرة تتمثل في استخدام بعض الكهوف بالهضبة في الأنشطة البشرية مثل إستخدامها كأماكن للتخزين، أو ورش، كما إستغلت بعض هذه الكهوف في إقامة الكنائس أو الأديرة. وقد تتعرض هذه الكهوف المستخدمة لسقوط أسقفها، مما ينتج عنه خسائر فادحة في الأرواح إلى جانب الخسائر المادية.

الخاتمة

يهتم هذا البحث بدراسة ظاهرة الكهوف بهضبة المقطم، والأخطار الناتجة عنها. ولقد تبين من الدراسة أن التكوين الجيولوجى والبنية الجيولوجية، وإستخدام الإنسان السلبى للبيئة من أهم العوامل الرئيسية المسؤولة عن نشأة الكهوف فى العصر الحديث. وتمثل خطورة الكهوف الحديثة فى نشأتها أسفل الطبقة الحاملة للمنازل والمنشآت العمرانية، ويؤدى ذلك إلى تشقق هذه المنازل ثم سقوطها وإنهيارها.

كذلك أوضحت هذه الدراسة العوامل المسؤولة عن نشأة الكهوف القديمة التى توجد على جانبي طريق المقطم الصاعد الشمالى، وخصائصها الجيومورفولوجية. وتمثل خطورة هذه الكهوف فى احتمال حدوث خلل فى توازن أسقفها، يتبعه حدوث إنهيارات صخرية على الطريق.

ولقد أوضحت الدراسة المناطق المهددة بحدوث كوارث طبيعية نتيجة لتكوين الكهوف وهى طريق المقطم الصاعد الشمالى، الجزء السفلى من حافة الهضبة الوسطى، الجزء الجنوبى من حافة الهضبة العليا، وأسفل مناطق السكن العشوائى بمجارى الأودية التى تقطع سطح الهضبة، وبالهضبة الوسطى.

التوصيات :

توصي الدراسة بالتوصيات التالية:

- (١) منع تسرب المياه سواء مياه الشرب أو مياه الصرف الصحى أو رى الحدائق وحمامات السباحة.
- (٢) الإهتمام بتوصيل وصيانة شبكة المرافق بالهضبة بالصورة العلمية المدروسة والمناسبة لطبيعة التكوين والبنية الجيولوجية للهضبة.
- (٣) إلغاء إقامة الحدائق على الحافة، ويجب أن يتم رى الحدائق بطريقة التنقيط لا الغمر.

- (٤) وضع شروط للبناء تتناسب مع ظروف الهضبة.
- (٥) ردم الحفر والأجزاء المنهارة بطبقات من مخلفات مواد البناء والأحجار، لمنع تجمع المياه فيها وتسربها تحت السطح.
- (٦) إقامة شبكة حديدية على جانبي طريق المقطم الصاعد الشمالى لتجنب أخطار الإنهيارات الصخرية.
- (٧) وضع مثبتات معدنية لربط الأجزاء المفككة بالمناطق السليمة المستقرة بالهضبة، بواسطة عمل قشرة خرسانية مسلحة.
- (٨) تجنب البناء على أو بالقرب من حافة الهضبة لمسافة يجب أن لا تقل عن ٥٠ متر.

المراجع العربية :

- ١- أبو الحجاج، يوسف، (١٩٦٥):
«خسف المذنب: ظاهرة كارستية وحديثة فى شبه الجزيرة العربية»، بحوث فى العالم العربى، البحث التاسع، القاهرة.
- ٢- الهيئة القومية للإستعمار من البعد وعلوم الفضاء، (١٩٩٧):
«جيولوجية ومخاطر منطقة جبل المقطم»، وزارة التعليم العالى والبحث العلمى.
- ٣- أمبابى، نبيل سيد، (١٩٧٢):
«أشكال السفوح»، مجلة الجمعية الجغرافية المصرية، المجلد الخامس، القاهرة.
- ٤- باسهل، أحمد ناصر، (١٤١٣ هجرى):
«الجيولوجيا: علم الأرض المتغيرة»، القاهرة.
- ٥- جودة، جودة حسنين، (١٩٦٦):
«العصر الجليدي»، منشورات جامعة بيروت، بيروت.
- ٦- صفى الدين، محمد، (١٩٦٦):
«مورفولوجية الأراضي المصرية»، القاهرة.
- ٧- عيده، طلعت أحمد محمد، (١٩٨٠):
«الآثار الجغرافية للعصر المطير بالصحراء الشرقية»، رسالة دكتوراه غير منشورة، كلية الآداب، جامعة القاهرة، قسم الجغرافيا.

المراجع الأجنبية :

1- Balazs, O., (1972):

"Relief types of tropical karst areas", Intnl. Geogr. union, Hungary.

2- Butzer, k.w., (1961):

"Climatic change in arid regions since the Pliocene", Arid zone Research, UNESCO, Vol. 18.

3- Butzer, k.w., (1965):

"Environment and archeology: An introduction to Pleistocene geography" London.

4- Chorley, R., (1977):

"Water Earth and Man," London.

5- Holmes, A., (1978):

"Principles of physical geology", Third edition, Hampshire.

6- Leet, L.D., & Judson, S., (1960):

"Physical geology", New Jersey.

7- Levin, H.L., (1990):

"Contemporary physical geology", Third edition, London.

8- Mabutt, J.A., (1977):

"Desert landforms", First edition, the Mit press, Cambridge.

9- Moustafa, A.R. & Yehia, M.A. & Abdel Tawab, S., (1985):

"Structural setting of the area east of Cairo", Mid East. Res. Cent. Ain Shams Univ. vol.5.

10- Said, R., (1954):

"Remarks on the geomorphology of the area East of Helwan", Bull. de la soc de Geog. D'Egypte, tom xxvii.

11- Said, R., (1962):

"Geology of Egypt", New Amesterdam.

12- Sandford, K.S. & Arkell, W.J., (1939):

"Paleolithic man and the Nile Vally in lower Egypt", Chicago.

13- Shukri, N.M., (1953):

"The geology of the desert east of Cairo", Bull. Inst. Des. Egypt.

14- Shukri, N.M., & Akmell, G., (1953):

"The geology of Gebel El Nassuri and Gebel El Anqabia district", Bull de la soc. de Geog. d'Egypt, T.26.

15- Strougo, A., (1985):

"Eocene stratigraphy of the eastern greater Cairo: Gebel Moqattam- Helwan Area".Mid. East Res. Cen. Ain Shams Univ. Vol. 5.

16- Sweeting, M.M., (1972):

"Karst Landforms", Macmillan, third edition, London.

17- Wigley, T.M., (1975):

"Karst Geomorphology and hydrology", London.

18- Zeuner, F.E. (1959):

"the Pleistocene Period: Its climate chronology and faunal successions", London.



بعض التغيرات المورفولوجية في دلتا النيل

مقدمة:

تمثل دلتا النيل أهم ظاهرة جيومورفولوجية في جمهورية مصر العربية، ونظراً لأهميتها فقد حظيت هذه الدلتا بدراسات عديدة من قبل الجيولوجيين والجيومورفولوجيين، منها ما يتعلق بنشأة الدلتا، أو مراحل تطورها، أو ما بها من ظواهر جيومورفولوجية.

وتشير الدراسات الجيولوجية أن لدلتا النيل تاريخ جيولوجي معقد، فقد تعرضت لحدوث تغيرات مناخية، وكذلك تذبذب في منسوب سطح البحر المتوسط الذى تنتهى إليه، ونظراً للطبيعة الديناميكية لهذه الدلتا، فقد تعرضت لحدوث تغيرات مورفولوجية منذ نشأتها وحتى الآن، ومن المتوقع إستمرار حدوث هذه التغيرات والتي قد ينشأ عنها حدوث أخطار جيومورفولوجية.

وتهدف هذه الدراسة إلى التعرف على أهم العوامل المسؤولة عن حدوث تغيرات مورفولوجية في دلتا النيل، وإلقاء الضوء على بعض التغيرات المورفولوجية بهذه الدلتا، والتعرف على أهم الأخطار الجيومورفولوجية التى تتعرض لها دلتا النيل فى الوقت الحاضر، ووضع الحلول المناسبة لها. وتنقسم هذه الدراسة إلى أربعة محاور رئيسية هى:

أولاً: موقع ونشأة دلتا النيل.

ثانياً: عوامل حدوث تغيرات مورفولوجية فى دلتا النيل.

ثالثاً: بعض التغيرات المورفولوجية فى دلتا النيل.

رابعاً: الأخطار الجيومورفولوجية التى تتعرض لها دلتا النيل.

أولاً: موقع ونشأة دلتا النيل

تقع دلتا النيل فى القسم الشمالى من جمهورية مصر العربية، وتتخذ شكل مثلث رأسه جنوباً شمال مدينة القاهرة بنحو ٢٣ كم، وقاعدته فى الشمال عند ساحل البحر المتوسط، ويبلغ طول الدلتا من الجنوب إلى الشمال نحو ١٧٠ كم، أما قاعدتها المتوسطة فتمتد من الشرق إلى الغرب نحو ٢٢٠ كم، وتبلغ مساحتها الإجمالية ٢٢ ألف كم^٢ (محمد صفى الدين ١٩٦٦، ص ٢٢١).

ويختلف تاريخ دلتا النيل عن النماذج المعروفة لدلتاوات الأنهار الأخرى، فدلّتا النيل لها تاريخ جيولوجى معقد، ويرجع ذلك إلى تعدد الأنهار التى إحتلت مجرى النيل منذ نشأتها، وإختلاف مصادر مياهها، وكمية المياه التى كان يحملها كل نهر، ونوع الرواسب التى جاء بها. ولهذا تعاقب على موقع الدلتا الحديثة عدد من الدلتاوات إختلفت كل واحدة منها عن الأخرى.

بدأ تكوين دلتا فجر النيل عندما غمرت مياه البحر المتوسط وادى النيل فى عصر البلايوسين الأوسط، وكانت هذه الفترة تتميز بتزايد واضح فى كميات الأمطار وسيادة عمليات النحت والتعميق فى منطقة الدلتا، وقد تجمعت عند مصب الخليج البلايوسينى طبقات من الرواسب البحرية، وكانت هذه الرواسب تعلو مستوى سطح البحر بما يتراوح بين ١٨٠ و ٢٠٠ متر فوق مستوى مياه البحر المتوسط، وكانت حافة الدلتا القديمة فى ذلك الوقت تمتد من رأس خليج السويس فى الشرق إلى وادى النطرون فى الغرب. وهذه الدلتا تمثل أول دلتاوات التى نشأت بتكوىم رواسب هذا النهر الخشنة التى تم إرسابها على شكل مروحة. (رشدى سعيد، ١٩٩٢، ص ٩٠).

وقد أعقب تكون هذه الدلتا أحداث كثيرة نتج عنها ملء خليج الدلتا الشمالى برواسب بحرية وسوته مع جزئه الجنوبى المرتفع، ثم إنحسرت مياه البحر عن الخليج البلايوسينى فى البلايويلايستوسين، وتعرض إقليم الدلتا للنحت، وقد أدى هذا إلى ترسب رواسب من الرمال التى تختلف عن الرمال البلايوسينية فى إحتوائها على بللورات من الفلسبار والحصى المشتق من صخور نارية ومتحولة، مما يدل على أنها

رواسب أرسبتها المجارى المائية التى كانت تنحدر من جبال البحر الأحمر. (محمد صفى الدين، ١٩٦٦، ص ٢٣٥).

ومع مجرى نهر النيل القديم أخذت الدلتا موقعها الحديث، وبدأ النهر يتفرع عند حد الدلتا الجنوبي الحالى تقريباً، وكانت مياه هذا النهر تحمل رواسب دقيقة الحبيبات ولهذا كانت تطفو فوق المياه، وامتدت بداخل البحر وبذلك تكونت النواة التى بنيت حولها دلتا النيل القديم.

تبع ذلك قدوم نهر عرف بإسم نهر ما قبل النيل كان يحمل معه رواسب خشنة من الرمال، وأرسبت هذه الرواسب على طول جبهة الدلتا دون أن تمتد بداخل البحر، وقد تسببت فى أن تكون جبهة الدلتا على شكل قوس منتظم، وهو نفس الشكل الذى يستمر حتى اليوم.

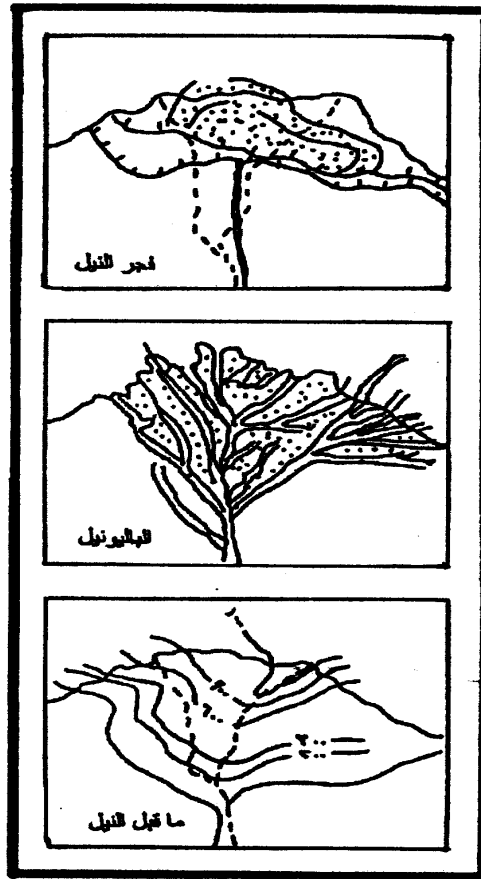
وبعد أن توقف نهر ما قبل النيل الغزير وجاء نهر النيل فى البلايستوسين تعرضت الدلتا لفترات طويلة من النحت والهدم، تخللتها فترات قليلة من البناء والترسيب، ونتج عن ذلك إزالة جزء كبير من هذه الدلتا القديمة وتبقى جزءاً يشكل الآن نواة الدلتا التى غطاهما النيل الحديث برواسبه التى تجمعت فوقها خلال فترة السبعة إلى ثمانية آلاف سنة الماضية. (رشدى سعيد، ١٩٩٢، ص ٩١)، شكل (١٦).

ثالثاً العوامل المسئولة عن حدوث تغيرات مورفولوجية فى دلتا النيل

يرجع حدوث تغيرات مورفولوجية فى دلتا النيل إلى عدد من العوامل بعضها حدث فى عصر البلايستوسين وفى العصور التاريخية، وبعضها حدث بعد بناء السد العالى، وفيما يلى دراسة لكل عامل منها:

١- الحركات التكتونية:

أوضحت العديد من الدراسات التى تمت عن دلتا النيل مثل دراسة كل من يلموزو كنتش (Yallouz & Kentech, 1945) والفيومى (EL Fayoumy, 1968) والشاذلى وآخرون (El Shazly, et al, 1975) ومبروك (Mabrook, 1979)، أن



المصدر: رشدي سعيد، ١٩٩٢.

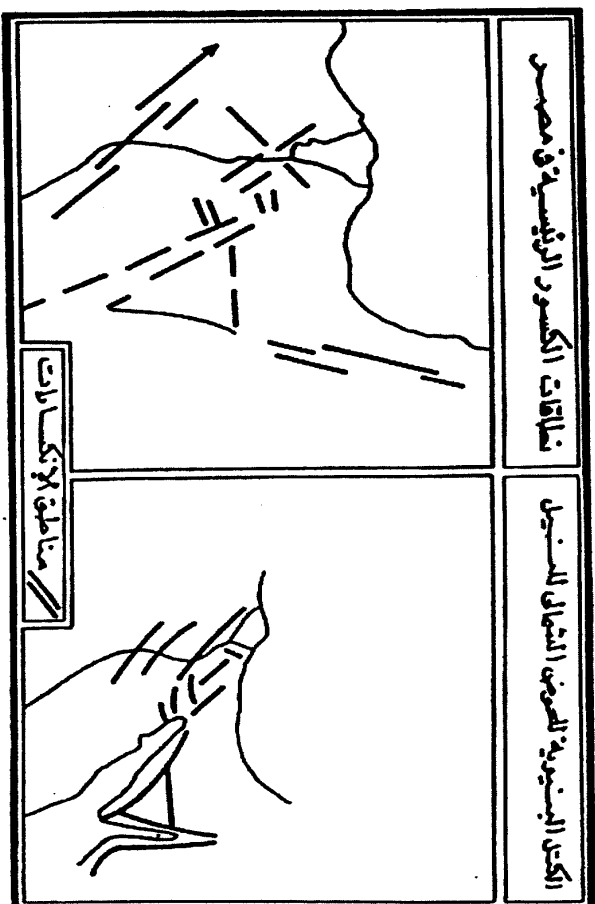
شكل (١٦)
تطور دلتاوات النيل

منطقة الدلتا تعد من مناطق التصدع والضعف فى الأرضى المصرية فيرى كل من يللوزوكنتش أن دلتا النيل تكونت تكتونياً وهى مغمورة بمياه البحر فى عصر الأوليوسين، أما نحت النهر فلم يتم قبل تحول المنطقة إلى الجفاف، ومن المحتمل أن هذا قد تم فى أثناء عصر الميوسين أو بداية البلايوسين. شكل (١٧) (Yallaouz & Knetch, 1954, p.181).

يتفق سيجاف Sigaav مع المؤيدين لنظرية تكتونية الدلتا، فلقد قام بعمل خريطة تكتونية إقليمية لمصر، وهو يعتبر دلتا النيل بمثابة حوض كبير للجزء الهامشى للبحر المتوسط، هذا الحوض يحده من الجنوب إنكسار يمتد على طول الحد الشمالى للحافة القافزة المحدبة لطريق القاهرة- السويس، ويعتقد سيجاف أن داخل حدود إنكسار الدلتا من الجنوب توجد سلسلة من الإنكسارات المتوازية. (Mabrook, 1979, p.39). Suparallel Faults.

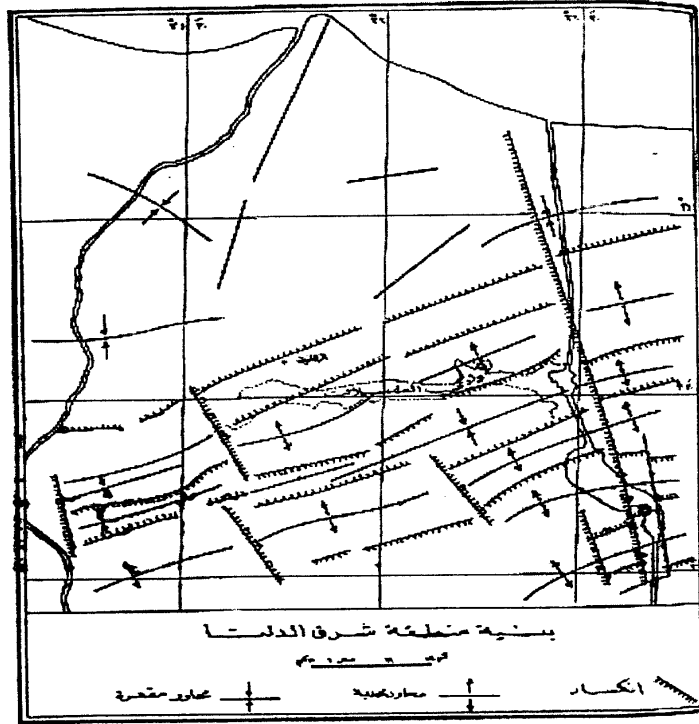
كذلك قام الفيومى بدراسة العناصر التكتونية المختلفة والمناطق الواضحة لإقليم شرق الدلتا، وذكر أن جميع الإنكسارات فى منطقة شرق الدلتا من النوع العادى، وتتخذ إتجاهين رئيسيين هما: إتجاه شمالى غربى جنوبى شرقى، وإتجاه شرقى غربى. (Ibid., p.41).

كذلك أوضحت دراسة المراثيات الفضائية وجود مجموعة من الإنكسارات فى منطقة شرق الدلتا. شكل (١٨) ومن دراسة الخريطة يتضح أن منطقة شرق الدلتا تنقسم إلى: - الجزء الجبلى الواقع إلى الجنوب من طريق القاهرة- السويس، ويتميز بوجود عدد من الإنكسارات تأخذ إتجاه شمال الشمالى الغربى، جنوب الجنوبى الشرقى أو شمالى غربى جنوبى شرقى، ويلاحظ أن الإنكسارات فى هذا الموضع قصيرة لا يزيد طولها عن ٢٠ كم، بينما الإنكسارات المتجهة بمحور شمالى غربى جنوبى جنوبى شرقى كبيرة، وبعضها يمتد إلى خليج السيوس، ليمثل الإنكسار الرئيسى الواضح فى الخليج كذلك أوضحت دراسة الشاذلى وآخرون. (El Shazly, et al., 1975, p.7) وجود بنية محدبة Anticline تظهر جنوب غربى البحيرات المرة، ويمكن مقارنتها بمثلتها فى شمال ووسط سيناء.



المصدر: (Yalouuz & Kneich, 1954, p. 172, 177)

شكل (١٧)



المصدر: أكاديمية البحث العلمي. مركز الاستشعار من البعد (١٩٧٩)

شكل (١٨)

- الجزء الثانى يقع فيما بين طريق القاهرة- السويس، وطريق القاهرة- الإسماعيلية الزراعى، ويغطى هذا الجزء لرسابات الزمن الرابع المكونة من الصلصال والرمال السطحية، وشقوق الحجر الجيري، والإنكسارات ذات إتجاهين أساسيين هما إتجاه شمالى شمالى غربى- جنوبى جنوبى شرقى، وإتجاه شرقى- غربى. (Ibid., p.7).

أما عن تأريخ إنكسارات الدلتا، يرى كل من يللوز وكنتش أنها تعاصر تكوينات البازلت القريبة من القاهرة، وهذه التكوينات ترجع إلى الأوليجوسين أو الميوسين (Yallouz. & Knetch, 1954, p.181)

ويرى الباحثون المؤيدون لنظرية تكتونية الدلتا، أن مياه النيل تم أسرها لتتناسب إلى البحر المتوسط، فى عصر الميوسين (محمد صفى الدين، ١٩٦٦، ص ٩١) وهذه هى المرحلة الوحيدة من تاريخ دلتا النيل والتي حدثت فيها عملية الأسر النهري فى الدلتا نتيجة لحدود صدوع الدلتا السابق الإشارة إليها.

فى المصور التاريخية حدثت حركة رفع شرق الدلتا، ويؤكد هذا الرأى كل من ليونز (Lyons, 1906, p.349)، (ومحمد عوض محمد، ١٩٥٦، ص ٩١) ويستدل ليونز على حدوث حركة رفع شرق الدلتا من تكوين الملاحات الضخمة جنوب رأس غارب فى خليج السويس، وهذا يدل على أنها حركة رفع حديثة جداً. ويرجع بعض الباحثون إندثار الأفرع الشرقية لدلتا النيل لحركة الرفع التى حدثت فى شرق الدلتا.

كذلك تشير الدراسات إلى حدوث حركة هبوط فى القسم الشمالى للدلتا، أدت إلى طغيان مياه البحر المتوسط على الهوامش الشمالية للدلتا، ويؤكد هذا الرأى عدد من الباحثين أمثال مرى Murray لينان دى بلفون Linent de Bellefonds وبارتو Bathaux وجون بول Ball. ولقد اختلفت الآراء فى تحديد أسباب حدوث هذه الحركة، ولعل أقرب الآراء إلى الصحة هو الرأى القائل بأن طغيان مياه البحر على القسم الشمالى من الدلتا يرجع إلى هبوط سطح الأرض نتيجة توالى لرساب كميات هائلة من الرواسب التى كان يجلبها نهر النيل وفروعه الدلتاوية العديدة. (محمد صفى الدين، ١٩٦٦، ص ٢٤٤).

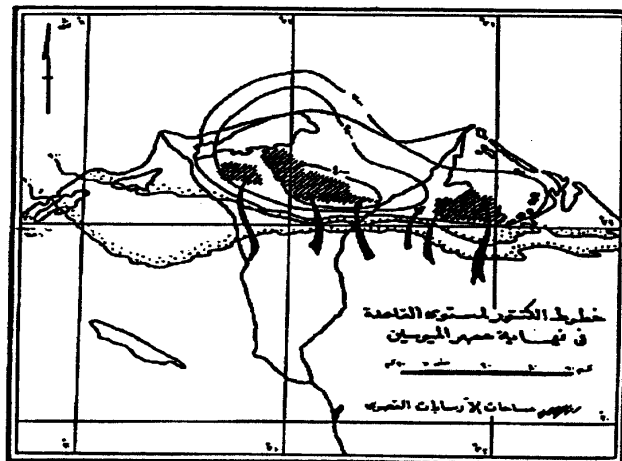
ولقد ترتب على حدوث حركة هبوط القسم الشمالى من الدلتا تقصير أطوال الأفرع الدلتاوية القديمة، وتكوين البحيرات الشمالية، إلى جانب غرق قرى ومدن ساحلية كانت معروفة فى ذلك الوقت، مثل ميناء الإسكندرية الرومانى.

٢- تغير منسوب سطح البحر المتوسط:

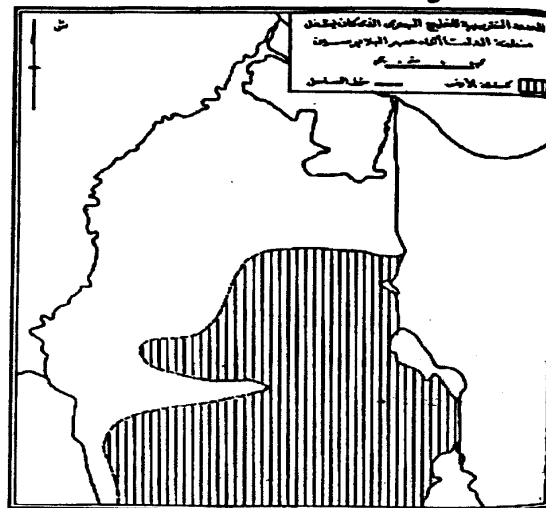
ثبت من الدراسات الجيولوجية أن دلتا النيل كانت مغمورة بمياه البحر خلال الزمن الأول والثانى وبداية الزمن الثالث. وفى عصر الميوسين غمرت مياه البحر الجزء الشمالى من الأراضى المصرية وتقدمت مياه البحر الميوسينى صوب الجنوب حتى خط عرض واحة سيوة، يوضح شكل (١٩) خطوط الكنتور لمستوى القاعدة فى نهاية عصر الميوسين، وهى توضح أنه عند بداية هذا العصر كان الجزء الجنوبى من الدلتا مغمور بمياه البحر (Said, 1981, pp., 13-15).

فى بداية عصر البلايوسين طغت مياه البحر البلايوسينى على الدلتا، نظراً لارتفاع منسوب مياه بحر تتش لتدفق المياه من المحيط الأطلنطى أعلى جبل طارق. (Ibid., p.100). ولقد قدر جون بول منسوب البحر البلايوسينى فى ذلك الوقت بنحو ١٨٠ متراً فوق منسوبه الحالى، وقد أدى هذا إلى تقهقر ساحل مصر الشمالى نحو الجنوب حتى إلى الشمال من مدينة القاهرة ووادى النطرون (Ball, 1939, p.31). وفى القسم الأخير من العصر البلايوسينى، وعلى الرغم من تراجع ساحل البحر نحو الشمال نتيجة ارتفاع سطح الأرض وإنخفاض سطح البحر حوالى ٢٦ متراً عما كان عليه منسوبه فى أوائل العصر نفسه، كان ساحل الدلتا يمتد إلى الشمال من نقطة التفرع الحالية بنحو كيلو مترين أى إلى الشمال من القاهرة بنحو ٥٢ كم. شكل (٢٠).

فى أثناء عصر البلايويلايستوسين إستمر منسوب البحر فى الإنخفاض حتى وصل فى أواخر هذا العصر إلى منسوب +٢٩ متراً، وأصبح خط الساحل يقع إلى الشمال من نقطة التفرع الحالية بنحو ٥ كم، وظلت الدلتا تحت مياه البحر حتى بداية عصر البلايستوسين.



شكل (١٩)



المصدر: EL Fayoumy, (1968)

شكل (٢٠)

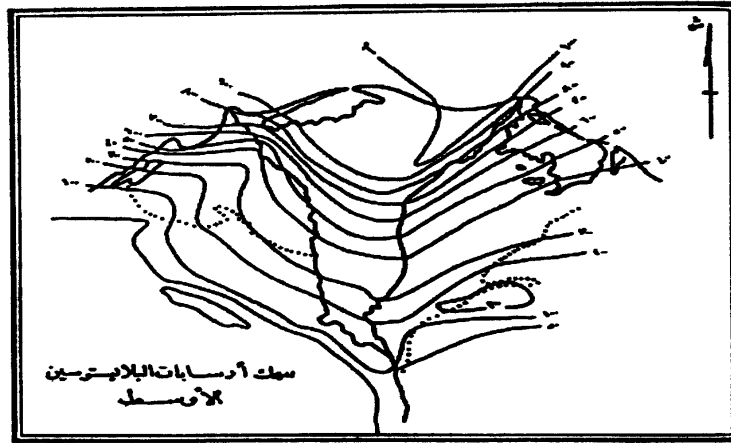
مع بداية عصر البلايستوسين إرتفع منسوب البحر إلى نحو ١٠٠ متر عن منسوبه الحالى ثم بدأ فى الهبوط تدريجياً، وفى البلايستوسين الأوسط أرسب نهر النيل إرسابات خشنة وسميكة، وتظهر هذه الإرسابات مكشوفة outcrop على طول حافات الدلتا، ويوضح شكل (٢١) سلك إرسابات البلايستوسين الأوسط، والتي يقدر سمكها فى العروض الوسطى من الدلتا بنحو ٦٠٠ متر. (Said, 1981, pp., 55-56).

فى أواسط العصر الحجري القديم الأوسط - فترة المoustéri - إنخفض منسوب سطح البحر المتوسط إلى نحو ١٢ متراً عن منسوبه الحالى، وتبع ذلك إنخفاض منسوب نهر النيل عن منسوبه الحالى، بنحو ١٧ متراً، وتقدمت الدلتا لمسافة ٩٠ كم شمال القاهرة، ثم حدثت حركة عكسية وإرتفع منسوب البحر إلى ١٦ متراً فوق منسوبه الحالى، وكان نتيجة ذلك سيادة الإرساب فى منطقة الدلتا. (Ball, 1939, p.31).

فى العصر الحجري القديم الأعلى، إنخفض منسوب البحر إلى أدنى منسوب له حتى وصل إلى ٤٣- متراً تحت منسوبه الحالى، وهبط نهر النيل عند خط عرض القاهرة إلى ٣٣ متراً عن منسوبه الحالى، وتقدم ساحل الدلتا فى الشمال إلى ١١ كم تقريباً عن موقعه الحالى وإستأنفت الفروع الدلتاوية عملها فى تخفيض سطح الدلتا. (محمد صفى الدين، ١٩٦٦، ص ٢٦١).

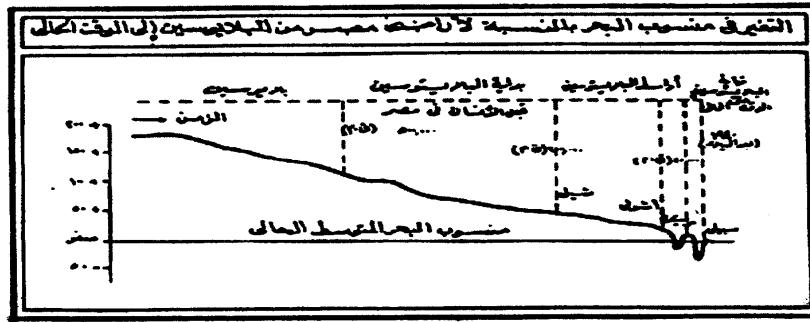
فى أثناء الفترة الممتدة من نهاية العصر الحجري القديم والنيليتى إرتفع منسوب البحر ونهر النيل حتى وصل هذا المنسوب فى أواسط العصر النيليتى إلى نحو ٨ متراً فوق المنسوب الحالى وتراجع خط الساحل الدلتاوى نحو الجنوب حتى إستقر على بعد ما يقرب من إثنين أو ثلاث كيلومترات شمال موقعه الحالى. شكل (٢٢)، (Ball, 1939, p.32).

ولقد ترتب على التغيرات التى طرأت على منسوب سطح البحر حدوث تغير فى العمليات الجيومورفولوجية فى دلتا النيل، فمع إرتفاع منسوب سطح البحر تجنح الأنهار إلى الإرساب، ومع إنخفاض منسوب سطح البحر تقوم الأنهار بعملية النحت. وكذلك كان من أهم النتائج التى ترتبت على حدوث تغير فى منسوب سطح البحر تكوين



المصدر: Said, (1981) p.57

شكل (٢١)



المصدر: Ball, (1939)

شكل (٢٢)

سلسلة من المدرجات النهرية River Terraces على جانبي دلتا النيل. ويوضح شكل (٢٢) ارتباط مناسيب البحر المتوسط بالمدرجات النهرية منذ نهاية البلايوسين وحتى الوقت الحالي.

في العصور التاريخية، حدثت حركة هبوط في الدلتا أدت إلى طغيان مياه البحر المتوسط على الهوامش الشمالية للدلتا. ويرى مري أن هبوط ساحل الدلتا الشمالي كان بمعدل مترين ونصف منذ الفترة الكلاسيكية حتى الآن، وبمعدل يبلغ قدره نحو مليمتر واحد في كل عام (محمد صفى الدين، ١٩٦٦، ص ٢٤٣، نقلاً عن مري).

٣- التغيرات المناخية:

أوضحت العديد من الدراسات الخاصة بعصر البلايستوسين أن الأحوال المناخية مرت بفترة إنتقالية منذ نهاية البلايوسين حتى أوائل البلايستوسين، حيث بدأ المناخ في البرودة التدريجية في جميع أنحاء أوروبا، وإنتهت فترة الدفء التي كانت سائدة في عصر البلايوسين. ويرى بوترز أن درجات الحرارة بدأت في الإنخفاض التدريجي منذ عصر الإيوسين حيث كانت درجات الحرارة تتراوح بين ٢٠-٢٢°، وحتى عصر البلايوسين حيث بلغت درجة الحرارة ١٠° (Butzer, 1965, p-19).

ومع هذا الإنخفاض الواضح في درجات الحرارة وانتشار الجليد البلايستوسيني، حدث ترحل في النطاقات المناخية تجاه الجنوب. ولقد تبين من مختلف الدراسات في نطاق العروض الدنيا، وعند الدائرة الإستوائية، أنه قد حدث أثناء الفترات الباردة إتساع في نطاق الأمطار الإستوائية، وكثرة في نشاط الإنخفاضات الجوية، وإزداد كمية الأمطار الساقطة على النطاقات الجافة الحالية، ومن هنا جاءت فكرة معاصرة الفترات المطيرة في مجال النطاق الجاف الحالي للفترات الجليدية في العروض المعتدلة (جودة حسنين جودة، ١٩٦٦، ص ص ٣٢-٣٦).

ويرى بوترز أن الفترات المطيرة تنقسم إلى أربع فترات يفصل فيما بينها فترات جافة، وهذه الفترات ترتبط بالمرحل الجليدية الألبية الأربعة، فهو يرى أن المناخ المطير لا يوجد فقط في أثناء الفترات الباردة، ولكن أيضاً أثناء الفترات الحارة، كما أن الأمطار العظمى

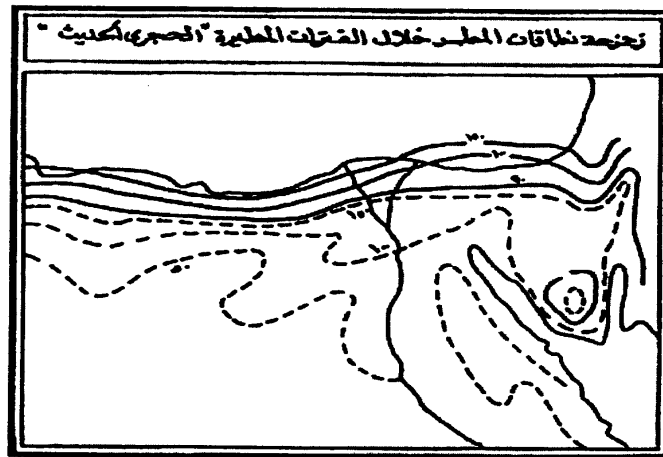
يمكن أن تحدث في بداية تراجع الجليد المبكر، وأن أمطار البحر المتوسط لم تكن كاملة في طور الجليد في العروض العليا، كما أن الفترات المطيرة في مصر وحوض النيل الأعلى جنوب الصحراء بصفة عامة، معاصرة للفترات الجليدية أى أنها تقع في آن واحد. (Butzer, 1961, pp. 137-139).

مما سبق يتضح أن منطقة الدلتا، كان مناخها أثناء عصر البلايستوسين يختلف تماماً عن المناخ الحالي، حيث تعرضت هذه المنطقة لفترات مطيرة وأخرى جافة، حيث ساد منطقة البحر المتوسط في عصر البلايستوسين أحوال مناخية مشابهة لما يسود نطاق غرب أوروبا المناخى الحالي، ويرى بروكس Brooks أن كمية الأمطار التي كان ينالها النطاق الصحراوي الحالي في البلايستوسين تقدر بحوالى خمسة أمثال ما هي عليه الآن. ولقد أكد ذلك كارل بوتزر من خلال دراسته للحياة النباتية والحيوانية بالصحراء الشرقية إبان العصر المطير، ثم خرج من دراسته بخريطة توضح خطوط المطر المتساوى بالصحراء الشرقية. شكل (٢٤) وشكل (٢٥).

ومن الشكليات تتضح الزيادة الواضحة في كمية الأمطار الساقطة على الدلتا في البلايستوسين، حيث يلاحظ أن خط المطر المتساوى الذى يبلغ مقداره ١٥٠ ملميمتر وهو الذى يمتد إلى شمال سواحل البحر المتوسط، قد إنتقل جنوباً وشمل معظم مناطق شمال مصر ووسطها وغربها.

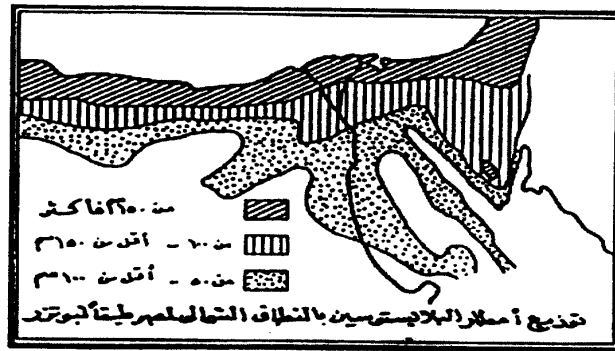
ولقد ترتب على حدوث التغيرات المناخية في دلتا النيل أثناء عصر البلايستوسين، تغير في كمية المياه والرواسب التي كانت تحملها أفرع هذه الدلتا، وبالتالي حدوث تغير في العمليات الجيومورفولوجية التي كانت تقوم بها، فمن المعروف ووفقاً لقاعدة هنجنتون أن الأنهار تجنح للنحت أثناء الفترات المطيرة، وتجنح للإرساب أثناء فترات الجفاف وبذلك أسهمت التغيرات التي حدثت في منسوب سطح البحر المتوسط أثناء عصر البلايستوسين في تكوين ظاهرة الجزر الرملية Sand Islands المتناثرة في الدلتا والمعروفة بإسم ظهور السلاحف Turtle Backs.

ومع بداية العصر الحديث وسيادة ظروف الجفاف بدأ تكوين سلسلة الكثبان الرملية



المصدر: طلعت أحمد محمد، ١٩٨٠

شكل (٢٤)



المصدر: طلعت أحمد محمد، ١٩٨٠

شكل (٢٥)

الساحلية والتي تمثل مظهر جيومورفولوجي رئيسي للجزء الأكبر من ساحل الدلتا الواقع إلى الشرق من خليج أبي قبر، ويرى بول أن تكوين هذه الكثبان الرملية دليل على سيادة ظروف شديدة الجفاف. (Ball, 1939, pp.41-45).

٤- التغيير في النظام الهيدرولوجي لفرعي دمياط ورشيد:

أدى بناء السد العالي إلى حدوث تغير في النظام الهيدرولوجي لنهر النيل ودلتاه، حيث نتج عن إنعدام حدوث الفيضان السنوي إنتظام منسوب المياه، وبطء سرعة جريانها، مما أدى إلى تراكم الرواسب في قيعان فرعي دمياط ورشيد، وعلى جانبي مجري الفرعين، وقد ساعد ذلك على نمو النباتات المائية بالمجريين، وإلتحام بعض الجزر النهرية بالنسيج الرسوبي للدلتا، كما تعرضت بعض الفروع الثانوية للإطماء.

كذلك حدث تغير في نظام ترسيب فرعي الدلتا بعد بناء السد العالي نظراً لنقص كمية الرواسب التي كانت تساعد الدلتا على التقدم على حساب البحر المتوسط، كما حدث تغير في المتوسط الشهري لتصرفات فرعي الدلتا، فقد نقص تصرف فرع دمياط من ١٧٧,٣٢ مليون م^٣/اليوم في سبتمبر عام ١٩٥١ إلى ٢٢,٩ مليون م^٣/اليوم، في عام ١٩٦٥ لنفس الشهر. وسجل تغيير مماثل في المتوسط الشهري لتصرفات فرع رشيد من ٣٧٤,٩ مليون م^٣/اليوم في شهر سبتمبر عام ١٩٥٦ إلى ٢٤٠,٩ مليون م^٣/اليوم لنفس الشهر عام ١٩٦٥. كذلك إنخفض المتوسط الشهري لتصرفات فرع رشيد عام ١٩٨٠ إلى ٧,٥ مليون م^٣/اليوم. وكان لهذا أثر واضح على العمليات الجيومورفولوجية السائدة في فرعي الدلتا، ونشطت عمليات النحت عند مصبي الفرعين، وبذلك ظهرت مشكلة تآكل بعض قطاعات من الساحل الدلتاوى.

٥- حركة التيارات البحرية في البحر المتوسط:

تتميز التيارات البحرية في نطاق المياه العميقة Deep Water Zone بإنسيابها في إتجاه الشرق مع إندماجها مع التيارات السطحية خلال أشهر الشتاء، وتتراوح قيم سرعة التيارات بين ١٠ و ٥٠ سم/ الثانية، ويبلغ متوسط سرعة التيارات ٢٠ سم/ الثانية، كما تتميز بتغير إتجاهها خلال ٣٦٠° كل ١٢ ساعة بتأثير دورة المد والجزر.

فى نطاق المياه الضحلة **Shallow Water Zone** والذي ينحصر بين عمق ٥٠ سم فى الشمال وخط تكسر الأمواج فى الجنوب، فقد سجلت تقديرات مركز أبحاث قتلة السوس أقصى سرعة للتيارات البحرية داخل النطاق بنحو ١٠٠ سم/الثانية، وحللت الاتجاه السائد للتيارات بأنه من الغرب إلى الشرق.

فى النطاق الساحلى **Littoral Zone** والذي ينحصر بين خط تكسر الأمواج فى الشمال وخط الساحل فى الجنوب على طول ساحل البحر المتوسط فيتأثر تيارات اللد واتجاه وسرعة رياح العواصف، والتيارات المحلية المتولدة فى منطقة المصبات الكل من فرعى رشيد ودمياط، وبوغاز البرلس، ومصرف القرية وجمصة وأشتوم الجميل، وبحيرة المنزلة، بالإضافة إلى التيار الساحلى الطولى الذى يعد أهم عنصر فعال داخل هذا النطاق.

ويشير تحليل نتائج قياسات وتقديرات معهد حماية الشواطئ إلى أن أقصى طلاقة التيار ١,٤٣ متر/الثانية فى منطقة دمياط، وإن الاتجاه السائد من الغرب إلى الشرق، ويعكس التيار اتجاهه فى أشهر مارس وأبريل وأكتوبر ونوفمبر، حيث سجل أقصى سرعة له خلال هذه الأشهر ١,١٨ متر/الثانية فى منطقة البرلس. كما لوحظ أن سرعة التيار تزيد فى أشهر الصيف عنها فى أشهر الشتاء، وذلك عندما تصل مستويات المد إلى أعلى مناسب لها، كما تزداد سرعة التيار أيضاً خلال فترة رياح الخماسين الموسمية، وتغير أيضاً من اتجاهه ليصبح من الشرق إلى الغرب، وقد سجل دورتان للتيار الساحلى على كلا جانبي مصب رشيد ترتبط باتجاه الأمواج واتجاه وسرعة الرياح وطبوغرافية القاع. (على مصطفى كامل، ١٩٩٨، ص ٣٣٦-٣٣٧).

٦- التدخل البشري:

نظراً لقلة الإيراد المائى الوارد إلى فرعى دمياط ورشيد بعد بناء السد العالى، وبطء سرعة جريان المياه، تتعرض مساحات من المسطحات المائية لفرعى دمياط ورشيد للإطماء وإنكماش فى مساحة المسطح المائى. ويقوم السكان بتحويل المساحات التى تتعرض للإطماء إلى أراضى زراعية أو سكنية. ولهذا أثره السلبى على مساحة المسطحات المائية للفرعين، وكذلك على طبيعة العمليات الجيومورفولوجية السائدة فى الفرعين.

ثالثاً: بعض التغيرات المورفولوجية في دلتا النيل

ترتب على حدوث حركة الرفع شرق الدلتا، وتغير منسوب سطح البحر المتوسط، والتغيرات المناخية في عصرى البلايستوسين والحديث، والتغير في النظام الهيدرولوجي لفرعى دمياط ورشيد بعد بناء السد العالي، حدوث تغيرات مورفولوجية في دلتا النيل، ومن المتوقع استمرار حدوث بعضها في المستقبل، مما يمثل خطراً مورفولوجياً على بعض قطاعات من الدلتا. وتشمل هذه التغيرات مايلي:

١- تغير موقع قمة الدلتا:

أوضحت الدراسات الجغرافية أن قمة الدلتا كانت غير ثابتة خلال آلاف السنين منذ العصور البشوية الحجرية والتاريخية، فقد أشارت هذه الدراسات إلى أن قمة الدلتا مرت بدورين هما: الأول دور تقدمت فيه قمة الدلتا نحو الشمال منذ ظهورها في منطقة ممفيس في أوائل عصر البلايستوسين وقبل العصر الحجري القديم الأسفل، وقد استمر هذا التقدم حتى إنتهى في القرن الخامس عشر الميلادى، إذ أصبحت قمة الدلتا عند شطانوف. أما الدور الثانى فهو دور تراجعت فيه قمة الدلتا نحو الجنوب، وبدأ منذ القرن الخامس عشر الميلادى حتى الوقت الحاضر إذ أصبحت قمة الدلتا جنوب شبه جزيرة الشعير.

ولقد أرجع د. على عبد الوهاب شاهين تغير موقع قمة الدلتا إلى إقطاع أجزاء من الأرض المحصورة بين فرعى النيل عند رأس المثلث، وتحويلها من شبه جزيرة إلى جزيرة نيلية، الأمر الذى يترتب عليه تحرك نقطة التفرع ناحية الشمال، ولكن فى بعض الفترات لا تلبث هذه الجزر أن تلتحم بالأرض مرة ثانية وبذلك تتجه نقطة التفرع نحو الجنوب، وبناء على ذلك يكون التغير فى موضع نقطة التفرع بسبب نشاط عملية النحت فى فترة من الفترات مما يؤدي إلى تعميق النهر لجراه، الأمر الذى يترتب عليه تعرض الأجزاء التى تقع إلى الشمال مباشرة من نقطة التفرع إلى نشاط فى عملية النحت الجانبي للمجرى النهري من ناحية، وإلى نشاط فى تسرب مياهها الجوفية إلى المجرى النهري من ناحية أخرى، وعليه فتؤدى عملية تسرب هذه المياه إلى عملية النحت الباطنى التى تؤدى إلى وجود رقبة منخفضة المنسوب ينتهى بها الأمر إلى أن تصبح

منطقة تغمرها مياه النهر في فترات فيضانه، وينفصل الجزء الواقع إلى الجنوب منها مكوناً جزيرة نهريه، ومع نشاط عملية النحت عند طرفها الشمالي، وعند نقطة التفرع الجديدة تبدأ المسافة بينهما في الإستطالة حتى يبدو مجرى النيل إلى الشمال من هذه الجزيرة في صورة مجرى مستطيل ويبدو أن عملية إقتطاع الجزر من الأرض الواقعة إلى الشمال من نقطة التفرع لها لإرتباط بعملية الهبوط في مستوى سطح البحر، والتي تؤثر بدورها على نشاط النحت الرأسى للنهر، وتنقلب هذه الصورة وينشط الإرساب نتيجة لضعف تيار المياه في النهر عند الأطراف الشمالية لهذه الجزر خاصة وأنها تقوم بدور العائق في المجرى النهري الذى يؤدي ضعف تيار مياه النهر وإرساب ما به من حمولة، وتتضح عملية الترسب عندما يرتفع منسوب سطح البحر فتلتحم الجزر النيلية وتتقهر نقطة التفرع صوب الجنوب. (على عبد الوهاب شاهين، ١٩٧٧، ص ص ١٦١-١٦٢).

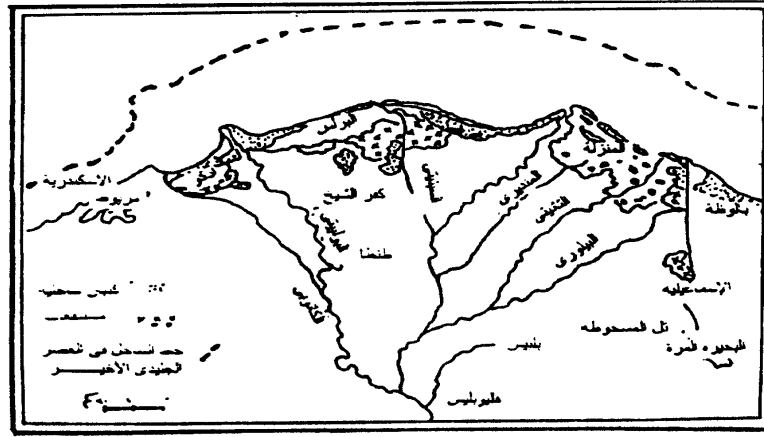
٢- إندثار الأفرع الدلتاوية القديمة:

كانت فروع الدلتا أكثر عدداً خلال معظم التاريخ أكثر مما هي عليه الآن، فقد ذكر هيرودوت أن لدلتا النيل خمسة أفرع، ويرى الإدريسي أن عدد أفرع الدلتا ستة أفرع، وذكر سترابو Strabo أن دلتا النيل كان لها سبعة أفرع وهي من الشرق إلى الغرب، الفرع البيلوزى Pelusiac نسبة إلى بلدة بيلوزيوم ويكاد ينطبق مجراه مع بعض أجزاء من مجرى ترعة الشرقية وأبى الأخضر وفاقوس، الفرع التانيتى Tanitic نسبة إلى بلدة تانيس التى كانت فيما مضى أكبر مراكز الإستقرار فى الطرف الشرقى لبحيرة المنزلة، وتنطبق بعض أجزاء من مجراه مع بحر موسى، الفرع المنديسى Mendesian، ويكاد ينطبق الجزء الأدنى للبحر الصغير مع هذا الفرع، الفرع الفاتيتى Phatenetic، ويتطابق فرع دمياط الحالى، الفرع السابنيتى Sybennetic ويتمشى مجراه مع المجرى الحالى لبحر تيره، الفرع البليتى Bolbitic ويتطابق فرع رشيد، والفرع الكانوبى Canopic ويقع فى غرب الدلتا، وكان ينتهى فى بحيرة أدكو، (محمد عوض محمد، ١٩٥٢، ص ١٩٠) شكل (٢٦).

ويرجع العلماء تكون الأفرع الدلتاوية خلال الفترة التي سبقت الإرتفاع الكبير الذى حدث فى منسوب سطح البحر سنة ٥٠٠٠ ق.م، والتي كان فيها سطح البحر واطعاً، ومن المؤكد أن فروع الدلتا كانت موجودة خلال عصر ما قبل الأسرات. (رشدى سعيد، ١٩٩٢، ص ٨٧).

ومن التغيرات المورفولوجية التي حدثت فى دلتا النيل إندثار خمسة أفرع للدلتا، وتبقى الفرع الفاتنتيتى ويمثل فرع دمياط حالياً، والفرع البوليتى ويمثل فرع رشيد حالياً. وترجع أسباب إندثار هذه الأفرع إلى الأسباب التالية:

- يرجع كل من ليسونز Lyons ومحمد عوض إندثار الأفرع الدلتاوية إلى حركة الرفع التي حدثت فى شرق الدلتا، والتي نتج عنها إنصراف المياه من فروع الدلتا الشرقية إلى الفروع المنخفضة فى الوسط والغرب. (Lyons, 1906, pp.348-349) و(محمد عوض محمد، ١٩٥٢، ص ص ١٧٤-١٩٢).



المصدر: رشدى سعيد، ١٩٩٢.

شكل (٢٦)
الأفرع الدلتاوية القديمة

- يرى (على عبد الوهاب شاهين، ١٩٧٧، ص ص ١٦٤-١٦٦) أن فروع الدلتا القديمة تنقسم حسب الانحدار العام للمخروط الإرسابي الدلتاوى إلى فروع رئيسية، وأخرى ثانوية، وقد تم إندثار الفروع الثانوية نتيجة لنشاط عملية الإرساب عند مخارج هذه الفروع من الفروع الرئيسية بسبب اضطراب مياه النهر عند إصطدامها بجانبى مدخل الفرع الثانوى، وبذلك يتكون حاجز إرسابى يتر الفرع الثانوى عن الفرع الرئيسى.

ويرجح د. على عبد الوهاب شاهين، (المرجع السابق ص ص ١٦٥-١٦٨) أن الفروع الرئيسية التى كانت تنتهى مياهها إلى البحر مباشرة تنشط فيها عمليات النحت، أما الفروع الثانوية التى كانت تنتهى إلى بحيرات تنشط فيها عمليات الإرساب، ومع إستمرار عمليتى النحت على طول الفروع البحرية والإرساب على طول الفروع البحرية إنحسرت المياه عن الفروع البحرية خاصة فى فترات التخاريق واقتصر جريان المياه على فترات الفيضان.

- يرى كل من العدوى ومحمد صفى الدين، ويلكوكس وكريج أن الإرساب يعد من أهم العوامل التى أدت إلى إندثار الأفرع الدلتاوية القديمة، ويرى أحمد محمد العدوى، ١٩٣٩، ص ١٥٣) أن الإرساب هو العامل الأساسى فى إندثار الأفرع الدلتاوية، سواء كان الإرساب بجوار الشاطئ أم فى الداخل خصوصاً فى سهل منبسط كدلتا النيل يسهل معه تحول المجارى المائية من حالة إلى أخرى.

٣- التغيرات المورفولوجية فى فرعى دمياط ورشيد:

حدثت تغيرات مورفولوجية فى فرعى دمياط ورشيد شملت تغير فى مساحة المسطح المائى، وفى إتساع المجريين، وطول المجرى وتعرجه، كما حدثت فى الجزر النهرية المنتشرة فى مجرى الفرعين.

- مساحة المسطح المائى: Water Surface Area

فقد المسطح المائى لفرع دمياط نحو ٢٧ ٪ من مساحته خلال الربع قرن الماضى، إذ إنخفضت المساحة المائية للفرع من ٦٦ كم^٢ إلى ٤٨،١ كم^٢، وبذلك إنكشفت المياه

عن حوالى ١٨ كم ظهرت كشطوط متاخمة للمجرى الجديد المنحسر، أو مساحة من الطمي والرمال أضيفت للجزر والمنعطفات النهرية للفرع. (محمد مجدى تراب، ١٩٩٠، ص ١٩).

وكذلك تناقص إتساع مجرى فرع رشيد، حيث إنخفضت مساحة المسطح المائى للفرع من ١٤٨,٩ كم^٢ إلى ١٠٢,٣ كم^٢ خلال الفترة من ١٩٢٥ إلى ١٩٩٣ م، وبذلك فقد المجرى مسطح مائى قدرة ٤٦,٦ كم^٢. (صابر أمين دسوقي، ١٩٩٧، ص ٦١).

- إتساع المجرى: Stream Width -

سحل المتوسط العام لإتساع قناة فرعى دمياط ورشيد تناقصاً كبيراً فى عرض المجرى، وتباين معدلات التناقص من مكان إلى آخر. بصفة عامة تنخفض قيمة المساحة المفقودة من المسطحات المائية عند المحلات الحضرية، ويرجع ذلك للتدخل البشرى فى تهذيب المجرى بإزالة نواخ الإطماء التى تظهر أمام المدن، وتكسيه جوانب المجرى، وإزالة النباتات المائية.

ويزيد مقدار التناقص فى إتساع المجرى فى الأجزاء التى يتشعب فيها المجرى، ويرجع ذلك إلى إلتحام بعض الجزر بإحدى جانبي المجرى، كما يصل معدل التناقص أعلاه فى المنعطفات النهرية بسبب فقد المجرى لجزء كبير من طاقته وكفاءته وميله لتسيب حمولته على الجوانب المحدبة للمنعطفات.

وتعد الأجزاء المستقيمة من أقل القطاعات تغيراً فى إتساع المجرى، بينما تعد القطاعات الوسطى من الفرعين أكثر أجزاء الفرعين إحساراً. وفى إتجاه مصبى الفرعين يقل إنكماش المسطح المائى، ويرجع ذلك بالنسبة لفرع رشيد أن هذا القطاع من الفرع يعد أقل القطاعات تأثراً بالتغير فى كمية التصريف المائى بعد بناء السد العالى، أما بالنسبة لفرع دمياط فيرجع ذلك إلى بعد مؤثرات الإطماء ووقوف سد دمياط الركامى ليحول دون إنسياب الحموله النهرية عبر المصب (محمد مجدى تراب، ١٩٩٠، ص ١٩).

- طول المجري وتعرجه: Channel Length and Sinuosity

سجل طول مجرى فرع دمياط زيادة إجمالية تقدر بنحو ٢١٥٠ متراً خلال الربع قرن الأخير، يعد بناء السد العالي سبب زيادة تعرج القناة النهرية، ويرجع ذلك إلى إلتحام بعض الجزر النهرية بضفاف المجرى، وإطماء الضفاف المحدية للمنعطفات مما يسهم في زيادة تقوسها، وإندثار السيالات الموسمية الضيقة، وتساقط الحمولة العالقة على جوانب وقاع المجري وتشكيل الشطوط والجزر النهرية المغمورة إلى جانب طبيعة سطح الدلتا البطيء الانحدار الذى يسمح بنمو وتطور المنعطفات النهرية بحرية تامة.

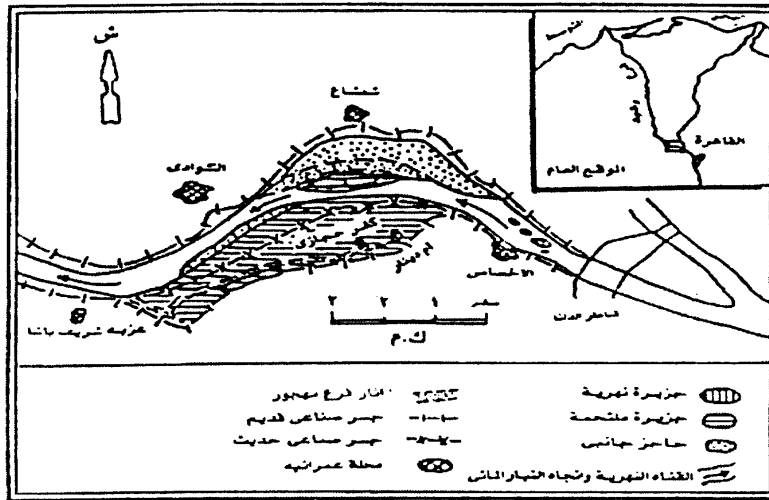
- هجرة القناة النهرية: Migration of the Channel

يتعرض كل من مجرى فرع دمياط ورشيد لهجرة جانبية، ويرجع ذلك إلى وجود جزر فى وسط المجرى فى أماكن مختلفة، مما يترتب عليه إنقسام القناة النهرية فى موضع كل جزيرة إلى فرعين، وبسبب إلتحام الجزر بأحد جانبي المجرى، يضمحل الفرع الثانوى تدريجياً وتطمره الرواسب ويهجر نهائياً، وتلتحم الجزيرة بالنسيج الرسوبى للدلتا، وتنتقل المياه من الفرع الثانوى إلى الرئيسى الذى يتسع على حساب الفرع الثانوى ويستوعب مياه القناة كلها.

ولقد أشار محمد مجدى تراب (١٩٩٠، ص ٩) إلى توالى هجرة القناة النهرية لفرع دمياط فى إتجاه الشرق بصفة عامة. أما بالنسبة لفرع رشيد أوضح صابر أمين دسوقي (١٩٩٧، ص ٧٦) حدوث هجرة للمجرى فى قطاع الإخصاص - عزبة شريف باشا صوب الشمال بمقدار ١٥٠٠ م تقريباً بين عامى ١٩٢٥ - ١٩٩٣ م بسبب إلتحام جزيرة أم دينار بالنسيج الرسوبى للدلتا. شكل (٢٧). كما حدثت هجرة للمجرى بين أبو عوالى وزاوية رازين صوب الغرب نحو ١٠٠٠ م بين سلامة والأحماس، وصوب الشرق نحو ١٠٠٠ م بين أبو عوالى ومؤنسة بسبب إلتحام الجزر. شكل (٢٨).

- تغير الجزر النهرية :

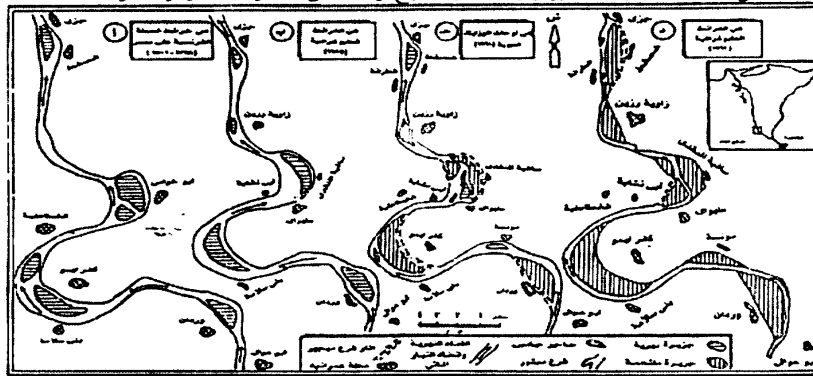
من ملامح التغير المورفولوجى الحديث فى مجرى فرع دمياط ورشيد حدوث تغير



المصدر: صابر أمين دسوقي، ١٩٩٧.

أعدت من : لوحات الموزايك ١ : ٥٠,٠٠٠ والدراسة الميدانية

شكل (٢٧) التغيرات المورفولوجية لمجرى فرع رشيد بين قناطر الدلتا وعزبة شريف باشا



المصدر: (صابر أمين دسوقي، ١٩٩٧، ص ٨٥)

شكل (٢٨) تغير الجزر النهرية في مجرى فرع رشيد بين أبو عوالي وحزى

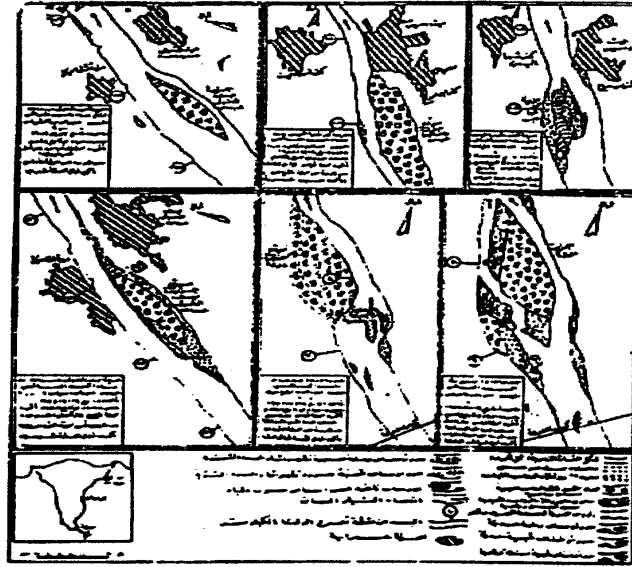
فى الجزر النهرية من حيث عدد الجزر، توزيعها الجغرافى، ظهور جزر جديدة، تغير فى مساحات الجزر.

- التغير العددي للجزر: إنخفض عدد الجزر فى فرع رشيد من ٣٤ جزيرة عام ١٩٢٥م إلى ١٥ جزيرة عام ١٩٩٣م، وكذلك تقلص عدد الجزر فى فرع دمياط من ٢٤ جزيرة قبل بناء السد العالى إلى ١٥ جزيرة فقط عام ١٩٩٠. ويرجع ذلك إلى إلتحام بعض الجزر بأحد جانبي المجرى وخاصة بالجوانب المحدية للثنيات، وأصبحت جزءاً لا يتجزأ من النسيج الفيضى للدلتا، أو لتعرض بعض الجزر للإزالة، أو لوجود جزر مغمورة تحت سطح المياه، كما هو الحال فى القطاع الأوسط من فرع دمياط، حيث توجد ثمانى جزر مغمورة تحت سطح الماء ولا تظهر إلا أثناء السدة الشتوية.

- إلتحام بعض الجزر: إلتحمت بعض الجزر بأحد جانبي المجرى لتصبح جزءاً من النسيج الرسوبى للدلتا بعد تعرض الفروع الثانوية للإطماء، ومن الأمثلة على ذلك فى فرع رشيد إلتحمت كل من الجزيرة الموجودة غرب زاوية رازين، وجزيرة إسراف، وجزيرة وردان بالنسيج الرسوبى للدلتا تماماً، وإلتحام الجزيرة الواقعة جنوب بلدة مؤنسة بالجانب الشمالى للمجرى.

فى فرع دمياط إلتحمت ثلاث عشرة جزيرة، سبع منها بالضفة الشرقية للمجرى، وتقع جميعها شمال قناطر زفتى بإستثناء جزيرة العنز، وإلتحمت ست جزر بالضفة الغربية للفرع وتقع جميعها جنوب قناطر زفتى فيما عدا جزيرة أويش الحجر. شكل (٢٩) (محمد مجدى تراب، ١٩٩٠، ص ١٥٤). و(صابر أمين دسوقي، ١٩٩٧، ص ٧٦).

- ظهور جزر جديدة: ظهرت فى فرع رشيد جزيرة صغيرة فى المجرى الرئيسى بين بلدة أبى نشابة وبلدة بنى سلامة، وجزيرة أخرى جنوب بلدة مؤنسة. فى فرع دمياط ظهرت إثنين عشرة جزيرة، أربع منها برزت فوق صفحة المياه، بينما هناك ثمانية جزر لازالت مغمورة تحت سطح المياه، ولا تظهر إلا أثناء السدة الشتوية.



المصدر: (محمد مجدى تراب، ١٩٩٠، ص ١٥٥)

شكل (٢٩)

مورفولوجية بعض الجزر التي إلتحمت بالسهل الفيضى الدلتاوى بعد بناء السد العالى
(أ) جزر واقعة عند أجزاء مستقيمة فى المجرى

وفى هذا الفرع تنتشر الجزر المغمورة فى مسافة يبلغ طولها ٢١ كم، ويحتل جزء من الفرع تتوسطه مدينة المنصورة، على حين تنتشر الجزر الحديثة التى ظهرت فوق صفحة المياه إلى الجنوب من قناطر زفتى بإستثناء جزيرة جراح الواقعة إلى الشمال منها بحوالى ١٢ كم. أما الجزر المغمورة فتتأثر عند الأجزاء المستقيمة من المجرى، كما يرتبط إنتشارها بالقطاع الضحل من فرع دمياط وذلك لسهولة تراكم الرواسب الفيضية وبروزها على القاع كما أوضحت الدراسة أن الجزر الحديثة تتشكل بصورة أكثر إقتواءً من الضفاف الغربية

للفرع، أما الجزر التي لازالت مغمورة تحت صفحة المياه تكاد تتوسط المجرى. (محمد مجدى تراب، ١٩٩٠ (٢)، ص ١٥٩-١٦٠).

رابعاً: الأخطار الجيومورفولوجية في دلتا النيل

تتعرض بعض أجزاء من دلتا النيل لبعض الأخطار الجيومورفولوجية والتي تتمثل في تآكل وتراجع قطاعات من الساحل الشمالى للدلتا، زيادة معدلات النحت في قطاعات محددة من جوانب مجرى فرع دمياط ورشيد، حدوث إطماء تدريجى لبعض قطاعات من مجرى الفرعين والتعديلات البشرية على مساحات من المسطحات المائية لمجرى الفرعين.

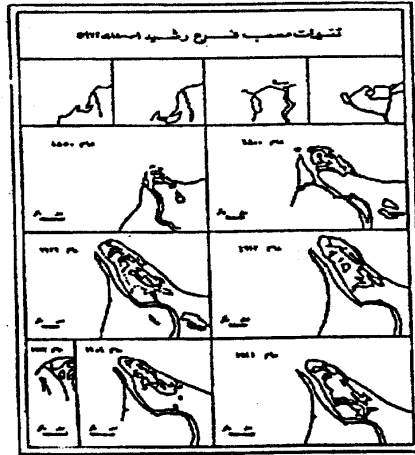
١- تآكل الساحل الشمالى للدلتا:

تتعرض بعض قطاعات من الساحل الشمالى للدلتا للتآكل والتراجع خاصة بعد بناء السد العالى، ومنع وصول الطمي للساحل مما أدخل بتوازنه الديناميكي بشكل واضح إنعكس على تراجع قطاعات منه بمعدلات سريعة، وتلاشى بلاجات الإصطيفاف في منطقة رأس البر، وعزبة البرج، وعرب مصب رشيد. وأهم هذه القطاعات مايلي:

- منطقة مصب فرع رشيد: أوضحت المقارنة بين مسح عام ١٩٢٢ و ١٩٧٥

حدوث تغيرات في أجزاء كل من الرصيف الداخلى والأوسط والخارجى، حيث سجل إختلاف بين المسحين لمناسيب الأعماق للرصيف الداخلى لمخروط رشيد بين ١٠-٣٦ متر. يتراوح بين ١٥,٧ كم تقريباً، ويرى كل من توما ورازين وستانلى أن معدل النحت بالرصيف الداخلى لمخروط رشيد يتراوح بين ٨-١٠ أمثال معدل الإرساب الذى ساد جميع أجزاء المخروط في بداية تشكيله (على مصطفى كامل، ١٩٩٨، ص ٣٩ نقلاً عن Toma, 1980). شكل (٣٠).

- منطقة البرلس: تميز رصيف منطقة البرلس بسيادة عمليات النحت في الفترة من ١٩٤٥م حتى وقتنا هذا في رصيفه الداخلى في النطاق المحصور بين الساحل ومنسوب ٢٠-٣٠ متر تقريباً، وعمليات الإرساب في رصيفه الأوسط والخارجى. شكل (٣١) (المرجع السابق، ص ٣٣٩) وفي منطقة بلطيم شرق فتحة البرلس



المصدر: على مصطفى كامل، ١٩٩٨، نقلاً عن كريك

شكل (٣٠)

بنحو ١٠ كم، تعرض الشاطئ للتآكل، وتراجع خط الشاطئ مما أدى إلى تدمير الشاليهات المتاخمة للبحر وإزالة البلاجات الرملية. ويرجع ذلك إلى تكرار حركة وسرعة التيارات البحرية الشرقية التي تقوم بالنحت في الجانب الشرقي لمخرج بحيرة البرلس. (Fanos, 1990, p.29).

- منطقة رأس البر: سجلت تراجعاً لخط الشاطئ بمعدلات سريعة خاصة بعد إنشاء سد فارسكور. حيث حدث تآكل في مصب فرع دمياط، وفقد المجرى حوالي ٨٠٠ متر من طوله بسبب الخلل الذي أصاب التوازن الهيدرولوجي لمنطقة العبد بعد بناء السد العالي. وبلغ معدل النحر البحري أقصاه خلال السنوات الأخيرة ليصل نحو ٤٠ متر/سنة بعد عام ١٩٧٣، بينما لم يتجاوز هذا المعدل أكثر من ٣١ متر/سنة خلال السنوات الأولى لبناء السد العالي. (محمد مجدى تراب، ١٩٩٠ (١) ص ١٧ نقلاً عن على مصطفى كامل، ١٩٨٨).



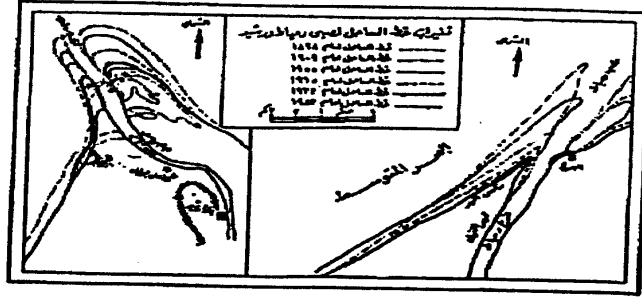
المصدر: على مصطفى كامل ١٩٩٨، نقلاً عن ستانلى ١٩٨٥ .
شكل (٣١)

١- حجز حمولة النهر من الرواسب أمام السد العالى، والتي كانت تعمل على تبطين قاع المصب، وبناء لسانين، وحمايته من عوامل النحت البحرى.
٢- إطماء معظم الحمولة العالقة بالجزء الأوسط من فرع دمياط ووقوف سد دمياط الركامى كمائق يمنع وصول المؤثرات النهرية لمنطقة المصب، وظهور سمات الخلجان البحرية بها، مما كان له أثراً فى سيادة مؤثرات النحر البحرى فى منطقة المصب (المرجع السابق، ص ١٧-١٨).

وعلى الرغم من إنشاء العديد من المشاريع الهندسية لحماية الشاطئ من التآكل فى منطقة ساحل رأس البر إلا أن دراسة حركة الأمواج والتيارات البحرية والرسوبيات الشاطئية أوضحت استمرار حدوث تآكل للساحل فى المنطقة إلى جانب ظهور أشكال جديدة من التآكل نتيجة تغير اتجاهات الأمواج والتيارات البحرية. شكل (٣٢).

ومن المتوقع فى المستقبل حدوث بعض المشاكل الطبيعية مثل حدوث المزيد من التآكل فى الساحل مما يهدد بالخطر المشاريع الإقتصادية مثل ميناء دمياط والبلاجات والمناطق السكنية بالمنطقة. (El Asmar, 1995, p.123).

- النطاق الساحلى الممتد فيما بين مدينتى دمياط وبورسعيد، وأهم مواضع التراجع به منطقة جبهة نتوء دمياط، وقد تراجعت نحو ١٣٠ متر خلال الفترة من



المصدر: على مصطفى كامل، ١٩٩٨.

شكل (٣٢)

١٨٥٧ و ١٨٤٢ بمعدل تراجع سنوى قدره ٢٠ متراً، وبلغ هذا المعدل خلال الفترة من (١٩٤٢-١٩٥٦) ٣٣ متراً. والقطاع الممتد إلى الجنوب الشرقى من لسان دمياط بامتداد ٢٠ كم تراجع خلال الفترة من ١٩٥٠ إلى ١٩٨٣ بمعدل سنوى قدره ٤٠ متراً.

- منطقة الدبية تتعرض للتراجع مما يهدد بتدمير البلدة المذكورة، وقطع الحاجز الرملى بين البحيرة والبحر وتدمير الطريق الساحلى الممتد فيما بين دمياط وبورسعيد، (محمد صبرى محسوب ومحمد إبراهيم أرياب، ٢٠٠٠، ص ١٦٦)
- رصيف جمصة: وتتمثل التغيرات فى إعادة تشكيله وزيادة إنحداره من ١: ٢٥٠ إلى ١: ٣٠٠.

كذلك أوضحت الدراسات وجود تغير فى موقع خط الساحل لمنطقة دلتا النيل بعد بناء السد العالى وحتى عام ١٩٩٣ م، وقد تم دراسة هذه التغيرات بتقسيم الفترة المذكورة إلى فترتين الأولى من عام ١٩٦٤ إلى ١٩٨٣، والثانية من عام ١٩٨٤ إلى ١٩٩٣ م وأوضحت الدراسة النتائج التالية:

- نطاق الساحل من المعدية حتى خفر سواحل عرب الحنفى، إنخفض معدل التراجع غرب مصب رشيد، حيث بلغ فى الفترة الأولى ٢٧٠ متر سنوياً، بينما

تراجع إلى ١٠ أمتار في الفترة الثانية نتيجة لتنفيذ طرق الحماية، أما شرق المصب فقد بلغ معدل التراجع في الفترة الأولى ٢٥ متر في السنة إنخفض إلى مترين في الفترة الثانية نتيجة تنفيذ طرق الحماية.

- نطاق الساحل من مصب رشيد إلى مصرف الغربية، بلغ معدل التراجع في الفترة الأولى من ١٠-١٥ متر كل عام، ثم شهد في الفترة الثانية ثباتاً في موقع حص الساحل نتيجة لتشييد الحوايط الخرسانية وتغذية الشواطئ في تلك المناطق.

- نطاق الساحل من ميناء دمياط الجديد حتى لسان رأس البر، بلغ معدل التراجع في إتجاه الجنوب خلال الفترة الأولى ٣,٥ متر كل عام، ثم شهد إنخفاض في الفترة الثانية حيث بلغ متراً كل عام.

- نطاق الساحل من دمياط حتى ٢٠ كيلومتر في إتجاه الجنوب الشرقي منه، بلغ معدل التراجع في الفترة الأولى ٣٠ متر سنوياً. إنخفض المعدل إلى ١٥ متر في السنة في الفترة الثانية (على مصطفى كامل، ١٩٩٨، ص ٣٣٩-٣٤٠).

٢- نحت جانبي مجري فرعي دمياط ورشيد :

تتعرض بعض القطاعات من جانبي مجري فرعي دمياط ورشيد لتزايد معدلات النحت، ففي فرع رشيد يزيد أطوال الأجزاء المعرضة للنحت على الجانب الغربي من الفرع عن مثيلتها في الجانب الشرقي، ويرجع ذلك إلى مورفولوجية المجرى من ناحية، وإلى الإنحدار الإقليمي العام لعرب الدلتا من ناحية أخرى، حيث يجري فرع رشيد على سطح ينحدر بشكل عام صوب الشمال والشمال الغربي. (صابر أمين دسوقي، ١٩٩٧، ص ٦٩).

وفي فرع دمياط تزيد الأجزاء المعرضة للنحت على الجانب الغربي من الفرع عن مثيلتها في الجانب الشرقي أيضاً، ويرجع ذلك إلى الإنحدار الإقليمي العام للدلتا. ويرجع زيادة معدلات النحت في بعض القطاعات إلى:

- تزيد معدلات النحت في الجوانب المقعرة من المنعطفات النهرية، ويتميز شكل كل من فرعي دمياط ورشيد بالتعرج Sinuosity، ويبلغ معدل التعرج لفرع

رشيد ١.٤ ، بينما يبلغ معدل التفرج لفرع دمياط ١.٣٥ . ويساعد على تفرج الفرعين طبيعة سطح الدلتا البطيء الإنحدار الذى يسمح بنمو وتطور المنعطفات النهرية بحرية تامة.

- إلتحام جزيرة نهرية بأحد جانبي المجرى ، حيث يتم إطفاء الفرع الثانوى للمجرى الذى كان يفصل بين الجزيرة والنسيج الرسوبى للدلتا ، ومع تحول المياه إلى المجرى الرئيسى ، وضيق المجرى بعد إلتحام الجزيرة تزيد سرعة المياه ، وبالتالي يزيد معدل النحت.

- إنشاء السدود الركامية والرؤوس الحجرية ، حيث يؤدي ذلك إلى نشاط فى حركة الدوامات والتيارات المائية فتزيد معدلات النحت. شكل (١٨) .

٢- الإطفاء التدريجى:

يتعرض فرع دمياط للإطفاء التدريجى فى قطاعات كثيرة منه ، ويرجع ذلك إلى أن منسوب فرع دمياط أعلى من منسوب فرع رشيد بحوالى مترين ، مما يؤدي إلى إختلال العلاقة بين كمية مياه هذا الفرع وكمية الحمولة (محمد صفى الدين ، ١٩٦٦ ، ص ٢٢٣) .

وفى الوقت الحالى تتعرض قطاعات متعددة من فرع دمياط ورشيد للإطفاء التدريجى بسبب بطء سرعة جريان المياه ، وثبات الإيراد المائى بعد بناء السد العالى ، ويساهم فى ذلك إنشاء السدود الركامية والرؤوس الحجرية.

الختام

إهتم هذا البحث بدراسة بعض التغيرات المورفولوجية التي حدثت في دلتا النيل منذ نشأتها وحتى الآن وتضمن البحث دراسة نشأة الدلتا، والعوامل المسؤولة عن حدوث بعض التغيرات المورفولوجية، وأهم التغيرات المورفولوجية، وأخيراً دراسة الأخطار الجيومورفولوجية التي تتعرض لها دلتا النيل في الوقت الحاضر، وقد توصلت هذه الدراسة للنتائج التالية:

- ١- تمثل حركة الرفع التي حدثت في شرق الدلتا أحد أسباب إندثار الأفرع الدلتاوية القديمة وخاصة الأفرع الشرقية، أما حركة الهبوط التي حدثت في القسم الشمالي من الدلتا فهي المسؤولة عن تكوين البحيرات الشمالية وتقصير أطوال الأفرع الدلتاوية القديمة.
- ٢- ترتب على حدوث تغير في منسوب سطح البحر المتوسط أثناء عصر البلايستوسين وفي العصور التاريخية، والتغيرات المناخية التي حدثت في عصر البلايستوسين في تكوين ظاهرات جيومورفولوجية بدلتا النيل مثل المدرجات النهرية والجزر الرملية والكثبان الساحلية.
- ٣- ترتب على تغير النظام الهيدرولوجي لفرع الدلتا بعد بناء السد العالي، تراكم الرواسب في قيعان وعلى جانبي مجرى فرع دمياط ورشيد، وإطماء الأفرع الثانوية، والتحام بعض الجزر النهرية بالنسيج الرسوبي للدلتا.
- ٤- أسهم كل من عامل تغير النظام الهيدرولوجي لفرع الدلتا مع حركة التيارات البحرية في ساحل البحر المتوسط في حدوث تآكل في قطاعات من الساحل الشمالي للدلتا.
- ٥- إنكمشت مساحة المسطح المائي لفرع دمياط ورشيد، ويزيد مقدار الإنكماش في الأجزاء التي يتشعب فيها المجرى، وبصفة عامة في القطاع الأوسط من مجرى الفرعين.

- ٦- حدثت زيادة فى طول مجرى فرعى دمياط ورشيد نتيجة لزيادة تعرج القناة النهرية.
- ٧- تحدث هجرة جانبية لمجرى فرعى دمياط ورشيد بسبب إلتحام بعض الجزر النهرية بالنسيج الرسوبى للدلتا.
- ٨- حدث تغير فى التوزيع الجغرافى وعدد الجزر النهرية، كما ظهرت جزر جديدة فى الفرعين.
- ٩- تمثل مشكلة تآكل بعض قطاعات من ساحل الدلتا الشمالى أخطر المشاكل الجيومورفولوجية التى تتعرض لها دلتا النيل فى الوقت الحاضر وعلى الرغم من إنشاء المشاريع الهندسية لحماية الشاطئ لايزال تآكل الساحل فى منطقة رأس البر مستمراً إلى جانب ظهور أشكال جديدة من التآكل نتيجة تغير اتجاهات الأمواج والتيارات البحرية.
- ١٠- تزيد الأجزاء المعرضة للنحت على الجانب الغربى من فرعى دمياط ورشيد أكثر من الجانب الشرقى.

التوصيات :

توصي هذه الدراسة بما يلي:

- ١- ضرورة الإهتمام بالدراسة الدقيقة والمتابعة المستمرة لمعدلات نحت الشواطئ فى المناطق التى تتعرض لزيادة معدلات النحت وخاصة فى مصبى فرعى دمياط ورشيد، مع متابعة النتائج المترتبة على إستخدام أساليب الحماية المختلفة فى قطاعات التآكل بالساحل لوضع الحلول المناسبة لذلك.
- ٢- من أفضل طرق علاج مشكلة تآكل السواحل هى طريقة ضخ وتغذية الشواطئ المعرضة للتآكل بالرمال، ويتم ذلك بإستخدام رمال الكثبان الساحلية.
- ٣- تطهير قطاعات مجرى الفرعين التى تتعرض للإطماء للمحافظة على مساحة المسطحات المائية للفرعين.
- ٤- بناء تكسيات حجرية لجوانب المجرى المعرضة للنحت.

٥- وقف تعديلات السكان على المناطق المعرضة للإطماء التدريجي من فرع دميض ورشيد. وذلك من خلال سن قوانين حازمة ووضع غرامات لمن يقوم بتحويل هذه المساحات إلى أراضى زراعية أو البناء عليها.

المراجع العربية :

- ١- أحمد محمد العدوى، (١٩٣٩):
«سواحل مصر»، مجلة كلية الآداب، جامعة القاهرة، الجزء الأول.
- ٢- جودة حسنين جودة، (١٩٦٦):
«العصر الجليدى» منشورات جامعة بيروت، بيروت.
- ٣- رشدى سعيد، (١٩٩٢):
«نهر النيل: نشأته واستخدام مياهه فى الماضى والمستقبل»، واشنطن، الولايات المتحدة.
- ٤- صابر أمين دسوقي، (١٩٩٧):
«بعض التغيرات المورفوجية الحديثة فى مجرى فرع رشيد» المجلة الجغرافية العربية، العدد التاسع والعشرون، الجزء الأول.
- ٥- طلعت أحمد محمد عبده، (١٩٨٠):
«الآثار الجغرافية للعصر المطير بالصحراء الشرقية»، رسالة دكتوراه غير منشورة، كلية الآداب، جامعة القاهرة.
- ٦- على عبد الوهاب شاهين، (١٩٧٧):
«مناقشة لبعض الظواهرات الجيومورفولوجية فى دلتا النيل»، مجلة الجمعية الجغرافية العربية.
- ٧- على مصطفى كامل، (١٩٩٨):
«التغيرات المورفولوجية المترتبة على الأخطار الطبيعية فى المناطق الساحلية بجمهورية مصر العربية». المؤتمر السنوى الثالث لإدارة الأزمات والكوارث، وحدة بحوث الأزمات، جامعة عين شمس.

٨- محمد صبرى محسوب، محمد إبراهيم أرباب، (٢٠٠٠):
«الأخطار والكوارث الطبيعية: الحدث والمواجهة معالجة جغرافية»، دار الفكر العربى،
القاهرة.

٩- محمد صفى الدين، (١٩٦٦):
«مورفولوجية الأراضى المصرية»، الطبعة الأولى، دار النهضة العربية، القاهرة.

١٠- محمد عوض محمد (١٩٥٢):
«نهر النيل»، القاهرة.

١١- محمد مجدى تراب، (١٩٩٠)(١):
«مورفولوجية مجرى فرع دمياط بعد بناء السد العالى (١) التباين الأفقى فى شكل
المجرى»، ندوة الجغرافيا والخرائط فى خدمة المجتمع، مارس (١٩٩٠).

١٢- _____، (١٩٩٠)(٢):
«مورفولوجية الجزر النهرية بفرع دمياط بعد بناء السد العالى»، المجلة الجغرافية العربية
العدد الثانى والعشرين.

المراجع الأجنبية:

13- Ball, J.I., (1939):

"Contributions to the geography of Egypt," Survey of Egypt, Cairo.

14- Butzer, K.W., (1961):

"The Pleistocene sequence in Egypt": An its implication for
Pluvial-Glacial correlation in the Sahara, "Quat. Jour. Geol. Soc. vol."

15- _____, (1965):

"Environment and archeology": An Introduction to Pleistocene
geography, "Methuen & Co. Limited, London.

16- El Asmar, H.M., (1995):

"Impact of protection structures on physical and sedimentary parameters along the Damietta Coastal area, Nile Delta Egypt," Journal of the Sedimentological Society of Egypt, V.3 January.

17- El Shazly & Others, (1975):

"Geological and ground water potential studies of El Ismalia master plan study area," The Remote Sensing Research Project Ace. of Sci. Resea. of Techn. Egypt.

18- Fanos, A.M., (1990):

"Long shore currents near Burallus inlet, Egypt: Analysis of ten years of observation," Water Science, Water Science Research, 7th Issue, April.

19- Lyons, H.G., (1966):

"The phisiography of the River Nile and its basin," Cairo.

20- Mabrook, B., (1979):

"The hydrology of ground water in the east of the Delta,:" Zagazig, Univ., Zagazig.

21- Said, R., (1962):

"The Geology of Egypt," Amesterdam & New York".

23- Yallouz, M., & Kentch, G., (1954):

"Linear structures in and around the Nile Basin, Bull, de la soci. de Geog, D'Egypt, Tome 27.

البحث الرابع

الأشكال الرملية شرق بحيرة البردويل دراسة جيومورفولوجية

مجلة كلية الآداب، جامعة الزقازيق يونيو ٢٠٠٢

الأشكال الرملية شرق بحيرة البردويل دراسة جيومورفولوجية

مقدمة:

تمثل الأشكال الرملية المظهر الجيومورفولوجي السائد في شمال شبه جزيرة سيناء، وهي تمثل أحد الأخطار الجيومورفولوجية التي تعوق مسيرة التنمية، وتشمل التوسع الزراعي، وما يرتبط بذلك من إقامة مجتمعات عمرانية جديدة، إلى جانب أخطارها على الطرق، والتي تمثل أهمية استراتيجية كبرى في مجال التنمية، ومن هنا كان من الضروري الإهتمام بإعداد دراسات جيومورفولوجية عن هذه الأشكال الرملية للحد من أخطارها.

موقع منطقة الدراسة:

تقع منطقة الدراسة شرق بحيرة البردويل بشمال سيناء، بين دائرتي عرض ٣١° ١٠' و ٣١° ١٠' شمالاً، وخطى طول ٢٣° ٢٣' و ٢٣° ٣٥' شرقاً يبلغ أقصى إمتداد لمنطقة الدراسة من الشرق إلى الغرب ١٩ كم، ومن الشمال إلى الجنوب ١٩,٢٥ كم، وتبلغ مساحتها نحو ٣٦٥ كم^٢.

أهداف الدراسة:

تهدف الدراسة إلى التعرف على الخصائص الجيومورفولوجية للأشكال الرملية شرق بحيرة البردويل، والعوامل والعمليات المسئولة عن تكوينها، وإتجاه ومعدلات حركتها، وأثر ذلك على مشروعات التنمية الإقتصادية في شمال سيناء، كما تهدف الدراسة أيضاً إلى إجراء تحليل مورفمترى للأشكال الرملية، وتحديد القيمة الإقتصادية للرواسب الرملية بالمنطقة موضوع الدراسة.

الدراسات السابقة:

تمثل دراسة الأشكال الرملية في مصر بصفة عامة أحد الدراسات التي بدأ الإهتمام بها في القرن الماضي، حيث إهتمت الدراسات في العقود الثلاثة الأخيرة بدراسة التوزيع

الجغرافى وأنماط وحركات الأشكال الرملية المختلفة، ويمكن تقسيم الدراسات السابقة عن الأشكال الرملية فى شبه جزيرة سيناء إلى:

١- دراسات عامة: وتشمل دراسات عامة عن بحر الرمال فى سيناء مثل دراسة فرج (Farag, 1950) وميساك وعطية ١٩٨١.

٢- دراسات جيولوجية: مثل دراسة سكيك وآخرون (Skick et al., 1974)، وميساك والشاذلى (Misak & Shazly, 1982)، الشاذلى وآخرون (El Shazly, et al., 1986)، وكامل (Kamel, 1989) وميساك ودراز (Misak & Draz, 1990).

٣- دراسات جيومورفولوجية: وبصفة عامة فإن الدراسات الجيومورفولوجية عن الأشكال الرملية فى شبه جزيرة سيناء قليلة، مثل دراسة تسور (Tsoar, 1974, 1982, 1983)، دراسة دسوقى (١٩٨٨، ١٩٩٢، ٢٠٠٠).

يتضح من العرض السابق أن دراسة الأشكال الرملية شرق بحيرة البردويل لم تكن هدفاً أصيلاً لأى من الدراسات السابقة، ومن هنا وقع الإختيار على دراستها.

طرق وأساليب الدراسة:

لتحقيق أهداف الدراسة الجيومورفولوجية للأشكال الرملية شرق بحيرة البردويل تم الإعتماد على:

١- تحليل الخرائط: مثل الخريطة الجيولوجية لسيناء لوحة رقم (٥) مقياس ١:٢٥٠٠٠٠، والخرائط الطبوغرافية مقياس ١:٥٠٠٠٠٠ ومقياس ١:٥٠٠٠٠ ولوحات الفوتوموزيك مقياس ١:٥٠٠٠٠٠ والمرئيات الفضائية مقياس ١:٥٠٠٠٠٠، للتعرف على التوزيع الجغرافى والمكانى للأشكال الرملية، وقياس أبعاد الكشبان الرملية، وكذلك التعرف على السمات العامة لطبوغرافية السطح والتى تتحكم فى تكوين الأشكال الرملية واتجاه ومعدل حركات الكشبان الرملية.

٢- الدراسة الميدانية: تم خلال الدراسة الميدانية مايلى:

أ- قياس ست قطاعات عرضية على سطوح الكثبان الرملية باستخدام جهاز إينى ليفيل وشريط قياس للتعرف على أشكال منحدرات الكثبان، وتحديد زوايا الإنحدار السائدة فى قطاعات الكثبان.

ب- تسجيل الملاحظات الميدانية الخاصة بأثر حركة الرياح على الكثبان الرملية، وخاصة الرياح المعاكسة، كما تم تسجيل أبعاد أشكال السطح الدقيقة.

ج- إلتقاط عدد من الصور الفوتوغرافية التى توضح السمات المورفولوجية للأشكال الرملية بمنطقة الدراسة.

٣- إستخدام الحاسب الآلى فى إجراء التحليلات الإحصائية والرسوم البيانية.

محتويات البحث :

سوف يضم البحث دراسة السمات الطبيعية لمنطقة الدراسة، والخصائص المورفولوجية للأشكال الرملية، حركة الكثبان الرملية، وعوامل تكوين الأشكال الرملية شرق بحيرة البردويل، والأهمية الاقتصادية للرمال شرق بحيرة البردويل.

السمات الطبيعية لمنطقة الدراسة

تتحكم السمات الطبيعية لمنطقة الدراسة فى تنوع الأشكال الرملية، وفى توزيعها الجغرافى، وأنماطها، واتجاهات حركتها، وتنقسم الدراسة فى هذا الجزء إلى :

أولاً: جيولوجية منطقة الدراسة:

تقع منطقة الدراسة داخل القسم الشمالى من سيناء، والمعروف بالسهول الشمالية، وتتكون المنطقة من سهل ساحلى منبسط ومنخفض وتبرز فوقه الكثبان الرملية بأشكالها وأحجامها المختلفة. (محسوب، ١٩٩٨، ص ٣٤٢).

يتضح من تحليل الخريطة الجيولوجية شكل (٣٣) أن التكوينات الجيولوجية بمنطقة الدراسة تنتمى إلى عصر الهولوسين Holocene ويمكن تقسيمها إلى :

١ - سحنات قارية Land Facies، وتشمل فرشاة وكثبان رملية بأشكال وأحجام مختلفة تتكون من رمال يتراوح حجمها بين ١٦/١ مم إلى ٢ مم، والرمال المكونة للكثبان

تشير دراسة البنية الجيولوجية في شمال سيناء إلى وجود نطاقات إلتواء Folding Belts «الأقواس السورية» مكونة إلتواءات غير منتظمة Asymmetrical Folds ذات محور شطلي شرقي-جنوبي غربي، وترتبط هذه الإلتواءات بصدعين محاورهما شمالي شرقي-جنوبي غربي، وشمالي غربي-جنوبي شرقي (Fikry, et al., 1997, p. 12-13).

ثانياً: السمات العامة للسطح:

١- التضرس النسبي:

من هواة الخرائط الطبوغرافية يتضح أن منطقة الدراسة جزء من إقليم ساحل البحر المتوسط، ويتميز ساحل البحر في المنطقة بوجود تقوس يتبع محور شمالي غربي-جنوبي شرقي.

يتراوح الإرتفاع في منطقة الدراسة ما بين واحد متر وواحد وخمسون متراً فوق منسوب سطح البحر، وبصفة عامة يزيد الإرتفاع كلما إتجهنا جنوباً ولدراسة السمات العامة للسطح في المنطقة تم إعداد خريطة التضرس النسبي، شكل (٣٤) من الخرائط الطبوغرافية مقياس ١: ٥٠٠٠٠٠، ومنها يتضح ما يلي:

أ- يشغل التضرس المحلي المنخفض ومقداره أقل من ١٠ م ٢٢,٤ ٪ من إجمالي مساحة المنطقة ويشغل الجزء الشمالي من منطقة الدراسة.

ب- يشغل التضرس المتوسط وتتراوح قيمته ما بين ١٠ م-٢٠ م ٢٢,٤ ٪ من إجمالي مساحة منطقة الدراسة ويوجد في الجزء الشمالي والغربي من منطقة الدراسة.

ج- يشغل التضرس فوق المتوسط وتتراوح قيمته ما بين ٢٠ م إلى ٣٠ م ٣٧,٣ ٪ من إجمالي مساحة المنطقة، ويوجد في الجزء الشرقي والأوسط من منطقة الدراسة.

د- يشغل التضرس الشديد +٣٠ م ١٧,٩ ٪ من إجمالي مساحة منطقة الدراسة ويوجد في الجزء الجنوبي من المنطقة.

٢- الانحدارات:

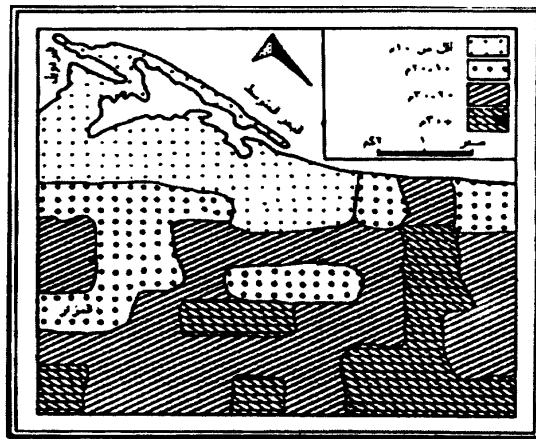
لدراسة إنحدارات السطح فى منطقة الدراسة تم إعداد الشكل رقم (٣٥)، ومنه تبين ما يلى:

- أ- تراوحت درجات الإنحدار فى منطقة الدراسة بين ٠,٣ درجة و٦ درجات وبصفة عامة توجد الإنحدارات اللطيفة فى شمال منطقة الدراسة، بينما تسود الإنحدارات ٣ في جنوب منطقة الدراسة.
- ب- تسود السطوح التى تقل درجات إنحدارها عن ١ شمال منطقة الدراسة وهى تشغل ٤٧,٨ ٪ من إجمالى مساحة المنطقة، وتمثل الأرضى التى تشغلها السبخات الساحلية والشواطئ الساحلية والغطاءات الرملية.
- ج- تسود السطوح التى تتراوح درجات إنحدارها بين ١-٢ والتى تشغل ٤٣,٣ ٪ من إجمالى مساحة المنطقة شرق وغرب منطقة الدراسة.
- د- توجد السطوح التى تتراوح درجات إنحدارها بين ٢-٣ وتشغل ٥,٩ ٪ من إجمالى مساحة المنطقة موضوع الدراسة فى أجزاء محدودة وسط منطقة الدراسة.
- هـ- توجد السطوح التى تزيد درجات إنحدارها عن ٣م وتشغل ٣ ٪ من إجمالى مساحة منطقة الدراسة فى الجنوب.

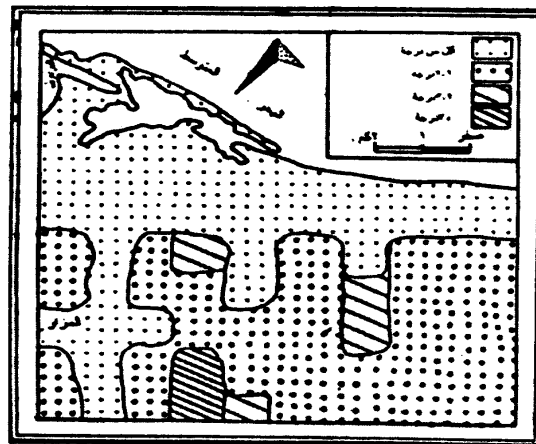
من العرض السابق يتضح أن إجمالى مساحة السطح الذى تقل فيه درجات الإنحدار عن ٢ يمثل ٩١,١ ٪ من إجمالى المساحة بالمنطقة، مما يدل على سيادة الإنحدارات اللطيفة، وهو عامل رئيسي فى تكوين الأشكال الرملية بالمنطقة.

ثالثاً: الأحوال المناخية:

وفقاً لموقع منطقة الدراسة سيتم دراسة الأحوال المناخية من خلال المعدلات المناخية لمحطة العريش خلال الفترة من ١٩٨٠-١٩٩٤.



المصدر: الخرائط الطبوغرافية ١:٥٠٠٠٠
شكل (٣٤) التضرس النسي في منطقة شرق البردويل



المصدر: الخرائط الطبوغرافية ١:٥٠٠٠٠
شكل (٣٥) درجات الانحدار في منطقة شرق البردويل

١- الحرارة :

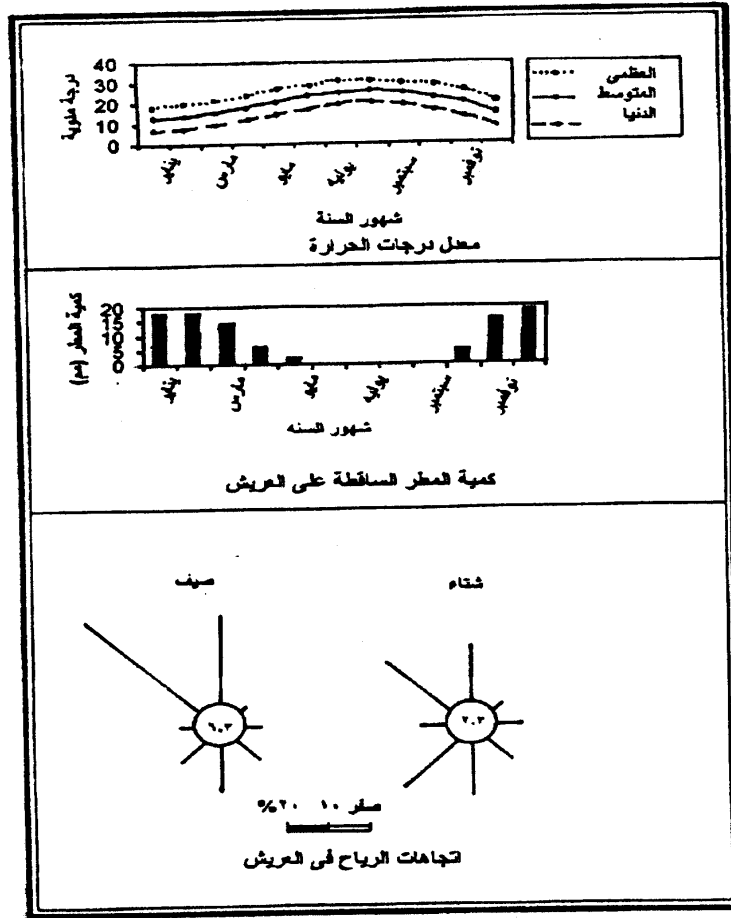
يوضح شكل (٤) معدلات درجات الحرارة في مدينة العريش، ومنه تبين أن المتوسط السنوي للحرارة في شهر يناير ١٢.٩م، وفي يولية ٢٥.٢م وأدنى درجة حرارة ٧.٣م، وأعلى درجة حرارة هي ٣٠.٦م، وبذلك يتضح أن درجات الحرارة مرتفعة معظم شهور العام مما يؤدي إلى سرعة تبخر مياه الأمطار أو الرطوبة الجوية التي تتكاثف على سطوح الكثبان الرملية أو تتسرب في الطبقة السطحية منها، ومعنى ذلك بقاء الرمال جافة مفككة مما يساعد على تحركها في حالة هبوب رياح متوسطة السرعة.

٢- الأمطار :

يوضح شكل (٢٦) توزيع الأمطار على شهور السنة في العريش خلال الفترة المذكورة ومنه يتضح أن أعلى كمية مطر هي ١٩مم سقطت في شهر ديسمبر، وأدنى كمية مطر هي ٢مم وسقطت في شهر مايو، وينعدم سقوط الأمطار تماماً في شهور الصيف خلال الفترة من يونية إلى سبتمبر، وهذا يضع منطقة الدراسة ضمن المناطق الجافة في العالم، كما تتميز المنطقة بسقوط الأمطار على شكل رخات قصيرة شديدة التركيز وسريعة، فقد سجلت أقصى كمية مطر سقطت في يوم واحد في مدينة العريش ٧٩مم في يوم ١٩٨٦/١١/٢٩، وسقطت نفس الكمية في اليوم التالي مباشرة.

ويتضح من العرض السابق تأثير الأمطار على الكثبان الرملية بمنطقة الدراسة ويكون على النحو التالي:

أ- ينتج عن سقوط الأمطار أو السيول تسرب مياهها في الطبقة السطحية للكثبان الرملية، وقد قدر دامس ومور (Dames & Moore, 1985) أن ٦٠٪ من متوسط المطر السنوي في سيناء يفقد بالتبخر، ٥٪ تجرى إلى البحر، ٣٥٪ تتسرب لتغذي خزان المياه الجوفية (Fikry, et al., 1997, p.3) ووفقاً للبيانات المذكورة عن متوسط الأمطار والسيول في منطقة الدراسة، فإن ما يتسرب من مياهها في الكثبان الرملية يتراوح ما بين ٦مم و٢٨مم تقريباً، وهذا يؤدي إلى تماسك حبيبات الرمال طول فترة بقاء المياه فيها، وبالتالي يقل معدل حركة



شكل (٣٦)

خصائص الحرارة والمطر والرياح في العريش

الرمال فى شهور الشتاء حيث أنه من المعروف أن الرياح تتحول من النحت إلى الإرساب فى حالة ارتفاع نسبة الرطوبة الأرضية، كما أن إرتفاع نسبة الرطوبة بين رمال الكثبان يعمل على تثبيت الكثبان فى مواقعها.

ب-يؤدى سقوط الأمطار على أسطح الكثبان الرملية وتسرب ٣٥٪ من مياه الأمطار بين حبيبات الرمال، وإرتفاع معدلات الرطوبة النسبية إلى ٧٠٪ على مدار العام وعلى طول الساحل إلى نمو بعض الأعشاب الصحراوية مما يؤدى إلى زيادة عرض الكثبان الرملية بسبب تراكم الرمال حولها، ويؤدى هذا إلى بقاء معدل حركة الكثبان الرملية بسبب تماسك حبيبات الرمال بواسطة جذور النباتات، إلى جانب تكوين النباك.

٣- الرياح :

سوف تعالج الرياح من جانبين هما:

أ- إتجاه الرياح :

يوضح شكل (٣٦) إتجاهات الرياح وترددتها فى محطة العريش، ومنه يلاحظ أن الرياح تهب من جميع الإتجاهات بنسب مختلفة، وتسود الرياح الشمالية الغربية فى فصل الصيف وتمثل ٣٧,١٪ من المجموع الكلى لإتجاهات الرياح، وتمثل ٢٠,٧٪ فى فصل الشتاء ويليهما من حيث الأهمية الرياح الشمالية وتمثل ٢١,٩٪ صيفاً، و١٧,٧٪ شتاء من المجموع الكلى لإتجاهات الرياح، ويلى ذلك من حيث الأهمية الرياح التى تهب من الجنوب الغربى فى فصل الشتاء، وتمثل ١٨,٦٪ من المجموع الكلى لإتجاهات الرياح، ثم الرياح التى تهب من الجنوب شتاءً وتمثل ١٦,٥٪ وفى فصل الصيف تهب رياح من الجنوب وتمثل ١٢,١٪ من المجموع الكلى لإتجاهات الرياح.

ويتضح من العرض السابق سيادة الرياح الشمالية الغربية والشمالية وهى أكثر الرياح ثباتاً وإستقراراً على مدار السنة، وهى التى يتحدد على أساسها إتجاهات الكثبان الرملية بمنطقة الدراسة، أما الرياح التى تهب من الجنوب الغربى والجنوب شتاءً وصيفاً فهى

المسئولة عن تعقيد شكل الكثبان الرملية كما سيتضح فيما بعد.

ب- سرعة الرياح:

يتضح من نسب تكرار هبوب الرياح فى فئات السرعة بالمعقدة فى الفترة من ١٩٨٠-١٩٩٤ فى العريش أن الرياح التى تقل سرعتها عن ١١ عقدة تمثل ٧١,٣٪ فى فصل الشتاء، و ٦٩,٣٪ فى فصل الصيف، وهى رياح عديمة الأهمية فى تكوين وحركة الكثبان الرملية، وتمثل الرياح المتوسطة السرعة والتى تتراوح سرعتها ما بين ١١ و ٢١ عقدة ٢٥,٢٪ فى فصل الشتاء، و ٣٥,٦٪ فى فصل الصيف، أما الرياح القوية التى تزيد سرعتها عن ٢٢ عقدة فهى تمثل ١,٥٪ فى فصل الشتاء، و ٠,١٪ فى فصل الصيف، وبذلك يمكن القول أن الرياح المؤثرة فى تكوين وحركة الكثبان الرملية بالمنطقة وهى ذات سرعات متوسطة وقوية تمثل ٢٦,٧٪ فى الشتاء، و ٣٥,٧٪ صيفاً، وهذه الرياح تقوم بدور هام فى حركة الكثبان الرملية خاصة فى فصل الصيف. كذلك لا تعد الرياح القوية التى تزيد سرعتها عن ٢٢ عقدة من الظواهرات الجوية الشائعة الحدوث فى منطقة الدراسة، فهى تمثل نسبة ضئيلة ١,٥٪ من المجموع الكلى لإتجاهات الرياح التى تهب على المنطقة فى الشتاء، و ٠,١٪ فى الصيف، وبذلك يقتصر دور هذه الرياح على حدوث تعديل طفيف فى شكل الكثبان الرملية بمنطقة الدراسة.

رابعاً: أشكال السطح:

يتضح من دراسة الخريطة المورفولوجية لمنطقة شرق البردويل شكل (٣٧) أن أشكال السطح بالمنطقة هى:

١- الكثبان الرملية:

وتغطى ٥٩,٣٩٪ من إجمالى مساحة منطقة الدراسة، وتنتشر فى القسم الأوسط والجنوبى من منطقة الدراسة وسيتم دراستها تفصيلاً.

٢- السبخات:

تشغل السبخات مساحة قدرها ١١٩ كم ٢ أى ما يقرب من ٢٤,٢٩٪ من إجمالى

المنخفضة المنسوب بين الكثبان الرملية فتتراوح مساحتها ما بين ٢ كم^٢ إلى ١٠ كم^٢ مثل سيخات أبو هديهد، المربعات، أبو سمارة. صورة (١١).



صورة (١١) سيخة أبو سمارة جنوب طريق العريش

وبصفة عامة تتميز السبخات شمال منطقة الدراسة بإرتفاع سطحها نحو الجنوب وتتراوح درجات إنحدار سطحها بين ٠,٢ و ٠,٦ درجة، وتتكون من رواسب طينية مختلطة برواسب رملية، ويميل لون السطح إلى اللون الأسود، ويغطي السطح بقشرة ملحية بيضاء اللون.

وترجع نشأة السبخات بمنطقة الدراسة إلى إنخفاض منسوب السطح في منطقة الساحل وبطء الإنحدار مما يؤدي إلى تغطية هذه المناطق بمياه المد، مع حدوث تسرب من مياه البحر وبحيرة البردويل وإرتفاع درجات الحرارة.

٣- الغطاءات الرملية:

تقع شمال منطقة الدراسة، وهي فرشاة من الرمال ذات لون أصفر وأبيض، كما توجد حواجز من الرمال السوداء Black Sands على طول خط الساحل يتراوح لونها بين الرمادي إلى الأسود.

الخصائص المورفولوجية للأشكال الرملية شرق بحيرة البردويل

تضم منطقة شرق بحيرة البردويل عدة أشكال رملية تشمل الكثبان الرملية والغطاءات الرملية، والنباك، وفيما يلي دراسة تفصيلية عن الخصائص المورفولوجية لهذه الأشكال.

أولاً: الكثبان الرملية :

يتضح من فحص الخرائط الطبوغرافية مقياس ١: ٥٠٠٠٠، ومقياس ١: ٥٠٠٠٠٠ ولوحات الفوتوموزيك الجوية مقياس ١: ٥٠٠٠٠٠، والمرئيات الفضائية مقياس ١: ٥٠٠٠٠٠، والخريطة المورفولوجية شكل (٣٧) أن الكثبان الرملية تغطي ٥٩,٣٩٪ من إجمالي مساحة منطقة الدراسة، وتنقسم الكثبان الرملية بمنطقة الدراسة وفقاً لتقسيم (Pye & Tsoar) إلى كثبان قديمة وكثبان حديثة.

١- التوزيع الجغرافي للكثبان الرملية:

تنقسم دراسة التوزيع الجغرافي للكثبان الرملية إلى توزيع مكاني للكثبان، وكثافة الكثبان:

أ- التوزيع المكاني للكثبان الرملية:

يتضح من شكل (٣٧) إنتشار الكثبان الطولية في الجزء الأوسط من منطقة الدراسة وجميعها تتبع محور شمالي غربي - جنوبي شرقي، يتراوح ارتفاعها ما بين ١٠ م إلى ٣٩ م، وتوحد الكثبان الطولية على هيئة حافات رملية طولية ومتصلة. ومن دراسة الخرائط الطبوغرافية يلاحظ أن إرتفاع هذه الكثبان يزداد كلما إتجهنا نحو الجنوب والجنوب الشرقي من منطقة الدراسة، فعلى سبيل المثال يبلغ إرتفاع الكثبان الطولية في القسم الغربي من منطقة الدراسة ١٢ م، وفي الجنوب الشرقي ٣٩ م.

توجد الكثبان الطولية المركبة بشكل عشوائي في منطقة الدراسة، وتتراوح ارتفاعاتها ما بين ١٠ م و ٣٨ م، أما الكثبان القديمة فهي تنتشر في القسم الجنوبي الشرقي من منطقة الدراسة وتتراوح ارتفاعاتها ما بين ١٠ و ٢٠ م.

ب- كثافة الكثبان الرملية شرق بحيرة البردويل:

تهدف دراسة كثافة الكثبان الرملية إلى تحديد سمات وطبيعة توزيعها في منطقة الدراسة، وبهذا يمكن تحديد العوامل المتحكمة في هذا التوزيع، وقد تم حساب كثافة الكثبان الحديثة الطولية والطولية المركبة وفقاً لدراسات إمبابي وعاشور (١٩٨٣)، وقد تبين أن الكثافة العامة للكثبان في المنطقة تصل إلى كثيب لكل كيلومتر مربع، وتتراوح الكثافة بين كثيب واحد/كم^٢ و ٥ كثيب/كم^٢، وبصفة عامة تزيد كثافة الكثبان الرملية جنوب منطقة الدراسة عن الجزء الأوسط فيها.

٢- السمات المورفولوجية للكثبان الرملية شرق بحيرة البردويل:

تنقسم الكثبان الرملية بمنطقة الدراسة إلى:

أ- الكثبان القديمة Ancient fixed dunes :

أوضح تحليل المراتبات الفضائية مقياس ١:٥٠٠٠٠٠ ولوحات الفوتوموزيك مقياس ١:٥٠٠٠٠٠ والخرائط الطبوغرافية مقياس ١:٥٠٠٠٠٠ وجود الكثبان القديمة جنوب شرق منطقة الدراسة، وتتخذ أشكال متعددة مثل البرخان، والكثبان العرضية شكل (٢٨)، وهي ذات سطح ممهد تنمو عليه النباتات، تتراوح ارتفاع الكثبان القديمة ما بين ١٠م و٢٠م، وتتخذ محاور هذه الكثبان اتجاهات متعددة مثل محور شرقي غربي، وشمالى شرقى جنوبى غربى، ويدل هذا على أن اتجاه الرياح التى كونت هذه الكثبان القديمة تختلف عن الاتجاهات الحالية للرياح. وتتكون الكثبان القديمة من رمال يتراوح حجمها بين المتوسط والخشن.

ب- الكثبان الحديثة Recent dunes :

وتنقسم فى منطقة الدراسة إلى كثبان طولية وطولية مركبة، وتظهر هذه الكثبان على سطح الكثبان القديمة.

- الكثبان الطولية :

تغطى الكثبان الطولية Longitudinel dunes مساحة قدرها ٨٥ كم^٢ أى ما يعادل ١٧,٣ ٪ من إجمالى مساحة منطقة الدراسة، وهى تشغل القسم الأوسط والجنوبى من المنطقة، وتمتد بمحور شمالى غربى - جنوبى شرقى، يبلغ عدد الكثبان الطولية بمنطقة الدراسة (١٤٠) كثيب.

وترجع نشأة هذا النوع من الكثبان فى منطقة الدراسة إلى تأثير الرياح التى تهب من اتجاهات متعددة يسود من بينها اتجاه سائد وهو الاتجاه الشمالى الغربى والشمالى، الذى يحدد المحور العام لاتجاه سلاسل الكثبان الطولية وتمثل الرياح التى تهب من الجهات الأخرى الجانبية تقاطع مع محور الكثبان بزوايا تتراوح بين الحادة والمنفرجة.

وتمتد الكثبان الطولية فى منطقة الدراسة على شكل سلاسل متوازية تفصل بينها ممرات ضيقة، وتتراوح المسافة التى تفصل بين السلسلة والتى تليها ما بين ٢٠٠م



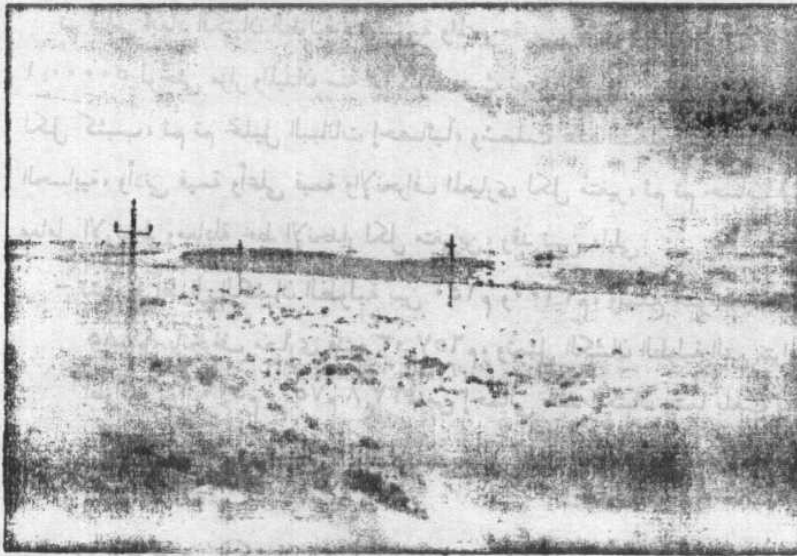
المصدر: لوحات الفوتوموزيك مقياس ١:٥٠٠٠٠ (لوحه الم
شكل (٣٥) الكتبان القديمة جنوب شرق منطقة الدراسة

و٥٠٠م، وتدل قيم المسافات المنخفضة على خاصية التفرع Branching، بينما تدل القيم المرتفعة على وجود حافات متوازية منتظمة، وبصفة عامة يزداد ارتفاع الكثيب مع زيادة المسافة. ويرى مايبوت أن حافات الكثبان قد تمتد إلى مئات الكيلومترات، وفي الأنماط المتفرعة Branching Patterns تتكون حافات الكثبان من أقسام يبلغ طولها بضعة كيلومترات.

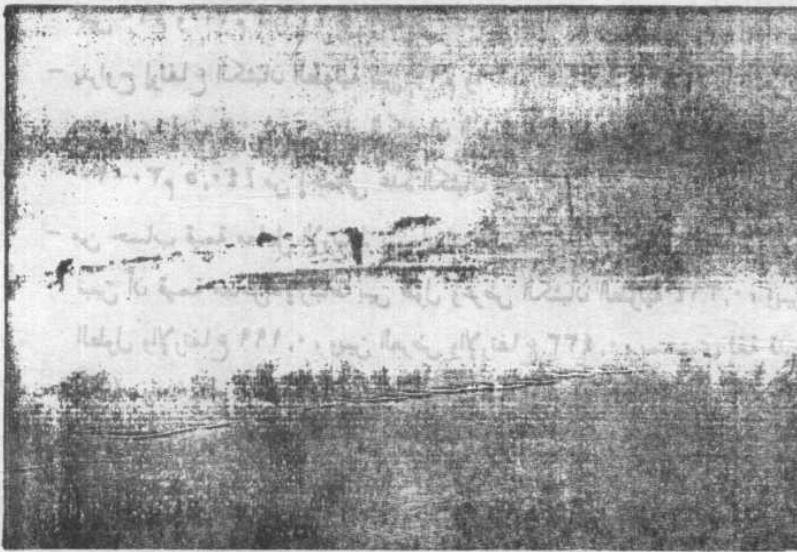
ويتضح من الدراسة الميدانية لمنطقة الدراسة أن قيم المسافات التي تفصل بين الكثبان الطولية وسط المنطقة ذات قيم مرتفعة تراوحت بين ٥٠٠ إلى ٧٠٠م، وقد ساعد ذلك على وجود حافات متوازية منتظمة للكثبان الطولية، أما في جنوبى منطقة الدراسة تنخفض قيم المسافات بين الكثبان الطولية وهي تتراوح ما بين ٢٠٠-٤٠٠م، وتتكون حافات الكثبان من أقسام، ويبلغ طولها بضعة كيلومترات.

كذلك أوضحت الدراسة الميدانية، وفحص لوحات الفوتوموزيك الجوية مقياس ١:٥٠٠٠٠ والخرائط الطبوغرافية مقياس ١:٥٠٠٠٠٠ أن الكثبان الطولية بمنطقة شرق البردويل تنقسم إلى كثبان طولية مستقيمة، وتوجد في غرب منطقة الدراسة، وتتميز بوجود قمم حادة وكثبان طولية معزجة، وتوجد في القسم الأوسط والشرقى والجنوبى من منطقة الدراسة صورة (١٢)، حيث تبين أن المحاور الطولية لهذا النمط من الكثبان تتغير في توجيهها عدة مرات، ولكنها تحتفظ بالشكل الطولى على طول الاتجاه معين يتفق مع الاتجاه السائد للرياح، كما تبين أن خط القمة يهبط ويرتفع على مسافات تكاد تكون منتظمة مكونة سلسلة من القمم. وتتميز القطاعات العرضية لهذا النمط من الكثبان بأنها ذات قمم حادة وجانبين غير متماثلين، ويحدث تبادل لواجهات الإنزلاق على امتداد المحاور الطولية لهذه الكثبان بسبب الرياح المحلية، وقد لوحظ أن ارتفاع وجه الإنزلاق يمثل ثلث الارتفاع الكلى للكثيب صورة (١٣)، ويتفق هذا مع ما توصل إليه (Pye & Tsoar, 1990, P.18)، و(دسوقي، ٢٠٠٠، ص ٢٥٣).

، قباوطلا ن لئلا ءلجا -



صورة (١٢) كتيبان طولية متعرجة شرق المزار جنوب طريق البرص ٧ كم



صورة (١٢) وجه إنزلاق يمثل ثلث الارتفاع الكلي لكتيب طولى شرق المزار ٨ كم

- أبعاد الكثبان الطولية :

تم قياس أبعاد الكثبان الطولية المستقيمة والمتعرجة من الخرائط الطبوغرافية بقياس ١: ٥٠٠٠٠ لوحى مزار والميدان سنة ١٩٩٥ ، حيث تم قياس الطول والعرض والارتفاع لكل كثيب ، ثم تم تحليل البيانات إحصائياً ، وشملت هذه التحليلات المتوسطات الحسابية ، وأدنى قيمة وأعلى قيمة والانحراف المعياري لكل متغير ، ثم تم حساب قيمة معامل الارتباط ومعادلة خط الانحدار لكل متغيرين ، وقد تبين مايلي :

- تتراوح أطوال الكثبان الطولية بين ١٥٠ م و ٢٦٠٠ م ، ويبلغ متوسط الطول ٨٨٥ م ، بانحراف معياري قدره ٦٥٧,٠٣ م ، وتمثل الكثبان الطولية التى تتراوح أطوالها بين ٥٠٠ م و ٧٥٠ م ٣٧,٨ ٪ من إجمالي عدد الكثبان بينما بلغت نسبة الكثبان الطولية التى تتراوح أطوالها بين ٢٢٥٠ م و ٢٥٠٠ م ٢,٨ ٪ من إجمالي عدد الكثبان .

- يتراوح عرض الكثبان الطولية بين ٤٠ م و ٢٠٠ م ، بمتوسط قدره ٩٣,٥ م ، بانحراف معياري قدره ٤٤,٢١ م ، وتمثل الكثبان الطولية التى يتراوح عرضها بين ٩٠ م و ١١٠ م ٣٢,٤ ٪ من إجمالي عدد الكثبان الطولية .

- يتراوح لارتفاع الكثبان الطولية بين ١٠ م و ٣٩ م ، بمتوسط قدره ٢٣ م وانحراف معياري قدره ٨,٠٥ م ، وتمثل الكثبان الطولية التى يتراوح لارتفاعها بين ٢٠ - ٣٠ م ٤٠,٥ ٪ من إجمالي عدد الكثبان الطولية .

- من حساب قيمة معامل الارتباط بين أبعاد الكثبان الطولية السابق الإشارة إليها ، تبين أن قيمة معامل الارتباط بين طول وعرض الكثبان الطولية ٠,٣١٤ ، وبين الطول والارتفاع ٠,١٩٩ ، وبين العرض والارتفاع ٠,٤٣٣ ، بمستوى ثقة قدره ٧٩٥ ٪ ، وهذا يدل على عدم وجود علاقة ارتباط بين أبعاد هذا النوع من الكثبان ، شكل (٣٩) مما يدل على أن أبعاد الكثبان الطولية تنمو بمعدلات مختلفة .

- العلاقة بين اتجاه محاور الكثبان الطولية واتجاهات الرياح السائدة .

لدراسة هذه العلاقة تم حساب محصلة الرياح فى محطة العريش لمعرفة الاتجاه السائد

للرياح، ثم تم قياس درجة انحراف الكشبان الطولية عن اتجاه الشمال من الخرائط الطبوغرافية مقياس ١:٥٠٠٠٠، وتبين ما يلي:

- إتضح من حساب محصلة الرياح لمحطة العريش أن الاتجاه السائد للرياح في فصل الشتاء هو غرب الشمال الغربي بزاوية قدرها ٢٨٥°، وفي فصل الصيف هو شمالي غربي بزاوية قدرها ٣٢٠°.

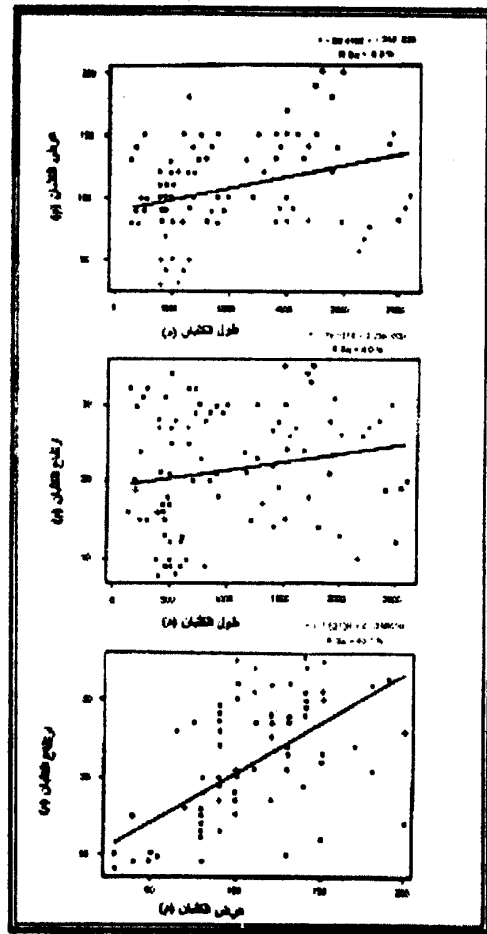
- اتضح من قياس درجة انحراف الكشبان الطولية عن اتجاه الشمال أن جميع اتجاهات محاور الكشبان الطولية بمنطقة الدراسة تنحصر بين ٢٧٠° و ٣٣٠°، أي أنها تقع جميعها في الاتجاه الغربي والشمالي الغربي وشمال الشمال الغربي.

- تبلغ نسبة ٦٢,٨٪ من جملة اتجاهات محاور الكشبان الطولية المحصورة بين ٢٩٠-٣٠٩ درجة، أي أنها تأخذ اتجاه غرب الشمال الغربي، وتليها نسبة ٢٠,٦٪ من جملة اتجاهات محاور الكشبان تنحصر بين ٢٧٠-٢٨٩ درجة وتأخذ اتجاه غرب الشمال الغربي، وتمثل محاور الكشبان المحصورة بين ٣١٠-٣٢٩ درجة نسبة ١٦,٦٪ من جملة اتجاهات محاور الكشبان الطولية وهي تتبع اتجاه الشمال الغربي.

- الكشبان الطولية المركبة :

توجد الكشبان الطولية المركبة في القسم الغربي والجنوبي من منطقة الدراسة، ويوجد عدد قليل منها في القسم الأوسط من المنطقة ويبلغ عددها (٢٠) كتيب، ويلاحظ من فحص الخرائط الطبوغرافية ولوحات الفوتوموزيك أن الكشبان الطولية المركبة تظهر على شكل حافتين أو أكثر متقاربتين ومتداخلتين، وبمقارنتها بالكشبان الطولية إتضح أنها أكثر طولاً وعرضاً وارتفاعاً، وينتظم هذا النوع من الكشبان في نمط متوازي تقريباً ويتبع نفس محور اتجاه الكشبان الطولية السابق الإشارة إليه، شكل (٢٧).

وفي داخل هذا النمط المتوازي العام تتشعب الكشبان الطولية المركبة أو تتحد وفقاً لطبوغرافية السطح، مكونة النمط المعروف بـ Y.Junctions، وفي منطقة شرق البردويل تم تسجيل نمطين لهذا الإتصال هما:



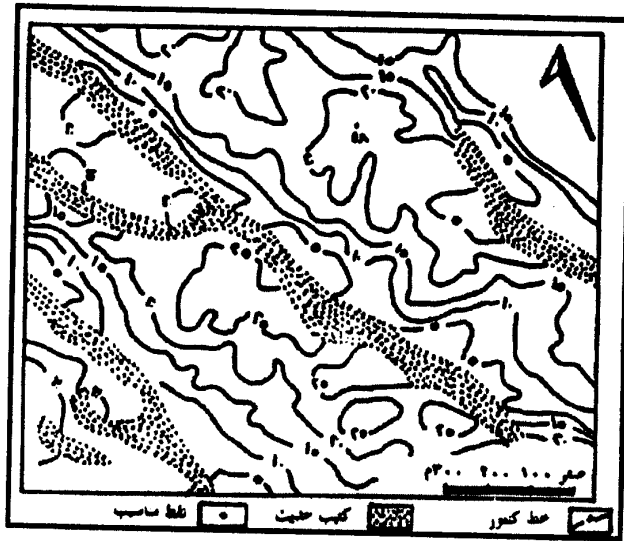
شكل (٣٩)
العلاقات الإحصائية بين أبعاد الكتبان الطولية

- نمط الإتصال العادى المفتوح فى إتجاه مقتبل الرياح، ويوجد بالقسم الغربى والأوسط والجنوبى من منطقة الدراسة، وهو النمط الأكثر شيوعاً، ويرجع تكوين هذا النمط إلى طبيعة إنحدار السطح فى إتجاه منصرف الرياح مما أدى إلى إتخاذ الكثبان مع بعضها البعض وتكوين فتحة فى إتجاه مقتبل الرياح، شكل (٤٠).
- نمط الإتصال المعكوس والمفتوح فى إتجاه منصرف الرياح، ويوجد فى وسط منطقة الدراسة وفى القسمين الجنوبى والجنوبى الغربى منها، ويرجع تكوين هذا النمط إلى إرتفاع السطح وتوزيع الكثبان الرملية القديمة، مما يؤدى إلى تشعب الرياح، وبالتالي يتفرع كثيب ثانوى من جسم الكثيب الرئيسى وتكون الفتحة فى إتجاه منصرف الرياح، صورة (١٤)، شكل (٤١).



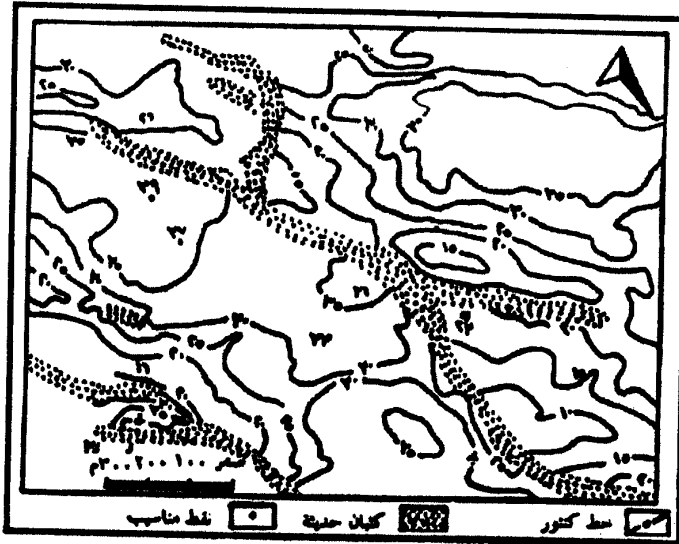
صورة (١٤) كثيب مركب مفتوح فى إتجاه منصرف الرياح

شمال شرق المزار على بعد ٦ كم



المصدر: الخرائط الطبوغرافية مقياس ١:٥٠٠٠

شكل (٤٠) كتيب طولى مركب مفتوح فى إتجاه مقتبل الرياح



المصدر: الخرائط الطبوغرافية مقياس ١:٥٠٠٠

شكل (٤١) كتيب طولى مركب مفتوح فى إتجاه مقتبل ومنصرف الرياح

- أبعاد الكثبان الطولية المركبة :

تم قياس أبعاد الكثبان الطولية المركبة من الخرائط الطبوغرافية مقياس ١:٥٠٠٠٠٠ وتم معالجتها إحصائياً، وقد إلتضح ما يلي:

- يتراوح طول الكثبان الطولية المركبة ما بين ٣٥٠ م و ٣٠٠٠ م بمتوسط طول قدره ١٤٣٠ م وإنحراف معياري قدره ٧٨٩, ١٥ م، وتبلغ نسبة الكثبان الطولية المركبة التي تتراوح أطوالها بين ٦٠٠ م إلى ٩٠٠ م ٢٦٪ من إجمالي عدد الكثبان، وأقل نسبة ٩٪ وتمثلها الكثبان التي يتراوح طولها بين ٢٧٠٠ م و ٣٠٠٠ م.

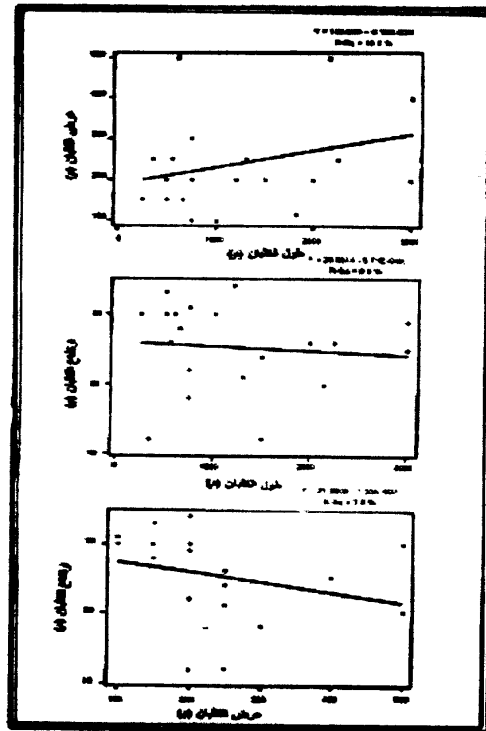
- يتراوح عرض الكثبان الطولية المركبة ما بين ١٠٠ م و ٥٠٠ م، ويبلغ متوسط عرض هذا النوع من الكثبان ٢٨٠ م بإنحراف معياري قدره ١٢٠, ٦٢ م، وتمثل الكثبان التي يتراوح عرضها بين ٢٠٠ م - ٢٥٠ م ٣٠٪ من إجمالي عدد الكثبان، وأقل نسبة ٤٪ للكثبان التي يتراوح عرضها بين ٣٥٠ - ٤٠٠ م.

- يتراوح ارتفاع الكثبان الطولية المركبة ما بين ١٠ م و ٣٨ م، بمتوسط قدره ٢٤, ٥ م، وإنحراف معياري قدره ٧, ٢٩ م، وتمثل الكثبان التي يتراوح إرتفاعها بين ٢٠ - ٣٥ م ٣٥٪ من إجمالي عدد الكثبان وأقل نسبة ٤٪ للكثبان التي يتراوح ارتفاعها بين ١٠ - ١٥ م.

- تبين من دراسة قيمة معامل الارتباط بين أبعاد الكثبان الطولية المركبة أن قيمة معامل الارتباط بين طول وعرض الكثبان المركبة ٠, ٣١٧ وبين الطول والإرتفاع ٠, ١٧٣، وبين العرض والإرتفاع ٠, ٢٣٣، بمعامل ثقة قدره ٩٥٪ شكل (٤٢). وهذا يشير إلى عدم وجود علاقة ارتباط بين أبعاد الكثبان الطولية المركبة مما يدل على عدم نمو هذه الكثبان بمعدل ثابت.

٣- السمات المورفومترية لسفوح الكثبان الرملية شرق بحيرة البردويل:

تهدف هذه الدراسة إلى التعرف على السمات المورفومترية لسفوح الكثبان الرملية شرق بحيرة البردويل، وتنقسم هذه الدراسة إلى:

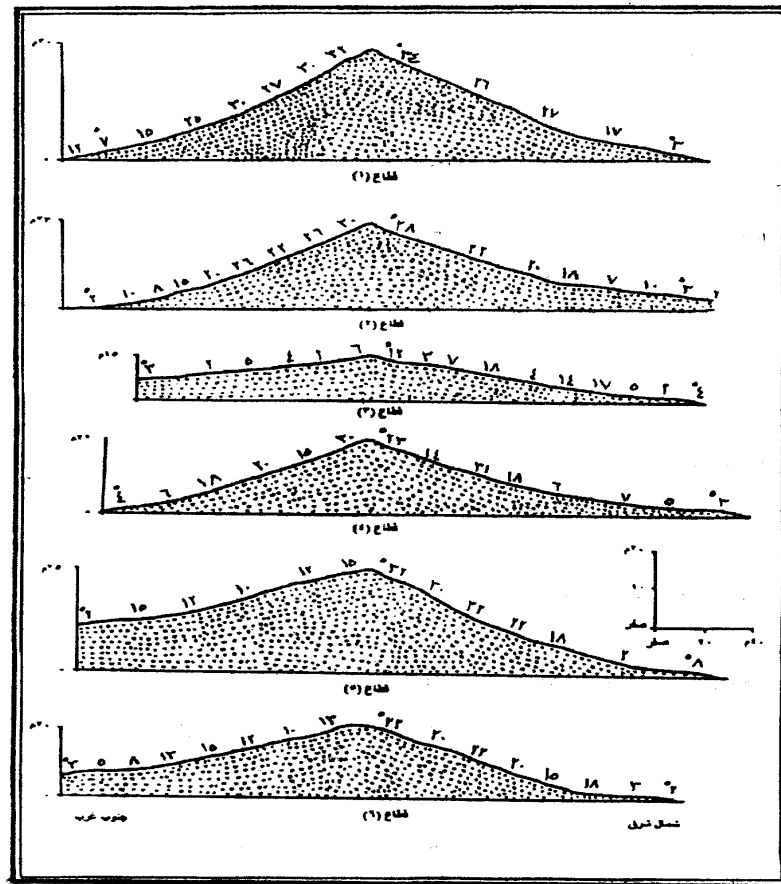


شكل (٤٤)
العلاقات الإحصائية بين أبعاد الكتان الطولية المركبة

أ- زوايا الانحدار :

أوضحت الدراسة الميدانية أن زوايا الانحدار على سفوح الكثبان الرملية بمنطقة الدراسة تتراوح بين درجة واحدة و ٣٤ درجة. شكل (٤٣)، ويوضح شكل (٤٤) ما يلي:

- تمثل مجموعة الانحدارات الخفيفة التي تتراوح بين (صفر-٩ درجة) ٣٠,٤٪ من إجمالي المسافات الأرضية، وتشكل مجموعة الانحدارات المتوسطة التي تتراوح بين (١٠-٢٤) درجة ٤٨,٣٪ من جملة المسافات الأرضية، وتشكل الانحدارات الشديدة (٣٥-٣٩ درجة) ٢١,٣٪ من جملة المسافات الأرضية.
 - يتضح من الشكل (٤٤) أن الزاوية المميزة لجميع القطاعات هي ٨ درجة وهي تمثل ١٠,٤٪ من إجمالي المسافات الأرضية.
 - تعتبر الزاوية ٨ درجة هي الزاوية المميزة لمجموعة الانحدارات الخفيفة وتمثل ١٠,٤٪ من إجمالي المسافات الأرضية، والزاوية ١٥ درجة هي الزاوية المميزة لمجموعة الانحدارات المتوسطة وتمثل ٩,٤٪ من إجمالي المسافات الأرضية، والزاوية ٣٠ درجة هي الزاوية المميزة لمجموعة الانحدارات الشديدة وتمثل ٧,٣٪ من إجمالي المسافات الأرضية.
 - تعتبر الزاوية ٣ درجة هي الزاوية الحدية الدنيا لمجموعة الانحدارات الخفيفة والزاوية ٧ درجة هي الزاوية الحدية العليا لها، بينما تعد الزاوية ١٤ درجة هي الزاوية الحدية الدنيا لمجموعة الانحدارات المتوسطة، والزاوية ١٢ درجة هي الحدية العليا لها، وتمثل الزاوية ٢٨ درجة الزاوية الحدية الدنيا لمجموعة الانحدارات الشديدة، والزاوية ٣٣ درجة هي الحدية العليا لها.
- تبين من دراسة العلاقة بين زوايا الانحدار، ونسبة ما تشغله من مسافات أرضية عدم وجود علاقة ارتباط فيما بينهما حيث كانت قيمة معامل الارتباط ٠,١٩٩.



المصدر: قياس ميداني

شكل (٤٣) القطاعات العرضية للكتبان الرملية شرق البردويل

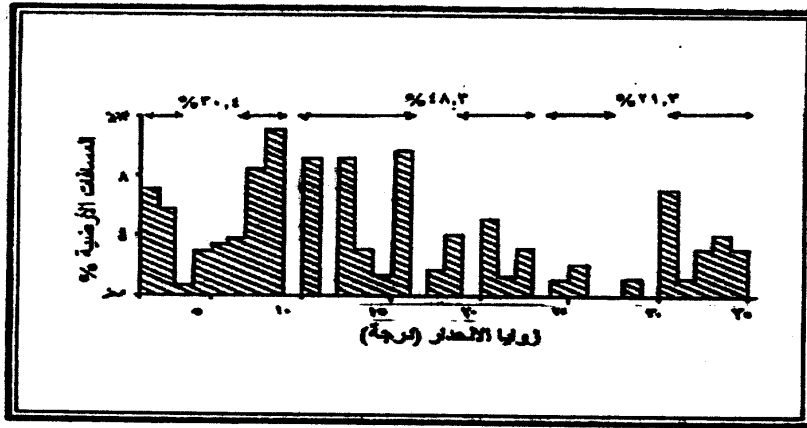
يتضح من العرض السابق أن القطاعات العرضية التي تم قياسها توضح أنها ذات إنحدارات خفيفة ومتوسطة غير منتظمة. شكل (٤٤) مع وجود تباين واضح بين القطاعات، حيث تظهر عدد من القمم في بعض الكثبان، ولبعض القمم وجه إنزلاق واضح كما سبق الإشارة، ويرجع ذلك إلى تغير تأثير الرياح الثانوية من حافة إلى أخرى ومن جزء لآخر على طول سفح الكثيب.

ب- تقوس سطوح الكثبان:

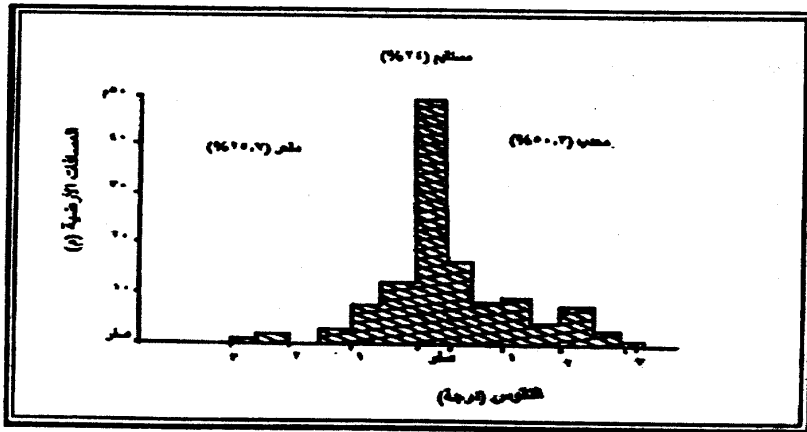
تهدف دراسة تقوس سطوح الكثبان الرملية شرق بحيرة البردويل إلى التعرف على أشكال سطوح الكثبان الرملية وسماتها بطريقة كمية، وقد تم حساب قيم التقوس وفقاً لطريقة عبد الرحمن وآخرون (Abdel Rahman, et al., 1980).

ويتضح من الشكل (٤٥) أن قيم التقوس على سطوح الكثبان تنقسم إلى ثلاث مجموعات هي:

- المجموعة الأولى وتشير إلى الأجزاء المستقيمة التي لا يتغير فيها الإنحدار، وهي تضم ٢٤٪ وتظهر عادة في الجزئين الأعلى والأوسط من سطح الكثيب.
- المجموعة الثانية وتشير إلى تحذب السطح، وتتراوح بين أقل من ٠,٥ درجة إلى ٣+ درجة وتشغل ٥٠,٣٪ وهي ذات قيم تقوس منخفضة، وتظهر الأجزاء المحدبة دائماً على الأجزاء العليا من سطح الكثيب.
- المجموعة الثالثة وتشير إلى تقعر أجزاء من سطح الكثيب، وتتراوح بين أقل من ٠,٥ درجة إلى ٢,٥ درجة، وتشغل ٢٥,٧٪ وتوجد في الأجزاء الدنيا من سطح الكثيب، ومع وجود أجزاء مقعرة على القسم العلوى من سطوح بعض الكثبان، بسبب هبوب رياح معاكسة لإتجاه الرياح السائدة.
- نظراً لأن النسبة العظمى من الدرجات المقعرة والمحدبة تقل عن درجتين، فإن هذا يشير إلى أن التغير في الإنحدار على سطوح الكثبان تدريجى.



شكل (٤٤) توزيع زوايا الإنحدار على سطح الكثبان الرملية شرق البردويل



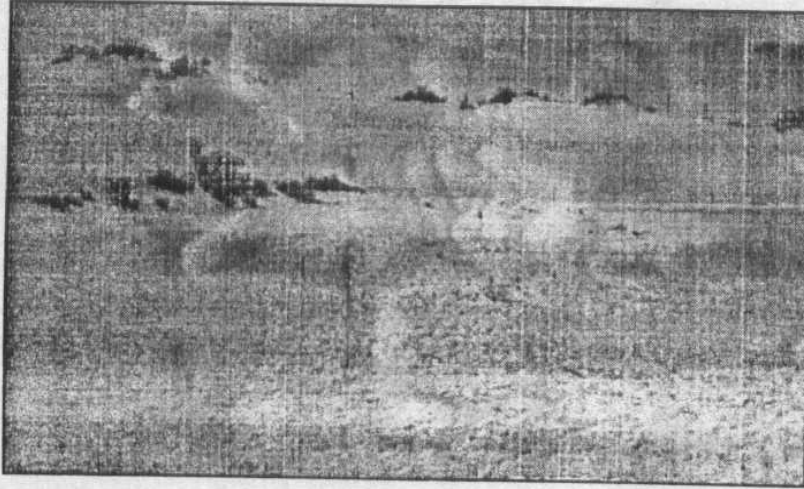
شكل (٤٥) قيم تقوس سطح الكثبان الرملية شرق البردويل

ثانياً: الغطاءات الرملية Sand Sheets:

تنتشر شمال منطقة الدراسة وتشغل ١٦,٣٢٪ من إجمالي مساحة المنطقة، ويحيط بها من الجنوب حقل الكثبان الرملية، وتبدأ من ارتفاع ١٠ م فوق مستوى سطح البحر، ويقل ارتفاعها كلما إتجهنا صوب الشمال حيث تمتد السبخات الساحلية، شكل (٣٧)، وتوجد الغطاءات الرملية على هيئة فرشاة من الرمال وتتميز بإستواء سطحها إلى حد كبير، ولا يظهر على سطحها سوى علامات تموج مؤقتة مرتبطة بسرعة الرياح، وتتكون الغطاءات الرملية من رمال تتراوح أحجامها ما بين ٠,٠٦٣ مم إلى ٢ مم، وتنمو الأشجار في مساحات محدودة مبعثرة في المناطق المنخفضة المنسوب، كما تنمو بعض النباتات الصحراوية على سطح الغطاءات الرملية عقب سقوط الأمطار.

ثالثاً: النباك Nebka:

هي تجمعات من الرمال المتراكمة حول الحشائش، والنباتات الصحراوية، وتعد النباك أحد الأشكال الرملية الواضحة على سطح السبخات، وعلى سطح وقاعدة بعض الكثبان الرملية بمنطقة الدراسة صورة (١٥) وتتكون النباك من رمال تتراوح أحجامها ما بين الرمال الناعمة ١٢٥,٠ مم إلى رمال خشنة ٢ مم.



صورة (١٥) نباك على سطح وقاعدة كثيب رملي شرق المزار ١٠ كم

أوضحت الدراسة الميدانية تباين أحجام النباك، حيث تراوح الطول والعرض بين متر وستة أمتار، بينما تراوح الارتفاع بين عدة سنتيمترات ومتر واحد، ويختلف شكل النباك ما بين الشكل الطولي والشكل الهرمي، وتتخذ سفوح جوانب النباك الشكل المحدب- المقعر بصفة عامة، وتتراوح زوايا الانحدار ما بين ٢٠-٣٠ درجة في الجانب المواجه للرياح، أما في الجانب المظاهر للرياح تراوحت زوايا الانحدار ما بين ٢-١٥ درجة.

كذلك أوضحت الدراسة الميدانية أن النباك التي تظهر على سطح بعض الكثبان الرملية شمال منطقة الدراسة تمر بمرحلة النضوج، حيث تبين أن النباك تأخذ الشكل النموذجي حيث تكون الجوانب المواجهة للرياح قصيرة، تتراوح أطوالها ما بين ٣-٣ متر، شديد الانحدار، وتتراوح زوايا الانحدار ما بين ٢٠-٣٠ متر، أما الجانب المظاهر للرياح فهو أقل طولاً وإنحداراً، فقد تتراوح أطوالها ما بين مترين إلى ستة أمتار، وتتراوح زوايا الانحدار ما بين ٢-١٥ درجة.

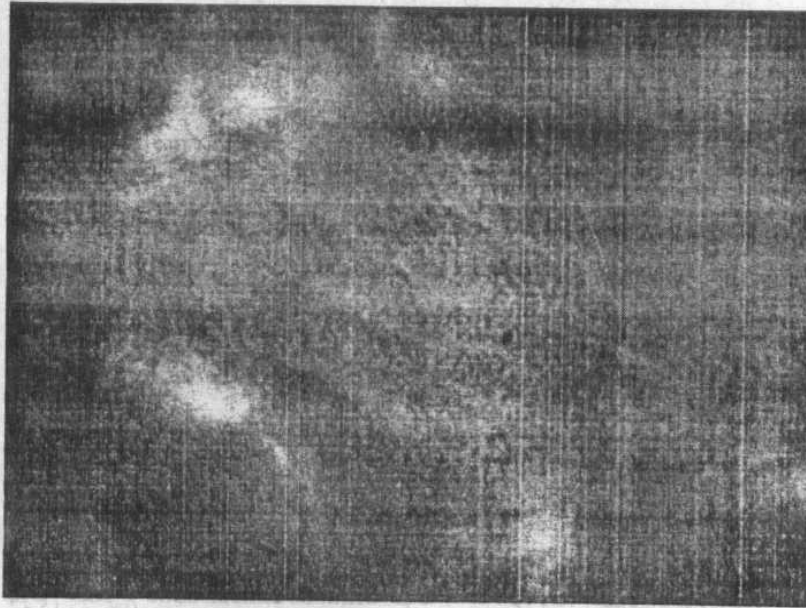
كذلك توجد بعض النباك على سطح السبخات شمال منطقة الدراسة، وتتراوح الطول والعرض بين متر و٦ متر، وتتراوح الارتفاع بين ٥٠ سم، ٩٥ سم، وتتخذ سفوحها الشكل المحدب المقعر.

ويرجع تكوين النباك في منطقة الدراسة إلى وجود النباتات الصحراوية على سطح السبخات وبعض الكثبان الرملية، وسيادة الانحدارات اللطيفة على السطح.

رابعاً: التموجات الرملية Sand Ripples:

هي إحدى الملامح المميزة التي تظهر على سطح فرشاة الرمال والكثبان الرملية مع هبوب الرياح، وهي تشبه تموجات المسطحات المائية. وتشير الدراسات السابقة مثل دراسة باجنولد (Bagnold, 1944, p.144) ومابوت (Mabutt, 1977, p.227) إلى وجود علاقة بين سرعة الرياح وظهور التموجات الرملية، ويتوقف طول الموجة على حجم حبيبات الرمال.

أوضحت الدراسة الميدانية لمنطقة شرق بحيرة البردويل ظهور التموجات الرملية على سطح الكثبان الرملية، وتتميز هذه التموجات بوجود جانب مواجه للرياح Wind Ward Slope تراوحت زوايا إنحداره ما بين ١٠-١٢ درجة، وجانب مظاهر للرياح Lee Ward Slope تراوحت زوايا إنحداره ما بين ٣٠-٣٣ درجة، وتتكون قمم هذه التموجات من رمال خشنة تراوح حجمها ما بين ١-٢ مم مستقرة على رمال ناعمة طباقية صورة (١٦)، ومع حركة الحبيبات الخشنة إلى أعلى ومع وصولها إلى القمة نتيجة لقفز الرمال تتقدم الموجة في اتجاه الرياح بمعدل ملليمترات قليلة في الدقيقة.



صورة (١٦) تموجات رملية على سطح كثيب رملي تتكون قمم التموجات من رمال خشنة مستقرة على رمال ناعمة

كذلك تم فى الدراسة الميدانية قياس أبعاد عينة تتكون من (١٠) تموجات رملية حيث تم قياس طول وارتفاع كل موجة وتبين أن طول التموجات الرملية تراوح بين ١٥ سم و ٦٠ سم، وبلغ متوسط الطول ٣٤,٦ سم بإنحراف معيارى قدره ١٦,٢٢ سم، وتراوح ارتفاع التموجات الرملية بين ٢ سم و ٥,٤ سم، وبلغ متوسط الارتفاع ٣,٤ سم بإنحراف معيارى قدره ١,١٥ سم، وتراوح نسبة نضوج التموجات الرملية Maturity Ratio ما بين ٥ سم و ١٥ سم بمتوسط قدره ٩,٤٣ سم، وبلغت نسبة النضوج العام للتموجات الرملية شرق بحيرة البردويل ٩,٧٢ سم، كذلك تبين من حساب قيمة معامل الارتباط بين طول وارتفاع التموجات الرملية وجود علاقة ارتباط موجبة قوية فيما بينها حيث كانت قيمة معامل الارتباط ٠,٨٧٣، بمعامل ثقة قدره ٩٥٪.

حركة الكثبان الرملية شرق بحيرة البردويل

تتحرك رمال الكثبان مع هبوب الرياح، ويتحكم فى حركة الرمال ومعدلات تقدمها عدد من العوامل أهمها سرعة الرياح، متوسط نصف قطر الحبيبة، درجة خشونة السطح، كمية ونوع الغطاء النباتى، كمية الرطوبة فى الرمال. (Fryberger, 1976. p.146).

ولقد أوضحت الدراسات السابقة عن حركة الكثبان الطولية من خلال القياسات والملاحظات الحقلية أن الكثبان الطولية تتحرك قممها فى اتجاه حركة الرياح، ولقد لاحظ باجنولد (Bagnold, 1941) أن معدل تقدم سلاسل الكثبان السيفية يختلف من سلسلة إلى أخرى، وهو يرى عدم وجود علاقة بين معدل تقدم الكثيب وحجمه.

وفى بحر الرمال شمال سيناء، قام تسور (Tsoar, 1983) بقياس حركة كثيب طولى متعرج Sinuous Linear dune طوله ١٥٠٠ م، وقد إستمر القياس لمدة ٣٢ شهراً، تحرك الكثيب خلالها ٣٩ م، بمتوسط شهرى قدره ٣١,٢٢، ومتوسط سنوى ١٦,٦٤ م، وقد لاحظ (Tsoar) أن حركة الكثيب خلال الصيف تصل إلى ١,٣١ م/شهر، وفى الشتاء، ١,١٢ م/شهر، ولقد لاحظ أيضاً أن القمم والسروج تتحرك ببطء فى اتجاه الرياح على طول المحاور الطولية بمتوسط سنوى قدره ٨,٤ م.

وقد توصل إلى أنه قد تظهر قمم وسروج جديدة مع حركة الكثيب الطولى بالقرب من قمة الكثيب (Embabi, 2000, pp. 69-70).

كذلك أوضحت دراسة (Fikry, et al., 1997, p.1) أن معدل تحرك الرمال فى منطقة شمال سيناء قدر بنحو ٨م/السنة فى إتجاه ج ٨٥ق، وتمثل منطقة الدراسة جزء من القطاعين الأكثر تعرضاً لزحف الرمال من الطريق الدولى وهما قرية الخربة والنجاح، والقطاع الممتد من قرية التلول إلى الكيلو (٢٠) غرب مدينة العريش ويشمل منطقة الدراسة.

ولقد أوضحت الدراسة الميدانية أن الكثبان الطولية والطولية المركبة بمنطقة الدراسة نشطة Active، وتتحرك مع هبوب رياح متوسطة السرعة، حيث يتم تدرية الجانب اللطيف الانحدار من الكثيب، والإرساب على الجانب الآخر، وعادة ما تبدأ التدرية عند أقدام الجانب اللطيف للانحدار، ولقد أمكن من خلال الدراسة الميدانية قياس سمك رمال التدرية وذلك من خلال قياس طول الجزء المكشوف من جذور النباتات وتبين أنه يتراوح ما بين ٥سم ومتر ونصف.

وتجدر الإشارة إلى أن معدل تحرك الرمال يختلف على مدار العام وفقاً لسرعة الرياح، فكما سبقت الإشارة إلى أن الرياح المؤثرة فى تكوين وحركة الكثبان بالمنطقة، وهى الرياح ذات السرعات المتوسطة والتي تتراوح سرعتها بين ١١ و ٢١ عقدة، والرياح القوية التى تزيد سرعتها عن ٢٢ عقدة تمثل ٢٦,٧٪ شتاءً و ٣٥,٧٪ صيفاً، وبهذا يمكن القول أن سرعة حركة الرمال تزيد فى فصل الصيف مع زيادة سرعة الرياح إلى جانب إرتفاع درجة الحرارة فى هذا الفصل حيث يصل متوسط الحرارة العظمى فى العريش ٣٠,٦ م مما يعمل على تبخر المياه التى توجد بين حبيبات الرمال، ويزيد من سرعة حركتها.

يتضح من العرض السابق خطورة حركة الكثبان الرملية شرق بحيرة البردويل والتى تهدد بالخطر طريق القنطرة شرق- العريش الدولى، ومناطق التنمية الحديثة فى شمال سيناء والتى سيتم زراعتها إعتماً على مياه ترعة الشيخ جابر الصلاح، وخاصة المنطقة

الخامسة من مشروع تنمية شمال سيناء، والتي تبلغ مساحتها ١٣٥ ألف فدان والمعروفة بإسم السر والقوارير. (الهيئة العامة للإستعلامات، ١٩٩٦، ص ٢٨).

عوامل تكوين الأشكال الرملية شرق بحيرة البردويل

يمكن تحديد العوامل التي ساعدت على تكوين الأشكال الرملية شرق بحيرة البردويل على النحو التالي:

١- وجود مصدر دائم للرمال:

قد يكون من الضروري لتكوين الأشكال الرملية وجود مصدر دائم للرمال، وتعتمد مصادر الرمال المكونة للأشكال الرملية شرق البردويل، وذلك وفقاً للدراسات السابقة عن بحر الرمال شمال سيناء ونذكر منها دراسة شكرى وفيليب (Shukir & Philip, 1959)، الفار (Al Far, 1964)، ميساك والشاذلى (Misak & El Shazly, 1982)، الشاذلى وآخرون (El Shazly, et al., 1986) وكامل (Kamel, 1989)، حيث أوضحت هذه الدراسات تعدد مصادر الرمال المكونة للأشكال الرملية على النحو التالي:

- رمال من أصل نيلي Nile Sediments.
- رمال ناتجة عن نحت الصخور بوادى العريش بسيناء، حملتها الرياح إلى المنطقة.
- رمال حملتها مياه الأودية التي تقطع سطح شمال ووسط سيناء خلال الفترة المطيرة.
- رمال منقولة بواسطة الرياح من رواسب الشاطئ.

٢- طبوغرافية السطح:

أوضح كل من بيدنل (Beadnell, 1910) وبيجنولد (Bagnold, 1944, p.168) أن الرمال تميل للتجمع في المناطق المنخفضة المنسوب، كذلك يؤيد هيوم هذا الرأي، ويرى أن عامل الجاذبية هو المسئول عن إرساب الرمال في المناطق المنخفضة. ومن خلال الدراسة السابقة عن السمات العامة لسطح المنطقة موضوع الدراسة وتحليل خريطة التضاريس النسبية، وخريطة الانحدارات، يتضح أن المنطقة تتميز

بإنخفاض المنسوب، وسيادة الانحدارات الخفيفة مما ساعد على تكوين الأشكال الرملية بها.

٣- الرياح :

أوضحت الدراسات السابقة عن اتجاهات الرياح بمحطة العريش أنها تهب من جميع الاتجاهات بنسب مختلفة، ويسود الاتجاه الشمالى الغربى والشمالى، وهذه الرياح أكثر ثباتاً وإستقراراً على مدار السنة، وهى التى حددت اتجاهات الكثبان الرملية بمنطقة الدراسة، أما الرياح التى تهب من الجنوب الغربى والجنوب فهى المسئولة عن تعقيد شكل الكثبان بالمنطقة.

٤- الرطوبة الأرضية :

تعمل الرطوبة الأرضية على وقف تقدم الرمال وتراكمها فوق سطح المنطقة المشبعة بها، وتتميز منطقة شرق بحيرة البردويل بإرتفاع نسبة الرطوبة الأرضية بها، ويرجع ذلك لوقوع المنطقة على ساحل البحر المتوسط وشرق بحيرة البردويل.

الأهمية الاقتصادية للرمال شرق البردويل

تتميز الرمال فى شمال سيناء وبصفة عامة وفى منطقة الدراسة بصفة خاصة بإحتوائها على نسب عالية من المعادن الثقيلة ذات القيمة الاقتصادية وتشير الدراسات السابقة إلى إرتفاع نسب المعادن الثقيلة فى الرمال بالقرب من بحيرة البردويل.

كذلك أوضحت دراسة كامل (Kamel, 1989, p.163) التى تم فيها قياس إشعاعية رواسب الرمال السوداء Radioactivity of Black Sands وجود قراءات إشعاعية عالية نسبياً فى الرواسب التحت سطحية Sub-Surface والتى تتراوح بين ٤٤ و ١٨٠ (CPS)، بينما قدر إشعاعية الرمال فى الرواسب السطحية Surface بما يتراوح بين ١٦ و ١٠٠ (CPS)، ويرجع ذلك لوجود نسبة مرتفعة من الزيركون والمونازيت.

ويمكن الإستفادة من المعادن الثقيلة فى رمال شرق البردويل فى المجال الصناعى حيث يستفاد من الزيركون فى صناعة السيراميك والأدوات الصحية وفى الصناعات

النوية، بينما يستخدم المونازيت فى صناعة الأدوات الكهربائية. (الهيئة المصرية العامة للمساحة الجيولوجية، د.ت، ص ٣).

كذلك أوضح التحليل المعملى^(١) الذى قامت به الباحثة لعينات الرمال شرق بحيرة البردويل أن نسبة المواد الكلسية فى جميع العينات تتراوح بين ٣٣,٣ % و ٣,١ % من إجمالى وزن العينات، وهذا يشير إلى صلاحية رمال الكثبان كمادة بناء نظراً لانخفاض نسبة المواد الكلسية فيها.

النتائج :

أوضحت الدراسة الجيومورفولوجية للأشكال الرملية شرق البردويل مايلى :

١- إن منطقة الدراسة تمثل منطقة منخفضة المنسوب، ويزيد الارتفاع كلما إتجهنا جنوباً، كما تسود الانحدارات الخفيفة على سطح المنطقة بصفة عامة، حيث بلغت إجمالى المساحة التى تشغلها الانحدارات التى لا تزيد عن درجتين ٩٠,١ % من إجمالى مساحة المنطقة.

٢- ساعدت الأحوال المناخية وارتفاع نسبة الرطوبة الأرضية، وطبوغرافية سطح المنطقة على تكوين الأشكال الرملية بمنطقة الدراسة وإكسابها صفات جيومورفولوجية خاصة.

٣- تشغل الكثبان الرملية مساحة قدرها ٥٩,٣٩ % من إجمالى مساحة منطقة الدراسة، وتصل الكثافة العامة للكثبان الرملية إلى ١٠,٣ كثيب/كم^٢، وتتراوح كثافة الكثبان بين كثيب واحد/كم^٢ إلى ٥ كثيب/كم^٢، وتنقسم الكثبان الرملية بمنطقة الدراسة إلى جيلين هما جيل الكثبان القديمة وتنتشر جنوب شرق منطقة الدراسة، وتتخذ أشكال البرخان والكثبان العرضية، وهى كثبان ذات سطح مهاد تنمو عليه النباتات، أما الجيل الحديث فهو يتخذ شكل كثبان طولية وطولية مركبة وهى كثبان نشطة.

(١) تم إجراء التحليل المعملى للعينات بمعمل قسم الجغرافيا بكلية الآداب فرع بنها، جامعة الزقازيق.

٤- تغطي الكثبان الطولية مساحة قدرها ١٧,٣ ٪ من إجمالي مساحة منطقة الدراسة، وتمتد بمحور شمالي غربي - جنوبي شرقي، وتنقسم إلى كثبان طولية مستقيمة، وكثبان طولية متعرجة مع الإحتفاظ بالشكل الطولي، وتتميز بعض الكثبان الطولية بوجود واجهات إنزلاق يصل إرتفاع بعضها إلى ثلث إرتفاع الكتيب.

٥- توجد الكثبان الطولية المركبة في القسم الغربي والجنوبي الغربي من منطقة الدراسة، وقد سجل بالمنطقة نمطين لهذا النوع من الكثبان وهما نمط الإتصال العادي المفتوح في إتجاه مقتبل الرياح، ونمط الإتصال المعكوس، ويرجع ذلك لخصائص طبوغرافية السطح.

٦- من دراسة السمات المورفومترية لسفوح الكثبان الرملية تبين أن سطوح الكثبان تتميز بسيادة الإنحدارات الخفيفة الغير منتظمة، ووجود تباين واضح بين القطاعات بسبب ظهور بعض القمم وواجهات الإنزلاق في بعض الكثبان تحت تأثير الرياح الثانوية، كذلك تتخذ سطوح الكثبان شكلاً محدباً مقعراً بوجه عام وتسود المكدبات الأجزاء العليا، وتشغل المقعرات الأجزاء السفلى، وبصفة عامة تقل النسبة العظمى للدرجات المحدبة والمقعرة عن درجتين، مما يشير إلى أن التغير في الإنحدار على سطوح الكثبان تدريجي.

٧- توجد بعض النباك على سطح السبخات وبعض الكثبان الرملية، وتتخذ سفوحها الشكل المحدب- المقعر، وبعض النباك شمال منطقة الدراسة تمر بمرحلة النضج، وترجع نشأتها إلى وجود النباتات الصحراوية على سطح بعض الكثبان والسبخات، مع سيادة الإنحدارات اللطيفة.

٨- أوضحت الدراسة الميدانية أن بعض الكثبان بمنطقة الدراسة نشطة، وتتحرك مع هبوب الرياح متوسطة السرعة، وقد تراوح سمك رمال التذرية بين ٥ سم و متر ونصف. وبصفة عامة تتحرك الكثبان بمنطقة الدراسة في إتجاه الجنوب والجنوب الشرقي مما يهدد بالخطر طريق القنطرة شرق- العريش الدولي، ومناطق التنمية الحديثة في شمال سيناء.

٩- أوضحت الدراسة إحتواء الرمال على نسب عالية من المعادن الثقيلة مما يزيد من قيمتها الإقتصادية لصلاحيتها لعدد من الصناعات، كذلك أوضح التحليل المعملى صلاحية رمال الكشبان كمادة بناء نظراً لإنخفاض نسبة المواد الكلسية بها.

المصادر والمراجع

أولاً: المصادر:

- ١- أكاديمية البحث العلمى والتكنولوجيا، مركز الإستشعار من بعد، الأطلس الفضائى لجمهورية مصر العربية، الجزء الأول، مقياس ١: ٥٠٠٠٠٠، طبعة ١٩٩٠.
- ٢- الهيئة العامة للمساحة العسكرية، الخرائط الطبوغرافية لمنطقة الدراسة مقياس ١: ٥٠٠٠٠٠، طبعة ١٩٩٥.
- ٣- الهيئة العامة للمساحة العسكرية، لوحات الموزيك الجوية لمنطقة الدراسة، مقياس ١: ٥٠٠٠٠٠، طبعة ١٩٧٦.
- ٤- الهيئة العامة لمشروعات التعمير والتنمية الزراعية، مجموعة خرائط شمال سيناء مقياس ١: ٥٠٠٠٠٠، طبعة ١٩٨٣.
- ٥- الهيئة المصرية العامة للمساحة الجيولوجية والمشروعات التعدينية، الخريطة الجيولوجية لسيناء «لوحة رقم ٥»، مقياس ١: ٢٥٠٠٠٠٠، طبعة ١٩٩٢.
- ٦- الهيئة المصرية العامة للمساحة الجيولوجية والمشروعات التعدينية، «الرمال السوداء»، وزارة الصناعة والثروة المعدنية، جمهورية مصر العربية، بدون تاريخ.
- ٧- الهيئة العامة للأرصاد الجوية، البيانات المناخية لمحطة العريش، (الفترة من ١٩٨٠-١٩٩٤).

ثانياً: المراجع العربية:

- ٨- إمبى وعاشور، نبيل سيد، محمود محمد (١٩٨٣): «الكتبان الرملية فى شبه جزيرة قطر»، الجزء الأول، مركز الوثائق والبحوث الإنسانية، جامعة قطر، الدوحة.
- ٩- الهيئة العامة للإستعلامات (١٩٦٦): «ترعة السلام والعبور الثانى لسيناء»، وزارة الإعلام.

١٠- دسوقي، صابر أمين (١٩٩٢):

«جيومورفولوجية الأشكال الرملية فى حوض وادى الحاج والجدى بسياء»، المجلة
الجغرافية العربية، العدد الرابع والعشرون، الجمعية الجغرافية المصرية.

١١- دسوقي، صابر أمين (٢٠٠٠):

«الكثبان الطولية شرق قناة السويس: تحليل جيومورفولوجي»، المجلة الجغرافية العربية،
العدد الخامس والثلاثون، الجزء الأول، الجمعية الجغرافية المصرية.

١٢- محسوب، محمد صبرى (١٩٩٨):

«جغرافية مصر الطبيعية»، الطبعة الأولى، دار الفكر العربى.

ثالثاً، المراجع الأجنبية :

13- Abdel Rahman, M. A., et al., (1980-1981):

"Some geomorphological aspects of Siwa Region". Bull. Soc. Geog. De Egypt, Vol. 53-54, pp. 17-41.

14- Al-Far, D.M., (1964):

"The black sands of North Sinai. Mediterranean coast". Bull. Inst. Egypt. Vol. XLVI, pp.1-27.

15- Bagnold, R.A., (1944):

"The physics of blown sand and desert dunes", Methan and co. Ltd., London.

17- Embabi, N.S., (1995):

"Types and patterns of sand dunes in Egypt", Bull. Soc. Geog. D'Egypt Vol. 68, pp.57-89.

18- Embabi, N.S., (2000):

"Sand dunes in Egypt", Sedimentary Geology of Egypt. Geol. Dept. Bldg. Fac. Sciences, Ain Shams Univ. Cairo, 11566, Egypt. pp. 44-87.

19- El Shazly, M.M., et al., (1986):

"Studies on Beach and dune sands on the Mediterranean sea Coast. At El Masaïd, West of El Arish, Sinai", Egypt, J. Geol. 30, No. 1-2, pp. 1-8.

20- El Shazly, M.M., (1990):

"Genesis Formation and Classifications of soils of the coastal plain

of Sinai peninsula, Egypt" Egypt. J. Soil. Sci. Cairo, Egypt Vol. 30, No.1-2, pp.59-72.

21- Fikry, K. et al., (1997):

"Preliminary assessment of the impacts of the drifting sands of the development activities in North Western Sinai, Egypt", Remo. Sensi. And Spac. Sciem.

22- Fryberger, S.G., (1979):

"Dune forms and wind regime", In "A study of global sand seas", Editor: McKee, D., Geol. Surv. Prof Paper, 1052, pp.137-170.

23- Kamel, A.F., El Rakaby, M.M., & El Kassas, I.A., (1982):

"Photointer pretation of sand dune belts in northwestern Sinai, Egypt", J. Geol. Special Issue, Part 1, pp. 57-70.

24- Kamel, A.E., (1989):

"Geomorphic setting and radioactivity of the sand deposits east El Bardawil, North Sinai, Egypt", Asw. Sci. Tech. Bull. Vol. 10, pp. 155-169.

25- Mahutt, (1977):

"Desert Landforms", First Edit. Mit Press, Cambridge.

26- Misak, R.F., & El Shazly, M.M., (1982):

"Studies on the blown sands at some localities in Sinai and Northern Western Deseters, Egypt", J. Geol Special Issue, part1. pp.47-56.

27- Misak, R.F., & Attia, S.H., (1983):

"On the sand dunes of Sinai Peninsula, Egypt J. Geol. 27, No.1-2, pp. 115-131.

28- Misak, R.F., & Draz, M.Y., (1990):

"Sand drift control of coastal and desert dunes: Selected case studies", 9 th symp. Quaternary Develop. Egypt, fac. Sci. Mansoura. Egypt, p.9.

29- Pye, K., & Tsoar H, H., (1990):

"Aeolian sand and sand dunes", Unwin Hyman, Ltd. L.

30- Trask, M.R., (1930):

"Mechanical analysis of sediments by centrifuge" Jour. Geol. Vol.25.

31- Young, A., (1972):

"Slopes", Longman.

الجزء الثاني



دراسات جيومورفولوجية في القسم

الغربي من المملكة العربية السعودية



البحث الخامس

تحليل الخريطة الجيومورفولوجية
لمنطقة السهل الساحلي
الممتدة من خور أبجر إلى خور السودة

مجلة كلية الآداب - جامعة الزقازيق - فرع بنها
العدد الرابع ٩٤/١٩٩٥

تحليل الخريطة الجيومورفولوجية لمنطقة السهل الساحلي الممتدة من خور أبجر إلى خور السوده «السهل الساحلي الغربي للمملكة العربية السعودية»

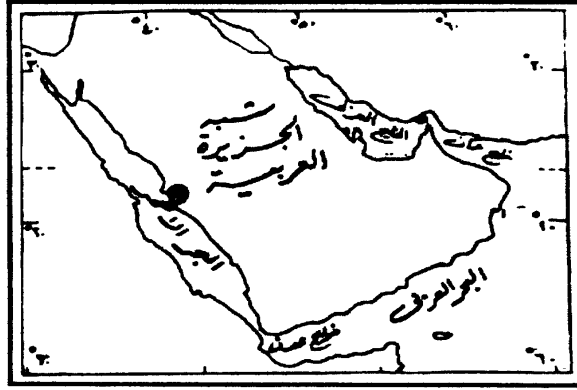
المقدمة:

تقع المنطقة موضوع الدراسة فيما بين خور أبجر في الشمال وخور السوده في الجنوب على السهل الساحلي الغربي للمملكة العربية السعودية. ويحد المنطقة جنوباً دائرة عرض ٢٠° ٣٠'، وشمالاً ٢١° ٤٥'، ويحدها خط طول ٣٩° ١٠' من جهة الغرب، وخط طول ٣٩° ٤٥' من جهة الشرق شكل رقم (٤٦) وتبلغ طول المسافة بين خور أبجر في الشمال إلى خور السوده في الجنوب ١٢٨ كم، ويتراوح عرض السهل الساحلي بين ١٠ كم و٤٣ كم، ومتوسط عرضه ٢٤,٤ كم.

ويحد منطقة الدراسة من جهة الشمال جبل الحرة، ومن الجنوب حرة طافل، ومن الغرب ساحل البحر الأحمر الممتد من خور أبجر شمالاً إلى خور السوده جنوباً، ومن الشرق سلسلة من التلال هي من الشمال إلى الجنوب، جبل غيا، أم حبلين، بريمان، أبدلية، موفيا، فيرج الحمراء، أغليل، القلعة، طويلة، أبو شداد، شاما. وتقطع هذه الكتل الجبلية المنخفضة المنسوب عدد من الأودية، هي من الشمال إلى الجنوب، وادي دغيح، عساري، بني مالك، عشير مصعب، ومصب وادي فاطمة، وادي آدم. وتنتهي هذه الأودية بمصببات مروحية أما عند أقدام التلال بينما يمتد بعضها ليصب في البحر الأحمر مثل وادي فاطمة.

أسباب اختيار الموضوع للدراسة :

تتميز المنطقة بتنوع الظواهرات الجيومورفولوجية بها سواء كانت ظاهرات جيومورفولوجية نتجت بفعل التعرية البحرية. أو ظاهرات نتجت بفعل التعرية النهرية أو الهوائية، مما يجعلها مجالاً خصباً للدراسة. وقد ساعد على إتمام هذا البحث توافر الخرائط الجيولوجية، والجغرافية والصور الجوية.



شكل (٤٦)
موقع منطقة الدراسة

أهداف الدراسة:

- ١ - تهدف هذه الدراسة إلى رسم خريطة مورفولوجية للمنطقة موضوع الدراسة، ثم إجراء دراسة تحليلية دقيقة عن أهم الظواهر الجيومورفولوجية بالمنطقة من حيث شكل وأبعاد وأصل وعمر هذه الظواهر.
- ٢ - توضيح أهم السمات الجيومورفولوجية العامة التي تميز المنطقة، وتحديد أهم الخصائص الجيومورفولوجية الدقيقة، التي تميز الأقسام المورفولوجية الرئيسية بالمنطقة.
- ٣ - تحديد شكل سطح الأرض للاستفادة منها في عمليات التخطيط، وتحديد أفضل الطرق الاقتصادية للاستخدام الأمثل للمنطقة، ويتم ذلك من خلال تحديد هوجات إنحدار سطح الأرض للاستفادة منها في عمليات مد الطرق، وتحديد المناطق التي يمكن إستغلالها للإستصلاح الزراعي، وتحديد أهم المناطق الصالحة لإقامة قرى سياحية للاستفادة منها إقتصادياً.
- ٤ - تحديد مناطق الخطر التي قد تهدد الإنسان، مثل مناطق الإنهيارات الصخرية، أو زحف الصخور أو غيرها.
- ٥ - إقتراح الأسلوب الأمثل للاستفادة من بعض الظواهر الجيومورفولوجية، التي تشغل مساحة لا بأس بها من منطقة الدراسة، مثل ظاهرة السبخات.

الدراسات السابقة:

يمكن تقسيم الدراسات السابقة علي النحو التالي:

- (١) دراسات جيولوجية عن المنطقة مثل دراسة (الشنطى، ١٩٩٣)، دراسة (Skipwith, 1973) عن السهل الساحلي للبحر الأحمر في المملكة العربية السعودية، (Skiba & Others, 1977) عن جيولوجية جدة - مكة، (Khallaf, 1980) عن الخريطة الجيولوجية لجدة.
- (٢) دراسات عن تحليل الخرائط الجيومورفولوجية مثل دراسة (Savigear, 1965)، (Cooke & Dornkamp, 1977) (Finalyson & Statham, 1981).

(٣) دراسات عن جيومورفولوجية السواحل، ونذكر منها دراسة (إمبابي، ١٩٨٤) عن التغلغل البحري في الساحل القطري.

(٤) دراسات عن الظاهرات الجيومورفولوجية مثل دراسة (عاشور وآخرون، ١٩٩١) عن السبخات في شبه جزيرة قطر.

الوسائل المستخدمة في الدراسة :

١- الإطلاع على ما كتب عن المنطقة موضوع الدراسة، من كتب ومقالات علمية.

٢- إجراء دراسة ميدانية دقيقة للمنطقة وقد إنقسمت هذه الدراسة إلى ثلاث مراحل هي :

أ- مرحلة أولى وكانت في شتاء (١٩٩٣م)، حيث تم إجراء دراسة إستطلاعية للمنطقة.

ب- مرحلة ثانية وكانت في صيف (١٩٩٣م)، حيث تم إجراء دراسة عن الظاهرات الجيومورفولوجية، وتوزيعها على خرائط لمقارنتها بالخرائط الطبوغرافية والصور الجوية، وتم قياس أبعاد بعض الظاهرات بالمنطقة، وجمع العينات لتحليلها معملياً.

ج- مرحلة ثالثة وكانت في أبريل (١٩٩٤م)، لمعرفة التغيرات التي طرأت على الظاهرات الجيومورفولوجية، وتسجيلها لمحاولة تفسيرها.

٣- تفسير وتحليل الخرائط الجيولوجية والجغرافية والصور الجوية.

خطوات إعداد الخريطة المورفولوجية للمنطقة موضوع الدراسة:

لقد تمت العديد من الدراسات عن الخرائط الجيومورفولوجية، التي إهتمت بتحديد مفهوم الخريطة الجيومورفولوجية والهدف منها، أنواعها، الخطوات المتبعة في إعداد هذا النوع من الخرائط والرموز المستخدمة فيها. ومن هذه الدراسة دراسة واترز (Waters, 1958) وسافيجر (Savigear, 1956) وتريكاترت (Tricart, 1965) زيودام (Zuidam, 1958)

(1968 ، ديمك (Demek, 1972) كوك ودورنكامب (Cooke & Doornkamp, 1977) فيلسيون وستاثم (Finlayson & Statham, 1981).

ومن خلال الدراسات السابقة تم تحديد خطوات إعداد الخريطة المورفولوجية على النحو التالي:

١- تم الإطلاع على ما كتب عن منطقة الدراسة، وفحص الخرائط الجيولوجية والجغرافية والصور الجوية.

٢- تم إجراء دراسة ميدانية لمنطقة الدراسة للتحقق، ومطابقة ما قد تم إستخراجه من معلومات من الخرائط والصور الجوية، مع ما قد تم دراسته في الحقل.

٣- تم رسم خطوط تمر بنقط التغير في الإنحدار، على الخرائط الطبوغرافية والصور الجوية، وتحديد التغير في الإنحدار، إذا كان حاداً أو بطيئاً بحيث رسمت خطوط التغير الحاد في الإنحدار بخطوط متصلة، وخطوط الإنحدار البطيء بخطوط متقطعة.

٤- وضعت الرموز الخاصة بكل ظاهرة من الظواهر في موقعها الخاص بها.

التكوين الجيولوجي:

ينقسم التكوين الجيولوجي في منطقة الدراسة، وفقاً للتاريخ الجيولوجي إلى:

أولاً: تكوينات الكمبري:

تتكون التلال المنعزلة الواقعة إلى شرق منطقة الدراسة، من اللافا البازلتية وصخور بركانية مع قليل من الحجر الرملي والمارل. ويتكون جبل بريمان من كوارتز Quartiz Monzonite وتتكون الجبال الواقعة إلى جنوب بريمان من الديوريت، ويتكون جبل موفيا والطويلة والحمراء من تكوينات الكوارتز المعقدة (المهندس، السنوسي، ١٩٨٦)، ص١٥٣.

وتنتشر تكوينات البازلت جنوب شرق منطقة الدراسة، مكونة بعض التلال المنعزلة، كما تنتشر تكوينات الشست الأخضر المشتق من البازلت شكل (٤٧) ويتراوح سمك

التكوين بين ١٠:٢ م (Pallister, 1986. p.13).

ولقد تعرضت صخور هذا العصر للكثير من عوامل الإضطرابات المختلفة في العصور التالية.

ثانياً: تكوينات الزمن الثالث:

توجد تكوينات الأليجوسين جنوب منطقة الدراسة وتعرف بإسم تكوينات سيتا Sita Formation، وهي تكوينات بركانية تنتمي للزمن الثالث، وتنقسم إلى نوعين وفقاً لتكوينها الكيميائي. ويتداخل مع هذا التكوينات صخور قاعدية عند جبل أبو شداد، أما في حرة طافل يغطي تكوينات سيتا بازلت البلايوسين في عدم توافق (Ibid, P.16).

ثالثاً: تكوينات الزمن الرابع:

تغطي إرسابات الزمن الرابع مساحة كبيرة من المنطقة الساحلية، وفي أحواض التصريف الضخمة مثل وادي فاطمة، وبنى مالك، وتنقسم إرسابات الزمن الرابع إلى:

(١) الحجر الجيري المرجاني Reef Limestone :

أثبتت القطاعات أن سمكه يتراوح بين مترين إلى عشرة أمتار شمال جدة، ويزيد من الشرق إلى الغرب، ومع الاتجاه شرقاً يغطي بالرمال والحصى المشتق من الصخور النارية (Morris, 1975). وفي منطقة الشرفية بجدة يقدر سمكه بما يتراوح بين ثلاثة إلى أربعة أمتار. ويغطي بالرمال والحصى، ويرجع عمره إلى ٤٠٠٠٠ سنة قبل الميلاد (Moore & Rehili, 1989, p.46).

(٢) إرسابات الشاطئ المرتفعة Beach Deposits :

وتتكون من طبقات من الحصى والرمال الخشنة، وتمتد على شكل مدرجات ضيقة، يتراوح منسوبها بين ثلاثة أمتار إلى أربعة أمتار.

(٣) إرسابات المراوح الفيضية:

وتتكون من رواسب رملية وحصوية متداخلة مع إرسابات السهل الفيضي.

(٤) الإرسابات الفيضية Alluvial Deposits :

وهي تنتشر في الأودية المتشعبة، وتتكون من رمال وحصى غير متماسك، ويختلف سمك وحجم وشكل هذه الرواسب من منطقة إلى أخرى.

(٥) إرسابات البيدمنت Pediment Deposits :

وهي تتكون من رمال وصلصال وحصى سيئ التصنيف (Pallister, 1986, P.21).

(٦) إرسابات الهشيم Talus Deposits :

وهي شظايا صخرية حادة الزوايا، غير مصنفة من حيث الحجم، ويغطيها ورنيش الصحراء Desert Varnish.

(٧) الرواسب الرملية Aolian Sand :

تسود فرشات الرمال في المناطق الداخلية. وتوجد الحافات الرملية في الجانب المظاهر للحافات. وتتكون الكشبان الرملية في المناطق التي تزيد فيها قوة الرياح (Moore & Rehaili, 1989, P. 47).

(٨) إرسابات السبخات Sabkhas Deposits :

وتكون مناطق مستوية ملحية طميية ذات مناسيب منخفضة بالقرب من الساحل، وتغطي بطبقة رقيقة ملحية.

الخصائص المناخية :

تقع منطقة الدراسة داخل العروض المدارية، ولقد أثر هذا على أحوالها المناخية وخاصة الحرارة، فمن دراسة قيم الحرارة يلاحظ أن السنة تنقسم إلى فصلين رئيسيين هما:

١- فصل صيف حار يبدأ من شهر مايو وحتى شهر أكتوبر، وتسجل أعلى درجة حرارة في شهر يونية، حيث تتعامل الشمس على خط عرض مدينة جدة،

وتسجل الحرارة العظمى فى معظم شهور الصيف درجات حرارة تتراوح بين ٤٠ و٤٥ درجة ومتوسط درجات الحرارة فى شهور الصيف (٣٢، ١٧ م).

٢- فصل معتدل الحرارة يبدأ من نوفمبر ويستمر حتى أبريل، وتتراوح درجات الحرارة العظمى بين ٣٠ و٣٥ م والصغرى بين ١٥ و١٩ م، وتسجل فى شهرى ديسمبر ويناير درجات حرارة أدنى من ذلك، ويبلغ المتوسط الحرارى فى فصل الشتاء (٢٣، ٥ م) (El Jerash, 1989, P. 255).

أما من حيث الأمطار، فهى متذبذبة فمن دراسة المتوسطات السنوية لكمية الأمطار فى الفترة من عام ١٩٧٠ إلى ١٩٨٦ يتبين أن المتوسط السنوى لكمية الأمطار فى هذه الفترة بلغ (٥١، ٣ م) وسجلت أعلى كمية أمطار فى عام (١٩٧٩) (٢٤، ٥ م) بينما لم تسقط أمطار فى عام ١٩٨٦، ويمثل فصل الشتاء فصل سقوط الأمطار فى المنطقة، وأعلى الشهور من حيث كمية الأمطار شهرى يناير ونوفمبر (١٤ م).

من حيث الرطوبة الجوية، يلاحظ أنها تزيد فى فصل الصيف، ويسجل شهر سبتمبر أعلى معدلات الرطوبة النسبية، حيث تتراوح نسبة الرطوبة فى هذا الشهر بين ٩٠٪ و٩٥٪، بينما تنخفض معدلات الرطوبة النسبية فى الشتاء (Ibid, P. 255).

من دراسة معدلات التبخر فى الفترة من ١٩٧٠ وحتى ١٩٨٦، تبين أن معدلات التبخر تزيد فى شهور الصيف لتصل إلى (١٩٩، ٩ م) فى شهر يوليو، وتنخفض إلى (٨٧، ١ م) فى شهر يناير.

من دراسة المعدلات الشهرية لتوزيع النسب المئوية لإتجاهات الرياح فى مدينة جدة يلاحظ أن الاتجاه السائد للرياح هو شمال الشمال الغربى، حيث يمثل ٤٠٪ من المجموع الكلى للإتجاهات، يليه إتجاه الشمال، ويمثل ٢٥٪ ثم إتجاه الشمال الغربى ٢٠٪ ثم الغربى ١٥٪ من المجموع الكلى للإتجاهات. وللرياح دور هام فى التأثير على مياه البحر حيث أنها تتحكم فى سرعة عمليات المد والجزر (الروينى، ١٩٨٣، ص ٨٤).

تحليل الخريطة الجيومورفولوجية لمنطقة الدراسة

من دراسة الخريطة الجيومورفولوجية شكل (٤٨) يمكن تقسيم الظاهرات الجيومورفولوجية فى منطقة الدراسة إلى:

أولاً: ظاهرات بنائية:

ثانياً: ظاهرات نحت.

ثالثاً: ظاهرات إرساب.

وسوف نتناول كل منها فيما يلى بالدراسة والتحليل:

أولاً: الظاهرات البنائية:

تشمل الظاهرات البنائية سلسلة التلال التى تمثل الحد الشرقى لمنطقة الدراسة، والتى تبدأ من جبل غيا شمالاً وتنتهى بجبل شاما جنوباً. وبصفة عامة لا يزيد إرتفاع هذه التلال عن ٣٠٠ متراً. وقد تم إختيار عينة من هذه التلال لدراستها دراسة مورفومترية، تمثلت فى قياس زوايا إنحدار سفوحها وتحليلها إحصائياً. وتشمل هذه العينة جبل بريمان، أبدلية، موفيا، الحمراء، وجبل أغليل، وتهدف هذه الدراسة إلى:

١- مقارنة توزيع زوايا الإنحدار على كل القطاعات للتعرف على أوجه التشابه والإختلاف مما يساعد على معرفة الشذوذ فى السمات المورفولوجية العامة المحلية التى تميز سفوح هذه التلال.

٢- التعرف على الزوايا السائدة التى تميز هذه السفوح، والتى قد تسهم فى إلقاء الضوء على الظروف المناخية التى أسهمت فى تطورها، وهذا يفيد فى الدراسات الهندسية التى تهتم بدراسة المنحدرات وميكانيكا التربة. (صالح، ١٩٨٥، ص ٢٧١).

٣- معرفة مرحلة التطور التى تمر بها أشكال السطح فى المنطقة موضوع الدراسة.

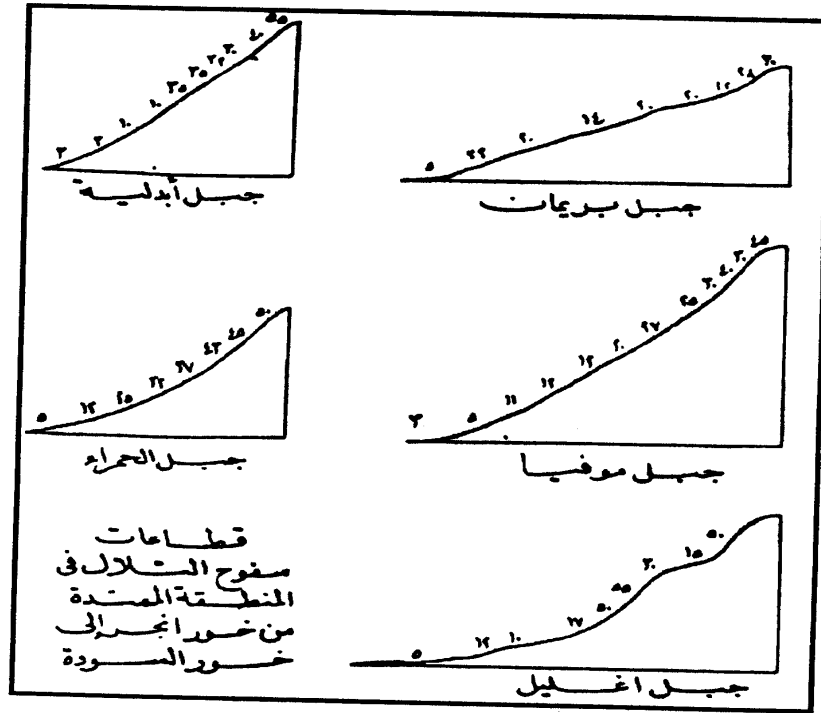
تحليل قطاعات سفوح التلال:

من دراسة الشكل رقم (٤٩) الذى يوضح قطاعات سفوح عينة التلال المختارة للدراسة يلاحظ ما يلى:



شكل (٤٨)

الخريطة الجيومورفولوجية للمنطقة المحيطة بحوض البحر الأحمر إلى بحور السود



شكل (٤٩)

قطاعات سفوح التلال في المنطقة الممتدة من خور أبيحري إلى خور سودة

(١) جبل بريمان :

يقع شرق مدينة جدة إلى الشرق من مطار الملك عبد العزيز، يوضح القطاع الذى تم قياسه على السفح الغربى لهذا الجبل الذى يبدأ من قمة التل، وينتهى عند أقدامه، إن الشكل العام للسفح يتخذ شكل السفوح المحدبة المقعرة، وتراوح زوايا الانحدار بين ٣ درجة و ٥٠ درجة بمتوسط حسابى قدره ٦,٩ درجة.

(٢) جبل أبدلية:

يقع شرق مدينة جدة إلى الشرق من حى الصفا، وقد تم عمل قطاع على السفح الغربى لهذا التل، ويتخذ سفح التل شكل السفوح المحدبة المقعرة، وتراوح زوايا الانحدار بين ٣ درجة و ٥٠ درجة بمتوسط حسابى قدره ٢٤,١١ درجة، وإنحراف معيارى قدره ١٥,٥ درجة.

(٣) جبل موفيا :

يقع شرق مدينة جدة إلى الشرق من حى النسيم. ويتخذ شكل السفوح المحدبة المقعرة. وتراوح زوايا الانحدار بين ٣ درجة، و ٤٥ درجة، بمتوسط حسابى قدره ٢١,٦٧ درجة وإنحراف معيارى قدره ١٢,٨٧ درجة.

(٤) جبل الحمراء:

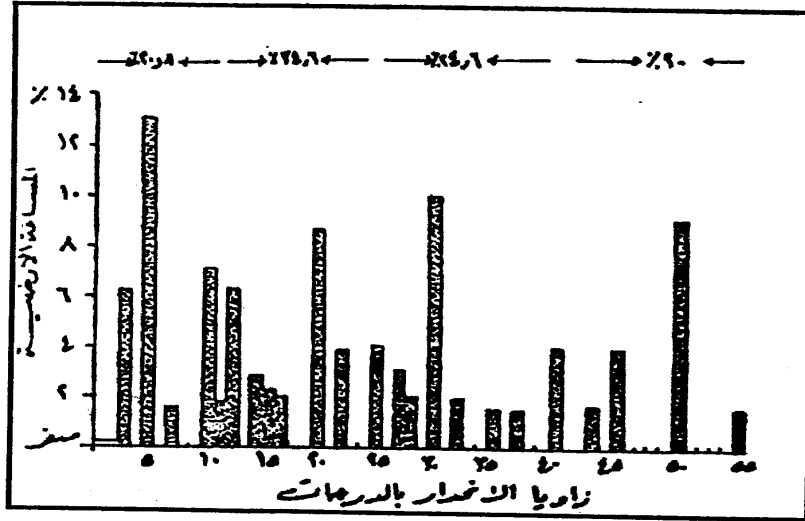
يقع شرق مدينة جدة إلى الشرق من حى الجامعة، وتراوح زوايا الانحدار بين ٥ درجة و ٥٠ درجة بمتوسط حسابى قدره ٣١ درجة، وإنحراف معيارى قدره ١٥,٠٥ درجة.

(٥) جبل أغليل:

يقع على طريق جدة- مكة السريع إلى الشرق من إسكان الأمير فواز، ويتخذ السفح شكل السفوح المحدبة- المقعرة، وتراوح زوايا الانحدار على السفح بين ٥ درجة، و ٥٥ درجة بمتوسط حسابى قدره ٢٧,١١ درجة وإنحراف معيارى قدره ١٨,٥٤ درجة.

تحليل زوايا الانحدار :

يوضح الشكل رقم (٥٠) توزيع زوايا الانحدار على سفوح عينة التلال المختارة



شكل (٥)

توزيع زوايا الإنحدار على سفوح عينة التلال المختارة في المنطقة الممتدة من خور أبجر إلى خور
السودة

للدراصة ومن درااسة هذا الشكل يلاحظ ما يلي :

١- إن مجموع الإنحدارات الخفيفة من (صفر إلى ٩ درجة) ترتبط بالأجزاء الدنيا من قطاعات السفوح، وتشكل ٢٠,٧٦٪ من إجمالي المسافات الأرضية للقطاعات موضوع الدراصة. وتشكل الإنحدارات المتوسطة من (١٠ إلى ٢٤ درجة)، والتي ترتبط بالأجزاء الوسطى وبعض الأجزاء الدنيا من القطاعات ٣٤,٦١٪، وتشغل الإنحدارات الشديدة من (٢٥ إلى ٣٩ درجة) ٢٤,٦٢٪. وترتبط بالأجزاء العليا من السفوح وتقع أسفل الجروف مباشرة، بينما تشغل مجموعة الجروف (٤٠ درجة فأكثر) ٢٠٪ من جملة الأطوال وهي ترتبط بالأجزاء العليا من القطاعات

٢- من الشكل رقم (٥٠) يتضح أن الزوايا المميزة في الإنحدارات الخفيفة هي (٥ درجة)، وتمثل ١٣,١٪ من جملة الأطوال، وفي الإنحدارات المتوسطة (٢٠ درجة) وتمثل ٨,٥٪، وفي الإنحدارات الشديدة (٣٠ درجة) وتمثل ١٠٪، وفي مجموعة الجروف (٥٠ درجة) وتمثل ٩,٢٪ من إجمالي طول المسافات الأرضية.

٣- تعد الزاوية (٥ درجة) هي أكثر زوايا الإنحدار تكراراً على سفوح التلال، وبذلك فهي الزاوية المميزة لعينة السفوح المختارة للدراصة.

٤- تعتبر الزاوية الحدية الدنيا لمجموعة الإنحدارات الخفيفة هي (صفر درجة) والحدية العليا (١٠ درجة)، بينما تعتبر الزاوية الحدية الدنيا لمجموعة الإنحدارات المتوسطة هي (٤٣ درجة) والحدية العليا هي (٤٠ درجة)، وفي مجموعة الجروف كانت الزاوية الحدية الدنيا (٥٥ درجة) والحدية العليا (٤٥ درجة).

تحليل أشكال السفوح :

تهدف هذه الدراصة إلى التعرف على سمات أشكال السفوح في المنطقة موضوع الدراصة. ويتم ذلك من خلال دراصة قيم التقوس Curvature على سفوح العينات المختارة. ومن دراصة الشكل رقم (٥١) يلاحظ مايلي :

١- وجود ثلاث مجموعات من التقوس هي:

أ- المجموعة الأولى تشير إلى الأجزاء المستقيمة التي لا يتغير فيها الانحدار وتشغل ٦,٢٥ ٪ من جملة الأطوال، وتظهر الأقسام المستقيمة أما في الأجزاء الوسطى أو في الأقسام الدنيا من القطاعات.

ب- المجموعة الثانية وهي المجموعة الموجبة، وتضم العناصر المحدبة، وتتراوح بين (٥٥,٣ درجة) وتمثل ٧٤,٦١ ٪ من جملة الأطوال، وهي تظهر في الأجزاء العليا من القطاعات والتي تتكون من الصخور الصلبة من الكوارتزيت والشست والبازلت، ونتيجة لتعرضها لعمليات النحت والتجوية خلال فترات زمنية طويلة تراجعت وتآكلت الأجزاء العليا مما أدى إلى تحذب شكلها.

ج- المجموعة الثالثة وهي المجموعة السالبة وتضم العناصر المقعرة وتتراوح بين (١٠ و ٣٠ درجة) وهي تمثل ١٩,٤ ٪ من جملة الأطوال، وغالباً ما تظهر على الأجزاء الدنيا والوسطى ويرتبط وجود هذا العنصر بالصخور اللينة، ويرجع ظهوره إلى عمليات التجوية وتتميز العناصر المقعرة بظهور طبقة من المفتات التي تعلوها.

٢- تنقسم مجموعة العناصر المحدبة على أربعة مجموعات فرعية: حيث تمثل التقوسات الخفيفة من (صفر إلى ٩ درجة) ١٧,٥٨ ٪ من جملة الأطوال والتقوسات المتوسطة من (١٠ إلى ٢٤ درجة) ١٩,٩٢ ٪، والتقوسات الشديدة من (٢٥ إلى ٣٩ درجة) ١٦,٨ ٪ والتقوسات الشديدة جداً (٤٠ درجة فأكثر) ٢٠,٣١ ٪.

٣- تنقسم مجموعة العناصر المقعرة في سفوح الجبال إلى مجموعتين: الأولى التقوسات المتوسطة من (١٠ إلى ٢٤ درجة) وتمثل ١٢,٥ ٪ من جملة الأطوال، والثانية تمثل التقوسات الشديدة (٢٥ إلى ٣٩ درجة) وتمثل ٦,٦٤ ٪ من جملة الأطوال.

٤- تتميز الأقسام الدنيا من القطاعات بقلّة درجات الانحدار مع اتجاه أسفل

الشفح، وينتهى سطح البيدمنت فى جزئه الأعلى بقسم يتميز بالإرتفاع وزاوية حادة، تمثل زاوية الإتصال بين الجزئين، ويرجع ذلك فى رأى مابوت إلى ظروف الجفاف (Mabutt, 1977, p.85).

٥- من تطبيق معادلة دورنكامب وكنج (Doornkamp & King, 1971, p.138) لتحديد الشكل العام للشفح من خلال قسمة جملة أطوال العناصر المحدبة على جملة أطوال العناصر المقعرة، إتضح أن الشكل العام للشفح محدباً، حيث كان ناتج القسمة ٣,٩٠.

ثانياً: الظاهرات الجيومورفولوجية الناتجة عن النحت :

يمكن تقسيم الظاهرات الجيومورفولوجية الناتجة عن النحت فى منطقة الدراسة إلى ظاهرات نتجت عن النحت البحرى و ظاهرات أخرى نتجت عن النحت النهري وفيما يلى دراسة تفصيلية عن كل منهما:

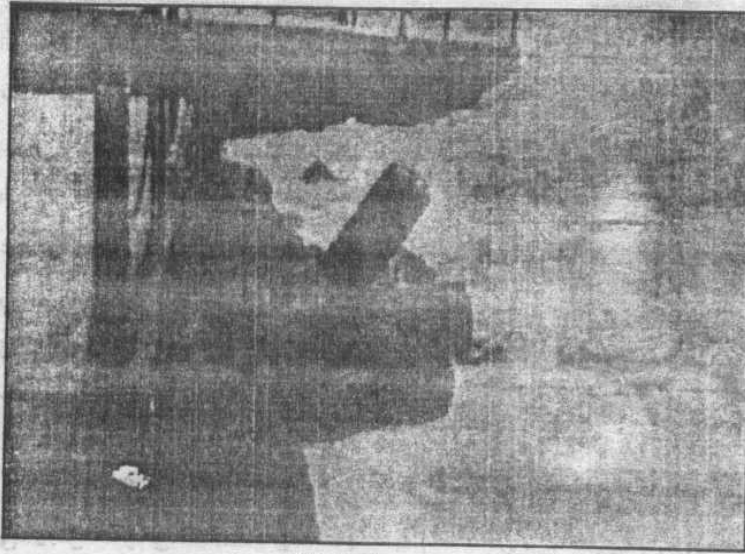
(١) الظاهرات الجيومورفولوجية الناتجة عن النحت البحرى:

تزيد معدلات النحت البحرى بمناطق محددة من الساحل بمنطقة الدراسة تتمثل فى القسم الشمالى من الساحل الممتد من خور أبهر، وحتى منطقة جزيرة عراب. وتزيد معدلات النحت بصورة واضحة أمام منتزه النحيل. صورة رقم (١٧)، وكذلك أمام ميدان طائر النورس. وقد وضعت الكثير من الكتل الصخرية الصلبة للتقليل من معدلات النحر بالساحل صورة رقم (١٨).

وتزيد معدلات النحت فى هذه المناطق من الساحل، نتيجة لإتجاه الأمواج، وسرعتها وشكل الساحل. وقد نتج عن النحت البحرى تكوين عدد من الظاهرات الجيومورفولوجية فيما يلى دراسة تفصيلية عنها:

أ- الخلجان :

تتمثل هذه الظاهرة فى تغلغل البحر فى اليابس على شكل أجسام مائية ضحلة بأشكال وإمتدادات مختلفة. وتتصل بالبحر المفتوح عن طريق فتحات صغيرة. وتعرف



صورة رقم (١٧)
ارتفاع معدلات النحت البحرى فى القسم الشمالى من الساحل الممتد من خور أبجر
أمام منتزه النخيل



صورة رقم (١٨)
وضع الصخور الصلبة لتخفيف معدلات النحت بالساحل الشمالى لمدينة جدة

الخلجان محلياً فى منطقة الدراسة بإسم المراسى، وتتميز بإستدارتها نسبياً وعرض مساحتها إذا ما قورنت بالأخوار، كما أنها أقصر منها، وتتميز القنوات التى تربطها بالبحر بأنها أكثر إتساعاً. ويمثلها فى منطقة الدراسة بحيرة الأربعين، أو ما يعرف بخليج «منقابة»، والذي يمتد لمسافة ٩ كم داخل اليابس فى مدينة جدة شكل (٤٨). ويغلب على قاع الخلجان إنتشار الرواسب الطينية، ويرجع ذلك إلى أن الأمواج عند إندفاعها فى هذه الفجوات تفقد قوتها بالتدريج، لإحتكاكها بجوانب الخليج فيتوقف دورها عن النحت وتحول إلى الإرساب صورة (١٩).

ب- الأخوار:

هى عبارة عن شقوق أو فجوات فى الساحل تتميز بالضيق، وهى أكثر طولاً وعمقاً فى اليابس أكثر من الخلجان، وإنحناءاتها تشبه إنحناء جريان الماء فى مساره ويمثلها فى منطقة الدراسة خور أبهر، وخور الشعبة المسدودة وخور السودة شكل (٤٨).

ويرجع تكوين هذه الأخوار إلى عوامل التعرية القارية. فمن تحليل الخريطة الجيومورفولوجية، يتضح أن معظم الأخوار بالمنطقة تكونت عند مصبات الأودية مثل خور أبهر الذى يبدأ عند مصب وادى الكراع. ولهذا يرجع أن نشأة هذه الأخوار بدأت بنشاط عوامل التعرية المائية، أثناء الفترة المطيرة السابقة. وعندما حلت فترة الجفاف الحالى أكملت عوامل التعرية البحرية مثل التيارات والأمواج، توسيع هذه الفجوات حتى إتخذت شكلها الحالى. ومن أهم الأخوار بمنطقة الدراسة:

خور أبهر:

يقع خور أبهر شمال منطقة الدراسة، ويمتد بمحور شمالي شرقي جنوب غربي، يبلغ طوله ١٠ كم، ويتراوح عرضه بين ٥٠ متر و١,٧٥ كم ومتوسط عرضه ١,٢٥ كم. وتنتشر بعض الشعاب المرجانية داخل هذا الخور. ويبدأ خور أبهر من مصب وادى الكراع. مما يؤيد التفسير السابق لنشأة الأخوار.

ويتميز خور أبهر بإنتشار الشواطئ الرملية على جانبيه، مما ساعد على قيام منطقة سياحية حول سواحل هذا الخور. وقد ساعد على ذلك أن مياه هذا الخور هادئة ويرجع

ذلك لشكله الطولى وتوغله داخل اليابس.

خور رقم (٢):

يقع شرق جزيرة غراب. ويتخذ شكلاً طولياً أيضاً يشبه خور أبهر. ويبلغ طوله ٣,٧٥ كم، ويتراوح عرضه بين ٥٠ متر، ١,٢٥ كم، ومتوسط عرضه ٨٧٥ متراً. ويتميز هذا الخور بضخلة المياه فيه، مما أدى إلى إنتشار السبخات حول مياه هذا الخور. صورة رقم (٤). ويتوقف منسوب المياه فى السبخات على حركة المياه داخل هذا الخور.

خور رقم (٣):

يقع جنوب خور رقم (٢) شكل (٣)، ويبلغ طوله ١,٧٥ كم، ويتراوح عرضه بين ٢٥ متر و ٥٠ متر، ومتوسط عرضه ٣٧,٥ متراً، ويتميز بضخلة المياه فيه.

خور مصطبة:

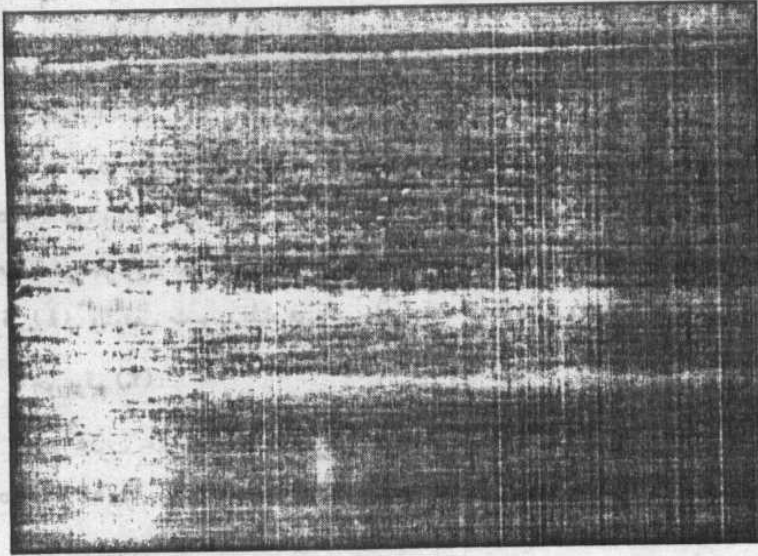
ويتخذ أيضاً الشكل الطولى حيث يبلغ طوله ٥,٥ كم، ويتراوح عرضه بين ١ كم و ٢,٢٥ كم، ومتوسط عرضه ١,٦٢٥ كم، ويمتد إلى الشرق من هذا الخور السبخات ويحيط به الشواطئ الرملية.

خور الشعبة المسدودة:

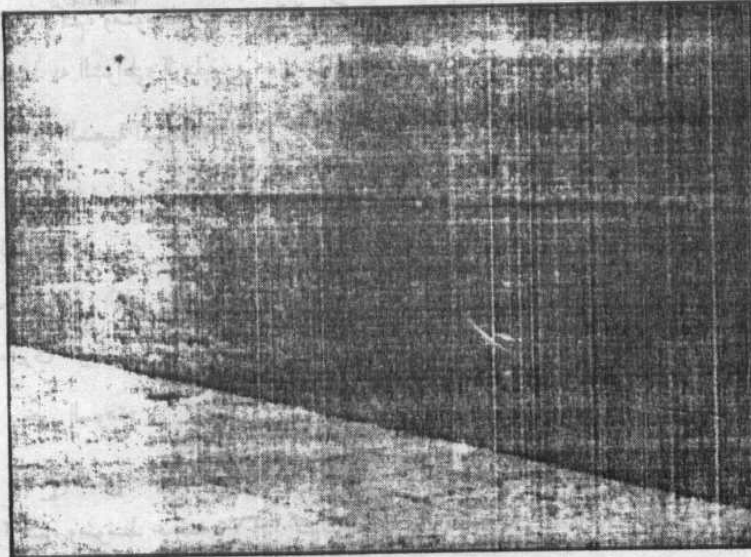
يبلغ طوله ١٢,٥٠ كم، ويتراوح عرضه بين ٢٥ متر عند مدخله و ٥ كم. ويتصل بالبحر الأحمر عن طريق ممر مائى ضيق جداً، لا يزيد عرضه عن ٢٥ متر. وتوغل هذا الخور داخل اليابس، ويفصله عن البحر الأحمر شواطئ رملية ينتشر بها تكوينات الحجر الجيري المرجاني.

خور السوداء:

يقع أقصى جنوب منطقة الدراسة، يبلغ طوله ١٠ كم ويتراوح عرضه بين ٧٥ متراً و ٢ كم، ومتوسط عرضه ١,٣٧٥ كم. ويحيط بهذا الخور السبخات الساحلية التى ترجع نشأتها إلى إنخفاض منسوب السطح فى هذه المنطقة وضخلة المياه فى هذا الخور.



صورة رقم (١٩)
تكسر الأمواج عند مدخل خليج منقابة



صورة رقم (٢٠)
نشأة السبخات نتيجة لانخفاض منسوب المياه في خور رقم ٢

· (ج) المدرجات البحرية Marine Terraces :

تكونت هذه المدرجات نتيجة لنحت الأمواج، وهى تنتشر عند خط الساحل مما يشير إلى أنها حديثة التكوين تكونت خلال عصر الهولوسين، حيث قد تبين من الدراسات السابقة أن عمر هذه المدرجات يعود إلى سنة ٢٤,٢٢٠ + ٢٢٠ قبل الوقت الحاضر (Pallister, 1986, p.21).

وتظهر هذه المدرجات البحرية على شكل مدرج ضيق، يتراوح إرتفاعه بين ٣ أمتار و٤ أمتار غرب جدة بالقرب من خط الساحل الأصلي، كما توجد فى جنوب منطقة الدراسة على منسوب ٣ متراً فوق منسوب سطح البحر فى منطقة الشعبة المسدودة. شكل (٤٨).

وتتكون المدرجات البحرية من طبقات من الحصى والرمال الخشنة ضعيفة الإلتحام بمادة الكلس، وبعضها يتكون من الحجر الجيري المرجاني، وتظهر هذه المدرجات بوضوح فى المناطق السابق الإشارة إليها. وتختفى فى مناطق أخرى من الساحل حيث تغطى بالرمال، وفى مناطق أخرى تتداخل مع السبخات كما هو الحال فى منطقة خور السودة والشعبة المسدودة.

ويمكن التمييز بين نوعين من المدرجات البحرية وفقاً لعوامل تشكيلها:

- مدرجات بحرية تم إعادة تشكيلها بعد تكوينها بمواد فيضية مثل المدرجات البحرية فى منطقة جدة.
- مدرجات بحرية تم تشكيلها بعوامل بحرية فقط، مثل المدرج البحرى فى منطقة الشعبة المسدودة.

(٢) الظاهرات الجيومورفولوجية الناتجة عن النحت النهري:

(أ) الأودية :

يقطع سطح المنطقة عدد من الأودية التى تنبع من مجموعة التلال الممتدة شرق منطقة الدراسة، وتنحدر صوب الغرب، وتنتهى بمراوح فيضية عند أقدام التلال السابق

الإشارة إليها. (شكل ٤٨).

ومن مقارنة أحواض تصريف هذه الأودية يلاحظ مايلي:

- ١- إن مساحات الأحواض تتباين فيما بينها فمنها الأودية التي تتميز بمساحات أحواض كبيرة نسبياً مثل وادى بنى مالك، ومنها الأودية ذات مساحات أقل مثل وادى الكراع.
- ٢- تختلف أطوال الأحواض فى المنطقة حيث يمثل وادى بنى مالك أطول الأحواض.
- ٣- من دراسة أبعاد الأحواض يلاحظ أن عوامل البنية تحكمت بشكل واضح فى تحديدها.

٤- تتخذ جميع أحواض الأودية فى منطقة الدراسة الشكل المستطيل.

من مقارنة شبكات التصريف بالمنطقة يلاحظ ما يلي:

- ١- تتراوح أطوال المجارى النهرية بين ٨,٧٥ كم و ١٥,٢١ كم.
- ٢- أن كثافة التصريف المائى لجميع الأودية كثافة منخفضة.
- ٣- من دراسة درجة التقطع يلاحظ أن الأودية ذات نسيج متوسط.
- ٤- يلاحظ أن أودية المنطقة تمر بمرحلة الشباب. ويسود نمط التصريف الشجرى

Dendritic Drainage

- ٥- من دراسة أنماط الأودية بالمنطقة يلاحظ أن أودية المنطقة ذات النمط المتعرج Sinous Pattern والذي يتميز بزيادة الطول الفعلى للمجرى عن الطول المستقيم. ولكن هذه الزيادة والتي تعرف بمقاييس التعرج Sinosity Index تقل عن ١,٥ مرة، وذلك وفقاً لتعريف ليوبولد (Leopold et al., 1964, p.296) حيث تتراوح مقاييس التعرج بين ١,٠٩ و ١,١٤.

(ب) المدرجات النهرية:

وهي توجد على جانبي بعض الأودية بمناسيب تتراوح بين ثلاثة أمتار وأربعة أمتار.

وتتكون من حصى خشن مختلط بالرمال. وتغطي الطبقة السطحية بالحصباء والجلاميد، وهذا يدل على أن الطريقة التي تم بها الإرساب في هذه المدرجات، أنها قد بدأت بإرساب الزلط والحصباء أولاً كعنصر أساسي، تبعه بعد ذلك إرساب الرمال التي تخللت الحصى والحصباء لتملأ الفراغات بين هذه الحبيبات.

ومن دراسة حجم الرواسب في المدرجات النهرية تبين أن حجم الحصى والحصباء يقل عن ١٠ سم، بينما تراوح حجم الرواسب الرملية بين الرمال الخشنة إلى الناعمة. ومن مقارنة راسب المدرجات النهرية مع راسب السهول الفيضية الحالية، يتبين عدم وجود تشابه بينهما من حيث حجم الرواسب، حيث تتكون راسب السهول الفيضية الحالية من نسبة عالية من الرمال الخشنة والمتوسطة والناعمة والطمى والصلصال، وتقل فيها نسبة الحصى والحصباء. وهذا يدل على أن الظروف التي أدت إلى تكوين ونشأة هذه المدرجات، تختلف عن الظروف الحالية التي تكونت فيها راسب الأودية الحالية، وذلك من ناحية حجم الجريان، والظروف المناخية. فقد أشارت الدراسات السابقة إلى أن هذه المدرجات تكونت نتيجة لحدوث فترة مطيرة تزايد فيها الجريان السطحي، حيث شهدت المنطقة حدوث عشرين مطيرين، فصل بينهما فترة من الجفاف. (Moore & Rehaili, 1989, p.46) مما ساعد على نشأة هذه المدرجات.

ثالثاً: المظاهر الجيومورفولوجية الناتجة عن الإرساب البحري:

تنتشر المظاهر الجيومورفولوجية الناتجة عن الإرساب البحري في المناطق التي تتحول فيها الأمواج من عملية النحت إلى الإرساب، في المناطق الساحلية المتسعة والمنخفضة المنسوب نسبياً، حيث ترك البحر عند تراجع مساحات واسعة مغطاه بالمياه المالحة، تظهر في البداية على شكل بحيرات واسعة، ممتدة ضحلة قليلة العمق فلا يزيد عمقها عن ثلاثة أمتار. وينتشر معظمها في القسم الجنوبي من منطقة الدراسة، وفي بعض أجزائها تظهر الرواسب على السطح. ومن هذه المظاهر:

(أ) البحيرات الساحلية:

هي مساحات مائية ضحلة تتكون على طول الساحل، وتتداخل في اليابس بأشكال

متعددة. وهي ذات طابع مؤقت. وتكونت بفعل العوامل البحرية ويختلف منسوب المياه فيها من فترة إلى أخرى، حيث يرتفع منسوب الماء في أوقات المد العالي High Tides. وعند حدوث العواصف البحرية Sea storms والأمواج العالية High Waves، تزداد مساحة هذه البحيرات الساحلية وتغطي مساحة واسعة من اليابس المجاور المنخفض المنسوب بمياه المد العالي. وعند حدوث الجزر يتراجع مياه البحر من جديد عن اليابس المجاور، وتختلف مناطق سهلية ساحلية مغطاه بالرواسب والحشائش الملحية حول تلك البحيرات، وهو ما يطلق عليه تعبير المستنقعات الساحلية الملحية Salt Marshes أو أسطح المد والجزر الإرسابية Tidal Flats (أبو العينين، ١٩٨٩، ص ٢٠).

ومن أفضل الأمثلة على ذلك بحيرة الشعبية، حيث يتم التبادل بين مياه البحيرة والبحر وفقاً لظروف الرياح المحلية وقوة وإتجاه الرياح، التي تنشأ بفعل التغيرات اليومية المحلية التي تؤدي إلى زيادة قوة التبخر وزيادة جفاف البحيرة.

ومما ينبغي الإشارة إليه أن بعض هذه البحيرات يمثل بيئة خصبة لنمو الطحالب والكائنات العضوية، حيث تنمو على هوامشها نباتات ملحية مثل المانجروف والشورى، فتصبح بذلك مستنقعات رسوبية بعضها يتحول لسبخات ملحية بعد جفافه (سليم، ١٩٨٦، ص ٢٣٧) صورة (٢١).

(ب) الشواطئ:

تزيد معدلات الإرساب في بعض أجزاء الساحل، وذلك وفقاً لشكل الساحل نفسه، مما يؤدي إلى تكوين الشواطئ الرملية في منطقة الدراسة شكل (٣). وترجع نشأة الشواطئ الرملية في منطقة الدراسة إلى ترسيب الرمال حول الشعاب المرجانية، نتيجة لتغير إتجاه حركة المياه مما ينتج عنه بقاء سرعة حركة الأمواج وزيادة معدلات الإرساب، ولهذا تنتشر الشواطئ الرملية في المناطق الساحلية التي تنتشر أمامها الشعاب المرجانية.

ومن دراسة شكل الشواطئ الرملية في منطقة الدراسة يلاحظ أنها لا تتخذ نمطاً واضحاً، ويرجع ذلك إلى إنتشار الشعب المرجانية، فيلاحظ أن بعض الشواطئ الرملية يتخذ شكلاً هلالياً في مناطق الخلجان، نتيجة لتكسر الأمواج عند مدخل الخلجان

وجنوحها إلى الإرساب. وذلك يظهر بوضوح في الجزء الشمالي من منطقة الدراسة، وبعض الشواطئ الرملية يتخذ شكلاً خطياً Lenear Beaches موازياً لخط الساحل، كما هو الحال في جنوب منطقة الدراسة إلى الجنوب من الرأس السوداء، وتتكون هذه الشواطئ بفعل حركة الأمواج.

ومن دراسة سمك الرواسب في هذه الشواطئ الرملية يلاحظ أنه يتراوح بين مترين وأربعة أمتار.

(ج) قنوات المد والجزر:

وتوجد جنوب منطقة الدراسة شكل (٤٨)، ويرجع تكوينها إلى عاملين أساسيين هما:

- ١- توافر رواسب رملية مفككة في المناطق التي تتأثر بتيارات المد والجزر.
- ٢- إنتشار التداخلات الساحلية الضيقة وتأثيرها بتيارات المد والجزر القوية ذات النظام شبه اليومي. (إمبابي، ١٩٨٤، ص ٢٠).

(د) الجزر:

تنتشر أمام ساحل منطقة الدراسة عدد كبير من الجزر المرجانية الأصل. وتوجد بالقرب من الساحل حيث تمتد الشعب المرجانية المحيطة بالساحل شكل (٤٨) ولكنها تنقطع في بعض المواقع حيث مصبات الأودية.

وتمتد سلسلة الشعاب موازية لساحل جدة على بعد يتراوح بين ٢٤,٥ كم من الساحل. وتتصل أحياناً بالشاطئ عن طريق شواطئ ضيقة، يتراوح عمقها بين ١٠ و ٤٠ قامة، حيث يوجد عليها بعض الشعاب الخطرة. (الرويثي، ١٩٨٣، ص ٦٥).

وتعرف الجزر المنتشرة أمام ساحل مدينة جدة بإسم شعب ومن أهم هذه الجزر:

شعب أبو سعد:

يقع جنوب ميناء جدة الإسلامى شمال شعب أبو جندوب وشعب بيهار شكل (٥٢). ويوجد في وسط الجزيرة تل مرتفع يعرف بإسم جبل أبو سعد، يبلغ طول الجزيرة

٧٥٠ متراً، وعرضها ٦٥٠ متراً، وتبلغ مساحتها ٢,٥ كم^٢.

شعب الواسطة :

يقع إلى الجنوب من جزيرة أبو سعد بحيل يقل نحو الجنوب الغربي، وفي شرقها شعب بيهار، وفي جنوبها جزيرة علي، وتبعد عنها بمسافة قليلة قدرها ١٥٠٠ متراً، وفي جنوبها الغربي تل الواسطة. ويبلغ طول الجزيرة ٢ كم، ومتوسط عرضها ٧٥٠ متراً، ومساحتها أكبر من مساحة جزيرة أبو سعد حيث تقدر بنحو ١,٥ كم^٢.

شعب أبو علي:

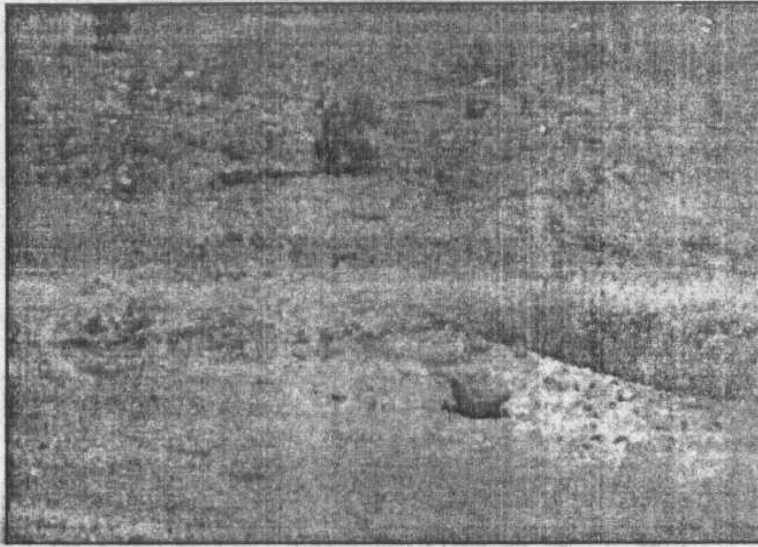
توجد جنوب جزيرة الواسطة، وفي جنوبه الغربي شعب أم دينار، ويبعد شعب أبو على عن شعب الواسطة مسافة قليلة لا تزيد عن ٥٠٠ متراً. ويبلغ طول هذه الجزيرة حوالي ١٦٢٥ متراً، ومتوسط العرض ٦٢٥ متراً، وتبلغ مساحتها ٠,٩ كم^٢.

(هـ) السبخات :

وهي من أكثر الظواهر الجيومورفولوجية إنتشاراً في منطقة الدراسة، حيث تكون مناطق مستوية ملحية طميية ذات مناسيب منخفضة. وتتخذ الشكل الطولي، وتتركز السبخات بوضوح في القسم الشمالي والجنوبي من منطقة الدراسة. وتتفاوت أبعادها حيث تتراوح أطوالها بين ٢,٢٥ كم و ٢٣,٧٥ كم، ويتراوح متوسط عرضها بين ٧٥ متر و ١٢٥,٤ كم. ويمكن تقسيم السبخات في منطقة الدراسة إلى:

(١) سبخات داخلية:

وهي تنتشر في الأجزاء الداخلية من منطقة الدراسة وخاصة في الأودية مثل وادي فاطمة. وتتكون هذه السبخات من الطمي والصلصال الذي ترسب من مياه المستنقعات الناجمة عن إرتفاع منسوب الماء الجوفي في بطون الأودية. ونتيجة لجفاف مياه هذه المستنقعات تظهر طبقة بيضاء على السطح مكونة من الأملاح. صورة (٤٤)، ويمثلها بمنطقة الدراسة السبخات رقم (ب)، (ج) شكل (٤٨).



صورة رقم (٢١)

نمو نباتات ملحية في سبخة ساحلية شرق بحيرة الشعبية



صورة رقم (٢٢)

ظهور طبقة من الأملاح على سطح سبخة داخلية في مصب وادي فاطمة

(٢) سبخات ساحلية:

وتمتد على طول خط الساحل على مسافات متباينة. وهي ترتبط في نشأتها وتطورها ارتباطاً وثيقاً بالظروف الساحلية. فبعض هذه السبخات تكونت في أحواض ضحلة تغطيها مياه المد العالي، ومع تبخر مياه البحر تتكون السبخات ويمثلها السبخة رقم (و) شكل (٤٨) وبعضها يتصل بالبحر عن طريق النشع السطحي أو أثناء حدوث موجات المد العالي ويمثلها بمنطقة الدراسة السبخة المجاورة لخور الشعبة المسدودة، والسبخة المجاورة لخور الشعبة المفتوحة. شكل (٤٨). وترجع نشأة السبخات الساحلية إلى مجموعة من العوامل، يأتي في مقدمتها شكل وخصائص السطح بالمنطقة حيث تتميز المنطقة الساحلية بإنخفاض منسوب السطح وإستوائه إلى حد كبير، حيث تتراوح درجة إنحدار السطح ما بين درجة واحدة وثلاث درجات فقط. ونتيجة لعدم وجود جروف ساحلية، ترتفع مياه المد فتتلفى على مساحات كبيرة من الأراضي الساحلية، مما يساعد على نشأة السبخات وخاصة في القسم الجنوبي من منطقة الدراسة.

كذلك تلعب خصائص المناخ الحالي دوراً هاماً في تكوين السبخات. فإرتفاع درجات الحرارة كما سبق أن أشرنا مع إرتفاع معدلات البخر تساهم بدور فعال في تكوين السبخات. بالإضافة إلى دور الرياح وتأثيرها على مياه البحر حيث تساهم الرياح الغربية في زيادة سرعة الجزر والحد من نشاط المد. كما تعمل الرياح الشمالية والشمالية الغربية والشرقية، على تسوية السطح من خلال ترسيب ما تحمله من رمال من الأراضي المجاورة.

بالإضافة إلى ذلك تساهم العلاقة بين اليابس والماء في تكوين السبخات بالمنطقة الساحلية، حيث تمتد السبخات مرتبطة بخط الساحل، وتمثل هذه العلاقة في حدوث حركة مستمرة بين مياه البحر والسبخات، وتمثل هذه الحركة في طغيان مياه البحر على السبخات ويحدث ذلك في أثناء فترات المد العالي أو على هيئة أمواج أو تيارات مدية. ونتيجة لذلك تتحول السبخات إلى بحيرات صغيرة ضحلة مؤقتة، صورة (٢٠)، بينما تحدث حركة عكسية حيث تتحرك المياه من السبخات إلى البحر مرة أخرى في

أثناء فترات الجزر، أو عند هدوء الأمواج. وكذلك فى فصل الصيف حيث تزيد معدلات التبخر بصورة واضحة، مما يؤدي إلى إنخفاض منسوب الماء بالسيخات وتكون طبقة من الأملاح على سطح السيخات.

(٢) الظاهرات الجيومورفولوجية الناتجة عن الإرساب النهري:

ويمثلها بالمنطقة إرسابات الأودية والمراوح الفيضية. فقد أوضحت دراسة باليستر ١٩٨٦ (Pallister, 1986, p.21) عن إرسابات الأودية، أنها مكونة من رمال وحصى غير متماسك، وطمي وصلصال، ويختلف سمك إرسابات الأودية إختلافاً واضحاً من منطقة إلى أخرى. وقد قدر باليستر سمك هذه الإرسابات بنحو ٢ متر. وتتراوح درجة تصنيف هذه الإرسابات بين درجة متوسط وضعيف.

وتشير دراسة مور وراحيلي (Moore & Rehili, 1989, pp. 46-47) عن رواسب المراوح الفيضية بأنها تتكون من حصى سئ التصنيف خشن مختلط بالرمال. وتحتوى الطبقات على حصاء وجلاميد. ويتناقص حجم الحصى وتسود الرمال، كلما إبتجها من رأس المروحة نحو أطرافها. وفى بعض المناطق تميل المراوح لتكوين مواد ترابية، خاصة عند أقدام الحافات المكونة من مجموعة فاطمة، حيث تختفى المراوح تحت إرسابات الهشيم عند أقدام التلال، ويغضى كل من الهشيم والمراوح الفيضية ورنيش الصحراء الذى يكسبها اللون الأسود.

ومن دراسة مورفولوجية المراوح الفيضية بالمنطقة موضوع الدراسة، تبين أن هذه المراوح تتخذ الشكل المخروطى. وينقسم قطاع المروحة إلى سفوح منحدره بالقرب من قمة المروحة. وتتناقص الإنحدارات نحو أطراف المروحة. كما يتميز القطاع الطولى بالمراوح الفيضية بإتخاذ شكل مقعر إلى أعلى. ويرجع ذلك إلى إنخفاض السطح الذى أرسبت عليه هذه المراوح الفيضية. كذلك يقطع سطح المراوح الفيضية عدد من المجارى المائية، كما تظهر النباتات الطبيعية فى مجارى هذه المسيلات. كذلك تبين من دراسة العلاقة بين مساحة المراوح الفيضية، ومساحة حوض التصريف المرتبطة به، ومن خلال دراسة عينة تتمثل فى ثلاثة أودية هى وادى عسارى، وادى بنى مالك، ووادى مصعب،

تبين أن مساحة المروحة الفيضية تمثل ما يقرب من ثلث مساحة حوض التصريف حيث كانت نسبة مساحة المروحة إلى حوض التصريف في الأودية السابق الإشارة إليها على التوالي هي ٣١,٢٥٪ و ٣٤,٦٥٪ و ٣٤,٦٧٪، وهذا يتفق مع دراسة ديني (Denny, 1965, p.38) عن المراوح الفيضية في Death Valley.

(٣) الظاهرات الجيومورفولوجية الناتجة عن الإرساب بفعل الرياح:

ويمثلها بالمنطقة الكثبان الرملية المنخفضة، التي لا يزيد إرتفاعها عن مترين، وتوجد بعض الكثبان الهلالية التي لا يزيد إرتفاعها عن ٥ متراً عند النهاية الشرقية لجبل الحمراء. وهي تشغل مساحة صغيرة جداً (Moore & Rehaili, 1989, p.47).

كذلك تنتشر الفرشات الرملية في المناطق الداخلية، وفي الجانب المظاهر للحافات الداخلية من السهل الساحلي. كما تتمدد فرشات الرمال لتشغل مساحة كبيرة من القسم الجنوبي من منطقة الدراسة. إلى الجنوب من مصب وادي فاطمة. وهي تتكون من رمال يتراوح حجمها بين المتوسط والناعم. ويغطي السطح بالرمال الخشنة فقط، حيث تقوم الرياح بحمل الرمال الناعمة من الطبقة السطحية. ويغطي سطح فرشات الرمال بالتموجات الرملية.

الخاتمة

أوضح تحليل الخريطة الجيومورفولوجية للمنطقة الممتدة من خور أبهر وحتى خور السود أن هذه المنطقة تنتشر بها العديد من الظواهر الجيومورفولوجية، بعضها ظواهر نشأت عن التعرية البحرية والبعض الآخر عن التعرية النهرية، أو الرياح. ومن أهم النتائج:

١- أوضحت الدراسة أن للتكوين الجيولوجي دوراً في شكل ونوع وتطور الظواهر الجيومورفولوجية. فعلى سبيل المثال تمثل تكوينات الحرات والبالزلات والشست والكوارتز التلال الممتدة على طول الجانب الشرقي لمنطقة الدراسة، بينما تتكون المدرجات البحرية من تكوينات الحجر الجيري المرجان.

٢- يتبين من الدراسة أن درجة إنحدار السطح، لعبت دوراً هاماً في تكوين وتشكيل خصائص الظواهر الجيومورفولوجية بالمنطقة، حيث تكونت بعض السبخات الساحلية نتيجة لإنخفاض منسوب السطح وشبه إستوائه، مما ساعد على طغيان مياه الأمواج وتيارات المد عليها، وتكوين السبخات.

كما أدى التغير الفجائي في درجة إنحدار السطح، عند أقدام الكتل الجبلية المنتشرة، شرق منطقة الدراسة إلى تكوين المراوح الفيضية لمجموعة الأودية، التي تنبع من قمم هذه التلال وتصب عند أقدامها.

٣- لعبت الخصائص المناخية للمنطقة موضوع الدراسة دوراً في تكوين بعض الظواهر الجيومورفولوجية بها. فعلى سبيل المثال تمثل دور الخصائص المناخية في عصر البلايستوسين، في تكوين شبكة الأودية التي تقطع سطح الجزء الشرقي من منطقة الدراسة. كما أسهمت التغيرات المناخية في عصر البلايستوسين في تكوين شبكة الأودية، التي تقطع الجزء الشرقي من منطقة الدراسة. كما أسهمت التغيرات المناخية في هذا العصر، في تكوين المدرجات النهرية الممتدة على جانبي بعض هذه الأودية. أما الخصائص المناخية الحالية فقد لعبت دوراً هاماً في تكوين ظاهرة السبخات، وتكون فرشات الرمال والكثبان الرملية السابق الإشارة إليها.

٤- من دراسة درجات إنحدار سطح التلال فى المنطقة موضوع الدراسة، تبين أنها قد تراوحت بين ٣ درجات و ٥٥ درجة، وأن الزاوية المميزة هى ٥ درجة. وتتخذ سفوح التلال شكل السفوح المحدبة المقعرة، وأن الشكل العام للسفوح بالمنطقة هو الشكل المخدب.

٥- تزيد معدلات النحت البحرى فى القسم الشمالى من الساحل، بالمنطقة موضوع الدراسة فى الجزء الممتد من خور أبهر وحتى منطقة جزيرة غراب. وقد وضعت الكتل الصخرية فى المناطق التى يزيد فيها معدلات النحت البحرى. وتنتشر بالمنطقة عدد من الظواهر الجيومورفولوجية الناتجة عن نحت الأمواج، التى سبق الإشارة إليها مثل الخلجان والأخوار والمدرجات البحرية.

٦- تسود عمليات الإرساب البحرى فى القسم الجنوبى من منطقة الدراسة نتيجة لإنخفاض السطح بهذه المنطقة وإنخفاض معدلات الإنحدار بها. وقد نتج عنها تكوين عدد من الظواهر الجيومورفولوجية مثل البحيرات الساحلية والشواطئ الرملية، وقنوات المد والجزر والسبخات.

٧- أسهمت عمليات التعرية المختلفة فى تكوين بعض الظواهر بالمنطقة، مثل الأخوار البحرية والتى بدأ تكوينها بفعل عوامل التعرية المائية أثناء الفترات المطيرة السابقة، ثم أكمل تكوينها عمليات التعرية البحرية، مثل الأمواج والتيارات البحرية.

٨- أوضحت الدراسة السابقة أن بالمنطقة الكثير من الأراضى القابلة للإستصلاح، وتحويلها إلى أراضى زراعية. ويتمثل ذلك فى مناطق السهول الفيضية للأودية ومناطق المراح الفيضية، وخاصة بمنطقة مصب وادى فاطمة، كما تمثل هذه المناطق وخاصة مناطق المراح الفيضية، أراضى صالحة لإقامة مراكز للإستقرار البشرى. كما تمتد على طول خط الساحل إلى الجنوب من مدينة جدة مساحات كبيرة صالحة لإقامة مراكز الإستقرار البشرى، وإقامة القرى السياحية للإستفادة من منطقة الساحل المتعددة المزايا من مناخ جيد خلال فترة الربيع والشتاء، والشواطئ ذات الرمال الناعمة ومياه البحر الأحمر، التى يمكن

الإستفادة منها فى السباحة والرياضات المائية والغوص للتمتع بمشاهدة الشعاب المرجانية.

٩- أوضحت الدراسة أنه لا توجد أخطار طبيعية بالمنطقة تقف عائقاً أمام إقامة مركز للإستقرار البشرى، أو مد الطرق، أو إستصلاح الأراضى للزراعة.

١٠- يمكن الإستفادة من بعض الظواهرات الجيومورفولوجية المنتشرة بالمنطقة، والتي لا يتم إستغلالها حالياً مثل السبخات. وذلك من خلال إستغلال العناصر الكيميائية التى تحتويها رواسب هذه السبخات، مثل أملاح الهاليت، والمغنسيوم وغيرها.

المراجع العربية :

- ١- أبو العينين، حسن سيد أحمد، (١٩٨٩):
«السهول الساحلية فيما بين رأس دبا وخور كلبا على الساحل الشرقى لدولة الإمارات العربية المتحدة»، مجلة الجمعية الجغرافية الكويتية، فبراير.
- ٢- الرويشي، محمد أحمد (١٩٨٣):
«الموانئ السعودية على البحر الأحمر»: دراسة فى الجغرافيا الإقتصادية، الطبعة الأولى، مؤسسة الرسالة.
- ٣- الشنطى، أحمد محمود سليمان (١٩٩٣):
«جيولوجية الدرع العربى»، مركز النشر العلمى، جامعة الملك عبد العزيز، جدة.
- ٤- المهندس، أحمد عبد القادر، السنوسى، محمد يحيى (١٩٨٣):
«مبادئ الجيولوجيا العامة»، دار عالم الكتب للنشر والتوزيع.
- ٥- إمبابى، نبيل سيد، وعاشور، محمود محمد (١٩٨٣):
«الكتبان الرملية فى شبه جزيرة قطر»، مركز الوثائق والبحوث الإنسانية، جامعة قطر، الدوحة.
- ٦- إمبابى، نبيل سيد، (١٩٨٤):
«التفخلل البحرى فى الساحل القطرى»، مجلة الجمعية الجغرافية الكويتية، أكتوبر.
- ٧- سليم، محمد صبرى محسوب (١٩٨٦):
«جيومورفولوجية السواحل»، دار الثقافة، الطبعة الأولى، القاهرة.
- «مناخ مدينة جدة»، مجلة كلية الآداب والعلوم الإنسانية المجلد الثانى.

المراجع الأجنبية :

1- Al Jerash, M. A., (1989):

"Date for Climatic Water Balance In Saudi Arabia (1970-1986)".
Sci. Pub. Cent. King Abdu El- Eziz Univ. Jeddah.

2- Brown, G.F., (1970):

"Eastern Margine of the Red Sea and the Coastal Structure in Saudi Arabia", Philosophical Transaction of the Royal Society of London, A. 267.

3- Cooke, R.U. & Doornkamp, J.C., (1975):

"Geomorphology in Environmental Managements: An Introduction," Oxford, London.

4- Davis, J.L., (1977):

"Geographical Variations in coastal Development" No.4 In Geomorphology Texts. Edited by K.M. Clayton, Longman, London.

5- Denny, C.S., (1965):

"Alluvial Fans In the death Valley Region, California and Nevada, G.S. Professional Paper, 466, Par.II.

6- Doornkamp, J.C., & King, C.A., (1971):

"Numerical Analysis In Geomorphology," Bulter, Tanner, Ltd. London.

7- Khallaf, H.M., (1980):

"The Reconnaissance Geologic Map of the Jiddah North Quadrangle, Sheet 21/39A. "Kingdom of Saudi Arabia, Compiled by

D.J. Grainger, Saudi Arabia Direct. Gen. of Mine. Res. Open-File Report D.G.M.R. -753, 1:100000 Scale.

8- Leopold, L.B., Wolman, M.G., & Miller, J.P., (1964):

"Fluvial Processes In Geomorphology" Freeman, San Francisco.

9- Mabutt, J.A., (1977):

"Desert Landforms," First Edition, The Mit Press, Cambridge.

10- Moore, T. a., & Rehaili, M. H., (1989):

"Geologic Map of the Makah Quadrangle" Kingdom of Saudi Arabia, Ministry of Petroleum and Mineral Resources.

11- Morris, P.G., (1975):

"Construction Materials, Nonmetallic Mineral Occurrences and Engineering Geology of the District Around Jiddah, Kingdom of Saudi Arabia, Saudi Arabia Direct. Gen. of Miner. Res. Tech. Reco. TR-1975.

12- Pallister, J.S., (1986):

"Explanatory Notes to the Geologic Map of the Al Lith Quadrangle" Sheet 20D, King of Saudi Arabia, Min. of Petrol. and Mine. Reso.

13- Skmiba, W.J. & Others, (1977):

"Geology of the Jiddah- Makah Area (21°/39°) Kingdom of Saudi Arabia, Compiled by W.J. Skiba Saudi Arabian Directorate. General of Mineral Resou. Unpub. Bull.

14- Skipwith, P., (1973):

"The Red Sea and Costal Plain of the Kingdom of Saudi Arabia":
Saudi Arabian Directorate General of Mine. Resous. Techn. Reco.
TR-1973.

البحث السادس

سبخات السهل الساحلي لمدينة جدة

خصائصها الجيومورفولوجية وكيفية الاستفادة منها

Egyptian Journal of Applied Science, Vol. 10,

No. 9, 1995

سبخات السهل الساحلي لمدينة جدة خصائصها الجيومورفولوجية وكيفية الاستفادة منها

المقدمة:

السبخات ظاهرة عالمية، تنتشر في معظم المناطق الصحراوية في العالم، كما أنها تمثل أبرز الظواهر الطبيعية التي تميز كثيراً من جهات السهل الساحلي الشرقي للبحر الأحمر، والمعروف بسهل تهامة.

والسبخة (Sabkah) بحيرة مؤقتة أو مستنقع قلوى غنى بالأملاح، توجد عادة في الأقاليم الجافة، وتنتهي إليها بعض المجاري الصحراوية (توني، ١٩٧٧، ص ٢٦٤)، ومن أفضل التفسيرات العلمية لما تعنيه كلمة سبخة ما ذكره جلينى من أن كلمة سبخة تعنى المسطحات الملحية (Salt Flats)، التي تتركز فوق تكوينات من الصلصال والغرين والرمال، وغالباً ما تغطي بقشور ملحية (سليم، ١٩٩١، ص ٢٩٥) ويعظم إنتشار الرواسب الملحية فوق أرضية السبخات البحرية الملحية بعد تعرض مياه الأخيرة للتبخر، وبذا تترسب طبقات الملح على السطح، وترمز كلمة بلایا (Playa) في اللغة الإسبانية إلى السواحل المستنقعية، وإذا كانت هذه المستنقعات تحتوى على بعض المياه فتعرف بإسم بحيرات البلایا (Playa Lakes) أو السبخات البحرية (أبو العينين، ١٩٧٦، ص ٦٣٢، ٦٣٤).

وقد أوضحت دراسة الخرائط الجغرافية والطبوغرافية والجيولوجية، وكذلك الصور الجوية لمنطقة جدة؛ أن السبخات تشغل مساحة كبيرة من السهل الساحلي لمدينة جدة، وهي ظاهرة من أكثر الظواهر الجيومورفولوجية وضوحاً في هذا السهل، فضلاً عن إنتشارها في كثير من المناطق الداخلية من المملكة العربية السعودية. لذا فظاهرة السبخات جديرة بالدراسة، لمحاولة تحديد الخصائص الجيومورفولوجية العامة لها، وإقتراح كيفية الإستفادة منها.

وتهدف دراسة «سبخات السهل الساحلى لمدينة جدة» - خصائصها الجيومورفولوجية وكيفية الإستفادة منها» إلى :-

- ١- تحديد المظهر الجيومورفولوجى العام للسبخات فى منطقة الدراسة، ثم دراسة أشكال السطح الدقيقة المنتشرة عليها، إذ أن السبخات ذات مظهر جيومورفولوجى متميز، كما تنتشر فوق سطحها بعض أشكال السطح الدقيقة.
- ٢- دراسة خصائص الرواسب التى تتكون منها السبخات، والمختلفة عن الرواسب المحيطة بها. وتأتى هذه الدراسة من خلال إجراء تحليل ميكانيكى لعينات من رواسب السبخات فى منطقة الدراسة.
- ٣- محاولة تفسير نشأة السبخات ومراحل تطورها، والظروف المناخية والتضاريسية والجيولوجية والهيدرولوجية التى أسهمت فى ذلك، ومحاولة إلقاء الضوء على التاريخ الجيومورفولوجى لسطح منطقة الدراسة؛ خاصة فيما يتعلق بتذبذب منسوب سطح البحر والتغيرات المناخية.
- ٤- إقتراح كيفية الإستفادة من السبخات من النواحي الإقتصادية المختلفة.

منطقة الدراسة :

تقع منطقة الدراسة فى السهل الساحلى الشرقى للبحر الأحمر، وتمتد لنحو ٣٠ عرضية؛ ما بين ٢٢ ١٥ و ٢٢ ٤٥ شمالاً، كما تمتد لنحو ١٥ طولية؛ ما بين ٣٩ ١٥ و ٣٩ ١٥ شرقاً- شكل (٥٣).

ويمثل الحد الشرقى للسهل الساحلى لمدينة جدة سلسلة من التلال؛ تمتد من منطقة بحرة فى الجنوب الشرقى حتى جبل الحرة شمالاً؛ أهمها: القلعة، وموفيا، وتندوب، وبريمان. ويقطع هذه الكتل الجبلية عدد من الأودية، منها: وادى فاطمة (الذى يمثل الحد الجنوبى لمنطقة الدراسة)، ووادى مصعب، ووادى بنى مالك. ووادى عسارى، ووادى الكراع. أما الحد الشمالى فيمتد فى خط طولى بين جبل الحرة ومنطقة القصر القديم على ساحل البحر الأحمر، والحد الغربى يتمثل فى ساحل البحر الأحمر الممتد من مصب وادى فاطمة فى الجنوب من شبه جزيرة الرأس الأسود، حتى

منطقة القصر القديم؛ في شمال خليج أبهر، شكل (٥٣).

وتنتشر السبخات في منطقة الدراسة، ويتصل بعضها بمياه البحر من خلال ممرات مائية ضيقة، كما هو الحال في السبخة الواقعة جنوب مدينة جدة والمطلّة على غوب أبو كلاب، والسبخات المتصلة بخور أبهر شمالاً. وبعض السبخات لا تتصل بالبحر، مثل السبخات التي تقع في منطقة أبهر الجنوبية، كما أن بعض السبخات تقع في مصبات بعض الأودية السابق الإشارة إليها، مثل سبخة (م)، التي تقع في مصب وادي فاطمة، وسبخة (د) التي تقع في مصب وادي الكراع، وسبخة وادي الكراع، شكل (٥٣).

الدراسة الميدانية :

إقتضت طبيعة موضوع الدراسة إجراء دراسة ميدانية في عدد من الزيارات إلى مختلف مواضع المنطقة، في فترات مختلفة، وفصول مختلفة؛ تخللت نحو العامين، من يناير ١٩٩٣ إلى يناير ١٩٩٥، لملاحظة التغيرات التي تطرأ على السبخات، وتسجيلها، ومحاولة تفسيرها بعد فحص العينات الاختبارية التي تم جمعها خلال الزيارات الميدانية.

- وفي الدراسة الميدانية تمت دراسة أشكال سطح السبخات، للتعرف على خصائصها العامة، وأشكال السطح الدقيقة المنتشرة فوق أسطح السبخات. وأمكن قياس أبعاد بعض هذه الأشكال وتسجيلها، وخاصة النباك.

- ولدراسة الرواسب السطحية، تم جمع ١٢ عينة من رواسب السبخات، وتراوح عمق العينات بين بضعة سنتيمترات و ٣٠ سم، إذ كان عمق العينة يتوقف على مستوى الماء تحت الأرضي، وخضعت هذه العينات للتحليل الميكانيكي، وسجلت النتائج.

- ولدراسة التتابع الاستراتيجي لتركيبات السبخات، عمل قطاعان لتحديد الخصائص الليثولوجية والنسيج واللون والسمك ودرجة واتجاه الميل.

- كما تمت دراسة منسوب الماء تحت الأرضي في بعض السبخات.

الأحوال المناخية :

يؤثر الموقع الفلكي لمنطقة الدراسة على أحوالها المناخية؛ فتنقسم السنة إلى فصلين رئيسيين:

- الصيف:

ويتميز بالحرارة، ويبدأ من مايو إلى أكتوبر، وأعلى الشهور حرارة شهر يونية، عندما تتعامد أشعة الشمس على خط عرض مدينة جدة، وتسجل الحرارة العظمى في معظم شهور الصيف؛ بدرجات تتراوح بين ٤٠ إلى ٤٥ م، بينما درجات الحرارة الصغرى تكون بين ٢٠ و ٢٥ م. وفي هذا الفصل تقع المنطقة تحت تأثير الضغط المرتفع دون المداري، وعندما تشتد الحرارة يحدث ضغط منخفض في الطبقات السفلى، فتسود رياح شمالية تخفف من إرتفاع درجة الحرارة، كذلك يؤثر إمتداد البحر في تلك الرياح فيجعلها شمالية غربية. ونتيجة لتكوين منخفضات محلية يحدث جذب للكتل الهوائية الحارة، فتهب رياح محلية تزيد من إرتفاع درجات الحرارة والغبار، وقد سجلت محطة أرصاد جدة ٤٩ يوماً من العواصف الترابية؛ خلال عشر سنوات.

ويتميز فصل الصيف بإرتفاع نسبة الرطوبة، حيث تتراوح قيمة الرطوبة النسبية بين ٩٠٪ إلى ٩٥٪، ويسجل شهر سبتمبر أعلى معدلات الرطوبة النسبية، كما يشكل الضباب ظاهرة متكررة بمنطقة الدراسة فمجموع أيام الضباب التي سجلت خلال عشر سنوات وصلت إلى ٧٢ يوماً.

كما تزيد في هذا الفصل معدلات التبخر زيادة واضحة، حيث تصل في شهر يولية إلى ١٩٩.٩ مم (El Jerash, 1989, p.255).

- الشتاء :

في هذا الفصل يزداد نفوذ الضغط المرتفع دون المداري، ويمتد جنوباً بسبب تعامد أشعة الشمس على مدار الجدى، ويتكون ضغط مرتفع قارى يسيطر على سيبيريا، وتمتد أطرافه الجنوبية الغربية إلى هوامش شبه الجزيرة العربية، ويصاحب ذلك موجات من

البرودة، تصل إلى أجزاء من شمالي المملكة العربية السعودية، وقد يصل هذا الهواء البارد أحياناً إلى جدة، وفي هذه الحالة تنخفض درجة الحرارة الصغرى إلى ما يتراوح بين ١٣ إلى ١٥ م، وتسيطر الرياح الشمالية على مدينة جدة، ومن الظواهر الجوية المهمة في هذا الفصل تطرف المنخفضات الجوية المتوسطة نحو الجنوب، فتتمر بجدة، ويحدث لقاء بين الهواء البارد والدافئ، وقد يصاحب هذا سقوط أمطار.

وتتمتع جدة بمناخ معتدل في أغلب شهور الشتاء، فتتراوح درجة الحرارة العظمى بين ٣٠ و ٣٥ م في شهور نوفمبر وديسمبر ويناير وفبراير، وتتراوح درجة الحرارة الصغرى بين ١٥ و ١٩ م وتسجل في ديسمبر ويناير أدنى من ذلك قليلاً، أما المتوسط اليومي للحرارة في معظم شهور الشتاء فيتراوح بين ٢٢ و ٢٥ م.

وتنخفض الرطوبة النسبية في الشتاء، وتظهر السحب في سماء جدة عند وصول الكتل الهوائية المتوسطة، وتسقط معظم أمطار جدة في نوفمبر وديسمبر ويناير. وقدر متوسط الأمطار السنوية التي سقطت على جدة خلال ٢٤ سنة بنحو ٦٢ مم. وتتصف الأمطار بالعشوائية وعدم الانتظام (بكر، ١٤٠٨ هـ، ص ٩٠٧).

وفي هذا الفصل يصل معدل التبخر إلى ٨٧، ١ مم في شهر يناير (El Jerash, p. 255) وتوضح النسب المئوية لإتجاهات الرياح في مدينة جدة أن الاتجاه السائد للرياح هو شمال الشمال الغربي؛ حيث يمثل ٤٠٪ من المجموع الكلي للإتجاهات، يليه إتجاه الشمال؛ ويمثل ٢٥٪، ثم إتجاه الشمال الغربي ٢٠٪ ثم الغربي ١٥٪ من المجموع الكلي للإتجاهات.

وللرياح تأثير واضح على ظاهرة السبخات موضوع الدراسة، فهي تؤثر على مياه البحر، وتتحكم في سرعة عمليات المد والجزر (الرويشي، ١٩٨٣، ص: ٨٤) ولهذا تأثيره الواضح على السبخات.

التكوين الجيولوجي:

من دراسة الخرائط الجيولوجية ومطابقتها للطبيعة خلال الدراسة الميدانية، يتضح أن

السهل الساحلى لمدينة جدة، تغطيه إرسابات الزمن الرابع، فضلاً عن أن أحواض التصريف الداخلية تصب فى هذا السهل الساحلى، ويمكن تصنيف هذه الإرسابات إلى:

(١) الحجر الجيري المرجاني المرتفع (Reef Lime stone)

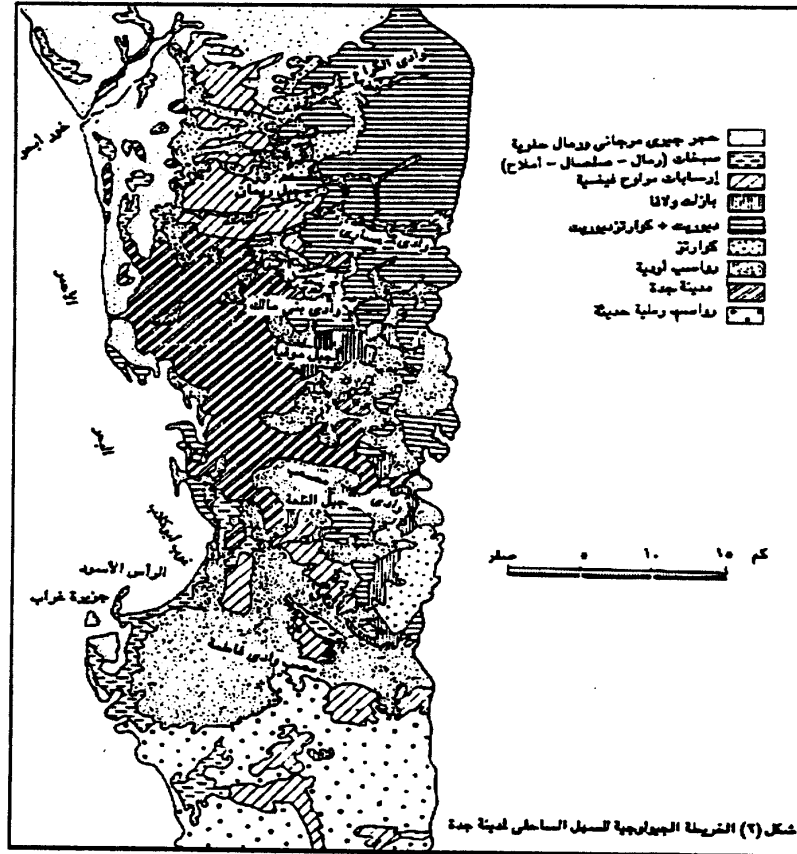
وهى أقدم التكوينات، وتمتد على طول السهل الساحلى شمال مدينة جدة، حيث توجد السبخات الشمالية - شكل (٥٤). ويتراوح عرض مكشف الطبقات بين ٥ كم إلى ١٠ كم، ويصل العرض جنوب جدة إلى أقل من كيلومتر واحد. ويغطى الحجر الجيرى المرجانى بالحصى وإرسابات المراوح الفيضية بالتقدم نحو الشرق. ويلاحظ أن الحجر الجيرى المرجانى قد تغمره المياه فى بعض المناطق، وفى مناطق أخرى يرتفع فيها بما يتراوح بين ٣ إلى ٦ أمتار فوق منسوب سطح البحر، وهو غير واضح لأنه مغطى بالرمال الحفريّة (Fossil Rich Sand) الغنية بالقواقع، وتختلط أحياناً بالرمال الهوائية ورمال الشاطئ ونباتات المستنقعات التى تحملها الأمواج، ويمتاز الحجر الجيرى بأنه كتلى، وأثبتت القطاعات أن سمكه شمال مدينة جدة يتراوح بين ٢ م إلى ١٠ أمتار (Moore & Rehaili, 1989, p.46).

(٢) إرسابات المراوح الفيضية (Fan Deposits)

وتتكون من حصى متوسط، حجمه أقل من ١٠ سم، ويختلط بالرمال، ويتداخل مع إرسابات السهل الفيضى، وبصفة عامة يتناقص حجم الحصى وتسود الرمال بالإتجاه من رأس المروحة نحو أطرافها. وفى بعض المناطق تميل المراوح لتكوين مواد ترابية عند أقدام الحافات، وتختفى المراوح تحت إرسابات الهشيم عند أقدام التلال، وتساهم هذه الإرسابات فى تكوين السبخات المنتشرة داخل هذه المراوح الفيضية.

(٣) رواسب المدرجات النهرية (River Terraces Deposits)

وتنتشر فى الأودية، ويتراوح إرتفاعها بين ٣ إلى ٤ أمتار، وتتكون من حصى خشن مختلط بالرمال، وتغطيها طبقة من الحصباء والجلاميد.



شكل (٥٤)

الخريطة الجيولوجية للساحل لمدينة جدة

(٤) إرسابات الهشيم (Talus Deposits):

وتتكون من شطايا صخرية حادة الزوايا، غير مصنفة من أحجام مختلفة.

(٥) إرسابات الأودية (Wadi Deposits):

وتتملأ مجارى الأودية، وتتكون من رمال وحصى مفكك، ذى تصنيف من متوسط إلى ضعيف، ويختلف سمك الطمي ودرجة تصنيفه وحجمه وشكله من منطقة إلى أخرى.

(٦) الرمال الهوائية (Eolian Sand):

وتنتشر أقصى جنوب منطقة الدراسة على شكل أكوام بين التلال السابق الإشارة إليها، كما توجد على شكل كتبان رملية هلالية لا يزيد إرتفاعها على ٥ م جنوب شرق مدينة جدة، وتحرك الرواسب الرملية مع هبوب الرياح ذات السرعات العالية.

(٧) رواسب السبخات (Sabkahs Deposits):

وهى رواسب مختلفة ساهمت فى تكوينها جميع التكوينات الجيولوجية السابق الإشارة إليها؛ عن طريق ما تحمله إليها الرياح أو مياه السيول، ويلاحظ أن السبخات تنتشر فى المناطق ذات المناسيب المنخفضة القريبة من الساحل، وهى مناطق مستوية ملحية طمئية؛ تغطى بطبقة رقيقة ملحية.

خصائص السطح :

تنتشر السبخات فى السهل الساحلى لمدينة جدة التى لعبت خصائص سطحه دوراً مهماً فى تكوين السبخات موضوع الدراسة. وتبلغ مساحة السهل الساحلى نحو ٤١٨ كم^٢، ويتراوح عرضه بين ٨ كم فى الجنوب ويصل إلى ١٨ كم فى الشمال، وتغطى السبخات مساحة تقرب من ٣٠ كم^٢، أى ما يعادل نحو ٧,٢ ٪ من إجمالى السهل الساحلى.

ويمكن تقسيم السهل الساحلى لمدينة جدة إلى قسمين:-

- قسم شرقي:

وهو أرض مرتفعة، تمثل أقدام سلسلة التلال التى تظهر شرق السهل الساحلى، والسابق الإشارة إليها، ويتراوح إرتفاعها بين ٣٠ م إلى ٥٠ م، ويقطع هذه التلال عدد من الأودية التى تنتهى فى السهل الساحلى. وتقوم هذه الأودية بدور مهم فى نقل مياه السيول التى تعقب سقوط الأمطار الفجائية إلى السهل الساحلى، إلى جانب إرتفاع مناسب المياه تحت الأرضية فى قيعانها، فعلى سبيل المثال، يصل عمق المياه تحت الأرضية فى وادى عسارى نصف متر تحت السطح، ولهذا أثره الواضح فى تكوين السبخات.

- قسم غربي:

وهو أرض مستوية منخفضة المنسوب؛ لا يتجاوز الإرتفاع فى أجزاء كثيرة منها على مستوى سطح البحر؛ وبصفة عامة يتراوح الإرتفاع بين ٨٠ سم إلى ٣ أمتار (الحمدان، ١٤١٠ هـ، ص ٣٢ و ٣٣)، وقد ساهمت هذه الأراضى المنخفضة المنسوب فى تكوين السبخات.

الخصائص العامة للسبخات «الأبعاد - الشكل - المساحة»:

تنتشر السبخات غرب السهل الساحلى لمدينة جدة، وتمثل أحد أشكال السطح الرئيسية فى هذا السهل الساحلى، وبلغ إجمالى عدد السبخات فى منطقة الدراسة ١٥ سبخة؛ منها ٨ سبخات ساحلية متصلة بمياه البحر الأحمر عن طريق قنوات مائية ضيقة، و٧ سبخات داخلية تقع شمال وجنوب المناطق السكنية لمدينة جدة. تتراوح أطوال السبخات بصفة عامة بين ١ كم و ٢٥٠ و ١٧ كم، ويتراوح متوسط عرضها بين ٥٠٠ متر و ٨٣٣ كم، وتتراوح مساحتها بين ٢٣٠٠ م^٢ و ٩,٧٥٠ كم^٢. جدول (١).

وتعتبر السبخة (ن) التى تقع شرق منطقة الرأس الأسود أكبر السبخات من حيث المساحة والأبعاد، والتى يصل طولها إلى ١٧,٢٥٠ كم، ومتوسط عرضها ١,٧٥٠ كم، وتبلغ مساحتها ٩,٧٥٠ كم^٢. شكل (١)، وبصفة عامة تتخذ السبخات الشكل الطولى

فيما عدا السبخات (و-ز) فهي تتخذ شكلاً شبه دائري. ويمكن تصنيف السبخات بمنطقة الدراسة إلى نوعين، هما:

(١) سبخات ساحلية :

ويمثلها بالمنطقة السبخات (ب، ج، د، هـ) وتمتد على ساحل خليج أبهر، والسبخات (أ، ك، ن، ي) وتمتد على ساحل البحر الأحمر

جدول (١) أبعاد السبخات

الموقع	رقم السبخة	نوع السبخة	طول كم	متوسط العرض كم	المساحة كم
شمال خليج أبهر	أ	ساحلية	٥.٥	٠.٨٧٥	٣.١٢٥
شمال خليج أبهر	ب	ساحلية	٢.٠	٠.٥	٠.٨٠
شمال خليج أبهر	ج	ساحلية	٣.٥	١.١٢٥	١.١٢٥
مصب وادي الكراع	د	ساحلية	٢.٥	١.٣٧٥	٠.٦٢٠
جنوب خور أبهر	هـ	ساحلية	٢.٥	٠.٨٧٥	٠.٤٢٥
أبهر الجنوبية	و	داخلية	٢.٥	٠.٨٧٥	٠.٧٥٠
أبهر الجنوبية	و	داخلية	١.٠	٠.٧٥	٠.٣٠
أبهر الجنوبية	ز	داخلية	٢.٠	١.٢٥	٠.٦٧٥
شمال مدينة جدة	س	داخلية	٣.٠	١.٠	٠.٩٢٥
غرب مطار الملك عبد العزيز	ص	داخلية	٤.٠	١.١	١.١٧٥
جنوب مدينة جدة	ك	ساحلية	٤.٥	٠.٧٥	١.١
جنوب مدينة جدة	ل	داخلية	١.٧٥	١.١٦٧	١.٠٧٥
مروحة وادي فاطمة	م	داخلية	٥.٠	١.٠	١.٢٥٠
شرق الرأس الأسود	ن	ساحلية	١٧.٢٥	١.٧٥	٩.٧٥٠
جنوب جزيرة رأس غواب	ي	ساحلية	٦.٢٥	١.٨٣٣	٦.٥٠

شكل (٥٣) ، حيث تقع السبخة (أ) . فى أبهر الشمالية والسبخة (ك) جنوب المدينة الصناعية، والسبخة (ن) تمتد على ساحل البحر الأحمر إلى الشرق من غوب أبو كلاب، والسبخة (ى) التى تقع على ساحل البحر الأحمر جنوب جزيرة رأس غراب.

وبلغ عدد السبخات الساحلية ٨ سبخات، إجمالى مساحتها ٢٣,٤٤٥ كم^٢ وتتراوح أطوالها بين ٢ كم و ١٧,٢٥ كم، وتتراوح متوسط عرضها بين ٥٠٠ متر و ١,٨٣٣ كم، وتتراوح المساحة بين ٢٤٢٥ م^٢ و ٩,٧٥٠ كم^٢، وأكبر هذه السبخات السبخة (ن) الواقعة شرق غوب أبو كلاب، وبهذا يلاحظ أن السبخات الساحلية أكثر إنتشاراً من السبخات الداخلية، فهى تشغل ما يعادل ٥٠,٦١ ٪ من إجمالى مساحة السهل لمدينة جدة، ويرجع ذلك إلى إستواء الساحل وتدنى مناسيبه، ويلاحظ أن هذه السبخات ترتبط بالتداخلات الساحلية مثل السبخات (ب، ج، د، هـ) ، وهى ترتبط بخليج أبهر، والسبخات (أ، ك، ن، ى) تتصل بالبحر الأحمر عن طريق قنوات مائية ضيقة، ولهذا فإن هذه السبخات ترتبط فى نشأتها وتطورها إرتباطاً وثيقاً بالظروف الساحلية.

(٢) سبخات داخلية:

ويمثلها بالمنطقة السبخات (و- و- ز) وتقع فى أبهر الجنوبية، والسبختان (س، ص) وتقعان فى حى المحمدية شمال مدينة جدة، والسبختان (ل، م) وتقعان جنوب مدينة جدة، حيث تقع السبخة (ل) جنوب شرق المدينة الصناعية، والسبخة (م) فى مصب وادى فاطمة.

وبلغ عدد السبخات الداخلية ٧ سبخات، إجمالى مساحتها ٦,١٥ كم^٢ أى ما يعادل نحو ١,٤٧١ ٪ من إجمالى مساحة السهل الساحلى لمدينة جدة، وتتراوح أطوال هذه السبخات بين ١ كم و ٥ كم، وتتراوح متوسط العرض بين ٠,٧٥ كم و ١,١٦٧ كم، وتتراوح المساحة بين ٣٠٠ م^٢ و ١,٢٥٠ كم^٢ . وأكبر السبخات من حيث المساحة السبخة (م) التى تقع فى مصب وادى فاطمة، يليها السبخة الواقعة إلى جنوب شرق المدينة الصناعية، ويلاحظ أن هذه السبخات لا تتصل بالبحر إتصلاً مباشراً فى الوقت

الحاضر وقد ترجع نشأتها إلى التذبذب في منسوب الماء تحت الأرضي.

نتائج التحليل الميكانيكي لرواسب السبخات:

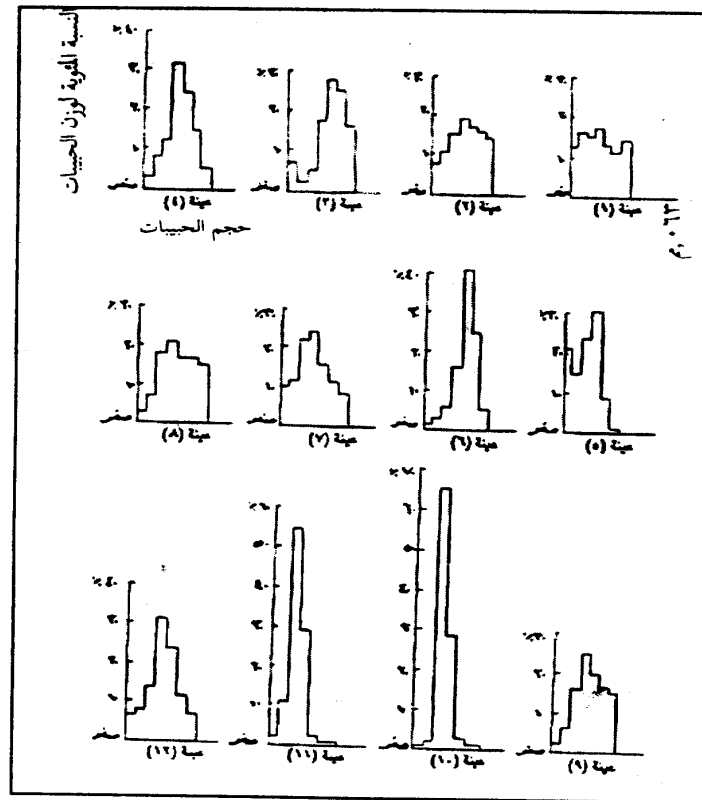
(١) التحليل الحجمي لرواسب السبخات Size Analysis:

تهدف الدراسة هنا إلى إجراء تحليل وصفي كمي دقيق عن رواسب السبخات؛ من حيث الحجم والتصنيف والشكل والتكوين الليثولوجي، كما أنها تفيد في محاولة استنتاج نشأة السبخات. ولتحقيق هذا الهدف تم جمع عدد (١٢) عينة من السبخات موضوع الدراسة منها ٤ عينات من السبخات الداخلية و ٨ عينات من السبخات الساحلية، شكل (٥٢)، وقد تم تحليل هذه العينات باستخدام طريقة التحليل بالمناخل Sieve Analysis، وقد تم الاعتماد على مقياس ونتورث Wentworth Index لحجم الرواسب، ويوضح الجدول رقم (٢) نتائج التحليل الحجمي للعينات السابق الإشارة إليها، ومن الشكل (٣) الذي يمثل نتائج التحليل الحجمي للعينات يلاحظ مايلي:-

١- ارتفاع نسبة الرمال بأحجامها المختلفة؛ التي تتراوح بين الرمال الخشنة والرمل الناعمة جداً في جميع العينات؛ حيث تراوحت نسبة الرمل بين ٧٢,٦٤٪ و ٩٩,٠٤٪ من إجمالي وزن جميع العينات.

٢- يلاحظ أن نسبة الرمال ترتفع في عينات السبخات الجنوبية (جنوب مدينة جدة) عن السبخات الشمالية (شمال مدينة جدة) حيث تتراوح نسبة الرمال في الأولى بين ٨٣,٩٪ و ٩٩,٠٤٪؛ بينما تتراوح النسبة في الثانية بين ٧٢,٦٤٪ و ٨١,٥٦٪، ويرجع ذلك إلى الاختلاف في التكوين الجيولوجي للمنطقة التي توجد فيها السبخات، فيلاحظ من الخريطة الجيولوجية- شكل (٥٤) أن المناطق المحيطة بالسبخات الشمالية تتكون من حجر جيري مرجاني ورواسب الأودية، أما السبخات الجنوبية فهي قريبة جداً من الرمال الهوائية التي تشغل مساحة شاسعة جنوب منطقة الدراسة، وتحملها الرياح إلى مناطق السبخات.

٣- من الشكل (٥٥) يلاحظ وجود قمة في فئة الرمل المتوسط (٠,٥٠ مم) في العينات أرقام (١، ٢، ٤، ٥، ٧، ٨، ٩، ١٢)، حيث تراوحت النسب بين



شكل (٥٥)
نتائج التحليل الحجمي لرواسب السبخات في السهل الساحلى لمدينة جدة

جدول (٢)
نتائج التحليل الحجمي لرواسب السبخات

نقطة السبخة	متوسط الحجم	النسبة المئوية لوزن حجم العينة (بالألفين)							رمز العينة	موقع العينة	رقم العينة
		٠,١٢ مم	٠,١٢٥ مم	٠,٢٥ مم	٠,٥٠ مم	١ مم	٢ مم	٤ مم			
داخلية	١,٧٤٣	١٤,٥٤	١٠,٧٨	١٢,٨٦	١٧,٥٠	١٥,٠٦	١٦,٤٤	١٢,٨٢	س	حي الحمدية	١
داخلية	١,٢٦١	١٤,٧٨	١٧,٤٢	١٦,٦٠	١٧,٧٤	١٥,٨٠	١٠,٦٤	٧,٠٢	ص	حي الحمدية شمال جدة	٢
داخلية	٠,٨٩٠	١٦,٤٠	٢٥,٠١	٢٧,٧٠	١٦,٦٢	٥,٣٨	١,٥٨	٧,٣٢	ل	جنوب شرق المنطقة الصناعية	٣
داخلية	١,٠٠٨	٥,٠٢	١٤,٣٦	٢٤,٣٢	٣١,٥٨	١٣,٢٨	٧,٩٦	٣,٤٨	م	مصب وادي فاطمة	٤
ساحلية	٢,٤٠٥	٠,١٩	٠,٤٩	٨,٠١	٣٠,٨	٢٤,٤٤	١٥,٣٠	٢٠,٦٨	د	مصب وادي الكراع	٥
ساحلية	٠,٧١٣	٦,٣٨	٢٤,٠٤	٤٠,٥٦	١٦,٣٢	٦,٣٤	٤,٢٠	٢,١٦	ج	شمال خليج أبجر	٦
ساحلية	١,٥٥٥	٨,١٨	١١,٣	١٤,٦	٢٢,٦٠	٢٢,٠٠	١١,٠٦	١٠,٣٦	ب	شمال خليج أبجر	٧
ساحلية	١,٠١٤	١٥,٦	١٦,٦	١٦,٦٨	٢٢,٢٤	١٨,٠٥	٧,١٦	٣,٢٢	ا	أبجر الشمالية	٨
ساحلية	٠,٩١٨	١٥,٣٦	١٥,٨٠	١٩,٣٤	٢٤,٩٦	١٥,٥٦	٧,٢٤	١,٧٤	ك	جنوب المنطقة الصناعية	٩
ساحلية	١,٣٨٠	٠,٢٨	٠,٣٦	٢,٨٤	٢٧,٦٤	١١,٢٣	٢,٣٤	٠,٠٦٨	ن	شرق غرب أبو كلابي	١٠
ساحلية	١,٥٦٥	٠,٢	٠,٧	٢,٣٠	٢٧,٧٨	٥٥,٢	١١,٠٠٠	١,٨٢	ن	جنوب جزيرة رأس غراب	١١
ساحلية	١,٢١	٦,٧٤	١١,٨٨	٢٢,٨٦	٣١,٢٠	١٣,٩٦	٧,٦٦	٥,٧	ي	جنوب منطقة الدراسة	١٢

١٧,٥ ٪ و ٣١,٥٨ ٪ بينما توجد القمة فى فئة الرمل الناعم (٢٥,٢٥ مم) فى العينتين رقمى (٦,٣)، وهى تمثل ٤٠,٥٦ ٪ و ٢٧,٧ ٪ من إجمالى وزن العينات على التوالى، وتمثل القمة فى فئة الرمل الخشن (١١ مم) فى العينة رقم (١٠) وتمثل ٦٦,٢٢ ٪ من إجمالى وزن العينة، وتوجد القمة فى فئة الرمل الخشن جداً (٢ مم) فى العينة رقم (١١) وتمثل ٥٥,٢ ٪ من إجمالى وزن العينة.

٤- فى السبخات الداخلية يلاحظ أن نسبة الحصى (٤ مم) تزيد فى السبخات (١)، (٣,٤) شكل (٥٥) حيث تراوحت نسبة الحصى بين ٧,٠٢ ٪ و ١٢,٨٢ ٪.

أ- فى العينة رقم (١) فى السبخة الداخلية (س) الواقعة فى حى المحمدية شمال مدينة جدة تتعدد القمم، حيث يوجد ثلاث قمم فى فئات الرمل الخشن جداً (٢ مم) بنسبة ١٦,٤٤ ٪، وفئة الرمل المتوسط (٥٠ مم) بنسبة ١٧,٥٠ ٪، وفئة الطمي الخشن (٦٣,٠ مم) بنسبة ٥١٤,٥٤ من إجمالى وزن العينة، وأعلى القمم فى فئة الرمل المتوسط.

ب- فى العينة رقم (٢) وقد أخذت من السبخة (ص) شمال مدينة جدة، يلاحظ وجود قمة فى فئة الرمل المتوسط (٥٠ مم) بنسبة ١٧,٧٤ ٪ من إجمالى وزن العينة، إلا أنه يلاحظ وجود تقارب واضح فى نسب الرواسب المختلفة ؛ حيث تتراوح النسب المثوية فى العينة بين ٧,٠٢ ٪ و ١٧,٧٤ ٪ من إجمالى وزن العينة.

ج - فى العينة رقم (٣) وقد أخذت من السبخة (ل) الواقعة جنوب شرق المنطقة الصناعية؛ يلاحظ وجود قمتين واضحتين؛ الأولى فى فئة الحصى (٢ مم) وتمثل ٢٧,٢٢ ٪، والثانية، فى فئة الرمل الناعم (٢٥ مم) وتمثل ٩٧,٧ ٪ من إجمالى وزن العينة.

د- فى العينة رقم (٤) يلاحظ وجود قمة واحدة فقط فى فئة الرمل المتوسط (٥٠,٥٠م)، وتمثل ٣١,٥٨٪ من إجمالى وزن العينة، وهذا يشير إلى أن التوزيع الحجمى لرواسب السبخات الداخلية يتخذ شكلاً غير منتظم، ويرجع ذلك إلى ظروف نشأة هذه السبخات وعوامل تطورها.

٥- فى السبخات الساحلية يلاحظ وجود توزيع منتظم فى العينات أرقام (٦، ٧، ٨، ٩، ١٠، ١٢)، حيث تتمثل قمة واحدة فى كل عينة، وإن كانت الفئة الممثلة للقمة، توجد فى فئة الرمل الخشن فى العينة رقم (١٠)، والخشن جداً فى العينة رقم (١١) والرمل المتوسط فى العينات (٧، ٨، ٩، ١٢) وفى فئة الرمل الناعم فى العينة رقم (٦)، أما فى العينة رقم (٥) فتتمثل قمتان: الأولى هى فئة الرمل المتوسط، حيث تمثل ٣٠,٨٪ من إجمالى وزن العينة، والقمة الصغرى فى فئة الحصى، حيث تمثل ٣٠,٨٪ من إجمالى وزن العينة، وقد يرجع ذلك إلى موقع هذه السبخة فى مصب وادى الكراع، وتباين الرواسب فيها بين رواسب نهريّة وبحريّة.

٦- من حساب قيمة متوسط حجم رواسب السبخات، يلاحظ أن متوسط حجم جميع العينات ١,٣١٤م، وقد تراوح متوسط حجم رواسب السبخات بين ٧١٣م و ٢,٤٠٥م، ويشير هذا إلى اختلاف طبيعة تكوين السبخات وظروف نشأتها وفقاً لموقعها.

٧- تراوح متوسط حجم رواسب السبخات الساحلية بين ٧١٣م و ٢,٤٠٥م، بينما تراوح متوسط حجم رواسب السبخات الداخلية بين ٨٩٠م و ١,٧٤٣م.

٨- تراوح متوسط حجم الرواسب فى السبخات الشمالية بين ٧١٣م و ٢,٤٠٥م، ومتوسط حجم رواسب السبخات الجنوبية بين ٨٩٠م و ١,٥٦٥م.

٩- من حساب قيمة الخطأ المحتمل لمتوسط حجم رواسب السبخات؛ لمعرفة مدى تمثيل هذه العينات لرواسب السبخات التى جمعت منها باستخدام معادلة كرومبين (Krumbein, 1937. pp. 199-204):

الخطأ المحتمل = ثابت كرومبين ٠,٦٧٤٨ × الانحراف المعياري
تبين أن قيمة الانحراف المعياري لمتوسط حجم الرواسب = ٠,٣٤٣، وأن قيمة
الخطأ المحتمل لمتوسط حجم الرواسب = ٠,٢٣١ وبذلك يمكن القول إن هذه العينات
تمثل رواسب السبخات.

١٠- من حساب النسبة المئوية لمتوسط حجم الرواسب تبين أنها = ١٦,٦٨ %.

٢- التصنيف Sorting:

لدراسة درجة تصنيف رواسب السبخات تم حساب قيمة معامل التصنيف Sorting
Coefficient، باستخدام المعادلة التي وضعها تراسك (Trask, Sorting Coefficient)،
وقد تبين أن قيمة معامل التصنيف تراوحت بين ١,٥٦٦ و ٤,٠٢٤، وبذلك يتضح -
وفقاً لتصنيف تراسك - أن معاملات تصنيف الرواسب تراوحت بين متوسطة التصنيف
وجيدة التصنيف، فمن الجدول رقم (٣) اتضح أن العينات أرقام (١١, ١٠, ٩, ٦, ٢, ١)
جيدة التصنيف، بينما أن العينات أرقام (١٢, ٨, ٧, ٥, ٤, ٣) متوسطة التصنيف، وبهذا
يلاحظ أن قيمة تصنيف الرواسب غير مرتبطة بموقع السبخة سواء كانت ساحلية أم
داخلية، كذلك فهي غير مرتبطة بموقع السبخة شمال أو جنوب مدينة جدة.

هذا ويشير الاختلاف في قيمة معامل التصنيف إلى طبيعة الإرسابات المكونة
للسبخات، فالرواسب المتوسطة التصنيف ترجع إلى رواسب ذات أصل فيضي، أو
رواسب موضعية النشأة Insite، أما الرواسب ذات التصنيف الجيد، فإنها ترجع أساساً
إلى أصل هوائي، حيث إن الرياح لها القدرة على حمل أحجام معينة دون الأخرى.
وهذا يعني أن المواد المكونة لأراضي السبخات موضوع الدراسة ذات أصول مختلفة من
حيث التكوين، وهذا يشير إلى أن المياه الجارية والرياح عاملان أساسيان في تكوين
السبخات. (عاشور وآخرون، ١٩٩١، ص ١٧٥).

٣- مقياس الالتواء Skewness Index:

تم حساب قيمة مقياس الالتواء باستخدام معادلة تراسك، وقد تبين أن قيم مقياس

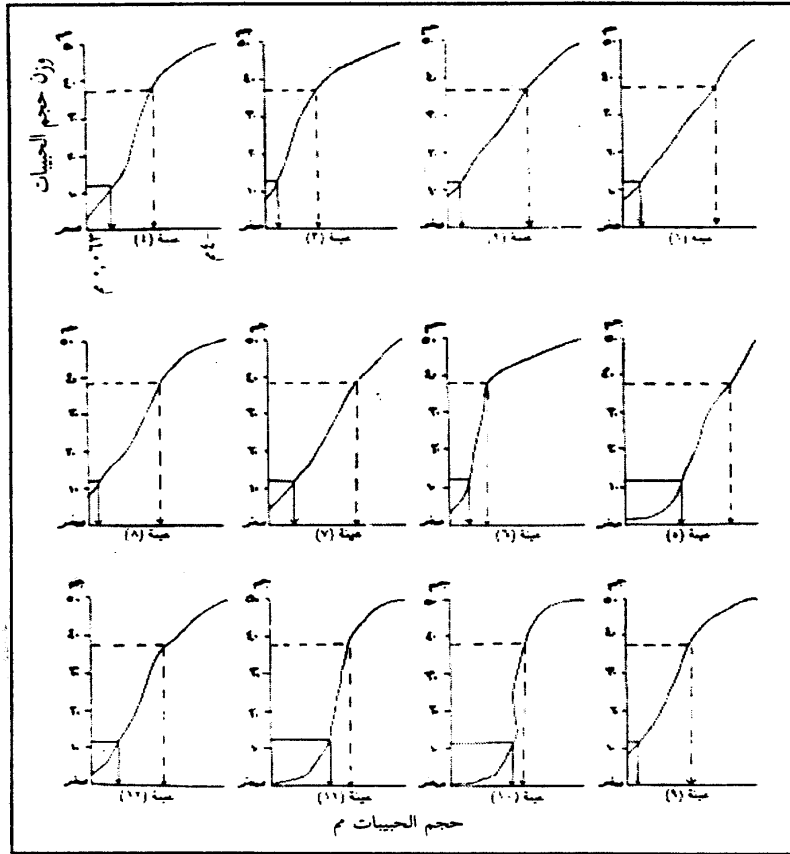
الالتواء تراوحت بين ٠,٠١٧، ١,١٠٨، جدول (٣). وتهدف الدراسة هنا إلى حساب درجة تماثل منحنيات توزيع رواسب السبخات. شكل (٥٦). وتشير قيم مقياس الالتواء إلى احتمال تباين مواد الأصل المكونة لأراضي السبخات؛ حيث إن أى اختلاف فى قيم الالتواء يدل على وجود رواسب ذات أصول مختلفة، أى وجود أكثر من مادة أصل مسئولة عن تكوين هذه الرواسب، وهذا يؤكد نتائج معامل التصنيف التى تراوحت بين التصنيف المتوسط والجيد.

٤- تحليل الشكل Shape Analysis:

تهدف دراسة شكل الحبيبات إلى محاولة معرفة الخصائص الطبيعية لحبيبات الرواسب واتجاه حركة نقل الحبيبات، والتعرف على البيئة المناخية بعد عملية الإرساب (David, 1977. p.111).

وقد تم دراسة شكل الحبيبات من حيث الإستدارة؛ لمحاولة معرفة طبيعة عامل التعرية المسئول عن نقل الرواسب، إلى جانب تقدير المسافة التى إنتقل خلالها الراسب.

ومن حساب قيمة متوسط الإستدارة لرواسب السبخات - جدول (٤) وشكل (٥٧)، تبين أن قيمة معدل الإستدارة لرواسب السبخات تراوحت بين فئة شبه مستدير وتراوحت نسبتها بين ٢٠٪ و ٦٠٪، وفئة مستدير وتراوحت نسبتها بين ٢٠٪ و ٥٨٪، وجيدة الإستدارة وتراوحت نسبتها بين ٢٪ و ٢٥٪.

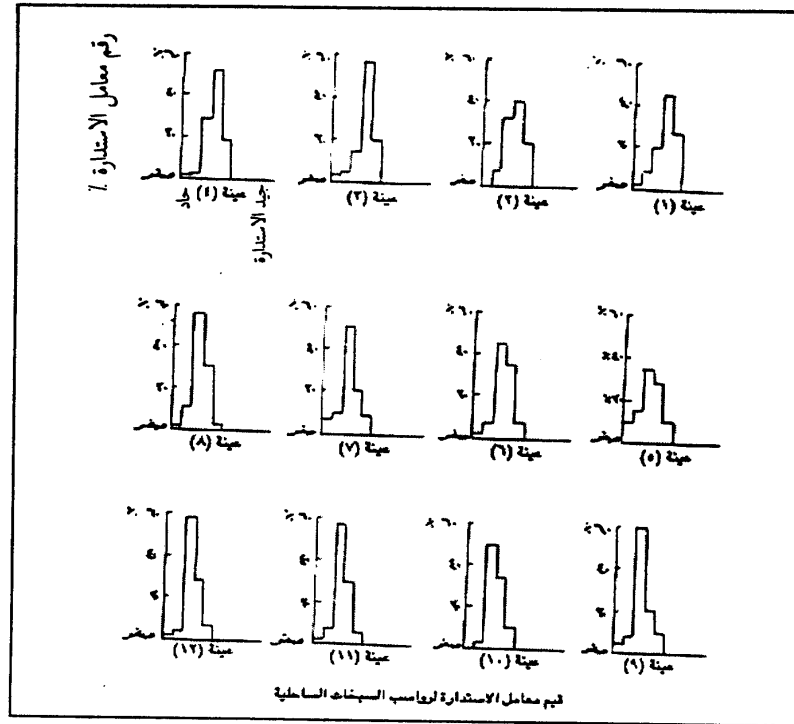


شكل (٥٦)

التكرار المتجمع الصاعد لرواسب السبخات
في السهل الساحلى لمدينة جدة

جدول (٣)
حساب قيمة معاملي التصنيف ومقاييس الإلتواء لرواسب السبخات

رقم العينة	موقع العينة	وزن العينة	نوع السبخة	متوسط الحجم	الوسط	الربيع الأدنى	الربيع الأعلى	معاملي التصنيف	مقاييس الإلتواء
١	حي الحمدة	س	داخلية	١,٧٤٣	٠,٨٢٥	٠,٣٩٩	١,٨٨٩	٢,١٧٦	١,١٠٨
٢	حي الحمدة شمال جدة	ص	داخلية	١,٢٦١	٠,٧١٦	٠,٣٦٣	١,٠٣٥	١,١٩٤	٠,٣٥١
٣	جرب شرق المنطقة الصناعية	ل	داخلية	٠,٨٩٠	٠,٥٩٧	٠,٠٣٧	٠,٥٩٩	٤,٠٢٤	٠,٦٦٢
٤	مصب وادي فاطمة	م	داخلية	١,٠٠٨	١,٣٠١	٠,٠٦٤	٠,٤٥٩	٢,٦٧٨	٠,٠١٧
٥	مصب وادي الكراع	د	ساحلية	٢,٤٠٥	١,٥٧٤	٠,٢٨٩	٢,٠٩٠	٢,٩٩٣	٠,٣٠٢
٦	شمال خليج أبهر	ج	ساحلية	٠,٧١٣	٠,٢٨٥	٠,٠٧٥	٠,١٨٤	١,٥٦٦	٠,١٧٠
٧	شمال خليج أبهر	ب	ساحلية	١,٠٥٥	٠,٦٤٨	٠,٠٩١	١,٠٣٠	٣,٨٢	٠,٢٨٨
٨	أبهر الشمالية	أ	ساحلية	١,٠١٤	٠,٧٢٥	٠,١١٤	٠,٧١٠	٢,٤٩٦	٠,١٥٤
٩	جرب المنطقة الصناعية	ك	ساحلية	٠,٩١٨	٠,٥١٣	٠,١٢١	٠,٤٥٦	١,٩٤١	٠,٢١٠
١٠	شرق غرب أبو كلاب	ن	ساحلية	١,٣٨٠	٢,٥١٤	٠,٣٨٥	١,١٦٨	١,٧٤٢	٠,٠٢٨
١١	جرب جزيرة رأس غراب	ن	ساحلية	١,٥٦٥	٢,٠١٠	٠,٣٧٣	١,٢٧٩	١,٨٥٢	٠,١٨٨
١٢	جرب منطقة الدراسة	ي	ساحلية	١,٢٦١	١,٢٢٧	٠,٠٧٣	٠,٦٦٦	٢,٠٢٠	٠,٣٢



شكل (٥٧)

قيم معامل الاستتارة لرواسب السبخات في السهل الساحلي لمدينة جدة

جدول (٤)
قيم معامل الاستدارة لرواسب السبخات

رقم العينة	رمز العينة	نوع السبخة	نوع الاستدارة			
			حاد	شبه حاد	شبه مستدير	مستدير جيد
١	س	داخلية	٢	٨	٢٠	٤٥
٢	ص	داخلية	-	٧	٣٢	٤٠
٣	ل	داخلية	٢	٤	١٦	٥٨
٤	م	داخلية	١	٢	٢٧	٥٢
٥	د	ساحلية	١٠	١٥	٣٥	٣٠
٦	ج	ساحلية	٢	٨	٤٥	٣٧
٧	ب	ساحلية	٨	١٠	٥٢	٢١
٨	أ	ساحلية	١	١٢	٥٥	٣٠
٩	ك	ساحلية	٥	٧	٦٠	٢٠
١٠	ن	ساحلية	-	٧	٥٠	٣٣
١١	ن	ساحلية	١	٦	٥٨	٣٠
١٢	ى	ساحلية	٢	٣	٦٠	٢٨

وتدل زيادة نسب الرواسب المستديرة على أنها ذات أصل هوائي ونهرى، ويلاحظ من الشكل (٥٧) أن نسبة الرواسب المستديرة تزيد في السبخات الداخلية والتي تؤكد أن رواسبها ذات أصل هوائي ونهرى. أما في السبخات الساحلية يلاحظ ميل كثير من الحبيبات إلى قلة الاستدارة، حيث تنخفض فيها نسبة الرواسب جيدة الاستدارة والمستديرة، وتزيد فيها نسبة الرواسب شبه المستديرة وشبه الحادة، مما يشير إلى أن أصل هذه الرواسب بحرى وهوائى.

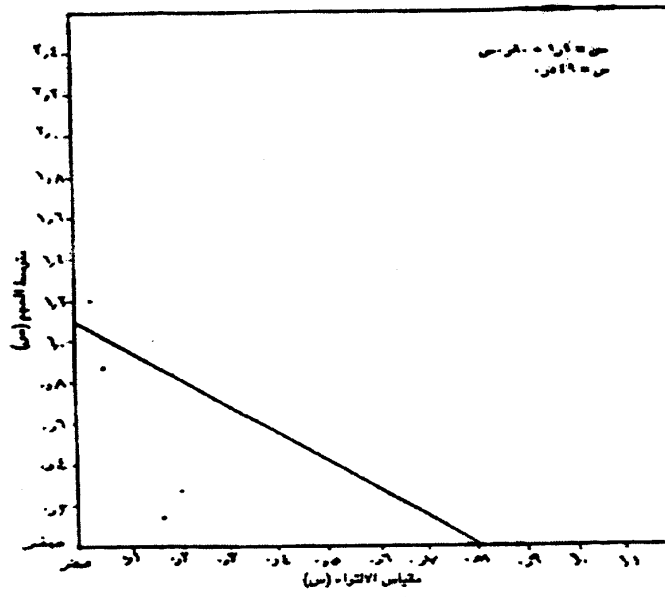
العلاقات المتبادلة بين المعاملات الإحصائية المختلطة :

تم حساب العلاقة الإحصائية بين متوسط حجم الرواسب ومقياس الإلتواء، فتبين وجود علاقة ارتباط فيما بينهما، وكانت قيمة معامل الارتباط ٠,٥٤٩، وإن كانت هذه العلاقة غير قوية. ويوضح الشكل (٥٨) العلاقة بين متوسط حجم رواسب السبخات ومقياس الإلتواء. ويلاحظ شذوذ كثير من النقاط عن خط الإنحدار، وهذا يشير إلى ما سبق ذكره: وهو أن تكوين السبخات قد تم تحت تأثير عدة عوامل.

ومن حساب قيمة معامل الارتباط بين مقياس الإلتواء ومعامل التصنيف تبين عدم وجود علاقة ارتباط فيما بينهما حيث كانت قيمة معامل الارتباط ٠,١٦١.

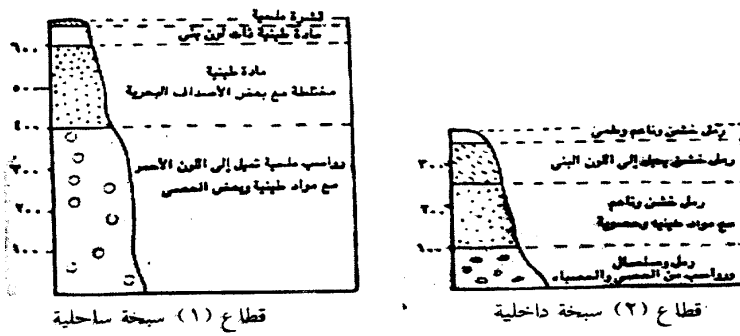
التتابع الإستراتيجي لرواسب السبخات :

قام عدد من الباحثين بدراسة التتابع الإستراتيجي لرواسب السبخات في مناطق مختلفة، منهم مابى (Mabey, 1965) في دراسته لجيولوجيا السبخات الداخلية ولتحديد موقع الإمتداد الرأسى والجانبى لأجسام الملح، وباورز وآخرون (Powers, et al, 1966) عند دراستهم للجيولوجيا الرسوبية بالمملكة العربية السعودية، وفاندوم، ومولنكامب (Vandom & Meulenkamp, 1966) عن دراسة البنية الداخلية للسبخات، ودراسة بيومى وسعيد (Bayoumi & Said 1971) عن إستخدام المسح بالمقاومة الكهربائية لتحديد إمتداد غزو مياه البحر نحو اليابس، ثم دراسة إيفانز وآخرون (Evans, et al., 1979) عن التتابع الإستراتيجي والتاريخ الجيولوجي لسبخة أبو ظبى (El Abd & Awad, 1991, p.137).



شكل (٥٨)

العلاقة بين مقياس الإلتواء ومتوسط حجم رواسب السبخات



شكل (٥٩)

التتابع الإستراتيجي لرواسب السبخات

جدول (٥)

التتابع الإستراتيجي لرواسب السبخة ن (ساحلية)

الموقع	مراحل الترسيب	سمك الرواسب	نوع الرواسب وخصائصها
جنوب مدينة جدة	٤	١٠ سم	قشرة ملحية.
	٣	٥٠ سم	طبقة من مادة طينية ذات لون بني مرتفع فيها نسبة الرطوبة.
	٢	٢٠٠ سم	طبقة من الطين رمادي اللون مختلط ببعض الأصداف البحرية.
	١	٤٠٠ سم	رواسب رملية يتراوح حجمها بين الخشن والناعم ذات لون يميل إلى اللون الأحمر مختلطة مع رواسب طينية وبعض الحصى الذي يتراوح حجمه بين ٢ إلى ٤ مم.

ولدراسة التتابع الإستراتيجي لرواسب السبخات، تم دراسة قطاعين من السبخات أحدهما في سبخة ساحلية (سبخة ن) والآخر في سبخة داخلية وهي السبخة (س)، وومن جدول (٥) وشكل (٥٩) قد تبين أن التتابع الإستراتيجي للسبخات على النحو التالي:

١- وجود قشرة ملحية تغطي سطح السبخة، ومن المرجح أنها تكونت نتيجة لإستمرار غمر مياه المد للسبخة، نتيجة لإتصالها المباشر بالبحر عن طريق قناة مدّ ضيقة، حيث يدخل ماء البحر إلى السبخة؛ مما يؤدي إلى تحول الأجزاء المنخفضة من السبخة إلى بحيرات ملحية، وبعد تبخر مياه البحر تغطي السبخة بغطاء رقيق من قشرة ملحية بيضاء، ومع طغيان مياه البحر مرة أخرى تذوب الطبقة الملحية ثم يتجدد تكوينها بعد أيام قليلة.

- ٢- يدل وجود طبقة مكونة من مادة طينية على أنها مشتقة من السهل الساحلى، وقد تم إرسابها فى المياه الضحلة أثناء إنخفاض منسوب سطح البحر.
- ٣- يشير وجود الرواسب الرملية المختلطة بالرواسب الطينية إلى حدوث تتابع فى الإرساب بين الرواسب التى تحملها الرياح من المناطق المجاورة والرواسب البحرية.
- ٤- من مقارنة التتابع الإستراتيجرافى لهذه السبخة بالدراسة التى تمت عن سبخة الخرار، يلاحظ وجود تشابه واضح فى ظروف التكوين، ووفقاً لتقسيم جافيش فإن هذه السبخة تمثل بيئة فوق مدية جزرية مفتوحة؛ ذات نظام تدفق هيدروديناميكى غير محدد ومستمر، حيث تدخل مياه البحر إلى السبخة ثم تتبخر، ثم تعود مياه البحر إلى السبخة؛ وهكذا (El Abd & Awad, 1991, p. 137).

ويشير جدول (٦) إلى التتابع الإستراتيجرافى للسبخة (س) وهى سبخة داخلية.

ومن الجدول والشكل (٥٩) يتضح ما يلى:

- ١- يتكون التتابع من أربع طبقات؛ تتكون من رواسب يسود فيها الرمل والطينى والطين، ويتداخل فيها فى الطبقات السفلى مواد حصوية.
- ٢- يشير التتابع إلى وجود تباين فى أحجام الرواسب ونوعيتها إلى حدوث دورات إرساب؛ تختلف كل دورة منها فى نوع ما تحمله من رواسب، كما تشير إلى إختلاف فترة الإرساب.
- ٣- يشير التتابع الإستراتيجرافى لرواسب هذه السبخة أن مصدرها الأساسى هو الرواسب التى حملتها الرياح إلى هذه السبخة من المناطق الجبلية المجاورة، والرواسب الرملية فى الجنوب، وهى تمثل الرواسب السطحية، أما الرواسب تحت السطحية فهى رواسب فيضية حملتها إليها مياه الأودية، ويلاحظ عدم وجود رواسب بحرية فى هذه السبخة لبعدها عن ساحل البحر.

جدول (٦)

النتائج الإستراتيجية لرواسب السبخة (داخلية)

الموقع	مراحل الترسب	سمك الرواسب	نوع الرواسب وخصائصها
جنوب مدينة جدة	٤	٢٥ سم	طبقة من الرمل خشنة ومتوسطة وطمي مغطاة بقشرة ملحية رقيقة.
	٣	١٠٠ سم	طبقة من الرمل الخشن ذات لون يميل إلى البنّي.
	٢	١٥٠ سم	طبقة من الرمل الخشن والناعم مختلطة برواسب طينية وبعض المواد الحصوية
	١	١٠٠ سم	يتراوح حجمها بين ٤ إلى ٨ مم. طبقة من الرمل والطين ورواسب من الحصى والحصاء يتراوح حجمها بين ٤ إلى ١٦ سم سنة التصنيف.

مورفولوجية سطح السبخات :

يتميز سطح السبخات في منطقة الدراسة بإستواء السطح، صورة (٢٣)، حيث تقع معظم السبخات على منسوب يتراوح بين صفر و٣ أمتار، ويتراوح إنحدار السطح بين ١٥٠٠/١ و٢٥٠٠/١، وتتراوح زوايا إنحدار السطح بين صفر ودرجة واحدة. ويرجع عدم وجود تغيير في زوايا إنحدار السطح إلى مايلي:-

- ١- صفر المدى الحرارى السنوى، كما سبقت الإشارة.
- ٢- إرتفاع منسوب الماء تحت الأرضى الذى يؤدى إلى إرتفاع نسبة الرطوبة (Ashraf & Taher, 1980, p.3). وقد تبين من الدراسة الميدانية أن مستوى الماء السطحى فى السبخات متقارب إلى حد كبير؛ نظراً لأن رواسب السبخات عادة ما تكون عالية النفاذية، مما يسمح بحركة الماء بيسر داخل مكوناتها،

وجودها على مستويات متقاربة. ومن المعروف أن هذه المياه هي التي تتحكم في تأثير التعرية الهوائية على سطوح هذه السبخات، حيث لا تحمل الرياح إلا المواد التي تتعرض للجفاف، وبالتالي تكون الرياح أداة لتسوية السطح (عاشور وآخرون، ١٩٩١، ص ٣٥٨).

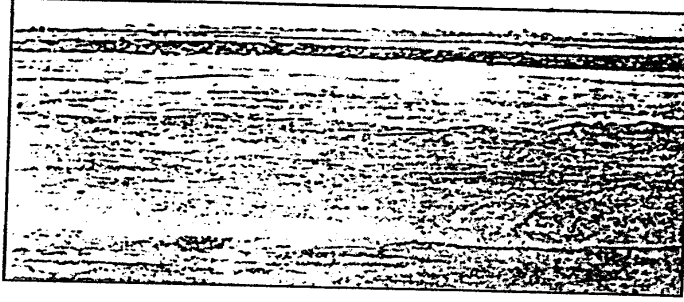
٣- يرجع إستواء سطح السبخات الساحلية المتصل بالبحر إلى قيام مياه المد بعملية تسوية لسطح السبخات أثناء حركتها من البحر وإليه.

ويظهر على سطح السبخات بمنطقة الدراسة بعض أشكال السطح الدقيقة التي ترتبط كل منها بظروف معينة ساهمت في نشأتها، وتفيد دراسة هذه الأشكال في فهم التطور المورفولوجي للسبخات، ومن أبرز هذه الأشكال مايلي:-

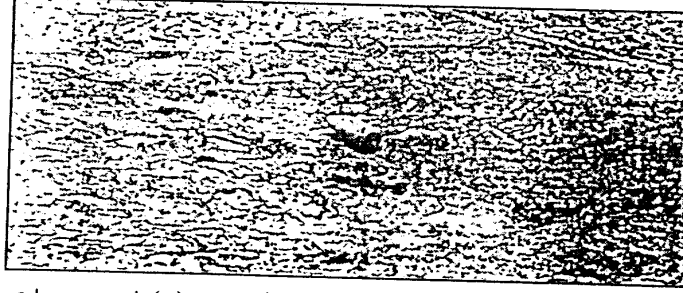
(١) المضلعات الملحية:

تظهر على سطح السبخات على شكل مضلعات غير متساوية الأضلاع صورة (٢٤)، ويتراوح إرتفاع الحواف بين عدة ملليمترات إلى عدة سنتيمترات، ولا يزيد في معظم الحالات على ٣ سم، وقد تبين من الدراسة الميدانية أن إرتفاع الحواف يزيد مع زيادة نسبة الأملاح. كما توجد علاقة بين إرتفاع الحواف ومستوى الماء الأرضي، فكلما كان مستوى الماء الأرضي قريباً من السطح زاد إرتفاع الحواف. ويرجع ذلك إلى زيادة معدلات التبخر، وبالتالي زيادة ترسيب الأملاح على السطح، وهذا يتفق مع دراسة عاشور وآخرين عن السبخات في شبه جزيرة قطر، (المرجع السابق، ص ٣٦٢).

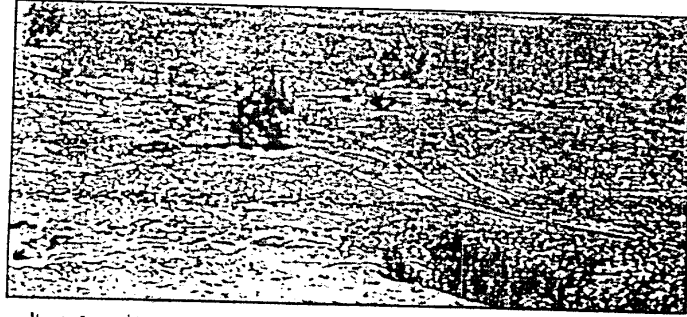
ويرجع تكون المضلعات الملحية إلى طغيان المياه على أسطح السبخات، سواء كانت مياه جوفية أم مياه المد العالي، ثم تتبخر المياه ويساهم في ذلك خشونة نسيج السبخات إلى جانب شدة الحرارة طوال العام، مما يعرض سطح السبخات للجفاف وإتكماش المواد السطحية وتشققها.



صورة (٢٣) استواء سطح السيخات في السبخة (ك) جنوب المنطقة الصناعية



صورة (٢٤) المضلعات الملحية على سطح السيخات في السبخة - (م) في مصب وادي فاطمة



صورة (٢٥) التكهيدات على سطح السيخات في السبخة (ص) حي المحمدية شمال جدة

(٣) التهديدات :

وتبدو في شكل شبكي متقاطعة أو متوازية في مناطق محدودة المساحة من السبخات، صورة (٢٥)، وتظهر التهديدات بعد أن تتكون القشرة الملحية، وتستقر لفترة طويلة لا تعرض فيها المنطقة للعمر بالمياه، ويمثل هذا الشكل في السبخات الداخلية.

(٣) الخنادق الطولية:

هي خنادق ضوئية ذات قاع هابط، تتمثل في السبخات الشمالية الساحلية وفي السبخات الداخلية. ويبدأ الخندق في شكل قناة مقوسة لا يتعدى عرضه نصف المتر، ويتراوح عمقه بين ١٠ سم و ٣٠ سم، وتنتشر في قاعه نباتات ملحية صورة (٢٦)، ويتجمع في قاع الخندق مياه ملحية، وترجع نشأة هذه الخنادق الطولية إلى زيادة معدلات التبخر الناتجة عن شدة إرتفاع درجة الحرارة، مما يؤدي إلى زيادة الجفاف، ويتبع ذلك تشقق التربة وتكوين هذه الخنادق الطولية.

(٤) النبال:

هي تجمعات رملية حول النباتات، يتراوح إرتفاعها بين ٥ سم و ٢٠ سم ويتراوح طولها بين مترين وخمسة أمتار، وتتكون من الرمال؛ تغطيها قشرة ملحية رقيقة. صورة (٢٧)، ويرجع تكوين هذه النبال إلى نمو النباتات الملحية على سطح السبخات في المناطق التي يرتفع فيها منسوب الماء تحت الأرضي، فتمثل هذه النباتات عقبة أمام الرياح المحملة بالرمل والمواد الناعمة؛ مما يؤدي إلى ترسيبها في ظل هذه النباتات. وتنتشر هذه الظاهرة في السبخات الجنوبية والداخلية.

التغيرات التي تطرأ على السبخات :

تبين من الدراسة الميدانية للسبخات، أن أراضي السبخات غير مستقرة، بل يحدث بها تغيرات دائمة، حيث تختلف ملامح سطح السبخات بين الصيف والشتاء، وترتبط هذه التغيرات بعدد من العوامل؛ منها مايلي:-

١- الظروف المناخية المتمثلة في التغير الفصلي لدرجات الحرارة، وتباين كميات

الأمطار، حيث تزيد نسبة الرطوبة في أراضي السبخات في فصل الشتاء زيادة واضحة، وتقل هذه النسبة في فصل الصيف مع الإرتفاع الواضح لدرجة الحرارة، والذي يؤدي إلى جفاف أراضي السبخات، وأحياناً ظهور تشققات على سطح السبخة.

٢- تغير منسوب الماء في السبخات الساحلية المرتبطة بحدوث موجات المد والجزر، وفي السبخات الدخنية المرتبط بتذبذب منسوب الماء تحت الأرضي المرتبط بسقوط الأمطار، مما ينتج عنه تكرار حدوث بلل وجفاف في السبخات، وظهور القشور المنحبة.

٣- استمرار إمداد السبخات برواسب هوائية تحملها الرياح الشرقية والشمالية والجنوبية من الجبال المجاورة ومن الرواسب الرملية جنوب منطقة الدراسة.

نشأة السبخات:

تعتبر نشأة السبخات في منطقة الدراسة نشأة مركبة، ترجع إلى أن رواسبها ذات مصادر متعددة، كما ترجع إلى تعدد الخصائص الجغرافية للمنطقة، التي أدت إلى أن تكون هذه المنطقة بيئة ملائمة لنشأة هذا العدد من السبخات. وترجع نشأة السبخات إلى مجموعة من العوامل، هي:

(١) التكوين الجيولوجي:

سبق الإشارة إلى أن المنطقة المحيطة بالسبخات تنتشر بها تكوينات الحجر الجيري المرجاني، ورواسب الشاطئية، ورواسب المراوح الفيضية والأودية والرمال الهوائية. وقد أوضحت الدراسة أن السبخات الشمالية ترتبط بتكوينات الحجر الجيري المرجاني، أما السبخات الجنوبية فترتبط برواسب الأودية والرواسب الرملية الهوائية. ويمكن التمييز في عامل النشأة بين السبخات الساحلية والداخلية، فالسبخات الساحلية تتكون من الرواسب الساحلية، والتي يمكن تعريفها برواسب المد العالي والتي نتجت عن موجات المد التي أسهمت مع الرواسب التي تحملها الرياح في نشأة هذه السبخات. أما السبخات الداخلية فتتكون من الرواسب السطحية التي تتمثل في رواسب الأودية ورواسب

السفوح والرواسب الرملية.

كذلك فإن لعامل البنية تأثير واضح فى نشأة العديد من السبخات، حيث يلاحظ أن معظم السبخات بالمنطقة تتبع محوراً عاماً (شمالى غربى / جنوب شرقى) على طول الصدوع الموازية لخط الساحل. حيث نتج عن حركة الرفع الدورية فى الزمن الرابع على طول الصدوع الموازية للساحل تكوين كتل صدعية مرتفعة ومنخفضات هابطة مجاورة لها، أسهمت فى تكوين بعض السبخات (Pallister, 1982, p.59).

(٢) التضاريس:

لقد سبقت الإشارة إلى أن سطح السهل الساحلى موضوع الدراسة منخفض بصفة عامة، حيث يتراوح الإرتفاع بين ٠,٨ متر إلى ٣ أمتار، وفى بعض المناطق الساحلية لا يتجاوز الإرتفاع على مستوى سطح البحر، ونتيجة لعدم وجود جروف ساحلية، فإن أى إرتفاع لمياه المد ولو بقدر ضئيل يؤدى إلى طغيان مياه البحر على مساحات واسعة من الأراضى الساحلية، مما ساعد على نشأة السبخات الساحلية. كذلك كان نتيجة انخفاض منسوب الشاطئ حدوث تسرب لمياه البحر إلى هذه السبخات، ومع تكرار تغطية المناطق المنخفضة المنسوب بمياه المد تتكون برك مؤقتة تنحسر عنها المياه أثناء حدوث الجزر، ومع ارتفاع درجة الحرارة تتبخر مياه هذه البرك مكونة قشرة ملحية فى كثير من الأحيان، كذلك أسهم عامل التضاريس فى نشأة السبخات الداخلية التى تكونت نتيجة لإنخفاض منسوب سطح بعض المناطق عن الأراضى المجاورة لها، مما أدى إلى تجمع مياه الأمطار المؤقتة ومياه الأودية القصيرة التى تنتهى إليها، ثم تتبخر هذه المياه. كما أن إرتفاع منسوب الماء تحت الأرضى الذى يعد المصدر الرئيسى لنشأة السبخات الداخلية، نتيجة وقوع هذه السبخات عند حضيز الأودية والفرشات الرملية؛ مما يسمح بتسرب المياه تحت الأرضية من الطبقات الحاملة لها والقريبة إلى قاع السبخات، ثم صعود محاليل ملحية إلى أعلى بفعل الخاصية الشعرية، ومع تبخر المياه تترسب الأملاح على السطح وتتكون السبخات.

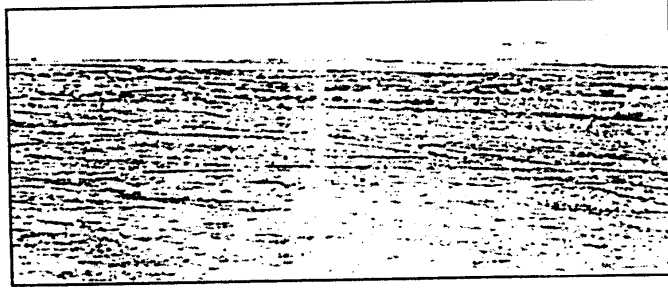
(٣) الظروف المناخية :

تلعب الظروف المناخية الحالية دوراً مهماً فى نشأة السبخات، حيث يؤدى الإرتفاع الواضح فى درجات الحرارة- كما سبقت الإشارة- إلى إرتفاع معدلات التبخر التى تساهم بدور فعال فى نشأة السبخات. كما أن سقوط الأمطار الإعصارية يؤدى إلى حدوث جريان سطحى مؤقت يحمل المفتتات والمواد الناعمة مع الأملاح إلى المناطق المنخفضة المنسوب، وقد تتجمع مياه الأمطار لفترة وجيزة قد تصل إلى أيام أو أسابيع مكونة مستنقعات، ومع تعرض هذه المياه للتبخر لشدة الحرارة، تتكون القشرة الملحية التى تظهر على سطح السبخات. صورة (٢٨).

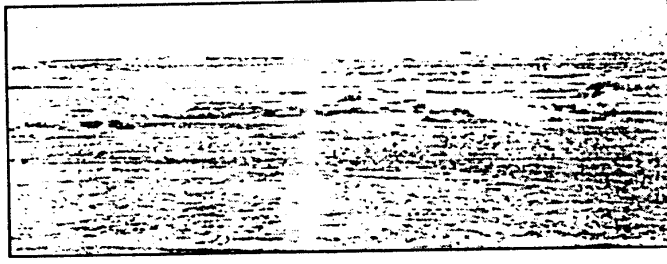
كذلك تلعب الرياح دوراً فى نشأة السبخات، فإلى جانب تأثيرها على مياه البحر، حيث تساهم الرياح الغربية فى زيادة سرعة المد والحد من نشاط الجزر، تعمل الرياح الشمالية والشمالية الغربية والشرقية على تسوية سطح السبخات من خلال ترسيب ما تحمله من رمال من الأراضى المجاورة.

كذلك ساهم المناخ فى الماضى فى نشأة السبخات، والتى يرجع أنها نشأت خلال عصر البلايستوسين، نتيجة لحدوث التغيرات المناخية فى هذا العصر، والتى أسهمت فى حدوث تغير فى منسوب سطح البحر الأحمر؛ الذى ساهم فى نشأة هذه السبخات؛ حيث يرى سليم أن إنتشار السبخات على الساحل دليل كاف على إرتفاع منسوب سطح البحر، وغمره لمساحات كبيرة من اليابس المجاور (سليم، ١٩٩١، ص ٢٩٦).

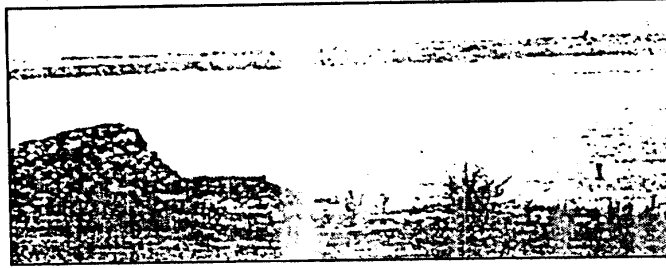
ويرى بعض الباحثين أن السبخات البحرية نشأت عندما تراجع البحر عن مساحات كبيرة ذات سطوح منبسطة قليلة الإنحدار، والتى كانت أعماق البحر فوقها ضئيلة، وفى هذه المياه الضحلة ومع إرتفاع درجات الحرارة، ترسبت الأملاح المختلفة على القاع، ومع إستمرار تراجع البحر فى عصر البلايستوسين، وزيادة معدلات التبخر فى فترة الجفاف الحالى تكونت السبخات، (المنظمة العربية للتربية والثقافة والعلوم، ١٩٧٨، ص ١٢٦).



صورة (٢٦) الخنادق الطولية على سطح السبخة (ن) شرق غرب أبو كلاب



صورة (٢٧) نباك على سطح السبخة (م) مروحة وادي فاطمة



صورة (٢٨) ظهور قشرة ملحية على سطح السبخة (أ) أبهر الشمالية

(٤) مياه البحر:

توجد علاقة واضحة بين حركة مياه البحر ونشأة السبخات الساحلية، التي ترتبط بالبحر عن طريق قنوات مائية ضيقة، نتيجة لحركة الأمواج على الساحل تحت تأثير اتجاه الرياح، ونتيجة لأن مياه المنطقة الساحلية ضحلة، فإن الأمواج تكون عمودية على خط الساحل (أبو العنين، ١٩٨٩، ص ٢٤٨) مما يساهم في غمر المناطق المنخفضة المنسوب بمياه الأمواج، هذا بالإضافة إلى أن التيارات البحرية التي تسير موازية للشاطئ مع حركة الأمواج العمودية على خط الساحل تعمل على توالي عملية الإرساب على قيعان التداخلات الساحلية مما يزيد من حمولتها، وتحويلها بمرور الوقت إلى مستنقعات ضحلة ثم إلى سبخات، (عاشور وآخرون ١٩٩١، ص ١٣٩).

(٥) المياه تحت الأرضية :

أسهمت المياه تحت الأرضية بدور فعال في نشأة السبخات الداخلية، حيث أدى إرتفاع منسوب الماء الأرضي في المناطق الداخلية شمال وجنوب مدينة جدة إلى نشأة السبخات الداخلية؛ نتيجة لإرتفاع درجة الحرارة، وتبخّر هذه المياه وترسيب الأملاح على السطح.

الإستخدام الإقتصادي للأراضي السبخات :

من الدراسة السابقة عن السبخات مورفولوجيتها وطبيعتها تكوينها الجيولوجي، وظروف نشأتها وتطورها، يمكن القول أن أراضي السبخات لا تصلح للتوسع العمراني نظراً لأنها أراضي رطبة تحتوي على نسبة عالية من الأملاح. ولكن يمكن إستخدامها في حالة الضرورة القصوى؛ مع مراعاة أن يتم فحص التربة جيداً، ويتم تجريف الرواسب السطحية، ولا بد من حفر بئر أو أكثر في المناطق المجاورة لأراضي السبخات لشفط الماء الأرضي المتجمع في التربة تحت السطحية Subsoil، وضمان جفافها جيداً، مع ضرورة إستخدام مواد عازلة عند وضع أساسات المباني. أما في حالة مد الطرق فلا بد من تصميم الطرق بحيث تكون مرتفعة عن مستوى سطح أرض السبخة، حتى لا يتعرض الطريق لتأثير مياه السبخات والأملاح التي تحتويها.

التوسع الزراعي في أراضي السبخات :

وفقاً للعرض السابق عن طبيعة أراضي السبخات، يلاحظ أن أراضي السبخات الساحلية لا تصلح للإستصلاح الزراعي، نظراً لزيادة نسبة الملوحة بها، أما بالنسبة لأراضي السبخات الداخلية فيمكن زراعتها بأنواع معينة من النباتات، منها ما يلي:

١ - نبات القطف Ariplixsp، وهو أحد نباتات المراعي المهمة التي تصلح لتغذية الحيوانات، ويتميز هذا النبات بأنه يتحمل درجات عالية من الملوحة وله القدرة على التخلص من الأملاح بإفرازها عن طريق تكوين حويصلات صغيرة مملوءة بالملح.

٢ - نبات السمار Junxus، وهو نبات معمر يقاوم الملوحة والجفاف لدرجة كبيرة، وتصل زراعته في معظم الأراضي الملحية والقلوية، وتستخدم أليافه في صناعة أجود أنواع الورق، وتعد زراعة نبات السمار ذات عائد إقتصادي.

٣ - نبات الرغل Antriplex Leucoclade، وهو نبات يقاوم الجفاف والملوحة، ويستخدم كنبات لرعى الأغنام والإبل، لأنه غني بالعناصر الغذائية اللازمة، كما أنه يقاوم الجفاف والملوحة.

إستغلال السبخات كمصدر للعناصر الكيميائية:

تشير التحليلات الكيميائية للسبخات إلى أنها تتكون من ثلاث مكونات رئيسية،

هي:

١ - مياه مالحة عالية التركيز.

٢ - مكونات صلبة قابلة للذوبان في الماء، وهي كلوريد وكبريتات الصوديوم، والبوتاسيوم والكالسيوم والمغنسيوم.

٣ - مكونات صلبة غير قابلة للذوبان في الماء، مثل كربونات الكالسيوم والمغنسيوم وال سليكا (The Center of Reserches and Indestrial Development, 1973. p.26)

ويمكن الإستفادة من هذه المكونات الكيميائية بعد إستخلاصها من أراضي السبخات فى الكثير من الصناعات، مثل صناعة الأسمدة الكيميائية، الأصباغ، الأدوية. ويمكن الإستفادة من السليكا فى صناعة الزجاج، خاصة أن هذه المواد تترسب على سطح السبخات نتيجة للإرتفاع الشديد لدرجات الحرارة فى فصل الصيف. وفى الوقت الحاضر يستفاد من المتبخرات الملحية مثل أملاح الهاليت فى تصنيع ملح الطعام، ولهذا يوصى بدراسة المكونات الكيميائية للسبخات، وطرق استخراجها؛ للإستفادة منها.

الختاتمة

أوضحت دراسة سبخات السهل الساحلى لمدينة جدة أنها تغطى مساحة قدرها ٢٩,٥٩٥ كم، أى ما يعادل نحو ٧٪ من إجمالى مساحة السهل الساحلى للمدينة، وهى تمثل أحد أشكال السطح الرئيسية فى المنطقة موضوع الدراسة. ووفقاً لموقع السبخات وخصائصها تم تقسيمها إلى: سبخات ساحلية؛ وهى التى تتصل بمياه البحر عن طريق ممرات مائية ضيقة، وسبخات داخلية تقع بعيداً عن الساحل فى مصبات الأودية، وتتميز جميع السبخات بالمنطقة بإستواء سطحها، وينخفض معدل إنحدار السطح ليتراوح بين ١/١٥٠٠ و ١/٢٥٠٠ .

وأوضحت نتائج التحليل الحجمى لرواسب السبخات أنها تتكون من حصى ورمال وطينى، وبصفة عامة ترتفع نسبة الرمال بأحجامها المختلفة فى جميع السبخات، حيث تراوحت نسبة الرمال بين ٧٢,٦٪ و ٩٩٪ من إجمالى وزن جميع العينات. وتراوح متوسط حجم رواسب السبخات بين ٠,٧١٣ مم و ٢,٤٠٥ مم. ويشير هذا إلى إختلاف طبيعة تكوين السبخات وظروف نشأتها وفقاً لموقعها.

كذلك أشارت دراسة تصنيف الرواسب إلى الإختلاف فى قيمة معامل التصنيف، وهذا يدل على أن الرواسب المكونة للسبخات تنقسم إلى رواسب ذات أصل فيضى وأصل بحرى، ورواسب ذات أصل هوائى، وهذا يدل على أن المياه الجارية والرياح عاملان أساسيان فى تكوين اسبخات. وقد أيد هذا الرأى أيضاً الإختلاف فى قيم مقياس الإلتواء، وتحليل شكل رواسب السبخات.

وتبين من دراسة مورفولوجية سطح السبخات، عدم وجود تغيير واضح فى زوايا إنحدار السطح، ويرجع ذلك إلى صغر المدى الحرارى السنوى، وإرتفاع منسوب الماء الأرضى؛ الذى يؤدى إلى إرتفاع نسبة الرطوبة، وقيام مياه المد بعملية تسوية سطح السبخات أثناء حركتها من البحر وإليه. كما أشارت الدراسة إلى وجود بعض أشكال السطح الدقيقة على سطح السبخات مثل المضلعات الملحية، والتنهدات، والخنادق الطولية. والنباك.

وسطح السبخات فى منطقة الدراسة غير مستقر، حيث تختلف ملامح السطح نتيجة للتغير الفصلى فى درجات الحرارة، وتباين كميات الأمطار، وتغير منسوب الماء، إما نتيجة لحدوث موجات المد والجزر، أو تذبذب منسوب الماء الأرضى.

ولقد ساهم فى نشأة السبخات فى السهل الساحلى لمدينة جدة عدد من العوامل؛ منها: التكوين الجيولوجى والتضاريس، والظروف المناخية فى الماضى والحاضر، وحركة مياه البحر، وتغير منسوب الماء الأرضى.

وتبعاً لطبيعة أراضي السبخات تبين من الدراسة أنها لا تصلح للتوسع العمرانى ومد الطرق إلا بعد إجراء فحص جيد للتربة، وتجريف الرواسب السطحية، وحفر آبار فى الأرضى المجاورة لأراضى السبخات، وإستخدام مواد عازلة عند وضع أساسات المبانى. أما بالنسبة للتوسع الزراعى، فيمكن فى أراضي السبخات الداخلية التى تقل فيها نسبة الأملاح عن السبخات الساحلية، ويمكن زراعة نباتات معينة تستطيع تحمل الأملاح تصلح كنباتات لرعى الأغنام والإبل. كما يمكن الإستفادة من السبخات عن طريق إستخراج المكونات الكيميائية التى تدخل فى تركيبها؛ للإستفادة منها فى العديد من الصناعات.

مراجع البحث

أولا المراجع العربية :

- ١- أبو العنين، حسن سيد أحمد (١٩٧٦):
«أصول الجيومورفولوجيا»، دار الثقافة الجامعية، الإسكندرية.
- ٢- _____ (١٩٨٩):
«السهول الساحلية فيما بين رأسى دبا وخور كلبا على الساحل الشرقى لدولة الإمارات العربية المتحدة»، مجلة الجمعية الجغرافية الكويتية، فبراير.
- ٣- إسماعيل، أحمد على، (١٩٧٨):
«دراسات فى جغرافية المدن» الطبعة الأولى، مكتبة سعيد رأفت، القاهرة.
- ٤- الحمدان، فاطمة عبد العزيز (١٤١٠هـ-١٩٩٠م):
«مدينة جدة»، الطبعة الأولى، دار المجتمع للنشر والتوزيع، جدة.
- ٥- المنظمة العربية للتربية والثقافة والعلوم، (١٩٧٨):
«دولة الإمارات العربية المتحدة: دراسة مسحية شاملة»، معهد البحوث والدراسات العربية، القاهرة.
- ٦- الرويش، محمد أحمد، (١٩٨٣):
«الموانئ السعودية على البحر الأحمر، دراسة فى الجغرافيا الإقتصادية»، الطبعة الأولى، مؤسسة الرسالة، جدة.
- ٧- بكر، سيد عبد المجيد، (١٤٠٨هـ):
«تطور الخدمات الترويحية بمدينة جدة»، بحث محكم رقم ٤٠٦٠٢٧، كلية الآداب والعلوم الإنسانية.
- ٨- سليم، محمد صبرى محسوب، (١٩٩١):
«جيومورفولوجية السواحل»، القاهرة.

٩- عاشور، محمد، وآخرون (١٩٩١):

«السيخات في شبه جزيرة قطر: دراسة جيومورفولوجية - جيولوجية - حيوية» جامعة قطر، الدوحة.

١٠- فايد، يوسف عبد المجيد، (١٤٠٢هـ):

«مناخ مدينة جدة»، مجلة كلية الآداب والعلوم الإنسانية، المجلد الثاني، جدة.

١١- توني، يوسف، (١٩٧٧):

معجم المصطلحات: الجغرافية، دار الفكر العربي، القاهرة.

ثانياً : المراجع الأجنبية :

1- Al Jerash, M.A., (1989):

"Data For Climatic Water Balance In Saudia Arabia (1970-1986):
"Sci. Pub. Cent. King Abdu-El Aziz. Univ. Jeddah.

2- Ashraf, W., A.W. Sanâa And A., Taher, (1986):

"On Some Supratidal Features, Ras Shukeir. Coastal Sabkha, Red Sea. Egypt.," E.G.P.S. Eighth Exploration Conference Century of First Oil Well. November.

3- Bahairy, A.K.A.O Durgaprada, And A., El Shater, (1991):

"A Siliciclastic Coastal Sabkha, Red Sea Coast.," Saudi Arabia, J.K. A.U. Mar. Sci., Vol.2.

4- Coleman, R.G., (1970-1975):

"Geologic Background of The Red Sea," Red Sea Research, Mineral Resources Bull. 22.E.

5- David, A.R., And J., Schlee, (1970-1975):

"Shallow Structure and Geologic Development of the Southern Red Sea." Red Sea Research, Mineral Resources Bulletin. 22E.

6- David. B., (1977):

"Sediments: Sources and Methods in Geography". First Pub., London.

7- El Abd, Y.L., and M.B., Awad, (1991):

"Evaporitic Sediment Distributions In El Kharra Sabkha, West Red Sea Coast. of Soudi Arabia, as Revealed from Electric Sounding". Mar. Geol.

8- Gat, J.R., and Y., Levy, (1978):

"Isotope Hydrology of Inland Sabkhas In the Bardawil Area, Sinai" *Limnol Oceanogr*, V. 23. No.5.

9- Gavish, E., (1974):

Geochemistry and Mineralogy of Recent Sabkhas Along the Coast of Sinai, Gulf of Suez *Sediment*, Nld. V. 21. No.5.

10- Khedr, E.S., (1929):

"Recent Coastal Sabkhas. form the Red Sea of Sabkhaization," *Egypt. J. Geol, Cairo*, V.33, No.1-2.

11- Krumbein, W.C., (1937):

"The Probable Error of Sampling" *Sediments of Mechanical analysis, Amer. Jour. Soc.* Vol. 27.

12- Kushnir, J., (1980):

"Correcipitation of Sea Water Cations with Gypsum In A Recent Sea. Marginal Sabkhas," *Alberta. Res. Council, B.R.G.M.*

13- Levy, Y., (1980):

"Evaporitic Environments In Northern Sinai", *Nld, Amsterdam.*

14- Long, D.T., W.B., Lyons, And H.E., Gaudette, (1985):

"Trace Metal Concentrations In Modern Marine Sabkhas", *Chem Ceal, Nld., V.53. No. 3-4.*

15- Moore, T.A., And M.H., Rehaili, (1989):

"Geologic Map of the Makah Quadrangle" Kingdom of Saudi Arabia, M.P.M.R.

16- Pallister, J.S., (1986):

"Explanatory Notes to the Geologic Map of the Al Lith Quadrangle", Sheet 20 D. King of Saudia Arabia, M.P.M.R.

17- Skmiba, W.J and others, (1977):

"Geology of the Jeddah-Makah Area, (21-39), Kingdom of Saudia Arabia, General of Mineral Resources.

18- The Center of researches and Industrial Development (1973):

A Study of Salt Industry In The Kingdom", C.R.J.P.

19- Trask, M.R., (1930):

"Mechanical Analysis of Sediments By Centrifuge", Jour. Geol. Vol. 25.

20- Wali, A.M., A.M., Abu-Khadra, and M.H. Mousa, (1991):

"Recent Sabkhas of Ayun Musa and El Shatt, Sinai, Egypt". Illus, V.6, No1.

21- Yousef, E.A.A., (1989):

"Geology and Genesis of Sulfur Deposits of Ras Gems area, Red sea Coast, Egypt", Geology, Boulder, U.S.A. V.17. No.9.

البحث السابع

أنماط المجاري المائية في حوض وادي فاطمة
القسم الغربي من المملكة العربية السعودية
دراسة جيومورفولوجية

المجلة الجغرافية العربية، العدد الثاني والثلاثون، الجزء، ١٩٩٨

أنماط المجاري المائية في حوض وادي فاطمة المملكة العربية السعودية: دراسة جيومورفولوجية

المقدمة:

تعتبر دراسة أنماط المجارى المائية من الدراسات العامة فى مجال الدراسات الجيومورفولوجية التطبيقية لما لها من أثر واضح على طبيعة الإستخدام الإقتصادى داخل أحواض الأودية، وتوزيع مراكز الإستقرار البشرى، وتحديد مناطق تجمع المياه الجوفية، وعند إقامة مشاريع الرى والصرف، ووضع الحلول المناسبة للحد من الأخطار الطبيعية التى قد يتعرض لها سكان الأودية فى النطاقات الجافة.

ولقد أوضحت الدراسات التى تمت فى هذا المجال اختلاف أنماط المجارى المائية من حوض نهري إلى حوض آخر، بل إنها تختلف داخل الحوض الواحد. وقد عرف ليوبولد وآخرون أنماط المجارى المائية بأنها الهيئة التى يظهر بها شكل المجرى كما تظهر فى الصور الجوية أو على الخرائط المصورة (Leopold, et al, 1964, p.368).

يهتم هذا البحث بدراسة أنماط المجارى المائية فى حوض وادي فاطمة، وتهدف هذه الدراسة إلى:

- ١- دراسة أنماط المجارى المائية فى حوض وادي فاطمة للتعرف على الخصائص الجيومورفولوجية لهذا الوادى وروافده وإلقاء الضوء على أشكالها.
- ٢- دراسة العوامل المؤثرة فى نشأة وتشكيل أنماط المجارى المائية فى الحوض موضوع الدراسة.
- ٣- معرفة تأثير أنماط المجارى المائية على العمليات الجيومورفولوجية السائدة فى حوض وادي فاطمة.
- ٤- تحديد أثر التكوين الجيولوجى والبنية الجيولوجية فى تحديد نمط المجرى النهري.
- ٥- دراسة العلاقة بين نمط المجرى النهري وطبيعة الإستخدام الإقتصادى داخل الوادى وتوزيع مراكز الإستقرار البشرى.

موقع منطقة الدراسة :

يقع وادى فاطمة فى القسم الغربى من المملكة العربية السعودية، يحده غرباً خط طول ٣٩ ١٥ شرقاً، ومن جهة الشرق ٤٠ ٣٠ شرقاً، ويحده من جهة الشمال خط عرض ٢٢ شمالاً، ومن جهة الجنوب خط عرض ٢١ ١٥ شمالاً شكل (٦٠). وينبع وادى فاطمة من سفوح جبال السروات ويتبع محور شمالى شرقى جنوبى غربى حتى يصب فى البحر الأحمر جنوب مدينة جدة، ويحده جنوباً سلسلة من مرتفعات الحجاز تمثل خط تقسيم المياه بين الأودية المنحدرة نحو الطائف ومنايع وادى اليمانية، ثم المرتفعات التى تقع شمال مكة المكرمة، ويحده غرباً البحر الأحمر وشرقاً سلسلة جبال السروات.

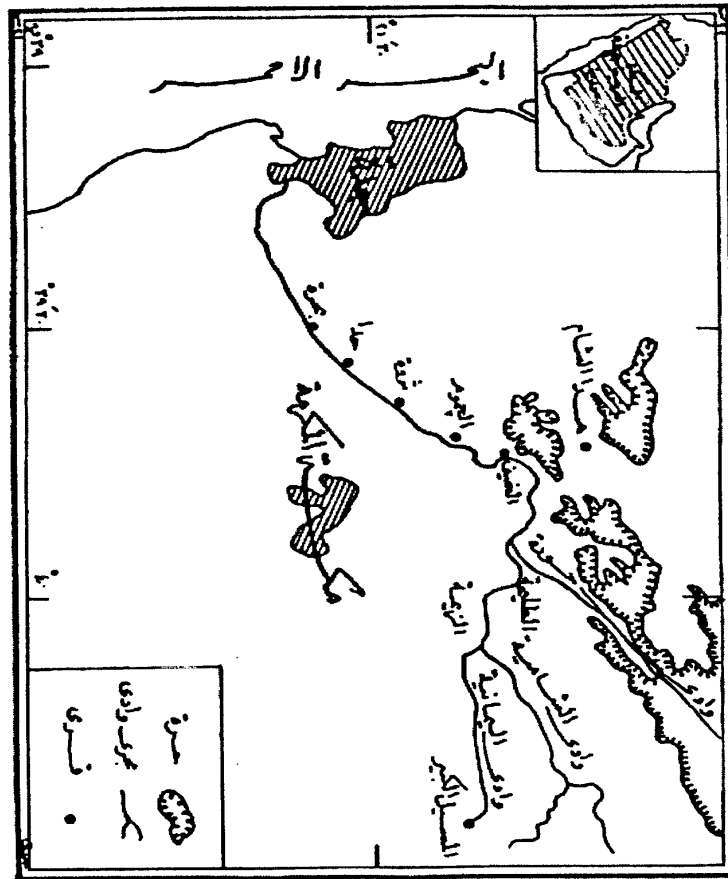
تبلغ إجمالى مساحة حوض تصريف وادى فاطمة الكلية ٤٦٥٠ كم^٢، ويبلغ طول المجرى الرئيسى للوادى ١٧٥ كم (Ibrahim, 1980, p.111) ولوادى فاطمة عدة روافد تغذية منها ثلاث روافد رئيسية فى منطقة المنابع هى وادى اليمانية، وادى الشامية، وادى حورة. وهى على مناسيب تزيد عن ١٥٠٠ متر فوق منسوب سطح البحر.

التكوين الجيولوجي:

يمكن تقسيم التكوينات الجيولوجية فى وادى فاطمة على النحو التالى:

١- تكوينات ما قبل الكامبري:

ينتمى ٦٥٪ من التركيب الصخرى لوادى فاطمة لهذه الفترة وتعرف بتكوينات وادى فاطمة Wadi Fatma formation، وهى صخور نارية ومتحولة من الجرانيت والسينوجرانيت، والجرانوديوريت والديوريت والكوارتز والفلسبار والشست والبيوتيت والامفوليت، والكوارتز ديوريت وتغطى هذه التكوينات منطقة منابع وادى فاطمة وتعرف هذه التكوينات بأسماء محلية مثل تكوين المضيق (صورة رقم ٢٩)، الجموم، باقر، شوباريم وضاف شكل (٦١) (Moor & Rehaili, 1989, p.20).



شكل (٦٠)
موقع حوض وادي فاطمة

٢- تكوينات الزمن الثالث:

وتشمل تكوين الشميسى وينكشف على طول الجانب الغربى لوادى الشميسى، ويمتد بشكل متقطع تحت حقول الالافا، والتي ترجع للزمن الثالث، وتتكون من صخور رملية وكونخلوميريت فى الوحدة السفلى، ومن أوليت وعروق حديد فى الوحدة الوسطى، أما الوحدة العليا فتحتوى على طفل وصخور وحفريات قارية وبحيرية وبحرية. (الولىعى، ١٩٩٦، ص ٥٥). ويعود هذا التكوين إلى عصر الأوليجوسين. كذلك ينتمى تكوين هذا الشام المتكون من حجر رملى وحجر طفلى وتكوينات الحرات إلى عصر الأوليجوسين، وهى تتكون من حمم بازلتية. وتميزها بمنطقة الدراسة حرة رهط، حرة النهامية وحرة يوجافا. (صورة رقم ٣٠).

٣- تكوينات الزمن الرابع:

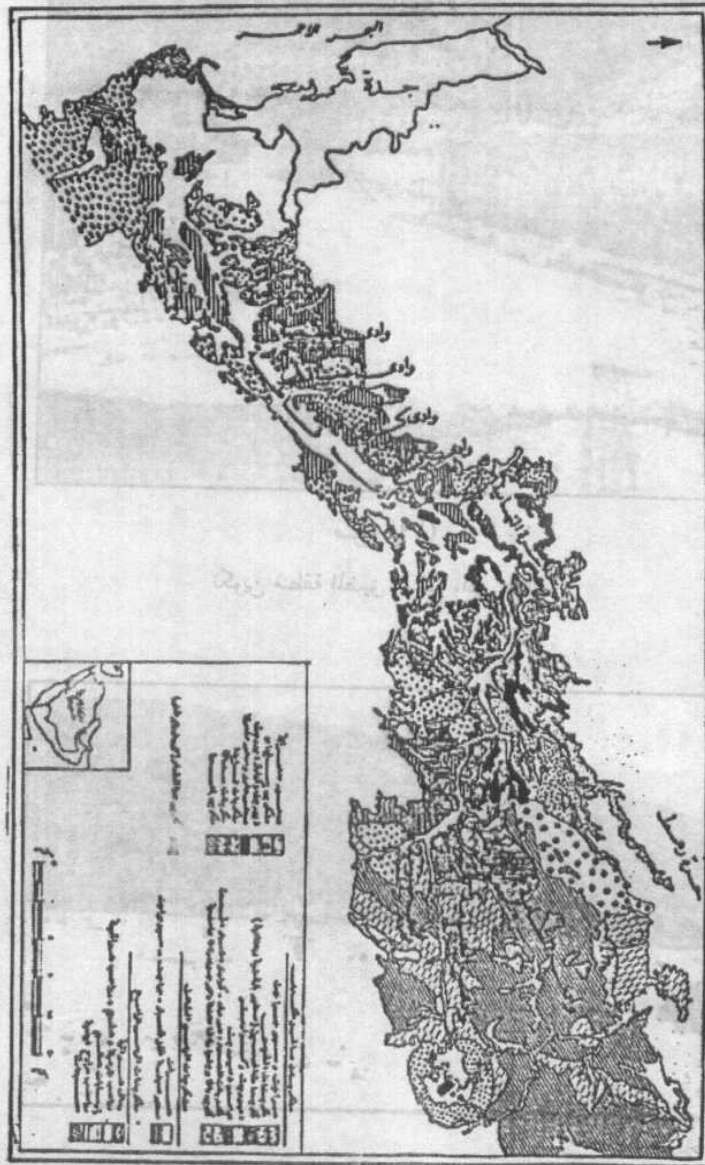
تمتد من قاع الوادى ومنطقة المصب، وهى تكوينات من الطمى والهشيم ورواسب هوائية نهريّة ورواسب الوادى المكونة من الرمال والحصى ورواسب الهشيم ورواسب المراوح الفيضية، وتتكون من الرمال والحصى ورواسب المدرجات النهريّة. (Moor & Rehaili, 1989, pp. 46-47).

البنية الجيولوجية:

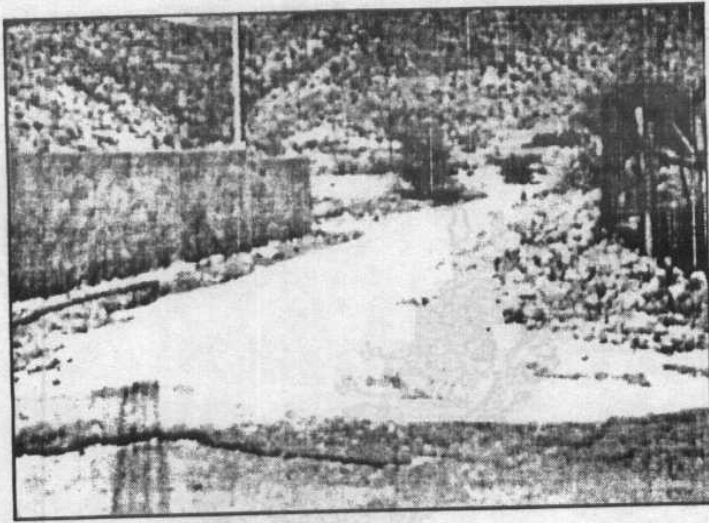
تأثرت منطقة الدراسة نظراً لقربها من البحر الأحمر بالصدوع المكونة له، وما تلى ذلك من تجدد للحركات على هذه الصدوع، فتكونت الصدوع الإقليمية والمحلية الموازية لصدوع تكوين البحر الأحمر، وهى صدوع خليج العقبة - البحر الميت - نهر الأردن، وصدوع تكوين خليج عدن التى تسببت فى تكوين صدوع إقليمية ومحلية متوازية فى المنطقة، وتتخذ الصدوع فى منطقة الدراسة اتجاهات مختلفة منها:

١- صدوع إقليمية شمالية غربية مثل صدع الكور- شميسى، صدع فاج الكريم، صدع الحسينية. (صورة ٣١).

٢- صدوع إقليمية شمالية شرقية مثل صدع العقبة.



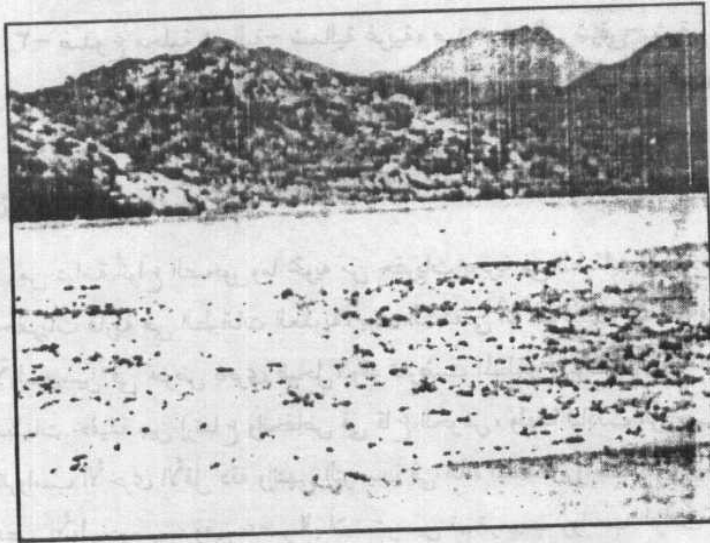
شكل (٦١)
التكوينات الجيولوجية في وادي فاطمة



صورة (٢٩)
تكوين منطقة المضيق، منابع وادي فاطمة



صورة (٣٠)
تكوين حرة النهامية ويرجع إلي عصر الأوليجوسين



صورة (٣١)

صدع فاج



صورة (٣٢)

نظم الفواصل في السطح الشمالي لوادي فاطمة

٣- صدوع محلية شمالية- شمالية غربية، صدع شمالي شرقي- شرقي شمالي شرقي، صدوع شمالية غربية وصدوع غربية- شمالية غربية. (Al Shanti, 1966, p.24-27).

التاريخ الجيولوجي:

من دراسة أنواع الصخور وما تحويه من حفريات بحرية فى الطبقات السفلى والعليا، وحفريات قارية فى الطبقات العلوية، يرى الشنطى أن الترسيب قد بدأ فى عصر الأوليجوسين فى حوض بحرى ضحل، وقد تعرضت المنطقة لهبوط تدريجى عام تخلله تذبذبات خفيفة بين إرتفاع وإنخفاض فى قاع الحوض، ولهذا تبادلت الرواسب الدقيقة والرواسب الأخرى الأقل دقة وانتهى الترسيب فى هذه المنطقة برواسب قارية محلية تتبع عصر الأوليجوسين، وفى عصر البلايستوسين تم ترسيب رواسب الوادى ورواسب المدرجات النهرية والمراوح الفيضية والرواسب النهرية والهوائية. (Ibid. p.36).

خصائص سطح الوادى:

يبلغ منسوب أرض الوادى بصفة عامة ٤٠٠ متر فوق منسوب سطح البحر، وتحيط بالوادى مجموعة من الجبال يتراوح ارتفاعها ما بين ٤٠٠ إلى ٨٠٠ متر من أهمها جبل أبو غارة ٦٢٠ م، وجبل مكسر ٧٧١ م، وجبل ضاف ٦٠٠ م، وجبل شلوه ٦٢٠ م، وبعض التلال المنخفضة المنسوب والحرث وأهمها حرة رهط ٧٠٠ م، حرة الدنون ٥٦٠ م، حرة النهامية ٤٠٠ م. وعلى الجانب الأيمن للسفلى للوادى تمتد المراوح الفيضية عند أقدام سفوح السلاسل الجبلية فى شكل رصيف (سهول بهادا) ويقل إنحدارها تدريجياً حتى تنخفض مع رواسب السهل الفيضى للوادى. ويتكون الجانب الأيسر للوادى من رواسب رملية وإنحداره أقل من الجانب الأيمن ويمكن تقسيم المجرى الرئيسى لوادى فاطمة إلى ثلاث أقسام رئيسية هى:

١- القسم الأعلى من وادى فاطمة يمتد هنا القسم لمسافة ٤٠ كم بمتوسط إنحدار قدره ١/١٦٠ م وهو يمتد على شكل مجرى متفرع من الشرق إلى الغرب ويشق مجراه فى صخور ما قبل الكامبرى ولا يزيد عرض الوادى عن ١ كم ويرى بونزر

Butzer أن مثل هذه الأودية قد حُفرت خلال الفترات المطيرة. (Ibrahim, 1980, p.116)

ويرى إبراهيم (Ibid. p.118) من خلال دراسته الحقلية أن هذا الجزء من مجرى الوادى قد نشأ بفعل نحت نهري عادى يرتبط بخطوط بنيوية.

٢- القسم الأوسط من وادى فاطمة. وقد تأثر هذا الجزء من المجرى بالحركات التكتونية حيث يرتبط بوجود إنكسار أهدودى متوسط عرضه يتراوح بين ٢-٤ كم ويتقطع الجانب الغربى من الوادى إلى كتلة جبلية يفصل بينها أودية أهدودية Rift Valleys ويبلغ معدل إنحدار الوادى فى هذا القسم ٢٧٠/١ م (Ibid. p.120).

٣- القسم الأدنى من وادى فاطمة وهو يمثل منطقة مصب الوادى جنوب مدينة جدة، حيث يوجد سهل يبلغ عرضه ٢٥ كم.

متلخ الوادى :

يوجد تنوع فى عناصر المناخ فى الوادى نظراً لوجود منطقتين تضاريسيتين، تمثلهما الكتل الجبلية المرتفعة «سفوح جوانب الوادى»، والأرض السهلية «بطن الوادى ومنطقة المصب». ولكن بصفة عامة يقع الوادى ضمن الأقليم المدارى الجاف، ويتعرض لتأثيرات مناطق تتباين درجة حرارتها من فصل إلى آخر، وهى تأثيرات مناخ البحر المتوسط فى الشمال، والمناخ الموسمى فى الجنوب. (إسماعيل والحسينى، ١٩٧٦، ص ١٥). من حيث درجات الحرارة تختلف درجات الحرارة نظراً لاختلاف الارتفاع عن سطح البحر والبعد عن ساحل البحر، فمتوسط درجات الحرارة فى المنطقة السهلية يصل إلى ٢٣ م فى يناير و٣٢ م فى يولييه. بينما يصل المتوسط السنوى فى المنطقة الجبلية ١٠ م فى يناير و٢٤ م فى يولييه. وتتراوح الرطوبة النسبية بين ٥٠٪ و ٧٠٪ فى السهل الساحلى، وتتراوح بين ٢٠٪ و ٦٠٪ فى إقليم المرتفعات. وتقدر معدلات التبخر بنحو ٢,٥ م سنوياً. (المراجع السابق، ص ١٥).

من حيث الأمطار تتميز بسمات الأمطار الصحراوية، ومن خصائصها عدم الانتظام

من حيث مقدار الكمية أو موعد السقوط ولا يرتبط موعد سقوط المطر بشهر المطر في شهر مارس (٣٦,٨ م)، وتراوح كمية المطر خلال الفترة من ١٩٧٠ إلى ١٩٨٦ بين (٩١,٢ م و ٢٩٩٥ م) وسقطت أعلى كمية مطر في عام ١٩٧١ (٢٠٨ م) في شهر مارس. (Eljarash, 1989. p.263).

تراوحت كمية الأمطار في مدينة جدة في نفس الفترة بين ٤,٣ م و ١٢٤,٥ م، وسقطت أعلى كمية مطر في شهر يناير عام ١٩٧٩ وكانت ١١٧,٦ م. (Ibid. p.257).

أنماط الأودية في حوض وادي فاطمة :

Channel Patterns in Wadi Fatma Basin

من دراسة الخرائط الجغرافية والجيولوجية مقياس ١: ٢٥٠٠٠٠٠ والصور الجوية والخرائط المصورة مقياس ١: ٢٥٠٠٠٠٠ لودى فاطمة تبين أن أنماط الأودية في حوض وادي فاطمة تنقسم إلى ثلاثة أنماط رئيسية هي النمط المستقيم، النمط المتعرج، والنمط المنعطف، وفيما يلي دراسة عن كل نمط منهم.

١- النمط المستقيم Straight Pattern:

عرف كل من جريجورى ووالنج النمط المستقيم بأنه مجرى مستقيماً لمسافة تزيد عن متوسط عرضه عشر مرات. (Gregory & Walling, 1976, p.247) ولما كان هذا نادر الوجود في الطبيعة لتداخل العديد من العوامل المؤثرة على شكل الوادى فإن ما تم قياسه من أودية مستقيمة لا تمثل نمطاً سائداً، ولا توجد أودية مستقيمة تبعاً لهذا المعيار من المنبع إلى المصب، ولهذا كانت الإستقامة لا تمثل إلا جزءاً من قطاع الوادى. ولقد تم إختيار عدد ١٠ عينات في أماكن مختلفة من الحوض موضوع الدراسة وقع عليها القياس وقد تم إتباع طريقة ميلر Muller (Ibid, p.50) لقياس معدل المجرى بإستخدام المعادلة التالية:

$$\text{معدل المجرى Channel Index} = \frac{\text{طول المجرى}}{\text{أقصر مسافة بين المنبع والمصب}} = \frac{\text{ط. ف}}{\text{ط. م}}$$

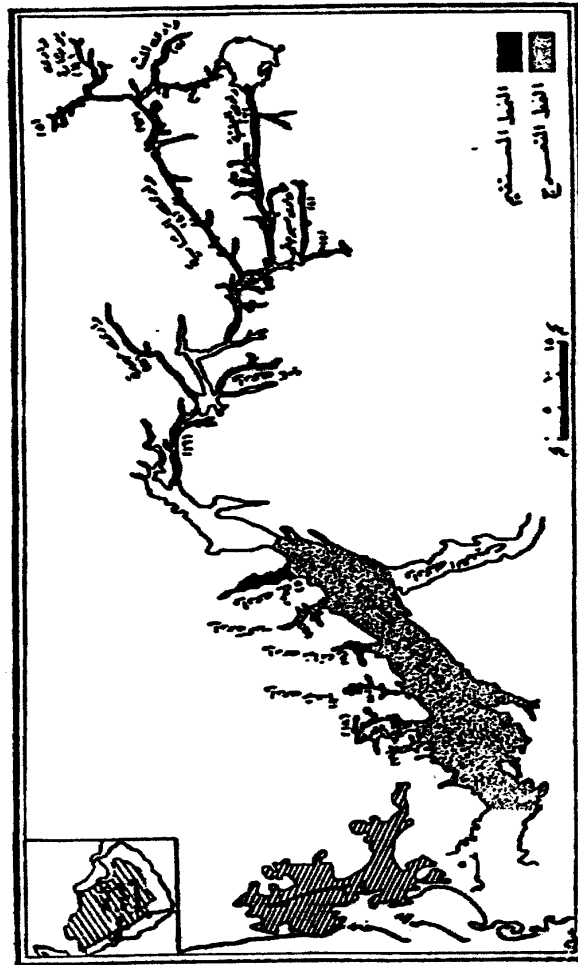
فإذا كان ناتج المعادلة يساوى (١)، أى يتساوى طول الوادى مع الطول المستقيم فى مسافة لا تقل عن متوسط عرض الوادى عشر مرات يعرف الوادى فى هذه الحالة بالنمط المستقيم.

ويوضح الجدول التالى نتائج قياس النمط المستقيم لوادى فاطمة شكل (٦٢)

جدول (١) : نتائج قياس النمط المستقيم لروافد وادى فاطمة

يتضح من الجدول السابق مايلى :

موقع المجرى	رقم العينة	طول المجرى (كم) ط. ف	الطول المستقيم (كم) ط. م	متوسط العرض م. ع	معدل التعرج	ط. ف. ع. م
وادى صبوحة (منابع الوادى)	١	١١,٢٥	١١,٢٥	٠,٢٥	١	٤٥
منابع وادى فاطمة من الجنوب	٢	٦,٢٥	٦,٢٥	١,٠٠	١	٦,٢٥
الجزء الأوسط من وادى اليمانية	٣	٢٦,٢٥	٢٦,٢٥	١,٢٥	١	٢١,٠٠
الجزء الأوسط من وادى الشامية	٤	٢٢,٥	٢٢,٥	١,٠٠	١	٢٢,٥
منابع الشامية من جهة الشمال	٥	١٢,٢٥	١٢,٢٥	١,٢٥	١	٩,٨
منابع الشامية من الجنوب	٦	٩,٧٥	٩,٧٥	٠,٧٥	١	١٣,٠٠
وادى تاب	٧	١٠,٠٠	١٠,٠٠	٠,٢٥	١	٤
وادى فح	٨	٩,٧٥	٩,٧٥	٠,٨٨	١	١١,٠٨
وادى ضاف	٩	٧,٢٥	٧,٢٥	١,٢٥	١	٥,٨
وادى شعبة	١٠	٨,٣٠	٨,٣٠	٠,٥٠	١	١٦,٦



شكل (٦٤)

أنماط المجارى المائية فى وادى فاطمة

- ١- يمثل إجمالى طول العينات التى تم قياسها ١٢٣,٥٥ كم.
- ٢- من دراسة العلاقة بين نمط المجرى المستقيم ونوع التكوينات الجيولوجية شكل ٢، ٣ تبين أن مجارى النمط المستقيم تشق طريقها عبر تكوينات نارية ومتحولة من صخور التونوليت، الجرانوديوريت وموزوجرانيت والهورنبلند والبيوتيت والجابرو، وتعرف هذه التكوينات بأسماء محلية مثل تكوين الشامية وجمرة والمضيق. ويمثل ذلك العينات من رقم (١) إلى رقم (٧) وهى التى تقع جميعها فى الجزء العلوى من مجرى الوادى.
- أما مجموعة الأودية من رقم (٨) إلى رقم (١٠) والتى تقع فى القطاع الأوسط من مجرى الوادى تشق طريقها عبر تكوينات فاطمة وضاف وشوباريم، وهى تكوينات من البريشيا والبازلت والحجر الجيري والريوليت، وتنتمى إلى الزمن الثالث. ومعنى ذلك وجود إرتباط بين نوع التكوينات الجيولوجية الصلبة ووجود النمط المستقيم.
- ٣- يلاحظ وجود علاقة ارتباط بين وجود النمط المستقيم وخطوط الصدوع الرئيسية بالمنطقة سواء كانت الصدوع الإقليمية أو المحلية والتى تتبع محاور شمالية غربية جنوبية شرقية. شمالية جنوبية، صدوع شمالية شرقية- جنوبية غربية، صدوع تتبع محور شمال الشمال الغربى- جنوب الجنوب الشرقى.
- ٤- من حساب قيمة معامل الإرتباط بين متوسط عرض الوادى وطول الجزء المستقيم تبين عدم وجود علاقة ارتباط فيما بينهما حيث كانت قيمة معامل الإرتباط ٠,٣٦٠.
- ٥- من دراسة توزيع مراكز الإستقرار البشرى فى روافد وادى فاطمة ذات النمط المستقيم يلاحظ شبه إنعدام وجود مراكز للإستقرار البشرى فى هذه الروافد باستثناء وادى الشامية وادى اليمانية.

٢- النمط المتعرج Sinuous Pattern:

- ٥- يعرف المجرى بأنه من النمط المتعرج فى حالة زيادة الطول الفعلى للمجرى عن الطول المستقيم، على أن تقل هذه الزيادة التى تعرف بمقياس التعرج Sinuosity

Index عن ١,٥ مرة. ولقد عرف ليوبولد تعرج المجرى Channel Sinuosity بأنه نسبة توجد بين المجرى المتعرج وطول الوادي تساوي أو تقل عن ١,٥ مرة (Leopold, 1964, p.296) ويمكن حساب قيمة مقياس التعرج باستخدام معادلة ميللر السابق الإشارة إليها.

من دراسة الصور الجوية والخرائط الجيولوجية والجغرافية لوادي فاطمة تبين وجود هذا النمط في عدد من روافد وادي فاطمة وفي قطاعات من المجرى الرئيسي أيضاً لوادي فاطمة كما هو موضح في شكل (٦٢) جدول رقم (٢).

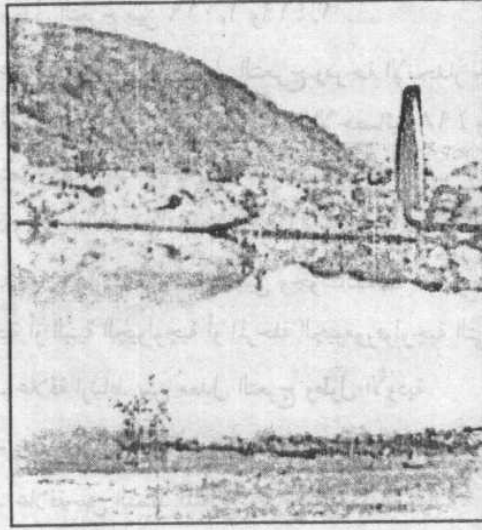
جدول (٢)

مقياس التعرج لعدد من روافد وقطاعات من مجري وادي فاطمة

يتضح من الجدول السابق ما يلي:

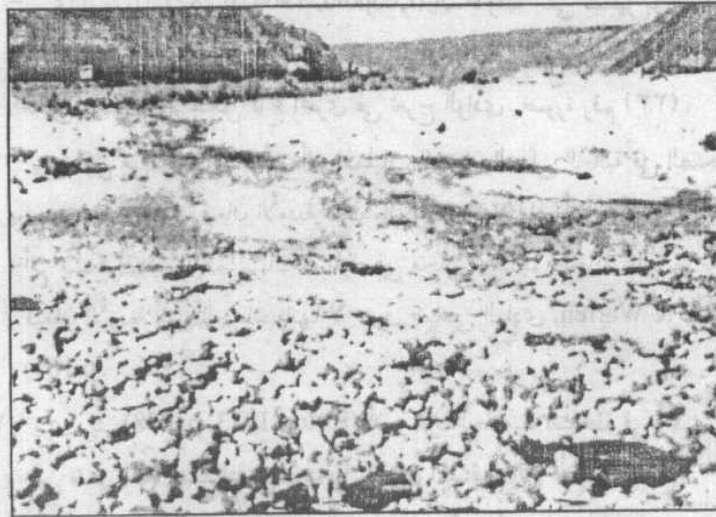
رقم العينة	الموقع	الطول الفعلي	الطول المستقيم	مقياس التعرج	متوسط عرض الوادي
١١	وادي يوشارة رافد وادي الشامية	٩,٧٥	٨,٧٥	١,١١٤	٠,٥٠
١٢	وادي المثلث رافد وادي الشامية	٩,٧٥	٩,٢٥	١,٠٥٤	٠,٢٥
١٣	المجري الأعلى لوادي الشامية	٩,١٢	٨,٧٥	١,٠٤٢	٠,٧٥
١٤	قطاع من المجري الأعلى لوادي فاطمة	١٣,٧٥	١١,٢٥	١,٢٢٢	١,٢٥
١٥	وادي حورة	٢٢,٥	٢٠,٥٠	١,٠٩٨	٠,٥٢٥
١٦	قطاع من مجري وادي فاطمة فيما بين حرة الدنون وحرة يوجافا	١٤,٢٥٠	١٢,٢٥٠	١,١٦٣	٠,١٢٥
١٧	وادي كور	٨,٧٥٠	٧,٥٠	١,١٦٧	١,٠٧٥
١٨	رافد شمالي لوادي فاطمة	١١,٠٠	٧,٧٥٠	١,٤١٩	٠,٥٥
١٩	رافد شمالي لوادي فاطمة	٩,٢٥٠	٧,٥٠	١,٢٣٣	٠,٦٠
٢٠	القطاع الأدنى من مجري وادي فاطمة	٥٢,٢٥	٥١,٢٥	١,٠١٩	٨,٠٠

- ١- يتراوح معدل التعرج بين ١,٠١٩ و ١,٤١٩ .
 - ٢- يوجد علاقة ارتباط بين معدل التعرج ودرجة الانحدار حيث كانت قيمة معامل الارتباط ٠,٨٥٧ ومستوى الدلالة الإحصائية ٩,٨٪ ومعنى ذلك ارتفاع معدل التعرج مع زيادة درجة الانحدار فى الأودية موضوع الدراسة بينما يقل معدل التعرج فى الأودية المنخفضة الانحدار.
 - ٣- لا توجد علاقة ارتباط واضحة بين وجود النمط المتعرج ونوع التكوينات الجيولوجية أو البنية الجيولوجية أو المرحلة الجيومورفولوجية التى يمر بها الوادى.
 - ٤- لا توجد علاقة ارتباط بين معدل التعرج وطول الأودية.
 - ٥- لا توجد علاقة بين معدل التعرج ومتوسط عرض الوادى.
 - ٦- لا توجد علاقة بين النمط المتعرج وتوزيع المراكز العمرانية.
- ويمكن إيضاح أسباب تعرج الأودية فى روافد وادى فاطمة أو قطاعات معينة من المجرى الرئيسى على النحو التالى:
- ١- يرى ليوبولد (Leopold, 1964, p.282) أن الأودية التى تتميز بوجود البرك والأكوام Pools and Riffels تتميز بسيادة عملية النحت السريع والإرساب البطيء وبذلك يؤثر شكل قاع المجرى فى تعرج الوادى. صورة رقم (٣٣).
 - ٢- يرى كل من كوك وورن أن تأثير عمليات الجريان السيلى الحالية فى الصحارى تعمل على تعديل قيعان الأودية فقط وإن احتمال إمتداد تأثيرها للجوانب يعتبر أمر مشكوك فيه، وهما يريان أن المياه فى مجارى المناطق الجافة غالباً ما تغطى قيعان الأودية أثناء الجريان وأنها لا تفرق ضفتى الوادى (Cook & Warren, p.164).
 - ٣- يرى ريتزر (Ritter, 1973, p. 238) أن وجود الجلاميد الساقطة فى المجرى تؤثر على تدفق المياه فيبدأ التعرج، ويتحول المجرى المستقيم إلى مجرى متعرج.
 - ٤- ترى موريساوا (Morisawa, 1968, p.140) أن الأودية ذات الانحدارات القوية غالباً ما تحاول إطالة مجاريها لإختزال هذا الانحدار، ويتم ذلك عن طريق تعرج الأودية.



صورة (٣٣)

البرك في مجرى وادى فاطمة فى القطاع الأوسط من مجرى الوادى



صورة (٣٤)

ثنية نهريه فى منطقة الروضة الشماليه

وتطبيق الآراء السابقة على وادى فاطمة وروافده يمكن القول أن تعرج المجرى الرئيسى وروافده، يرجع إلى وجود البرك والأكوام ووجود الجلاميد الساقطة فى القطاع الأوسط والأدنى من المجرى وروافده.

٣- النمط المنعطف Meandering Pattern:

يعتبر نمط المجرى نمط منعطف إذا زاد الطول الفعلى للمجري عن الطول المستقيم بمقدار ١,٥ مرة. (Chorley, 1977, p. 421).

ولدراسة النمط المنعطف فى وادى فاطمة تم اختيار ثمانية عينات من منعطفات الأودية وتم قياس الأبعاد الآتية:

- ١- طول المنعطف أو طول الموجة Wave Length وهو يمثل الطول الفعلى للوادي من بداية المنعطف إلى نهايته ويتم قياسه فى خط وهمى وسط الوادى.
- ٢- طول المحور أو طول الموجة المحورى Axial Wave Length وهو عبارة عن خط مستقيم يمثل محور المنعطف.
- ٣- عرض المنعطف «سعة الموجة» Amplitude وهو يمثل أقصى عرض للمنعطف ويقاس عمودياً.

- ٤- نصف قطر التقوس Radius of Curvature ويتم قياسه على أساس عدد من الخطوط العمودية على طول المنعطف وذلك فى عدد من النقاط الموقعة على مسافات معينة على الخط الوهمى المار بوسط الوادى، ومن التقاء هذه الخطوط فى نقطة خارج الوادى تمثل المركز المتوسط يتم قياس نصف القطر.
- ٥- متوسط عرض المجرى.

- ٦- معدل تقوس المنعطف ويتم استخراجه من قسمة طول المنعطف على طول محوره، وقد تم قياس أبعاد للمنعطفات فى مجرى وادى فاطمة وروافده من الصور الجوية مقياس ١ : ٢٥٠,٠٠٠ شكل (٦٣). ويوضح الجدول رقم (٣) أبعاد المنعطفات موضوع الدراسة.

جدول (٢) أبعاد المنعطفات في وادي فاطمة وروافده

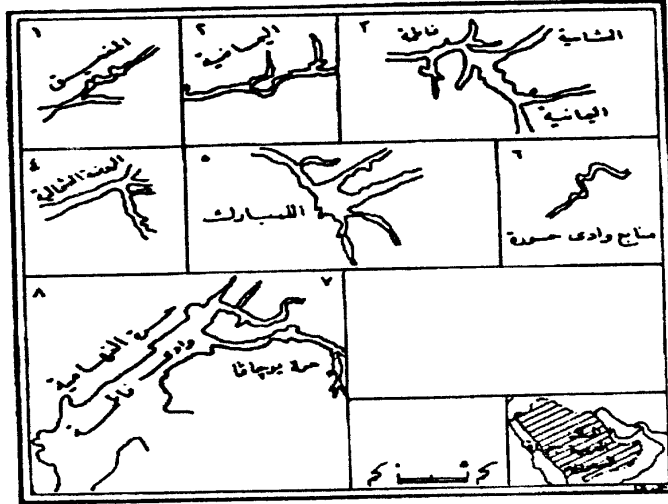
موقع المنعطفات	طول المنعطف	طول المحور	معدل التقوس	عرض المنعطف	نصف قطر التقوس	متوسط عرض الوادي
منطقة المضيق	٤,١٢١	١,٥٢٠	٢,٧١١	٠,٧٥٥	٠,٢٥٦	٠,٥٣٠
وادي اليمانية	٤,٥٠٢	١,٠٥١١	٢,٩٧٩	١,١٢٥	٠,٢٧٥	٠,٢٧٢
وادي فاطمة عند التقاء الشامية واليمانية	١٣,١٥٥	٨,٥٠٢	١,٥٤٧	٢,٧٥٣	١,٥٢٢	١,٢٥٣
وادي فاطمة منطقة الروضة الشمالية	١٣,٧٥٥	٥,٠١٠	٢,٧٤٦	٣,٧٥٤	١,٢٥٥	٠,٧٥٠
وادي فاطمة منطقة المبارك	١٨,٧٥	١٢,٢٥	١,٥٣١	٣,٢٥٠	٢,٥٠١	١,٨٧٥
منايع وادي حورة	٩,٢٥٠	٥,١٠٥	١,٨١١	١,٢٥٥	١,١١٠	٠,٧٧٠
وادي فاطمة شرق حرة يوجافا	١٤,٠٢٠	٨,٧٥٠	١,٦٠٢	٣,٣٠٠	٢,٥٢٠	١,١٢٥
وادي فاطمة منطقة الخيف	١٨,٢٥٥	١١,٠٥٢	١,٥٨٤	٢,٧٥٣	١,٥٥٦	٢,٥٠٠

يتضح من الجدول السابق ما يلي:

١- تتراوح أطوال المنعطفات بين ٤,١٢١ و ١٨,٧٥٠ كم، ويتراوح عرض المنعطفات بين ٠,٧٥٥ و ٣,٧٥٤ كم، ويتراوح نصف قطر التقوس بين ٠,٢٥٦ و ٢,٥٠٤ كم ويتراوح متوسط عرض الوادي بين ٠,١٧١ و ٢,٥٠٠ كم وتراوح قيمة معدل التقوس بين ١,٥٣١ و ٢,٩٧٩، وهي تقع داخل المعدل الذي وضعه كل من ليوبولد وولمان في دراستهم عن المنعطفات النهرية: (Leopold & Wolman, 1960., p. 774).

٢- من دراسة العلاقة بين أبعاد المنعطفات جدول رقم (٤) تبين ما يلي:

أ- وجود علاقة ارتباط موجبة بين طول المنعطف وطول المحور حيث كانت



شكل (٦٣)

النمط المنعطف في وادي فالحة

قيمة معامل الارتباط ٠,٩٠٥ وتوجد علاقة ارتباط بين طول المنعطف ونصف قطر التقوس ٠,٩٥٢، وطول المنعطف ومتوسط عرض الوادي ٠,٨٣٣، وبين طول المنعطف وعرض المنعطف ٠,٧٣٨، كما توجد علاقة ارتباط موجبة بين طول المحور ونصف قطر التقوس ٠,٩٢٩ وطول المحور مع متوسط عرض الوادي ٠,٩٥٢ وعرض المنعطف وطول المحور ٠,٥٤٨ وعرض المنعطف ونصف قطر التقوس ٠,٧١٤، ونصف قطر التقوس ومتوسط عرض الوادي ٠,٧٣٨.

ب- توجد علاقة ارتباط سالبة بين طول المنعطف ومعدل التقوس حيث كانت قيمة معامل الارتباط -٠,٦٩٠، وبين طول المحور ومعدل التقوس -٠,٩٠٤، ومعدل التقوس ونصف قطر التقوس ٠,٧٥٨، ومعدل التقوس

ومتوسط عرض الوادى-٠,٩٠٤ .

ج- لا توجد علاقة ارتباط بين كل من معدل التقوس وعرض المنعطف، وبين عرض المنعطف ومتوسط عرض الوادى.

جدول (٤)

قيمة معامل الارتباط بين أبعاد المنعطفات في وادي فاطمة

	طول المنعطف	طول المحور	معدل التقوس	عرض المنعطف	نصف قطر التقوس	متوسط عرض الوادى
طول المنعطف	-	٠,٩٠٥+	٠,٦٩٠-	٠,٧٣٨+	٠,٩٢٥+	٠,٨٣٣+
طول المحور	٠,٩٠٥+	-	٠,٩٠٤	٠,٥٤٨+	٠,٩٢٩+	٠,٩٥٢+
معدل التقوس	٠,٦٩٠-	٠,٩٠٤-	-	٠,٠٧-	٠,٧٨٥-	٠,٩٠٤-
عرض المنعطف	٠,٧٣٨+	٠,٥٤٨+	٠,٠٧-	-	٠,٧١٥+	٠,٤٧٦+
نصف قطر التقوس	٠,٩٥٢+	٠,٩٢٩+	٠,٧٨٥-	٠,٧١٥+	-	٠,٧٣٨+
متوسط عرض الوادى	٠,٨٣٣+	٠,٩٢٥+	٠,٩٠٤-	٠,٤٧٦	٠,٧٣٨	-

٣- يلاحظ أن المنعطفات توجد في القطاع الأعلى والأوسط من مجرى وادى فاطمة صورة (٣٤).

٤- لا يوجد علاقة ارتباط واضحة بين وجود النمط المنعطف وتوزيع المراكز العمرانية وإن وجدت بعض القرى في مناطق للمنعطفات النهرية كما هو الحال في منعطفات وادى الشامية، وفي منعطف مجرى وادى فاطمة في منطقة الخيف، فيلاحظ تركيز القرى في الجانب المحدث من المنعطف.

نشأة المنعطفات في وادي فاطمة:

يرى باركس Parker أن تكون المنعطفات يرجع إلى عدة عوامل منها الحركة

الحلزونية Helicoidal للتيار، ونقل مواد القاع، ويتحكم فى ذلك طبيعة الصخور والبنية فى الأودية الصخرية.

ويرى جاكسون Jackson أن شكل قاع الودى Bed form وحجم مواد القاع Bed material size إلى جانب سرعة التيار نفسه Flow Velocity عامل أساسى فى تكوين المنعطقات.

ويرى صالح. (صالح، ١٩٨٥، ص ١٧٢) تدخل الصخور الصلبة فى تكوين جوانب المنعطقات فى تكوين وتشكيل المنعطقات وإعطائها شكلها المميز لها حيث تعمل الحصائص المختلفة للصخور وظروفها البنيوية على مساعدة الظروف الأخرى فى تكوين المنعطقات، فتعمل أنظمة الفواصل والصدوع الصغيرة على توجيه حركة الجريان أو زيادة النحت على أحد الجوانب أو تغير اتجاه الوادى إلى مسار مختلف، ويساعد فى ذلك درجة صلابة التكوينات وسطوح الانفصال فيها والمتداخلات المختلفة التى تؤدى إلى وجود رواسب معينة ذات أحجام قد تكون خشنة أو ناعمة مما يؤثر على حركة التيار ومن ثم تساعد فى نشأة مثل هذه المنعطقات.

الختام

يشق وادى فاطمة مجراه خلال تكوينات جيولوجية ترجع إلى ما قبل الكمبرى والزمن الثالث، وتنتشر تكوينات الزمن الرابع داخل مجرى الوادى ولقد تأثرت المنطقة نظراً لقربها من البحر الأحمر بالصدوع المكونة له، وكذلك بالصدوع الإقليمية والمحلية الموازية لصدوع البحر الأحمر، وكانت لهذه الصدوع دور رئيسى فى تكوين أنماط المجارى المائية فى وادى فاطمة وخاصة فى القسم الأعلى والأوسط من الوادى.

ولقد تبين من الدراسة أن أنماط الأودية الرئيسية فى وادى فاطمة هى النمط المستقيم والمتعرج والمنعطف وقد تبين أن النمط المستقيم يرتبط بوجود الصخور النارية والمتحولة خاصة فى الجزء الأعلى من مجرى وادى فاطمة وروافده كما أوضحت الدراسة وجود ارتباط بين النمط المستقيم وخطوط الصدوع الرئيسية بالمنطقة.

كذلك أوضحت الدراسة وجود علاقة ارتباط بين معدل التعرج ودرجة الانحدار ويرجع تكوين النمط المتعرج إلى تأثير عمليات الجريان السيلى الحالية، أو إلى وجود الجلاميد ووجود البرك والأكوام والتى تؤثر على تدفق المياه. ويمكن القول أن تعرج المجرى الرئيسى وروافده يرجع إلى زيادة معدلات الانحدار فى القطاع الأعلى من مجرى الوادى وروافده، أما فى القطاع الأوسط والأدنى فيرجع إلى وجود الجلاميد والبرك والأكوام فى مجرى الوادى.

كما اتضح من الدراسة السابقة أن تكون المنعطفات النهرية فى وادى فاطمة يرجع إلى كل من الظروف البنيوية ونوع الصخور الأصلية، حيث عملت الفواصل والصدوع على توجيه حركة الجريان وزيادة النحت على أحد جانبي الوادى أو تغيير اتجاه المجرى إلى مسار مختلف ولقد تبين من دراسة العلاقة بين أنماط المجارى المائية وتوزيع المراكز العمرانية، أن المجارى ذات النمط المستقيم يكاد ينعدم وجود مراكز عمرانية بها بينما لا توجد علاقة بين توزيع المراكز العمرانية وكل من النمط المتعرج والمنعطف. ويتحكم فى

تحديد موقع المراكز العمرانية تأثير السيول، حيث تنتشر القرى فوق المرتفعات المحمية من فعل السيول ومن خير الأمثلة على ذلك قرية المضيق التي تقع على حوائط الوادى المرتفعة بعيداً عن مستوى أعلى سيل. كما يلاحظ وجود بعض المراكز العمرانية ذات مساحات محددة فى الجزء الأعلى من مجرى الوادى وروافده العليا نظراً لضيق عرض المجرى، بينما تنتشر المراكز العمرانية الكبيرة المساحة فى الجزء الأوسط والأدنى من مجرى الوادى.

المراجع

أولاً: المراجع العربية :

- ١- اسماعيل، أحمد على، الحسينى، السيد السيد، (١٩٧٩):
« وادى فاطمة دراسة جغرافية »، مجلة الخفجى، العدد (٦).
- ٢- السريانى، محمد محمود، (١٤٠٩هـ):
« ملامح العمالة الزراعية فى وادى فاطمة »، مركز بحوث العلوم الإجتماعية ومعهد
البحوث العلمية وإحياء التراث الإسلامى، جامعة أم القرى.
- ٣- الوليعى، عبد الله بن ناص، (١٩٩٦):
« جيولوجية وحيومورفولوجية المملكة العربية السعودية »، بحوث فى الجغرافية التطبيقية
للمملكة العربية السعودية، الطبعة الأولى، الرياض.
- ٤- بدوى، محمد نصر الدين، عامر، محمد عبد المجيد، (١٤٠٥هـ):
« الإستغلال الزراعى فى وادى فاطمة بمنطقة مكة المكرمة »، الجمعية الجغرافية الكويتية،
الكويت.
- ٥- صالح، أحمد سالم، (١٩٨٥):
« حوض وادى العريش: دراسة جيومورفولوجية » رسالة دكتوراه غير منشورة، كلية
الآداب جامعة القاهرة، قسم الجغرافيا.

ثانياً: المراجع الأجنبية :

1- Al Jarash, M.A., (1989):

"Data for climatic water balance in Saudi-Arabia (1970-1986)".
Sci. Pup. cent King Abdel Aziz Univ. Jeddah.

2- Al Shanti, A., (1966):

"Oolitic Iron ore deposits in Wadi Fatma between Jaddah and
Mecca, Saudi Arabia". Min. Res. Bulletin 2. Jeddah.

3- Chorley, R.J., (1977):

"Introduction to fluvial processes", Methuen & Co. Ltd., London.

4- Cooke, R.V., Warren, A. (1973):

"Geomorphology in deserts", London.

5- Gregory, K. J., (1977):

"River channels change", John Wiley & Sons. London.

6- Gregory, S., (1973):

"Statistical methods and the geographer", 3rd. edition. London.

7- Ibrahim, E.E., (1974):

"On recent Nile aggradation", Journal of Cairo University in
Khartoum, Vol. 5, pp.1-13.

8- Ibrahim, E.E., (1974-1975):

"Channel patterns of the Nile in Lower Egypt", Bull. de la Soc. de
Geog. d'Egypte, Tomes XVII-XVIII, pp. 129-151.

9- Ibrahim, E.E., (1980):

"Contribution to the geomorphology and water supply of Wadi

Fatma, Saudi Arabia", Bull. of Arab Research and studies, Vol. X, pp.111-131.

10- Katakura, M., (1977):

"Bedouin village", A study of Saudi Arabian people in Transition Univ. of Tokyo.

11- Leopold, L.B. and Wolman, M.G., (1957):

"River channel patterns, braided meandering and straight". U.S. Geol Survey, prof. paper 282.

12- Leopold, L.B. and Wolman, M.G., (1960):

"River meanders", Geol. Soc. Amer. Bull. 71. pp.769-794.

13- Leopold, L.B., Wolman, M.G. & Miller, J.P. (1946):

"Fluvial processes in Geomorphology" Free Man, London.

14- Moore, T.A. & Al-Rehaili, M. (1989):

"Geologic map of Makkah Quadrangle", Sheet 21D. King. of Saudi Arabia Minis. of Petr. and Min Res.

15- Moore, T.A. & AL Rehaili, M., (1989):

"Geo Logic Map of Makah Qadrangle" Sheet 21 D. King of Saudi Arabia Minis of Petr and Min Res.

16- Morisawa, (1968):

"Streams: their dynamic and morphology", New York.

17- Ritter, D.F., (1978):

"Process geomorphology", W.M.C. Bown Publishers. Dubuque Lawa.